



Fakulteta za kemijo
in kemijsko tehnologijo

Magistrsko delo

**NOVI NANOMATERIALI ZA ADSORPCIJO
REDKOZEMELJSKIH ELEMENTOV IZ VODNIH
RAZTOPIN**

September, 2018

Tina Kegl



Univerza v Mariboru

Fakulteta za kemijo
in kemijsko tehnologijo

Tina Kegl

Novi nanomateriali za adsorpcijo redkozemeljskih elementov iz vodnih raztopin

Magistrsko delo

Maribor, 2018

Novi nanomateriali za adsorpcijo redkozemeljskih elementov iz vodnih raztopin

Magistrsko delo študijskega programa II. stopnje

Študent: Tina Kegl

Študijski program: magistrski študijski program II. stopnje Kemijska tehnika

Predvideni strokovni naslov: magistrica inženirka kemijske tehnike

Mentor: doc. dr. Irena Ban

Komentor: dr. Aljoša Košak

Maribor, 2018



Univerza v Mariboru

Fakulteta za kemijo
in kemijsko tehnologijo

Številka: K2001812
Datum: 30.03.2018

Na osnovi 330. člena Statuta Univerze v Mariboru (Statut UM–UPB 12, Uradni list RS, št. 29/2017) izdajam:

SKLEP O ZAKLJUČNEM DELU

Tina Kegl, študent-u/-ki študijskega programa 2. stopnje KEMIJSKA TEHNIKA, se dovoljuje izdelati zaključno delo.

Tema zaključnega dela je pretežno s področja katedre za kemijo.

Mentor-ica: doc. dr. IRENA BAN, univ. dipl. inž. kem. tehnol.
Somentor-ica: dr. ALJOŠA KOŠAK, univ. dipl. inž. kem. tehnol.

Naslov zaključnega dela:

NOVI NANOMATERIALI ZA ADSORPCIJO REDKOZEMELJSKIH ELEMENTOV IZ VODNIH RAZTOPIN

Naslov zaključnega dela v angleškem jeziku:

NEW NANOMATERIALS FOR THE ADSORPTION OF RARE EARTH ELEMENTS FROM AQUEOUS SOLUTIONS

Rok za izdelavo in oddajo zaključnega dela je 30.03.2019. Zaključno delo je potrebno izdelati skladno z »Navodili za izdelavo zaključnega dela« in ga v treh izvodih oddati v pristojnem referatu članice. Hkrati se odda tudi izjava mentor-ja/-ice in morebitne/-ga somentor-ja/-ice o ustreznosti zaključnega dela.

Pravni pouk: Zoper ta sklep je možna pritožba na Senat članice v roku 10 delovnih dni od dneva prejema sklepa.

DEKAN

red. prof. dr. ZDRAVKO KRAVANJA, univ. dipl. inž.
kem. tehnol.

Obvestiti:

- kandidat-a/-ko,
- mentor-ja/-ico,
- somentor-ja/-ico,
- odložiti v arhiv



FAKULTETA ZA KEMIJO IN
KEMIJSKO TEHNOLOGIJO

Kazalo

Kazalo	I
Izjava.....	III
Zahvala	V
Povzetek.....	VII
Abstract.....	VIII
Seznam tabel.....	IX
Seznam slik.....	X
Uporabljeni simboli in kratice	XIV
1 Uvod	1
1.1 Opredelitev problema.....	1
1.2 Pregled literature	1
1.3 Namen, hipoteze in cilji	15
2 Teoretične osnove	17
2.1 Redkozemeljski elementi	17
2.1.1 Fizikalno-kemijske lastnosti RZE in njihova uporaba.....	18
2.1.2 »Balance problem« in odvisnost EU od Kitajske	21
2.1.3 Recikliranje RZE	25
2.2 Nanotehnologija in nanomateriali	29
2.3 Sinteza nanomaterialov	32
2.3.1 Sol-gel metoda	32
2.3.2 Koprecipitacija.....	34
2.3.3 Funkcionalizacija nanodelcev.....	36
2.4 Karakterizacije nanomaterialov	38
2.4.1 FT-IR	39
2.4.2 PT	42
2.4.3 BET	43
2.4.4 TEM in EDXS	44
2.4.5 TGA	45
2.4.6 XRD	45
2.4.7 DLS	47
2.4.8 VSM.....	49
2.5 Adsorpcija RZE ³⁺	50
2.5.1 Spektroskopija UV/VIS	51
2.5.2 Fluorescenčna spektroskopija.....	52
2.6 Desorpcija, regeneracija in ponovna uporaba RZE	62
2.7 Regeneracija in ponovna uporaba nanomaterialov	64
3 Eksperimentalni del.....	67
3.1 Materiali	67
3.2 Laboratorijske metode	68
3.2.1 Sinteza magnetnih nanodelcev	69
3.2.2 Sinteza stabiliziranih magnetnih nanodelcev.....	70
3.2.3 Sinteza jedro@lupina nanodelcev	73
3.2.4 Sinteza funkcionaliziranih jedro@lupina nanodelcev	74
3.2.5 Metode karakterizacije.....	75

3.2.6	Metode za določevanje adsorpcijskih karakteristik	79
3.2.7	Desorpcija RZE ³⁺	81
3.3	Zakonodaja	82
4	Rezultati in diskusija.....	85
4.1	Sintetizirani nanodelci.....	85
4.1.1	γ -Fe ₂ O ₃ nanodelci	85
4.1.2	Stabilizirani γ -Fe ₂ O ₃ nanodelci	86
4.1.3	Jedro@lupina γ -Fe ₂ O ₃ -NH ₄ OH@SiO ₂ nanodelci.....	87
4.1.4	Funkcionalizirani jedro@lupina γ -Fe ₂ O ₃ -NH ₄ OH@SiO ₂ (APTMS) nanodelci	88
4.2	Karakterizacija nanodelcev	88
4.2.1	Karakterizacija γ -Fe ₂ O ₃ nanodelcev	89
4.2.2	Karakterizacija stabiliziranih γ -Fe ₂ O ₃ nanodelcev	97
4.2.3	Karakterizacija γ -Fe ₂ O ₃ -NH ₄ OH@SiO ₂ nanodelcev	101
4.2.4	Karakterizacija γ -Fe ₂ O ₃ -NH ₄ OH@SiO ₂ (APTMS) nanodelcev	103
4.3	Adsorpcija Tb ³⁺	110
4.3.1	Umeritvena krivulja Tb ³⁺ kompleksa s tironom	110
4.3.2	Afiniteta Tb ³⁺ do γ -Fe ₂ O ₃ -NH ₄ OH@SiO ₂ (APTMS)	112
4.3.3	Karakterizacija Tb ³⁺ / γ -Fe ₂ O ₃ -NH ₄ OH@SiO ₂ (APTMS).....	122
4.4	Adsorpcija Dy ³⁺	124
4.4.1	Umeritvena krivulja Dy ³⁺ kompleksa s tironom	125
4.4.2	Afiniteta Dy ³⁺ do γ -Fe ₂ O ₃ -NH ₄ OH@SiO ₂ (APTMS).....	127
4.4.3	Karakterizacija Dy ³⁺ / γ -Fe ₂ O ₃ -NH ₄ OH@SiO ₂ (APTMS)	136
4.5	Mehanizem adsorpcije za Tb ³⁺ in Dy ³⁺	138
4.6	Desorpcija RZE ³⁺ in možnost ponovne uporabe RZE/nanodelcev	141
5	Zaključek	143
6	Literatura.....	147
7	PRILOGA	173
7.1	Priloga 1 – Primerjalna analiza sintetiziranih nanodelcev	173
8	Življjenjepis in bibliografija	181
	Izjava o avtorstvu in istovetnosti tiskane in elektronske oblike zaključnega dela.....	187

Izjava

Izjavljam, da sem magistrsko delo izdelala sama, prispevki drugih so posebej označeni. Pregledala sem literaturo s področja magistrskega dela po naslednjih geslih:

Vir: Web of Science (<http://apps.webofknowledge.com>)

Gesla:	Število referenc
nanoparticles (NPs)	534 472
rare earth elements (REEs)	30 891
NPs IN REE	574
NPs IN maghemite IN silica	296
NPs IN REEs IN adsorption	59
NPs IN REEs IN adsorption IN silica	13
NPs IN REEs IN adsorption IN maghemite	2
NPs IN REEs IN adsorption IN maghemite IN silica	2
NPs IN REEs IN adsorption IN maghemite IN silica IN APTMS	0
NPs IN REEs IN adsorption IN maghemite IN NH ₄ OH IN silica IN APTMS	0

Vir: Scopus (http://home.izum.si/izum/ft_baze/scopus.asp)

Gesla:	Število referenc
nanoparticles (NPs)	414 330
rare earth elements (REEs)	45 651
NPs IN REE	1 016
NPs IN maghemite IN silica	188
NPs IN REEs IN adsorption	52
NPs IN REEs IN adsorption IN silica	4
NPs IN REEs IN adsorption IN maghemite	0
NPs IN REEs IN adsorption IN maghemite IN silica	0
NPs IN REEs IN adsorption IN maghemite IN silica IN APTMS	0
NPs IN REEs IN adsorption IN maghemite IN NH ₄ OH IN silica IN APTMS	0

Vir: Scopus (<http://www.sciencedirect.com>)

Gesla:	Število referenc
nanoparticles (NPs)	303 005
rare earth elements (REEs)	124 116
NPs IN REE	2 344
NPs IN maghemite IN silica	1 682
NPs IN REEs IN adsorption	1 027
NPs IN REEs IN adsorption IN silica	460
NPs IN REEs IN adsorption IN maghemite	56
NPs IN REEs IN adsorption IN maghemite IN silica	42
NPs IN REEs IN adsorption IN maghemite IN silica IN APTMS	0
NPs IN REEs IN adsorption IN maghemite IN NH ₄ OH IN silica IN APTMS	0

Skupno število pregledanih člankov: 241

Skupno število pregledanih knjig: 28

Maribor, september 2018

Tina Kegl

Zahvala

Zahvaljujem se mentorici doc. dr. Ireni BAN za vse nasvete, pomoč in podporo pri izdelavi magistrske naloge in somentorju dr. Aljoši KOŠAKU za vodenje in vso pomoč pri eksperimentalnem delu na Inštitutu za okoljevarstvo in senzorje v Mariboru.

Hvala direktorici Inštituta za okoljevarstvo in senzorje v Mariboru prof. dr. Aleksandri Lobnik, da mi je omogočila izdelavo magistrskega dela v sodelovanju z delovnim okoljem.

Hvala Sabini Markuš, mag. inž. kem., za pomoč pri izvajanju meritev ζ -potenciala v Laboratoriju za anorgansko kemijo na Fakulteti za kemijo in kemijsko tehniko Univerze v Mariboru in dr. Mateju Bračiču za pomoč pri izvajanju meritev potenciometrične titracije na Fakulteti za strojništvo Univerze v Mariboru.

Hvala prof. Danici Gotlih za lektoriranje.

Prisrčna hvala mojim staršem za vso ljubezen in moralno podporo.

»Ta zaklad pa imamo v lončenih posodah, da bi bilo očitno, da je naša moč, ki presega običajno, od Boga, in ne od nas.« (2. Kor 4:7)

Novi nanomateriali za adsorpcijo redkozemeljskih elementov iz vodnih raztopin

Povzetek

Zaradi naraščajočega povpraševanja po redkozemeljskih elementih je celoten svet vedno bolj odvisen od Kitajske, kjer so rezerve teh elementov največje. Za zmanjšanje te odvisnosti se uporablja različni načini recikliranja redkozemeljskih elementov. Med temi načini je za pridobivanje redkozemeljskih elementov iz vodnih raztopin z nizko koncentracijo le-teh primerna tudi adsorpcija, ki velja za najučinkovitejšo ter energetsko in ekonomsko ustrezno metodo.

Magistrsko delo zajema temeljit pregled dosedanjih raziskav na področju nanomaterialov kot adsorbentov za adsorpcijo redkozemeljskih elementov iz vodnih raztopin. V okviru magistrskega dela so sintetizirani novi $\gamma\text{-Fe}_2\text{O}_3\text{-NH}_4\text{OH@SiO}_2$ (APTMS) nanodelci za adsorpcijo Tb^{3+} in Dy^{3+} iz vodnih raztopin. Novo sintetizirani nanodelci so analizirani glede na strukturo, termogravimetrijo, morfologijo, sestavo, površino in magnetne lastnosti z uporabo Fourierjeve transformirane infrardeče spektroskopije, rentgenske praškovne difrakcije, termogravimetrične analize, presevne elektronske mikroskopije, energijske disperzivne rentgenske spektroskopije, potenciometrične titracije, Brunauer, Emmett in Teller tehnike, dinamičnega sisanja svetlobe in magnetometrije z vibrirajočim vzorcem. Za določevanje adsorpcijskih karakteristik in desorpcije z možnostjo ponovne uporabe nanodelcev ter recikliranja redkozemeljskih elementov je uporabljena fluorescenčna spektroskopija. Dobljeni rezultati so analizirani in primerjani z rezultati iz razpoložljive literature.

Maksimalna adsorpcijska kapaciteta $\gamma\text{-Fe}_2\text{O}_3\text{-NH}_4\text{OH@SiO}_2$ (APTMS) nanodelcev znaša 46,5 mg/g za Tb^{3+} in 23,2 mg/g za Dy^{3+} pri optimalnih eksperimentalnih pogojih. Adsorpcija Tb^{3+} in Dy^{3+} sledi kinetičnemu modelu psevdo drugega reda in ustreza Temkinovi adsorpcijski izotermi.

Glede na analizo rezultatov karakterizacije in adsorpcije lahko zaključimo, da so novo sintetizirani $\gamma\text{-Fe}_2\text{O}_3\text{-NH}_4\text{OH@SiO}_2$ (APTMS) nanodelci učinkovit adsorbent za adsorpcijo Tb^{3+} in Dy^{3+} iz vodnih raztopin.

Ključne besede: redkozemeljski elementi, nanodelci, sinteza, karakterizacija, adsorpcija

UDK: 544.723.2:620.3(043.2)

New nanomaterials for the adsorption of rare earth elements from aqueous solutions

Abstract

Due to the growing demand for rare earth elements, the whole world is increasingly dependent on China, which holds the largest reserves of these elements. In order to reduce this dependence, various methods of rare earth elements recycling can be utilized. Among these methods the adsorption, which is considered the most efficient and energy-efficient method, is suitable for the extraction of rare earth elements from aqueous solutions with low concentration of these elements.

The master's thesis includes a thorough review of state of art in the field of nanomaterials as adsorbents for adsorption of rare earth elements from aqueous solutions. In the framework of this master's thesis new $\gamma\text{-Fe}_2\text{O}_3\text{-NH}_4\text{OH@SiO}_2\text{(APTMS)}$ nanoparticles have been synthesized for an effective adsorption of Tb^{3+} and Dy^{3+} from aqueous solutions. The new synthesized nanoparticles were analyzed in terms of structure, thermogravimetry, morphology, composition, surface and magnetic properties by using Fourier transformed infrared spectroscopy, X-ray powder diffraction, thermo-gravimetric analysis, transmission electron microscopy, energy dispersive X-ray spectroscopy, potentiometric titration, and porosity of particles with Brunauer, Emmett and Teller techniques, dynamic light scattering and vibrating pattern magnetometry. Fluorescence spectroscopy is used to determine adsorption characteristics and desorption with the possibility of re-use of nanoparticles and the recycling of rare-earth elements. The results obtained are analyzed and compared with the results from available literature.

The maximum adsorption capacity of $\gamma\text{-Fe}_2\text{O}_3\text{-NH}_4\text{OH@SiO}_2\text{(APTMS)}$ nanoparticles for Tb^{3+} is about 46,5 mg/g and 23,2 mg/g for Dy^{3+} under optimum experimental conditions. The adsorption data are well-fitted to the Temkin's adsorption isotherm and pseudo-second order kinetic model.

According to the analysis of the results of characterization and adsorption, it can be concluded that the newly synthesized $\gamma\text{-Fe}_2\text{O}_3\text{-NH}_4\text{OH@SiO}_2\text{(APTMS)}$ nanoparticles are an effective adsorbent for adsorption of Tb^{3+} and Dy^{3+} from aqueous solutions.

Key words: rare earth elements, nanoparticles, synthesis, characterization, adsorption

UDK: 544.723.2:620.3(043.2)

Seznam tabel

Tabela 1-1. Nemagnetni nanomateriali za adsorpcijo RZE ³⁺	6
Tabela 1-2. Magnetni nanomateriali za adsorpcijo RZE ³⁺	13
Tabela 1-3. Adsorpcija in desorpcija RZE ³⁺ od Sc ³⁺ do Sm ³⁺	14
Tabela 1-4. Adsorpcija in desorpcija RZE ³⁺ od Eu ³⁺ do Lu ³⁺	15
Tabela 2-1. Uporaba posameznih RZE.....	19
Tabela 2-2. Tehnike karakterizacije NM	38
Tabela 2-3. Valovna števila v spektru FT-IR za posamezne spojine	40
Tabela 2-4. Funkcionalne skupine za valovna števila v spektru FT-IR	41
Tabela 2-5. Kompleksi oziroma ligandi za fluorescenčno spektroskopijo RZE ³⁺	54
Tabela 3-1. Uporabljeni materiali.....	68
Tabela 3-2. Spleti vzorec in standardne raztopine za umeritveno krivuljo RZE ³⁺	80
Tabela 4-1. Izvedene karakterizacije za novo sintetizirane nanodelce.....	88
Tabela 4-2. Spleti vzorec in standardne raztopine za umeritveno krivuljo Tb ³⁺	110
Tabela 4-3. Parametri kinetičnih modelov za adsorpcijo Tb ³⁺	114
Tabela 4-4. Parametri adsorpcijskih izoterm Tb ³⁺ /γ-Fe ₂ O ₃ -NH ₄ OH@SiO ₂ (APTMS).....	117
Tabela 4-5. Termodinamične veličine za Tb ³⁺ /γ-Fe ₂ O ₃ -NH ₄ OH@SiO ₂ (APTMS)	121
Tabela 4-6. Spleti vzorec in standardne raztopine za umeritveno krivuljo Dy ³⁺	125
Tabela 4-7. Parametri kinetičnih modelov za adsorpcijo Dy ³⁺	128
Tabela 4-8. Parametri adsorpcijskih izoterm Dy ³⁺ /γ-Fe ₂ O ₃ -NH ₄ OH@SiO ₂ (APTMS)	131
Tabela 4-9. Termodinamične veličine za Dy ³⁺ /γ-Fe ₂ O ₃ -NH ₄ OH@SiO ₂ (APTMS).....	135
Tabela 4-10. Adsorpcijske kapacitete Tb ³⁺ in Dy ³⁺ na novo sintetizirane nanodelce	140
Tabela 4-11. Primerjava rezultatov adsorpcije Tb ³⁺ in Dy ³⁺ z literaturo.....	141
Tabela 7-1. Velikost novo sintetiziranih nanodelcev	180

Seznam slik

Slika 2-1. Kritični RZE	17
Slika 2-2. Povpraševanje po RZE	20
Slika 2-3. Svetovna poraba RZE po državah (v tonah).....	21
Slika 2-4. Zaloge RZE (v milijonih ton)	22
Slika 2-5. Proizvodnja RZE iz rud	23
Slika 2-6. Svetovna proizvodnja RZE (v tonah) v letu 2016	24
Slika 2-7. Viri za recikliranje RZE	27
Slika 2-8. Klasifikacija NM	29
Slika 2-9. Magnetne lastnosti nanodelcev	30
Slika 2-10. Področja uporabe jedro@lupina nanodelcev	31
Slika 2-11. Sol-gel metoda.....	33
Slika 2-12. Priprava SiO ₂ nanodelcev s sol-gel metodo	34
Slika 2-13. Stabilizacija magnetnih nanodelcev	36
Slika 2-14. Sinteza funkcionaliziranih »in-situ« in »by grafting« SiO ₂ nanodelcev	37
Slika 2-15. Spektroskopija FT-IR	39
Slika 2-16. PT	42
Slika 2-17. BET	43
Slika 2-18. TEM	44
Slika 2-19. TGA	45
Slika 2-20. XRD	46
Slika 2-21. DLS za določanje ζ -potenciala	47
Slika 2-22. Stabilno in nestabilno področje	48
Slika 2-23. VSM	49
Slika 2-24. Separacija sistema RZE ³⁺ /nanodelci iz vodne raztopine	50
Slika 2-25. UV/VIS spektroskopija	51
Slika 2-26. Fluorescenčna spektroskopija	53
Slika 2-27. Adsorpcijske izoterme	58
Slika 2-28. Regeneracija RZE ³⁺	63
Slika 2-29. Recikliranje magnetnih nanodelcev	65
Slika 3-1. Strukturne formule.....	67
Slika 3-2. Sinteza γ -Fe ₂ O ₃ nanodelcev.....	69
Slika 3-3. Sinteza γ -Fe ₂ O ₃ -CA nanodelcev	70
Slika 3-4. Sinteza γ -Fe ₂ O ₃ -HNO ₃ nanodelcev	71
Slika 3-5. Sinteza γ -Fe ₂ O ₃ -NH ₄ OH nanodelcev	72
Slika 3-6. Sinteza γ -Fe ₂ O ₃ -NH ₄ OH@SiO ₂ nanodelcev	73
Slika 3-7. Sinteza γ -Fe ₂ O ₃ -NH ₄ OH@SiO ₂ (APTMS) nanodelcev	74
Slika 3-8. Naprava za spektroskopijo FT-IR	75

Slika 3-9. Naprava za izvajanje PT.....	75
Slika 3-10. Naprava za analizo BET.....	76
Slika 3-11. Naprava za analizi TEM in EDXS	76
Slika 3-12. Naprava za analizo TGA	77
Slika 3-13. Naprava za analizo XRD.....	77
Slika 3-14. Naprava DLS za določanje ζ -potenciala.....	78
Slika 3-15. Naprava za analizo VSM	78
Slika 3-16. Spektrofotometer UV/VIS	79
Slika 3-17. Fluorescenčni spektrometer	79
Slika 3-18. Intenzitete absorbanc RZE ³⁺ kompleksa.....	80
Slika 3-19. Umeritvena krivulja za RZE ³⁺	80
Slika 4-1. Magnetni γ -Fe ₂ O ₃ nanodelci	85
Slika 4-2. Sintetizirani γ -Fe ₂ O ₃ -CA nanodelci	86
Slika 4-3. Sintetizirani γ -Fe ₂ O ₃ -HNO ₃ nanodelci.....	86
Slika 4-4. Sintetizirani γ -Fe ₂ O ₃ -NH ₄ OH nanodelci	87
Slika 4-5. Sintetizirani γ -Fe ₂ O ₃ -NH ₄ OH@SiO ₂ nanodelci.....	87
Slika 4-6. Sintetizirani γ -Fe ₂ O ₃ -NH ₄ OH@SiO ₂ (APTMS) nanodelci.....	88
Slika 4-7. FT-IR γ -Fe ₂ O ₃ nanodelcev	89
Slika 4-8. TEM γ -Fe ₂ O ₃ nanodelcev.....	90
Slika 4-9. EDXS γ -Fe ₂ O ₃ nanodelcev.....	91
Slika 4-10. TGA γ -Fe ₂ O ₃ nanodelcev	92
Slika 4-11. XRD γ -Fe ₂ O ₃ nanodelcev.....	93
Slika 4-12. ζ -potencial γ -Fe ₂ O ₃ nanodelcev	95
Slika 4-13. VSM γ -Fe ₂ O ₃ nanodelcev	96
Slika 4-14. FT-IR γ -Fe ₂ O ₃ -CA nanodelcev	97
Slika 4-15. FT-IR γ -Fe ₂ O ₃ -HNO ₃ nanodelcev	98
Slika 4-16. FT-IR γ -Fe ₂ O ₃ -NH ₄ OH nanodelcev	99
Slika 4-17. TGA γ -Fe ₂ O ₃ -NH ₄ OH nanodelcev.....	100
Slika 4-18. TGA γ -Fe ₂ O ₃ -CA nanodelcev	100
Slika 4-19. FT-IR γ -Fe ₂ O ₃ -NH ₄ OH@SiO ₂ nanodelcev	101
Slika 4-20. TGA γ -Fe ₂ O ₃ -NH ₄ OH@SiO ₂ nanodelcev	102
Slika 4-21. ζ -potencial γ -Fe ₂ O ₃ -NH ₄ OH@SiO ₂ nanodelcev	103
Slika 4-22. FT-IR γ -Fe ₂ O ₃ -NH ₄ OH@SiO ₂ (APTMS) nanodelcev z različnimi <i>P</i>	104
Slika 4-23. FT-IR γ -Fe ₂ O ₃ -NH ₄ OH@SiO ₂ (APTMS) nanodelcev	104
Slika 4-24. PT γ -Fe ₂ O ₃ -NH ₄ OH@SiO ₂ (APTMS) nanodelcev	105
Slika 4-25. TEM γ -Fe ₂ O ₃ -NH ₄ OH@SiO ₂ (APTMS) nanodelcev	106
Slika 4-26. EDXS γ -Fe ₂ O ₃ -NH ₄ OH@SiO ₂ (APTMS) nanodelcev	107
Slika 4-27. TGA γ -Fe ₂ O ₃ -NH ₄ OH@SiO ₂ (APTMS) nanodelcev	107
Slika 4-28. ζ -potencial γ -Fe ₂ O ₃ -NH ₄ OH@SiO ₂ (APTMS) nanodelcev.....	108

Slika 4-29. VSM γ -Fe ₂ O ₃ -NH ₄ OH@SiO ₂ (APTMS) nanodelcev	109
Slika 4-30. Intenzitete absorbanc Tb ³⁺ kompleksa	111
Slika 4-31. Umeritvena krivulja za Tb ³⁺	111
Slika 4-32. Vpliv mase ND na adsorpcijo: Tb ³⁺ / γ -Fe ₂ O ₃ -NH ₄ OH@SiO ₂ (APTMS)	113
Slika 4-33. Časovna odvisnost adsorpcije: Tb ³⁺ / γ -Fe ₂ O ₃ -NH ₄ OH@SiO ₂ (APTMS)	114
Slika 4-34. Kinetični model psevdo prvega reda: Tb ³⁺ / γ -Fe ₂ O ₃ -NH ₄ OH@SiO ₂ (APTMS)..	115
Slika 4-35. Kinetični model Elovich: Tb ³⁺ / γ -Fe ₂ O ₃ -NH ₄ OH@SiO ₂ (APTMS)	115
Slika 4-36. Kinetični model psevdo drugega reda: Tb ³⁺ / γ -Fe ₂ O ₃ -NH ₄ OH@SiO ₂ (APTMS).....	116
Slika 4-37. Vpliv začetne koncentracije Tb ³⁺ : Tb ³⁺ / γ -Fe ₂ O ₃ -NH ₄ OH@SiO ₂ (APTMS).....	117
Slika 4-38. Langmuirjeva izoterma: Tb ³⁺ / γ -Fe ₂ O ₃ -NH ₄ OH@SiO ₂ (APTMS)	118
Slika 4-39. Freundlichova izoterma: Tb ³⁺ / γ -Fe ₂ O ₃ -NH ₄ OH@SiO ₂ (APTMS).....	118
Slika 4-40. Dubinin-Radushkevicheva izoterma: Tb ³⁺ / γ -Fe ₂ O ₃ -NH ₄ OH@SiO ₂ (APTMS) ..	119
Slika 4-41. Temkinova adsorpcijska izoterma: Tb ³⁺ / γ -Fe ₂ O ₃ -NH ₄ OH@SiO ₂ (APTMS)	119
Slika 4-42. Vpliv temperature na adsorpcijo: Tb ³⁺ / γ -Fe ₂ O ₃ -NH ₄ OH@SiO ₂ (APTMS).....	120
Slika 4-43. Vpliv temperature na ΔG_0 pri adsorpciji Tb ³⁺	121
Slika 4-44. FT-IR sistema Tb ³⁺ / γ -Fe ₂ O ₃ -NH ₄ OH@SiO ₂ (APTMS).....	123
Slika 4-45. FT-IR γ -Fe ₂ O ₃ -NH ₄ OH@SiO ₂ (APTMS) nanodelcev brez/s Tb ³⁺	123
Slika 4-46. ζ -potencial sistema Tb ³⁺ / γ -Fe ₂ O ₃ -NH ₄ OH@SiO ₂ (APTMS).....	124
Slika 4-47. Intenzitete absorbanc Dy ³⁺ kompleksa	125
Slika 4-48. Umeritvena krivulja za Dy ³⁺	126
Slika 4-49. Vpliv mase ND na adsorpcijo: Dy ³⁺ / γ -Fe ₂ O ₃ -NH ₄ OH@SiO ₂ (APTMS).....	127
Slika 4-50. Časovna odvisnost adsorpcije: Dy ³⁺ / γ -Fe ₂ O ₃ -NH ₄ OH@SiO ₂ (APTMS).....	128
Slika 4-51. Kinetični model psevdo prvega reda: Dy ³⁺ / γ -Fe ₂ O ₃ -NH ₄ OH@SiO ₂ (APTMS) .129	129
Slika 4-52. Kinetični model Elovich: Dy ³⁺ / γ -Fe ₂ O ₃ -NH ₄ OH@SiO ₂ (APTMS)	129
Slika 4-53. Kinetični model psevdodrugega reda: Dy ³⁺ / γ -Fe ₂ O ₃ -NH ₄ OH@SiO ₂ (APTMS) 130	130
Slika 4-54. Vpliv začetne koncentracije Dy ³⁺ : Dy ³⁺ / γ -Fe ₂ O ₃ -NH ₄ OH@SiO ₂ (APTMS).....	131
Slika 4-55. Langmuirjeva izoterma: Dy ³⁺ / γ -Fe ₂ O ₃ -NH ₄ OH@SiO ₂ (APTMS)	132
Slika 4-56. Freundlichova izoterma: Dy ³⁺ / γ -Fe ₂ O ₃ -NH ₄ OH@SiO ₂ (APTMS)	132
Slika 4-57. Dubinin-Radushkevicheva izoterma: Dy ³⁺ / γ -Fe ₂ O ₃ -NH ₄ OH@SiO ₂ (APTMS) .133	133
Slika 4-58. Temkinova adsorpcijska izoterma: Dy ³⁺ / γ -Fe ₂ O ₃ -NH ₄ OH@SiO ₂ (APTMS)....	133
Slika 4-59. Vpliv temperature na adsorpcijo: Dy ³⁺ / γ -Fe ₂ O ₃ -NH ₄ OH@SiO ₂ (APTMS)	134
Slika 4-60. Vpliv temperature na ΔG_0 pri adsorpciji Dy ³⁺	135
Slika 4-61. FT-IR sistema Dy ³⁺ / γ -Fe ₂ O ₃ -NH ₄ OH@SiO ₂ (APTMS)	136
Slika 4-62. FT-IR γ -Fe ₂ O ₃ -NH ₄ OH@SiO ₂ (APTMS) nanodelcev brez/z Dy ³⁺	137
Slika 4-63. ζ -potencial sistema Dy ³⁺ / γ -Fe ₂ O ₃ -NH ₄ OH@SiO ₂ (APTMS)	138
Slika 7-1. FT-IR postopno sintetiziranih nanodelcev	174
Slika 7-2. TGA postopno sintetiziranih nanodelcev	175
Slika 7-3. DLS postopno sintetiziranih nanodelcev.....	176
Slika 7-4. TEM postopno sintetiziranih nanodelcev	177

Slika 7-5. EDXS postopno sintetiziranih nanodelcev.....	178
Slika 7-6. VSM postopno sintetiziranih nanodelcev	179

Uporabljeni simboli in kratice

Simboli

A	absorbanca
A_g	površina, ki jo zavzame ena molekula adsorbata (m^2)
A_{ND}	specifična površina adsorbenta – nanodelca ($\frac{m^2}{g}$)
A_T	Temkinova izotermna konstanta vezave v ravnotežju ($\frac{L}{g}$)
B	gostota magnetnega polja (T)
E	jakost električnega polja ($\frac{V}{m}$)
H	jakost magnetnega polja ($Oe = \frac{10^3}{4\pi} \frac{A}{m}$)
H_c	koercitivnost ($Oe = \frac{10^3}{4\pi} \frac{A}{m}$)
I	intenziteta prepuščene svetlobe (W)
I_o	intenziteta vpadne svetlobe (W)
K_d	ravnotežna konstanta za adsorpcijo (/)
K_{DR}	konstanta proste energije Dubinin-Radushkevicheva izoterme ($\frac{mol^2}{kJ^2}$)
K_F	Freundlichova izotermna konstanta ($\left(\frac{mg}{g}\right)\left(\frac{L}{mg}\right)^{\frac{1}{n}}$)
K_L	Langmuirjeva izotermna konstanta ($\frac{L}{mg}$)
L	dolžina optične poti oziroma kivete (cm)
M_{ads}	molska masa adsorbata, desorbiranih RZE ³⁺ ($\frac{g}{mol}$)
M_r	remanentna masna magnetizacija materiala ($\frac{emu}{g} = \frac{A m^2}{kg}$)
M_s	specifična magnetizacija, masna magnetizacija nasičenja ($\frac{emu}{g} = \frac{A m^2}{kg}$)
N	število delcev (/)
N_A	Avogadrovo število ($6,022 \cdot 10^{23} \text{ mol}^{-1}$)
R	splošna plinska konstanta ($8,314 \frac{J}{mol K}$)
Q	naboj ionov, množina (mol)
T	temperatura (K)
T_{ad}	temperatura adsorpcije (°C)
V_m	volumen adsorbata, ki se pri standardnih pogojih adsorbira (v enem sloju) na celotno površino adsorbenta – nanodelca ($\frac{m^3}{g}$)
V_r	volumen raztopine (L)
$V_{r,a}$	volumen kisle raztopine (mL)

a	mrežna konstanta kubične spinelne kristalne strukture (nm)
b_T	Temkinova izotermna konstanta toplove adsorpcije ($\frac{\text{J g}}{\text{mol mg}}$)
c	koncentracija ($\frac{\text{mol}}{\text{L}}$)
c_{ads}	koncentracija adsorbata – adsorbiranih RZE ³⁺ ($\frac{\text{mol}}{\text{L}}$)
$c_{\text{ads},0}$	začetna koncentracija RZE ³⁺ v vodni raztopini ($\frac{\text{mol}}{\text{L}}$)
$c_{\text{ads,e}}$	ravnotežna koncentracija RZE ³⁺ v vodni raztopini ($\frac{\text{mol}}{\text{L}}$)
c_{des}	koncentracija desorbata – desorbiranih RZE ³⁺ ($\frac{\text{mol}}{\text{L}}$)
$c_{\text{des},0}$	koncentracija desorbata v kisli raztopini pred desorpcijo ($\frac{\text{mol}}{\text{L}}$)
$c_{\text{des,e}}$	koncentracija desorbata v kisli raztopini po desorpciji ($\frac{\text{mol}}{\text{L}}$)
d	razdalja med ravninami v kristalni mreži (nm)
d_{ND}	povprečen premer nanodelcev (nm)
(hkl)	Millerjevi indeksi (/)
k_1	konstanta psevdo prvega reda ($\frac{1}{\text{min}}$)
k_2	konstanta psevdo drugega reda ($\frac{\text{g}}{\text{mg min}}$)
m	masa (g)
m_{ND}	masa adsorbenta – nanodelca (g)
m_{vzorec}	masa vzorca z nanodelci (g)
n	množina (mol), red odboja (/), intenzivnost adsorpcije po Freundlichu (/)
$n(\text{Cl}^-)$	množina kloridnih anionov (mmol)
$n(\text{K}^+)$	množina kalijevih kationov (mmol)
$q_{\text{ad},\%}$	učinkovitost adsorpcije (%)
$q_{\text{ad,t}}$	adsorpcijska kapaciteta v času t ($\frac{\text{mg}}{\text{g}}$)
$q_{\text{ad,e}}$	ravnotežna adsorpcijska kapaciteta v vodni raztopini ($\frac{\text{mg}}{\text{g}}$)
q_{de}	desorpcijska kapaciteta (mg/g)
$q_{\text{de},\%}$	učinkovitost desorpcije (%)
$q_{\text{reg},\%}$	učinkovitost regeneracije RZE ³⁺ (%)
q_m	kapaciteta enoslojne adsorpcije ($\frac{\text{mg}}{\text{g}}$)
q_s	konstanta adsorpcijske kapacitete Dubinin-Radushkevicheva izoterme ($\frac{\text{mg}}{\text{g}}$)
t	čas (min)
t_{ad}	čas adsorpcije (min)
v	hitrost gibanja delcev ($\frac{\text{m}}{\text{s}}$)
v_g	molski volumen adsorbata pri standardnih pogojih ($\frac{\text{m}^3}{\text{mol}}$)

Grški simboli

ΔG^0	Gibbsova prosta energija $(\frac{J}{mol})$
ΔH^0	sprememba standardne entalpije oziroma toplota adsorpcije $(\frac{J}{mol})$
ΔS^0	sprememba standardne entropije $(\frac{J}{mol K})$
α_E	konstanta začetne hitrosti adsorpcije Elovichevega modela $(\frac{mg}{g s})$
β_E	konstanta zasedenosti površine in energije adsorpcije Elovichevega modela $(\frac{g}{mg})$
β	širina vrha na polovici njegove višine (/)
γ	masna koncentracija $(\frac{g}{L})$
γ_{ads}	masna koncentracija adsorbata $(\frac{g}{L})$
$\gamma_{ads,0}$	začetna masna koncentracija adsorbata $(\frac{mg}{L})$
$\gamma_{ads,e}$	ravnotežna masna koncentracija adsorbata v vodni raztopini $(\frac{mg}{L})$
ρ_{ND}	gostota adsorbenta – nanodelcev $(\frac{g}{m^3})$
ε	absorbijski koeficient $(\frac{L}{mol cm})$
$\overline{\nu}$	valovno število (m^{-1})
λ	valovna dolžina (m), valovna dolžina vpadnih X-žarkov (nm)
θ	kot med snopom X-žarkov in površino vzorca ($^\circ$)
η	dinamična viskoznost tekočine/elektrolita (Pas)
ζ	ζ -potencial, zeta potencial (mV)
ε_0	dielektrična konstanta v vakuumu $(8,854 \cdot 10^{-12} \frac{F}{m}; 8,854 \cdot 10^{-12} \frac{N}{V^2})$
ε_r	relativna dielektričnost

Kratice

APTMS	3-aminopropil trimetoksisilan
BET	Brunauer, Emmett in Teller tehnika
BJH	Barrett, Joyner in Halenda metoda
EDXS	energijsko disperzijska rentgenska spektroskopija
EoL	produkti po koncu njihove življenske dobe
EtOH	etanol
DLS	dinamično sisanje svetlobe
DSC	diferenčna vrstična kalorimetrija
FT-IR	Fourierjeva transformirana infrardeča spektroskopija
HSAB	teorija močnih in šibkih (Lewisovih) kislin in baz
MeOH	metanol
ND	nanodelci
NM	nanomaterial
PT	potenciometrična titracija
RZE	redkozemeljski elementi
RZE ³⁺	ioni redkozemeljskih elementov
TEOS	tetraethyl ortosilikat
SEM	vrstična elektronska mikroskopija
TEM	presevna elektronska mikroskopija
TGA	termogravimetrična analiza
VSM	magnetometrija z vibrirajočim vzorcem
XRD	rentgenska praškovna difrakcija

1 Uvod

V okviru magistrskega dela smo se ukvarjali s sintezo novih nanodelcev za adsorpcijo ionov redkozemeljskih elementov iz vodnih raztopin.

1.1 Opredelitev problema

Redkozemeljski elementi (RZE) so zaradi svojih edinstvenih fizikalno-kemijskih lastnosti uporabni v energetskem in transportnem sektorju, varstvu okolja, digitalni tehnologiji in v medicini. Zaradi vedno večjega povpraševanja po RZE je celoten svet vedno bolj odvisen od Kitajske, kjer so njihove največje rezerve. Za zmanjšanje te odvisnosti se uporabljo različni načini recikliranja RZE, med katerimi je za pridobivanje RZE iz vodnih raztopin z nizko koncentracijo le-teh primerna adsorpcija. Večina RZE so ionske soli v obliki RZE^{3+} , ki so v vodnih raztopinah hidratizirani. Za odstranjevanje RZE^{3+} iz vodnih raztopin so na voljo različni pirometalurški, hidrometalurški in biometalurški procesi, ki so pogosto ekonomsko in energetsko potratni, neučinkoviti in ekološko nesprejemljivi, saj povzročajo sekundarne odpadne produkte.

Med najučinkovitejše, ekonomsko in energetsko ustrezne metode odstranjevanja RZE^{3+} iz vodnih raztopin spada nedvomno adsorpcija [1]. Kot adsorbente lahko uporabljam različne materiale. V zadnjem času uporabljam vedno pogosteje različne nanomateriale. Nanomateriali in njihove lastnosti so odvisni od metode sinteze in funkcionalizacije nanodelcev, ki jih lahko analiziramo z različnimi metodami karakterizacije. Nanomaterial je zaradi svoje urejene strukture, velike površine ter zaradi odličnih mehanskih in termičnih lastnosti zelo obetaven adsorbent za adsorpcijo nekaterih RZE^{3+} iz vodnih raztopin [2].

Veliko napora je vloženega v sinteze novih nanomaterialov, ki bi omogočali učinkovito adsorpcijo čim več različnih RZE^{3+} iz vodnih raztopin. Poleg adsorpcije RZE^{3+} na nanodelce pa je pomembna tudi desorpcija RZE^{3+} z nanodelcev, regeneracija adsorbiranih RZE^{3+} in možnost ponovne uporabe tako nanodelcev kot RZE. Še vedno pa ni sintetiziranih nanodelcev, ki bi zagotavljali učinkovito in enostavno adsorpcijo/desorpcijo vseh RZE^{3+} oziroma vsaj najbolj kritičnih RZE, zato je na tem področju potrebno še precej raziskovalnega dela.

1.2 Pregled literature

Za adsorpcije različnih RZE^{3+} iz vodnih raztopin so sintetizirani različni nemagnetni in magnetni nanomateriali. Pri pregledu literature in predstavljenih rezultatih adsorpcije je treba upoštevati, da se pogoji adsorpcije razlikujejo med seboj in da so posledično vrednosti adsorpcijske kapacitete, torej mase adsorbiranega RZE^{3+} v mg na maso adsorbenta (nanomateriala) v g, različne.

Wang [3] je raziskoval hibridni nanomaterial **ALG/SiO₂** iz alginata (ALG) in silike (SiO₂), sintetiziran z razprševanjem SiO₂ v raztopino natrijevega alginata in z vbrizgavanjem CaCl₂ raztopine, kot adsorbent za adsorpcijo Nd³⁺ iz vodnih raztopin. Dobljeni rezultati karakterizacije s FT-IR kažejo prisotnost OH⁻, COO⁻ in C–O v nanomaterialu. Adsorpcija narašča z večanjem kontaktnega časa. Maksimalna adsorpcija 0,937 mmol/g je dosežena pri začetni koncentraciji 2·10⁻³ mol/L Nd³⁺ v 100 mL vodne raztopine, masi nanodelcev 0,16 g in pri pH 3,6. V prvih nekaj urah je adsorpcija hitra, potem se upočasni, vse dokler po 6 urah ni doseženo ravnotežje. Eksperimentalni podatki adsorpcije sledijo kinetiki psevdo drugega reda in Langmuirjevi adsorpcijski izotermi. Desorpcija Nd³⁺ iz hibridnih ALG/SiO₂ nanodelcev je izvedena z dodatkom raztopine HCl. Največja učinkovitost desorpcije 99 % je dosežena po 20 minutah z 0,2 M HCl raztopino [3].

Sintetizirane **SiO₂(o-CMCH)** nanodelce iz TEOS, etanola (EtOH), raztopine o-karboksimetyl citosana (o-CMCH) z amonijakom je za adsorpcijo Nd³⁺ in Pr³⁺ iz vodnih raztopin preučeval Wang [4]. Dobljeni rezultati s spektroskopijo FT-IR potrjujejo prisotnost NH₃, NH₂, C–OH, Si–OH, C=O v nanodelcih, s pomočjo SEM pa je potrjena njihova amorfna struktura [4]. Analiza TG/DSC kaže izgubo mase zaradi razpada vezi o-CMCH. Maksimalna adsorpcija je 30,23 mg/g za Nd³⁺ in 23,02 mg/g za Pr³⁺ po 26 urah adsorpcije iz 30 mL vodne raztopine z začetno koncentracijo ~10⁻³ mol/L, masi nanodelcev 50 mg in pri pH 6,9. Adsorpcijska kinetika je pokazala, da je po 6 urah doseženo ravnotežje in da adsorpcija Nd³⁺ sledi kinetiki psevdo drugega reda ter da jo lahko opišemo z Langmuirjevo adsorpcijsko izoterno. Wang [4] je proučeval desorpcijo Nd³⁺ s površine SiO₂(o-CMCH) nanodelcev z dodatkom različnih koncentracij raztopine HCl in ugotovil, da je desorpcija Nd³⁺ lahko do 100 %, če je koncentracija raztopine HCl višja od 0,1 M.

V zadnjih letih je bilo veliko naporov vloženih v sintezo **C** nanodelcev iz različnih prekurzorjev. Sinteza ogljikovih (C) nanodelcev je možna tudi s topotno pirolizo kokosovega mleka [5]. C nanodelci omogočajo odlično adsorpcijo La³⁺ in Nd³⁺ iz vodnih raztopin, pri čemer z naraščanjem pH od 2 do 7 kapaciteta adsorpcije narašča in doseže ravnotežje po 40 minutah [6]. Najvišja kapaciteta adsorpcije 0,52 mg/g za La³⁺ je dosežena pri adsorpciji iz 25 mL vodne raztopine z začetno koncentracijo La³⁺ ~10⁻⁷ mol/L in z maso nanodelcev 25 mg pri pH 7.

Wang je v literaturi [7] predstavil sintezo **PAA/SiO₂** nanovlaken iz raztopine poliakrilne kisline (PAA) in SiO₂, ki v stiku z vodo hidrirja in nabreka, vendar še vedno ohranja integrirano 3D-morfologijo vlaken. PAA/SiO₂ nanovlakna omogočajo adsorpcijo Ln³⁺, ki z naraščanjem pH od 2 do 6 narašča, medtem ko se z nadaljnjjim naraščanjem pH adsorpcija nekoliko zmanjša. Adsorpcija Ln³⁺ na PAA/SiO₂ nanovlakna sledi kinetičnemu modelu psevdo drugega reda in ustreza Langmuirjevi adsorpcijski izotermi. Največja adsorpcijska kapaciteta je 232,6 mg/g za La³⁺, 268,8 mg/g za Eu³⁺ in 250,0 mg/g za Tb³⁺ iz vodne raztopine z začetnimi koncentracijami ~1,6·10⁻³ mol/L za vse RZE³⁺ pri pH 6. Adsorpcijski mehanizem Ln³⁺ na PAA/SiO₂ nanovlakna je tvorba bidentat karboksilatov med karboksilnimi skupinami in Ln³⁺, ki so potrjene z analizama FT-IR in XPS. Wang [7] je izbral 0,5 M HCl raztopino kot eluent v procesih desorpcije in regeneracije. Po dosegu ravnotežja PAA/SiO₂ nanovlaken in Ln³⁺ v vodni raztopini se po dodatku desorpcijske raztopine vezani Ln³⁺ sprostijo po 3 urah. Učinkovitost desorpcije znaša 98 % za La³⁺, 94 % za Eu³⁺ in 97 % za Tb³⁺.

Topel [8] in Legaria [9] sta raziskovala funkcionalizacijo nanodelcev SiO_2 s tremi različnimi organskimi ligandi, kot so: N-aminopropilen-amidoiminodiocetna kislina, piridin-a,b-dikarboksilna kislina bis(propilenamid) in N-propilen-iminodiocetna kislina. Izkazalo se je, da je med vsemi ligandi najprimernejši ligand N-propilen-iminodiocetna kislina (NPIA), ki je sintetiziran iz 3-aminopropil trietoksisilana (APTES), 2,6-piridinikarbonil diklorida v prisotnosti trimetilamina (TEA) kot katalizatorja v diklorometanu (DCM) pri sobni temperaturi v dušikovi atmosferi. Sinteza SiO_2 pa je pripravljena iz raztopine NH_4OH , etanola in prekurzorja TEOS [8][9]. Po mešanju, centrifugiraju, spiranju in sušenju so dobljeni SiO_2 nanodelci funkcionalizirani z NPIA in karakterizirani z analizami TEM, FT-IR in TGA. TEM kaže, da siloksanski monomeri niso kondenzirani v posamezne delce in da je funkcionalizacija z NPIA na površini SiO_2 nanodelcev uspešna. Spekter FT-IR za **$\text{SiO}_2(\text{NPIA})$** nanodelce potrjuje prisotnost Si–O–Si, Si–OH in C=O. Analiza TGA kaže izgubo mase $\text{SiO}_2(\text{NPIA})$ nanodelcev za 6 % zaradi izparevanja alkohola in vode v temperaturnem območju od 20 °C do 200 °C, pri povečevanju temperature do 600 °C pa sledi razpad funkcionalizacije, kar povzroči izgubo mase za približno 7 %. Analiza TGA potrjuje tudi odsotnost adsorbiranih nezreagiranih siloksanskih reaktantov. Največja adsorpcijska kapaciteta $\text{SiO}_2(\text{NPIA})$ nanodelcev znaša 30,9 mg/g za Dy^{3+} in 17,3 mg/g za Nd^{3+} iz vodne raztopine z začetno koncentracijo 0,2 mol/L Dy^{3+} in 0,025 mol/L Nd^{3+} s 50 mg adsorbenta. Z uporabo HCl dosežena učinkovitost desorpcije znaša 83 % za Dy^{3+} in 93 % za Nd^{3+} .

Awual [10] je raziskoval adsorpcijo Dy^{3+} in Lu^{3+} s kompozitnimi **$\text{Al}_2\text{O}_3/\text{SiO}_2(\text{MePhPTA})$** nanodelci. $\text{Al}_2\text{O}_3/\text{SiO}_2$ nanodelci so sintetizirani iz kopolimera poli (etenoksid-b-propilenoksid-b-etilen oksida), tetrametoksisilana (TMOS), $\text{Al}(\text{NO}_3)_3 \cdot 9\text{H}_2\text{O}$ v ustreznih reakcijskih pogojih in funkcionalizirani z N-metil-N-fenil-1,10-fenantrolin-2-karboksamid (MePhPTA) za adsorpcijo Lu^{3+} in Dy^{3+} . $\text{Al}_2\text{O}_3/\text{SiO}_2(\text{MePhPTA})$ nanodelci imajo odlične adsorpcijske sposobnosti za RZE³⁺. Adsorpcija Dy^{3+} in Lu^{3+} ustreza Langmuirjevi adsorpcijski izotermi. S povečanjem kontaktnega časa se kapaciteta adsorpcije postopoma povečuje in ravnotežna adsorpcija je dosežena po 60 minutah. Maksimalna adsorpcijska kapaciteta iz 10 mL vodne raztopine z začetnima koncentracijama $1,2 \cdot 10^{-5}$ mol/L za Dy^{3+} in $1,1 \cdot 10^{-5}$ mol/L za Lu^{3+} po 120 minutah adsorpcije znaša 125,44 mg/g za Lu^{3+} in 129,77 mg/g za Lu^{3+} pri pH 4 [10]. Pri velikih začetnih koncentracijah Dy^{3+} in Lu^{3+} je potreben kontaktni čas 3 ure za dosego ravnotežnega stanja. Awual je v [10] ugotovil, da so adsorbirani Dy^{3+} in Lu^{3+} uspešno desorbirani z 0,3 M HNO_3 brez negativnega vpliva na strukturo $\text{Al}_2\text{O}_3/\text{SiO}_2(\text{MePhPTA})$ nanodelcev. Desorpcijski odstotek Dy^{3+} in Lu^{3+} znaša 99 %. Adsorpcijska učinkovitost za Dy^{3+} in Lu^{3+} se po šestih ciklih adsorpcija/desorpcija zanemarljivo zmanjša v primerjavi z adsorpcijo iz prvega cikla, kar kaže na sposobnost regeneracije in ponovne uporabe tako Dy^{3+} in Lu^{3+} kot tudi $\text{Al}_2\text{O}_3/\text{SiO}_2(\text{MePhPTA})$ nanodelcev.

Sintetizirani nanodelci SiO_2 , velikosti 12 nm, funkcionalizirani z N-[3-trimetoksisilil] propil] etilendiamin triocetno kislino (TMS-EDTA) ob dodatku metanola (MeOH) in ledocetne kisline (HOAc), so primerni za adsorpcijo Gd^{3+} [11]. Karakterizacija sintetiziranih **$\text{SiO}_2(\text{TMS-EDTA})$** nanodelcev s TEM kaže polidisperznost s povprečnim premerom nanodelcev $(16,6 \pm 5,5)$ nm. Najvišja adsorpcijska kapaciteta za Gd^{3+} iz vodne raztopine z začetno koncentracijo $1 \cdot 10^{-3}$ mol/L Gd^{3+} znaša 395 mg/g pri pH 6,3. Velika adsorpcijska kapaciteta je posledica majhne velikosti nanodelcev, njihove velike specifične površine ($85 \text{ m}^2/\text{g}$ do $140 \text{ m}^2/\text{g}$) in velikega števila funkcionaliziranih skupin TMS-EDTA na površini.

Sintetizirani nanodelci TiO_2 , velikosti 21 nm, funkcionalizirani z N-[(3-trimetoksisilil) propil] etilendiamin triocetno kislino (TMS-EDTA) ob dodatku MeOH in ledocetne kisline (HOAc), so primerni za adsorpcijo Gd^{3+} [11]. Karakterizacija sintetiziranih **TiO₂(TMS-EDTA)** nanodelcev s TEM kaže polidisperznost s povprečnim premerom delcev $(17,9 \pm 5,9)$ nm. Najvišja adsorpcijska kapaciteta za Gd^{3+} iz vodne raztopine z začetno koncentracijo $5 \cdot 10^{-2}$ mol/L Gd^{3+} pri pH 6,3 znaša 263 mg/g.

Shiri-Yekta [12] je raziskoval nanodelce SiO_2 , funkcionalizirane s Schiff bazičnim ligandom salicilaldimin propil trietoksilsilanom (SBL), proizvedenim s kondenzacijo aminopropil trietoksilsilana in salicilaldehida v metanolu [13], za odstranjevanje Eu^{3+} iz vodnih raztopin. Analiza SEM kaže, da imajo **SiO₂(SBL)** nanodelci grobo strukturo z adsorpcijsko kapaciteto 281 mg/g za Eu^{3+} pri pH 5,5, temperaturi 25 °C, začetni koncentraciji $\text{Eu}^{3+} 1,6 \cdot 10^{-4}$ mol/L in pri masi adsorbenta 50 mg. Adsorpcija Eu^{3+} sledi kinetičnemu modelu psevdo drugega reda. Desorpcija Eu^{3+} s površine $\text{SiO}_2(\text{SBL})$ nanodelcev znaša 85 % pri uporabi 0,1 M H_2SO_4 in 0,1 M HCl [12].

Za sintezo **SiO₂/citosan(EDTA)** nanodelcev so najprej sintetizirani SiO_2 /citosan nanodelci »in situ« na osnovi Stöberjeve sol-gel metode [14]. V ta namen je citosan $\text{C}_{56}\text{H}_{103}\text{N}_9\text{O}_{39}$ raztopljen v ocetni kislini in premešan s tetraetyl ortosilikatom (TEOS), da potečeta hidroliza (zamenjava etoksidnih skupin s hidroksilnimi) in kondenzacija ob dodatku raztopine NH_3 [14]. Po mešanju, filtriranju, spiranju z vodo, etanolom in n-heptanom ter sušenju so dobljeni SiO_2 /citosan nanodelci funkcionalizirani z etilendiamintetra-ocetno kislino (EDTA) [15][16]. Spekter FT-IR kaže prisotnost acetil karbonilnih skupin citosana, prisotnost NH_2 in OH skupin, ki pripadajo citosanu in silanolu iz SiO_2 ter prisotnost vezi Si–O–Si in Si–O–C, ki potrjujejo hibridizacijo. Analiza SEM za SiO_2 /citosan nanodelce kaže grobo površino zaradi enkapsulacije citosanskih kosmičev v mreži SiO_2 , medtem ko za SiO_2 /citosan(EDTA) nanodelce kaže gosto polimerno strukturo zaradi funkcionalizacije z EDTA bis-anhidridom. Adsorpcijska kapaciteta Nd^{3+} iz vodne raztopine z začetno koncentracijo $5 \cdot 10^{-4}$ mol/L Nd^{3+} z maso SiO_2 /citosan(EDTA) nanodelcev 25 mg znaša 23 mg/g [14]. Adsorpcija Nd^{3+} sledi kinetičnemu modelu psevdo drugega reda in ustreza Langmuir-Freundlichovi adsorpcijski izotermi. Roosen [14] je z uporabo 1 M HCl in ob tresenju izvedel 97 % desorpcijo Nd^{3+} s površine SiO_2 /citosan(EDTA) nanodelcev.

Za sintezo **SiO₂/citosan(DTPA)** nanodelcev so najprej sintetizirani SiO_2 /citosan nanodelci »in-situ« s Stöberjevo sol-gel metodo [14]. SiO_2 /citosan nanodelci so funkcionalizirani z dietilentriaminpenta ocetno kislino (DTPA) na citosan amino skupine »by grafting« [15][16]. Spektri FT-IR potrjujejo prisotnost NH_2 in OH skupin, ki pripadajo citosanu in silanolu iz SiO_2 ter prisotnost Si–O–Si in Si–O–C, ki potrjujejo hibridizacijo. Karakterizacija SEM SiO_2 /citosan(DTPA) nanodelcev kaže gosto polimerno strukturo zaradi funkcionalizacije z bis-anhidridom DTPA. Roosen je v [14] pokazal, da adsorpcijska kapaciteta Nd^{3+} vodne raztopine z začetno koncentracijo $7,5 \cdot 10^{-4}$ mol/L Nd^{3+} z nanodelci SiO_2 /citosan(DTPA) znaša 34,62 mg/g. Eksperimentalni podatki so dobro opisani s kinetičnim modelom psevdo drugega reda in ustrezano Langmuir-Freundlichovi adsorpcijski izotermi. Roosen je v literaturi [17] pokazal, da adsorpcijska kapaciteta Sc^{3+} iz izcednih voda grškega boksinega ostanka s SiO_2 /citosan(DTPA) nanodelci znaša 8,54 mg/g. Roosen [14] je z uporabo 1 M HCl in ob tresenju izvedel 98 % desorpcijo Nd^{3+} s SiO_2 /citosan(DTPA) nanodelcev.

Izredne mehanske in transportne lastnosti ogljikovih nanocevk so spodbudile raziskave za njihovo uporabo tudi na področju adsorpcije RZE³⁺ [18]. Učinkovita je adsorpcija La³⁺ in Dy³⁺ iz vodnih raztopin z oksidiranimi večplastnimi ogljikovimi nanocevkami [19], saj adsorpcijska kapaciteta **oksidiranih mwC** nanocevk v območju od pH 5 do pH 6 znaša 99,01 mg/g za La³⁺ in 78,12 mg/g za Dy³⁺. Maksimalna učinkovitost desorpcije je 65 % za La³⁺ in 98 % za Dy³⁺ pri pH 1,5.

Iftekhar [20] je raziskoval nanokompozit iz celuloze (CLx) in SiO₂ za odstranitev Eu³⁺, La³⁺ in Sc³⁺ iz vodnih raztopin. **SiO₂/CLx** nanomaterial je sintetiziran iz TEOS, NH₄OH in CLx suspenzije med mešanjem,obarjanjem z dodatkom acetona,filtriranjem in sušenjem. Analiza TEM SiO₂/CLx nanomateriala kaže, da je premer delcev nanokompozita SiO₂/CLx od 9 nm do 15 nm, delci SiO₂ pa so enakomerno porazdeljeni po celotnem nanokompozitu. Prisotnost mešanih faz CLx in SiO₂ je potrjen s karakterizacijama FT-IR in XRD. Adsorpcijska kapaciteta iz 10 mL vodnih raztopin z začetno koncentracijo 25 mg/L RZE³⁺ pri temperaturi 25 °C znaša 24,27 mg/g za Eu³⁺, 29,48 mg/g za La³⁺ in 23,76 mg/g za Sc³⁺ z uporabo nanokompozitnih SiO₂/CLx nanodelcev [20]. Iftekhar [20] je raziskoval vpliv različnih koncentracij HCl in NaOH za dosega največje učinkovitosti desorpcije Eu³⁺, La³⁺ in Sc³⁺ s površine SiO₂/CLx nanomateriala. Desorpcijska študija kaže, da je med vsemi preskušanimi eluenti najučinkovitejša 0,5 M HCl.

Gargari [21] je raziskoval sintezo funkcionaliziranih jedro@lupina nanodelcev, in sicer **SiO₂@PVI(H₂PO₄⁻)** nanodelcev za adsorpcijo Sm³⁺ in Dy³⁺ iz vodnih raztopin. SiO₂ predstavlja jedro, polivinil imidazol (PVI) lupino, natrijev dihidrogenfosfat (NaH₂PO₄) pa omogoča funkcionalizacijo. Najprej je 3-(trimetoksilsilil) propil metakrilat (MPS) dodan k suspenziji SiO₂ nanodelcev v toluenu in po mešanju so dobljeni metanilatno funkcionalizirani SiO₂ nanodelci. PVI verige, ki so zaključene s tiolom (PVI-SH), so pripravljene z RAFT polimerizacijo 1-vinylimidazola (VI), 2,20-azoizobutironitrila (AIBN), S-benzil O-etyl karbonititioata (BECD) in dimetilformamida (DMF) med mešanjem, odplinjanjem in dodajanjem natrijevega borohidrida (NaBH₄) ob mešanju v raztopino metanola. Pripravljen PVI-SH obda SiO₂ nanodelce. Po mešanju, centrifugiranju, redispergiranju v etanolu, spiranju in sušenju so dobljeni SiO₂@PVI nanodelci dodani v raztopino NaH₂PO₄. Po mešanju, centrifugiranju in sušenju so dobljeni SiO₂@PVI(H₂PO₄⁻) nanodelci primerni za adsorpcijo Sm³⁺ in Dy³⁺. Spektri FT-IR kažejo značilne vrhove SiO₂ (Si—O—Si, Si—OH, OH), PVI (N=C) in fosfatnih skupin (PO, PO, POH). Slike TEM kažejo, da ima večina nanodelcev okroglo jedro premera 20 nm, obdano z lupino debeline 10 nm. Največja adsorpcijska kapaciteta pri pH 4 in temperaturi 25 °C znaša 160 mg/g za Sm³⁺ in 150 mg/g za Dy³⁺. Adsorpcija Sm³⁺ in Dy³⁺ sledi kinetičnemu modelu psevdo drugega reda in ustreza Freundlichovi adsorpcijski izotermi. Dosežena je 90 % učinkovitost desorpcije Sm³⁺ in Dy³⁺ pri uporabi 0,5 M HCl [21].

Omenjeni nemagnetni materiali za adsorpcijo RZE³⁺ so zbrani v tabeli 1-1.

Tabela 1-1. Nemagnetni nanomateriali za adsorpcijo RZE³⁺

Nanomaterial	Adsorbirani RZE ³⁺	Vir
Oksidirane mwC nanocevke	La, Dy	[19]
Hibrid ALG/SiO₂	Nd	[3]
C	La, Nd	[6]
PAA/SiO₂	La, Eu, Tb	[7]
SiO₂(NPIA)	Nd, Dy	[8][9]
Al₂O₃/SiO₂(MePhPTA)	Dy, Lu	[10]
SiO₂(TMS-EDTA)	Gd	[11]
TiO₂(TMS-EDTA)	Gd	[11]
SiO₂(SBL)	Eu	[12]
SiO₂/citosan(EDTA)	Nd	[14]
SiO₂/citosan(DTPA)	Nd, Sc	[14][17]
SiO₂@PVI(H₂PO₄⁻)	Sm, Dy	[21]

Adsorbenti, ki omogočajo magnetno separacijo, so ena najbolj obetavnih tehnologij adsorpcije RZE³⁺ iz vodnih raztopin [22].

Za sintezo Fe₃O₄ nanodelcev se ustrezna količina FeCl₂·4H₂O in FeCl₃·6H₂O raztopi v deoksigenirani vodi v dušikovi atmosferi pri sobni temperaturi, nato pa se doda raztopina NH₄OH [23] ali NaOH [24] ob močnem mehanskem mešanju, sledi spiranje z dH₂O do izločitve črne oborine. Nastali Fe₃O₄ nanodelci so funkcionalizirani s hidroksiapatitom (HA), ki se proizvaja iz kalcijevega nitratnega tetrahidrata Ca(NO₃)₂·4H₂O in diamonijevega hidrogenfosfata (NH₄)₂HPO₄ [22][25]. FT-IR sintetiziranih **Fe₃O₄(HA)** nanodelcev kaže valovna števila, ki ustrezajo OH skupinam HA, adsorbirani vodi, vezem P–O, Fe₃O₄ ter vibracijam fosfatnih skupin (PO₄, P–O, O–P–O) [22]. Eksperimentalni rezultati kažejo, da je največja adsorpcijska kapaciteta 323 mg/g za Nd³⁺ in 370 mg/g za Sm³⁺ dosežena pri pH 5,5, adsorpcija pa doseže ravnovesje po 150 minutah za oba RZE³⁺ [22]. Zaradi endotermne narave adsorpcije Nd³⁺ in Sm³⁺ je adsorpcija učinkovitejša pri višji temperaturi. Adsorpcija sledi kinetičnemu modelu psevdo drugega reda in ustreza Langmuirjevi adsorpcijski izotermi. Prav tako je Gok [22] ugotovil, da se končni pH raztopine zmanjšuje s povečanjem količine adsorbiranega Nd³⁺ in Sm³⁺, in sicer zaradi osvoboditve vodikovih protonov s površine adsorbenta v vodno raztopino. To kaže, da sta ionska izmenjava in površinska tvorba kompleksov odgovorni za adsorpcijo Nd³⁺ in Sm³⁺ na površino Fe₃O₄(HA) nanodelcev. Največja desorpcija Nd³⁺ in Sm³⁺ s površine Fe₃O₄(HA) nanodelcev je dosežena s spiranjem z raztopino HCl, in sicer znaša 98 % za Nd³⁺ in 99 % za Sm³⁺ kot posledica procesa kationske izmenjave med adsorbentom in desorpcijsko raztopino [22].

Za sintezo **γ -Fe₂O₃(PAEMFP)** nanodelcev je Miraoui [26] sintetizirane magnetne maghemitne γ -Fe₂O₃ nanodelce funkcionaliziral »by grafting« s poli(aminoetilen N-metil 1-mravljinčno kislino, 1-fosforno kislino) (PAEMFP). Sinteza γ -Fe₂O₃ nanodelcev je izvedena s koprecipitacijo stehiometrične zmesi FeCl₂·4H₂O in FeCl₃·6H₂O v raztopini NH₄OH. Tako dobljeni magnetit Fe₃O₄ je nakisan z dušikovo kislino HNO₃, ob dodatku Fe(NO₃)₂ in acetona pa pri 90 °C magnetit oksidira v maghemit γ -Fe₂O₃ [26]. Za sintezo PAEMFP je po obsevanju mešanice polietilenimina (PEI), fosforne kisline H₃PO₃, mravljinčne kisline CH₂O₂, vode in HCl v mikrovalovno pečico dodan formaldehid in raztopina je spirana z vodo. Po izhlapevanju je z nastalim polimerom PAEMFP izvedena funkcionalizacija γ -Fe₂O₃ nanodelcev »by grafting«, ki je potrjena s karakterizacijo FT-IR. Miraoui [26] je pokazal, da adsorpcija Nd³⁺ na **γ -Fe₂O₃(PAEMFP)** nanodelce doseže ravnotežje po 30 minutah in da je največja adsorpcijska kapaciteta 25 mg/g dosežena pri pH 6. Miraoui [26] je raziskoval desorpcijo Nd³⁺ s površine γ -Fe₂O₃(PAEMFP) nanodelcev z uporabo raztopin HCl, HNO₃, H₂SO₄ in CH₃COOH. Z uporabo CH₃COOH raztopine je po 60 minutah dosežena 45 % učinkovitost desorpcije, po 120 minutah pa se učinkovitost desorpcije poveča na 90 %.

Ashour [27] je sintetiziral **Fe₃O₄** magnetne nanodelce s koprecipitacijo iz FeCl₂·4H₂O in FeCl₃·6H₂O z razapljanjem v vodi, segrevanjem, mešanjem v dušikovi atmosferi, dodajanjem raztopine amonijevega hidroksida in z večkratnim spiranjem z vodo. Analiza TEM kaže, da imajo magnetni Fe₃O₄ nanodelci povprečen radij 12 nm, XRD pa kaže šest značilnih vrhov magnetita. Speker FT-IR potrjuje vibracije Fe–O, značilne za magnetit, in vibracije, značilne za površinske hidroksilne skupine. Sintetizirani Fe₃O₄ nanodelci so uporabni za adsorpcijo La³⁺ in Gd³⁺ iz vodnih raztopin. Adsorpcija ustreza Langmuirjevi adsorpcijski izotermi, največja adsorpcijska kapaciteta pa znaša 50,7 mg/g za La³⁺ in 67,1 mg/g za Gd³⁺ [27]. Visoka učinkovitost desorpcije 99 % La³⁺ in Gd³⁺ s površine Fe₃O₄ nanodelcev je dosežena z uporabo 0,5 M HNO₃ raztopine [27].

Ashour [28] je raziskoval **Fe₃O₄(Cys)** nanodelce za odstranitev La³⁺, Nd³⁺, Gd³⁺ in Y³⁺ iz vodnih raztopin. V ta namen so Fe₃O₄ nanodelci, sintetizirani s koprecipitacijo iz FeCl₂·4H₂O in FeCl₃·6H₂O, z razapljanjem v vodi, segrevanjem, mešanjem v dušikovi atmosferi, dodajanjem raztopine amonijevega hidroksida in po večkratnem spiranju z vodo funkcionalizirani z L-cisteinom (Cys). Slike TEM sintetiziranih Fe₃O₄(Cys) nanodelcev kažejo monodisperzno strukturo s povprečnim premerom delcev 12 nm brez aglomeracije. Analiza EDX kaže, da so v vzorcih glavne sestavine železo, kisik in žveplo, analiza XRD pa prikazuje pet značilnih vrhov, ki ustrezano magnetitu, kar kaže, da funkcionalizacija ne povzroči spremembe faze. Uspešno funkcionalizacijo Fe₃O₄ nanodelcev z L-cisteinom potrjujeta analiza TGA in spektroskopija FT-IR. Spektri FT-IR kažejo Fe–O spinelne strukture, kar kaže na nastanek delcev, ter na prisotnost vezi N–H, C=O in COO. SH skupina, značilna za L-cistein, izgine v Fe₃O₄(Cys) nanodelcih zaradi vezave Cys molekul na površino Fe₃O₄ nanodelcev s kovalentno Fe–S vezjo. Največja adsorpcijska kapaciteta znaša 71,5 mg/g za La³⁺, 145,5 mg/g za Nd³⁺, 64,5 mg/g za Gd³⁺ in 13,6 mg/g za Y³⁺ pri pH 6 po 15 minutah adsorpcije. Adsorpcija sledi kinetičnemu modelu psevdo drugega reda in ustreza Langmuirjevi adsorpcijski izotermi. Posneti so spektri FT-IR sistemov RZE³⁺/Fe₃O₄(Cys), kjer je razvidno, da so vrhovi terciarnih aminov in C=O doseženi pri drugih valovnih dolžinah kot pri Fe₃O₄(Cys) nanodelcih zaradi interakcije med karboksilatnimi in amino skupinami v Cys in RZE³⁺ [28]. Visoka učinkovitost desorpcije od 85 % do 90 % za La³⁺, Nd³⁺, Gd³⁺ in Y³⁺ s površine Fe₃O₄(Cys) nanodelcev je dosežena z uporabo 0,1 M HNO₃ [28].

Za odstranitev La^{3+} , Nd^{3+} , Gd^{3+} in Y^{3+} iz vodnih raztopin je Ashour [29] raziskoval **$\text{Fe}_3\text{O}_4(\text{CA})$** nanodelce. Pripravljeni Fe_3O_4 so funkcionalizirani s citronsko kislino (CA). Slike TEM $\text{Fe}_3\text{O}_4(\text{CA})$ nanodelcev kažejo sferične delce. Analiza XRD pa kaže pet značilnih vrhov, ki ustreza magnetitu, kar kaže, da funkcionalizacija ne povzroči spremembe faze. Iz spektrov FT-IR je razvidno, da so vibracije karbociklične funkcionalne skupine C=O pri CA dosežene pri nižjem valovnem številu, kot so pri $\text{Fe}_3\text{O}_4(\text{CA})$ nanodelcih. Simetrično raztezanje COO⁻ skupine, značilne za CA, je prav tako pri nižjem valovnem številu, kar potrjuje uspešno funkcionalizacijo Fe_3O_4 s CA. Termogrami TGA nanodelcev $\text{Fe}_3\text{O}_4(\text{CA})$ kažejo, da pri segrevanju do 200 °C znaša izguba mase približno 1 %, nad 200 °C pa okoli 8,8 %. TGA potrjuje funkcionalizacijo Fe_3O_4 s CA. Največja adsorpcijska kapaciteta znaša 32,5 mg/g za La^{3+} , 41 mg/g za Nd^{3+} , 52 mg/g za Gd^{3+} in 35,8 mg/g za Y^{3+} pri pH 7 [29]. Adsorpcija sledi kinetičnemu modelu psevdo drugega reda in ustreza Langmuirjevi adsorpcijski izotermi. Visoka učinkovitost desorpcije, nad 85 % za La^{3+} , Nd^{3+} , Gd^{3+} in Y^{3+} s površine $\text{Fe}_3\text{O}_4(\text{CA})$ nanodelcev, je dosežena z uporabo 0,5 M HNO_3 raztopine [29].

Yesiller [30] je preučeval ničvalentne **Fe^0** nanodelce. Za sintezo je $\text{FeCl}_2 \cdot 4\text{H}_2\text{O}$ raztopljen v etanolu in vodi, nato pa je celotna raztopina mešana v ultrazvočnem stresalniku. Po dodatku raztopine NaBH_4 , mešanju in filtraciji je dobljena oborina trikrat sprana z etanolom in nato sušena v pečici. Karakterizaciji SEM in TEM potrjujeta značilno verižno strukturo. Popolna adsorpcija La^{3+} , Nd^{3+} , Gd^{3+} , Ho^{3+} , Ce^{3+} , Sm^{3+} , Tb^{3+} , Er^{3+} , Pr^{3+} , Eu^{3+} , Dy^{3+} in Yb^{3+} iz vodnih raztopin z Fe^0 nanodelci je dosežena pri pH 3, začetni koncentraciji 100 mg/L po času adsorpcije 30 minut [30].

Yesiller [30] je preučeval kompozitne **Fe^0/Al** nanodelce za adsorpcijo La^{3+} , Nd^{3+} , Gd^{3+} , Ho^{3+} , Ce^{3+} , Sm^{3+} , Tb^{3+} , Er^{3+} , Pr^{3+} , Eu^{3+} , Dy^{3+} in Yb^{3+} iz vodnih raztopin. Za sintezo Fe^0/Al nanodelcev je $\text{FeCl}_2 \cdot 4\text{H}_2\text{O}$ raztopljen v raztopini EtOH in vode. Po dodatku Al_2O_3 sledi stresanje, dodačanje raztopine NaBH_4 , mešanje, filtriranje, večkratno spiranje z etanolom in sušenje [30]. Slike SEM kažejo, da imajo Fe^0/Al nanodelci podobno verižno strukturo kot Fe^0 nanodelci, vendar so Fe^0/Al nanodelci prisotni tudi v disperzni obliki. Maksimalna adsorpcijska učinkovitost pri začetni koncentraciji RZE³⁺ 100 mg/L in po času adsorpcije 30 minut znaša 75,85 % pri pH 6 za La^{3+} , 89,88 % pri pH 3 za Nd^{3+} , 93,46 % pri pH 3 za Gd^{3+} , 96,23 % pri pH 3 za Ho^{3+} , 83,74 % pri pH 3 za Ce^{3+} , 94,86 % pri pH 3 za Sm^{3+} , 95,98 % pri pH 3 za Tb^{3+} , 96,46 % pri pH 3 za Er^{3+} , 88,09 % pri pH 3 za Pr^{3+} , 95,36 % pri pH 3 za Eu^{3+} , 96,36 % pri pH 3 za Dy^{3+} in 97,10 % pri pH 3 za Yb^{3+} [30].

Za odstranitev Gd^{3+} iz vodne raztopine so učinkovito uporabljeni **$\text{Fe}_3\text{O}_4(\text{TMS-EDTA})$** nanodelci [11]. Nanodelci Fe_3O_4 so na površini funkcionalizirani z N-[3-tri metoksisilil] propil] etilendiamin triocetno kislino (TMS-EDTA). Za sintezo Fe_3O_4 nanodelcev je uporabljena mešanica etilenglikola in n-oktilamina (NOA), FeCl_3 in Milli-Q vode, kjer so po reakciji dobljeni Fe_3O_4 nanodelci odstranjeni iz reakcijske zmesi z magnetom, sprani z acetonom in posušeni. Po razapljanju tako dobljenih Fe_3O_4 v MeOH je dodan TMS-EDTA skupaj z nekaj kapljicami ledacetne kisline. Nanodelci $\text{Fe}_3\text{O}_4(\text{TMS-EDTA})$ so odstranjeni iz reakcijske zmesi z magnetom ali centrifugo ter sprani z vodo in acetonom. Analiza TEM $\text{Fe}_3\text{O}_4(\text{TMS-EDTA})$ nanodelcev kaže sferične oblike s povprečnim premerom 10,5 nm. Spektri FT-IR kažejo, da je območje vibracij razširjeno in premaknjeno zaradi tvorbe Si-O-Fe vezi. Največja adsorpcijska kapaciteta Gd^{3+} iz vodne raztopine je 113 mg/g pri pH 6,3. Desorpcijo Gd^{3+} s površine $\text{Fe}_3\text{O}_4(\text{TMS-EDTA})$ nanodelcev z uporabo raztopine 1 M HCl je 98 % in je končana že po 5 minutah pri pH 3 [11].

Dubey & Grandhi sta v [31] predstavila adsorpcijo Y^{3+} z $\gamma\text{-Fe}_2\text{O}_3$ nanodelci. V ta namen so sintetizirani $\gamma\text{-Fe}_2\text{O}_3$ nanodelci iz železovega oksalat dehidrata, ki je dobljen iz $\text{FeSO}_4 \cdot 7\text{H}_2\text{O}$ in raztopine natrijevega oksalat dihidrata, po večkratnem spiranju z dH_2O in etanolom. Po kalcinaciji dobljeni $\gamma\text{-Fe}_2\text{O}_3$ nanodelci so velikosti 30,22 nm, kar je pokazala analiza XRD. Spektri FT-IR $\gamma\text{-Fe}_2\text{O}_3$ nanodelcev kažejo vibracije v nižjem frekvenčnem območju, kar potrjuje nastanek maghemita in nekaj vrhov z nizko intenziteto v višje frekvenčnem območju, kar potrjuje prisotnost OH skupine. Iz spektrov FT-IR nanodelcev z adsorbiranimi RZE^{3+} (sistem $\text{Y}^{3+}/\gamma\text{-Fe}_2\text{O}_3$) so vidni premiki pozicij vrhov vibracij glede na valovno število, spremenjanje intenzitete in širine vrhov, kar potrjuje prisotnost kontakta med maghemitem in Y^{3+} [31]. Analiza SEM prikazuje razliko v teksturi med $\gamma\text{-Fe}_2\text{O}_3$ nanodelci in sistemom $\text{Y}^{3+}/\gamma\text{-Fe}_2\text{O}_3$ zaradi adsorpcije Y^{3+} na nano maghemitu. Najvišja absorpcijska kapaciteta Y^{3+} iz vodne raztopine z $\gamma\text{-Fe}_2\text{O}_3$ nanodelci je dosežena pri pH 6,9, in sicer znaša 13,5 mg/g pri začetni koncentraciji 3,6 mg/L Y^{3+} in pri sobni temperaturi, medtem ko je ravnotežje doseženo po 50 minutah [31]. Adsorpcija sledi kinetičnemu modelu psevdo drugega reda in ustreza Langmuirjevi adsorpcijski izotermi. Dubey & Grandhi [31] sta raziskovala desorpcijo Y^{3+} s površine $\gamma\text{-Fe}_2\text{O}_3$ nanodelcev v dH_2O pri pH 7 in pri različnih temperaturah. Ugotovila sta, da je največji odstotek desorpcije 1,9 % dosežen pri 50 °C. Izredno nizek odstotek desorpcije kaže, da je adsorpcija Y^{3+} na $\gamma\text{-Fe}_2\text{O}_3$ nanodelce nepovratna zaradi močne vezave med obema fazama.

Galhoum je v literaturi [32] predstavil $\text{Fe}_3\text{O}_4/\text{citosan(Cys)}$ nanodelce za adsorpcijo La^{3+} , Nd^{3+} in Yb^{3+} iz vodnih raztopin. Citosan se obori v alkalnih pogojih hkrati s sintezo Fe_3O_4 nanodelcev, ki je produkt reakcije med solmi FeSO_4 in FeCl_3 . Po kapljičnem dodajanju NaOH , so dobljeni $\text{Fe}_3\text{O}_4/\text{citosan}$ nanodelci funkcionalizirani z epiklorohidrinom kot premreževalnim sredstvom. Vsak nezreagiran epiklorohidrin se med intenzivnim spiranjem z dH_2O odstrani. Po funkcionalizaciji s cisteinom (Cys) se sintezirajo $\text{Fe}_3\text{O}_4/\text{citosan(Cys)}$ nanodelci. Strukturne, površinske in magnetne lastnosti $\text{Fe}_3\text{O}_4/\text{citosan(Cys)}$ nanodelcev so raziskovane z analizami EDXS, FT-IR, XRD in TEM. Elementna analiza EDXS kaže povečane vsebnosti elementov C, H, N in S in tako potrjuje uspešno funkcionalizacijo $\text{Fe}_3\text{O}_4/\text{citosan}$ nanodelcev s cisteinom preko epiklorhidrina. Absorpcijski vrhovi v spektru FT-IR ustrezajo razteznim vibracijam $\text{Fe}-\text{O}$ v Fe_3O_4 , OH , $\text{N}-\text{H}$ in NH_2 , CH_2-Cl v citosanu in karboksilatne skupine COO^- v cisteinu. Različni vrhovi analize XRD vzorca $\text{Fe}_3\text{O}_4/\text{citosan(Cys)}$ potrjujejo obstoj Fe_3O_4 s spinelno strukturo z magnetnimi lastnostmi, primernimi za magnetno ločevanje in obnovo $\text{Fe}_3\text{O}_4/\text{citosan(Cys)}$ nanodelcev. Slike TEM prikazujejo sferično morfologijo in porazdelitev v posamezne razrede nanodelcev: 7–10 nm za manjše in 20–25 nm za večje nanodelce. Za nanodelce je značilna delna aglomeracija, tako da je povprečni premer delcev od 150 nm do 250 nm. Največja dosežena adsorpcijska kapaciteta $\text{Fe}_3\text{O}_4/\text{citosan(Cys)}$ nanodelcev za adsorpcijo RZE^{3+} iz vodnih raztopin znaša 17,0 mg/g za La^{3+} , 17,1 mg/g za Nd^{3+} in 18,4 mg/g za Yb^{3+} pri pH 5 in pri temperaturi 47 °C [32]. Adsorpcija sledi kinetičnemu modelu psevdo drugega reda in ustreza Langmuirjevi adsorpcijski izotermi. Galhoum [32] je dosegel desorpcijo >90 % za La^{3+} , Nd^{3+} in Yb^{3+} s površine $\text{Fe}_3\text{O}_4/\text{citosan(Cys)}$ nanodelcev, in sicer z reakcijo med Fe_3O_4 in tiourejo $\text{SC}(\text{NH}_2)_2$, nakisano z nekaj kapljicami raztopine H_2SO_4 . Adsorpcijska kapaciteta adsorbenta se po štirih zaporednih ciklih adsorpcija/desorpcija rahlo zmanjša [32].

Hibridne magnetne **Fe₃O₄/citosan(DETA)** nanodelce je preučeval Mahfouz [33]. Mešanica citosana, raztopljenega v raztopini ocetne kisline, soli FeSO₄ in FeCl₃ je oborjena z dodatkom NaOH po kapljicah ob mešanju. Po dodatku pripravljene alkalne raztopine epiklorohidrina sledi segrevanje zmesi, mešanje in spiranje z vodo, da se odstrani nezreagiran epiklorohidrin. Fe₃O₄/citosan nanodelci so funkcionalizirani z dietilentriaminom (DETA) v dveh korakih. V prvem koraku je citosan dispergiran v mešanici EtOH in vode, k suspenziji je dodan epiklorohidrin med mešanjem, produkt pa je filtriran in spiran trikrat zapored z EtOH in vodo. V drugem koraku pa je produkt dispergiran v mešanici EtOH in vode, po mešanju z DETA pa sledi filtriranje, spiranje z EtOH in vodo ter sušenje končnega produkta. Sintetizirani Fe₃O₄/citosan(DETA) nanodelci so primerni za adsorpcijo Nd³⁺, Dy³⁺ in Yb³⁺ iz vodnih raztopin [34]. Elementna analiza kaže povečanje vsebnosti N v Fe₃O₄/citosan(DETA) nanodelcih, kar dokazuje učinkovitost funkcionalizacije. Prisotnost magnetita potrjuje analiza XRD. Analiza FT-IR kaže, da je DETA nadomestil več kot 90 % dušika na zamreženem citosanu. Slike TEM kažejo velikosti nanodelcev od 10 nm do 30 nm. Maksimalna adsorpcijska kapaciteta pri pH 5 znaša 50 mg/g za Nd³⁺, 51,5 mg/g za Dy³⁺ in 51,5 mg/g za Yb³⁺. Adsorpcija sledi kinetičnemu modelu psevdo drugega reda in ustrez Langmuirjevi adsorpcijski izotermi. Nd³⁺, Dy³⁺ in Yb³⁺ so 90 % desorbirani s površine nanodelcev z uporabo tioureje, nakisane z nekaj kapljicami raztopine H₂SO₄ [32][34].

Magnetni GMZ-bentonit je pripravljen iz disperzije GMZ-bentonita v raztopini, ki vsebuje FeSO₄(NH₄)₂SO₄·6H₂O in FeCl₃·6H₂O in ji je po kapljicah dodana raztopina NH₃·H₂O [35]. Spektri FT-IR sintetiziranih magnetnih GMZ-bentonit nanodelcev kažejo adsorpcijske vrhove, ki ustrezajo vibracijam OH, H₂O, Al–O–Si, Al–Al–OH, Si–O–Si, Al–Si, Si–O in Fe–O. Analiza SEM kaže kosmičasto površino nanodelcev pri masnem razmerju bentonita in železovega oksida 10 : 1, oziroma cvetno strukturo pri masnem razmerju bentonita in železovega oksida 1,5 : 1. ζ -potencial magnetnega GMZ-bentonita se z naraščanjem pH zmanjšuje. Adsorpcijska kapaciteta magnetnega GMZ-bentonita pri pH 6,5 in vsebnosti adsorbatov 1,0 g/L znaša 18,4 mg/g za La³⁺, 26,1 mg/g za Eb³⁺ in 71,4 mg/g za Yb³⁺. Adsorpcija sledi kinetičnemu modelu psevdo drugega reda in ustrez Langmuirjevi adsorpcijski izotermi. La³⁺, Eu³⁺ in Yb³⁺ je mogoče desorbirati s površine magnetnega GMZ-bentonita z uporabo 0,5 M HCl raztopine in 0,5 M NaCl [35]. Z uporabo HCl je lahko dosežena celotna desorpcija Eu³⁺ z nanodelcev, vendar ponovna uporaba le-teh po desorpciji ni zadovoljiva. Nanodelci se namreč popolnoma raztopijo [35]. Regeneracija Eu³⁺ z 0,5 M raztopino NaCl se z 92,6 % v prvem ciklu zmanjša na 84,3 % v tretjem ciklu.

Qiu [36] je raziskoval **Fe₃O₄@SiO₂(P507)** nanomaterial za adsorpcijo Y³⁺ iz vodnih raztopin. Za pripravo Fe₃O₄@SiO₂(P507) nanodelcev je treba zmešati tetraetoksilan (TEOS), nekaj kapljic mravljinčne kisline in dH₂O. Med mešanjem je dodana raztopina EtOH, ki vsebuje monoetilheksilfosfonsko kislino mono-(2-etilheksil) ester (P507). Po dodatku Fe₃O₄ v raztopino sledi sonikacija in s pomočjo razredčenega amonijaka hitro nastane gel. Po izhlapevanju, spiranju z vodo in sušenju nastanejo Fe₃O₄@SiO₂(P507) nanodelci. Spektri FT-IR kažejo C–H raztezne vibracije CH₃ in P(O)OH vibracije. Slike SEM potrjujejo porozni učinek funkcionaliziranega P507 v hibridnem materialu. Izguba mase nanodelcev, določena s TGA, kaže razgradnjo organskih skupin v P507. Največja adsorpcijska kapaciteta Y³⁺ je 7,34 mg/g pri pH 4 in začetni koncentraciji adsorbata 0,32 mmol/L. Adsorpcija sledi kinetičnemu modelu psevdo drugega reda in ustrez Langmuirjevi adsorpcijski izotermi [36]. Raziskave desorpcije Y³⁺ s površine Fe₃O₄@SiO₂(P507) nanomateriala z uporabo 0,2 M in 0,02 M etilendiamintetraocetne kisline (EDTA) in 0,67 M HCl kažejo, da je najprimernejši reagent za desorpcijo 0,67 M HCl, saj omogoča 95,7 % desorpcijo [36].

Dupont [37] je preučeval **Fe₃O₄@SiO₂(TMS-EDTA)** nanodelce za adsorpcijo Nd³⁺ iz vodnih raztopin. Magnetni Fe₃O₄@SiO₂ nanodelci, pripravljeni z modificirano Stöberjevo sol-gel metodo, so funkcionalizirani z N-[(3-trimetoksisilil) propil] etilendiamin triacetno kislino (TMS-EDTA). V segreto zmes etilenglikola in n-oktilamina (NOA) je počasi dodana raztopina Fe³⁺ in je nadalje segrevana. Oborjeni delci, ločeni iz reakcijske zmesi z magnetom, so večkrat sprani z acetonom. Po sušenju se Fe₃O₄(NOA) nanodelci dispergirajo v EtOH, dodana sta še NH₃ in TEOS, da se pridobi SiO₂ lupina. Po centrifugiranju, spiranju z vodo in acetonom so dobljeni Fe₃O₄@SiO₂ nanodelci, ki so funkcionalizirani s TMS-EDTA. Ta postopek silanizacije se začne z nastavljivijo pH s HCl na 4,5 in dispergiranjem Fe₃O₄@SiO₂ nanodelcev v MeOH/H₂O ter z dodajanjem TMS-EDTA skupaj z nekaj kapljicami ledocetne kisline. Oborjeni Fe₃O₄@SiO₂(TMS-EDTA) nanodelci so iz reakcijske zmesi ločeni z magnetom, sprani z vodo in acetonom ter posušeni. Slike TEM sintetiziranih Fe₃O₄@SiO₂(TMS-EDTA) nanodelcev kažejo povprečen premer delcev 24 nm. Najvišja adsorpcijska kapaciteta za Nd³⁺ je 17,0 mg/g pri pH 6 [37]. Dobljena 94 % desorpcija Nd³⁺ s površine Fe₃O₄@SiO₂(TMS-EDTA) nanodelcev je dosežena z raztopino HCl pri pH 1,5 [37].

Wu je v literaturi [38] predstavil magnetne kompozitne **Fe₃O₄@SiO₂-Cl(P507)** nanodelce za adsorpcijo La³⁺ iz vodnih raztopin. Priprava teh nanodelcev zajema štiri korake: (i) saponifikacija 2-etilheksil fosfonične kisline mono-2-etilheksila (P507), da se z mešanjem P507 in natrijevega hidroksida v toluenu dobi Na-P507, (ii) sinteza magnetnega Fe₃O₄ jedra s hidrotermalno metodo in enkapsulacija v amorfno siliko s sol-gel postopkom, da se sintetizirajo jedro@lupina Fe₃O₄@SiO₂ nanodelci, (iii) modifikacijo Fe₃O₄@SiO₂ nanodelcev s pomočjo 3-kloropropiltretoksilana v brezvodnem etanolu za nastanek prašnih delcev Fe₃O₄@SiO₂-Cl, (iv) funkcionalizacija Fe₃O₄@SiO₂-Cl z Na-P507 za Fe₃O₄@SiO₂-Cl(P507) nanodelce. Analizi FT-IR in XPS potrjujeta funkcionalne skupine P=O, ki imajo pomembno vlogo pri adsorpciji RZE³⁺ [38]. Za dosego največje adsorpcijske kapacitete 55,9 mg/g za La³⁺ je optimalni pH 5,5. Adsorpcija sledi kinetičnemu modelu drugega reda in ustreza Langmuirjevi adsorpcijski izotermi [38]. Wu [38] je raziskoval desorpcijo La³⁺ s površine Fe₃O₄@SiO₂-Cl(P507) nanodelcev in ugotovil, da je izgubljenega regeneriranega La³⁺ le 0,18 % po desorpciji. Tako nizka količina La³⁺ v vodni raztopini po desorpciji je indikator, da se izguba regeneriranega La³⁺ lahko prezre [38].

Basualto je v literaturi [39] predstavil adsorpcijo La³⁺, Ce³⁺, Pr³⁺ in Nd³⁺ iz vodnih raztopin z **Fe₃O₄@C₁₈H₃₄O₂(CYANEX 272)** nanodelci, kjer je magnetit (Fe₃O₄) prevlečen z oleinsko kislino (C₁₈H₃₄O₂) in funkcionaliziran z bis(2,4,4-trimetilpentil) fosfinsko kislino (CYANEX 272). Za sintezo Fe₃O₄ nanodelcev je raztopina Fe³⁺ in Fe²⁺ mešana v inertni dušikovi atmosferi, ogrevana in po dodatku raztopine NH₄OH dobljena oborina dekanfirana z magnetom in sprana večkrat z dH₂O, dobljeni Fe₃O₄ nanodelci pa so posušeni [39]. Po stabilizaciji z oleinsko kislino pa je izvedena funkcionalizacija s CYANEX 272. Spektri FT-IR nanodelcev Fe₃O₄@C₁₈H₃₄O₂(CYANEX 272) kažejo značilne vrhove za prisotnost CH₂, CH, P=O, C—O—P in P—O. Slike SEM in TEM potrjujejo znatno aglomeracijo nanodelcev, vendar analiza TEM kaže, da aglomerirani nanodelci ne izgubijo svoje individualnosti, za katero je značilno jedro v velikosti 10 nm in organska prevleka. Analiza TGA razkriva, da se pri zviševanju temperature pojavljajo neenakomerne izgube mase, kar pomeni, da je izguba mase verjetno posledica sproščanja plinov pri dekompoziciji organskega materiala, povezanega s fizično adsorpcijo ekstrakta na magnetne nanodelce in nato še s kemisorpcijo oleinske kisline. Analiza VSM kaže, da so sintetizirani nanodelci superparamagneti. Najvišja adsorpcijska kapaciteta z Fe₃O₄@C₁₈H₃₄O₂(CYANEX 272) nanodelci znaša 14,4 mg/g za La³⁺, 12 mg/g za Ce³⁺, 11,6 mg/g za Pr³⁺ in 13,2 mg/g za Nd³⁺ [39].

Almeida [40] je raziskoval **Fe₃O₄@SiO₂(EAPS/DTPA)** nanodelce za adsorpcijo Nd³⁺ in La³⁺ iz vodnih raztopin. Nanodelci Fe₃O₄@SiO₂(EAPS/DTPA) so pripravljeni v zaporednih korakih, od koprecipitacije Fe(OH)₂/Fe(OH)₃, silanizacije s TEOS z uporabo sol-gel metode in s funkcionalizacijo z zaporednim dodatkom etilendiaminpropiltrimetoksilana (EAPTMS) in dietilentriaminpentaocetnega anhidrida (DTPA). Spektri FT-IR kažejo prisotnost N–N, C–H, Si–O–Si, Fe–O in CO₂. Slike TEM kažejo precej enakomerno porazdelitev velikosti jedra približno 12 nm, kar ustrezna nanodelcem kristalnega magnetita. Z analizo DLS je določen hidrodinamični premer Fe₃O₄@SiO₂(EAPS/DTPA) nanodelcev, ki v povprečju znaša 44 nm. Najvišja adsorpcijska kapaciteta znaša 62 mg/g za La³⁺ in 28 mg/g za Nd³⁺ z uporabo Fe₃O₄@SiO₂(EAPS/DTPA) nanodelcev [40].

Zhang je v literaturi [41] predstavil **Fe⁰@SiO₂@PA/SiO₂(DTPA)** nanodelce za adsorpcijo La³⁺, Ce³⁺, Pr³⁺, Nd³⁺, Sm³⁺, Eu³⁺, Gd³⁺, Tb³⁺, Dy³⁺ in Ho³⁺ iz vodnih raztopin. Za sintezo nanodelcev so najprej ničivalentni Fe⁰ nanodelci, ki predstavljajo jedro, obdani z lupino iz SiO₂ z modificiranim sol-gel postopkom, kjer je kot prekurzor uporabljen tetraetyl ortosilikat (TEOS), kot katalizator pa amonijak (NH₃·H₂O). Potem so molekule poli (alilamin)hidroklorida (PA) delno vtrisnjene v drugo plast SiO₂, ki je sintetizirana iz tetrametoksilana (TMOS) s titracijo z alkalnim karboksietilsilanetriolom (CEST). Nato so molekule dietilentriamin-pentaacetične kisline (DTPA) direktno povezane s kovalentnimi vezmi na primarne amino skupine dvojno obloženih magnetnih nanodelcev, in sicer z aktiviranjem 1-etil-3-(3-dimetilaminopropil) karbodiimida (EDC) karboksilnih skupin. Spektri FT-IR nanodelcev Fe⁰@SiO₂@PA/SiO₂(DTPA) potrjujejo uspešno funkcionalizacijo z DTPA. Analiza VSM potrjuje magnetne lastnosti Fe⁰@SiO₂@PA/SiO₂(DTPA) nanodelcev. Največja adsorpcijska kapaciteta znaša 0,1 mg/g za La³⁺, 0,2 mg/g za Ce³⁺, 0,4 mg/g za Pr³⁺, 0,65 mg/g za Nd³⁺, 1,3 mg/g za Sm³⁺, 1,4 mg/g za Tb³⁺, 1,5 mg/g za Eu³⁺, 1,7 mg/g za Gd³⁺ in Ho³⁺ in 1,85 mg/g za Dy³⁺ pri pH 3 in pri sobni temperaturi. Interakcija RZE³⁺ z Fe⁰@SiO₂@PA/SiO₂(DTPA) nanodelci sledi kinetiki psevdo drugega reda [41].

Liu [42] je predstavil **Fe₃O₄@C₁₈@citosan(DETA)** nanodelce za adsorpcijo Dy³⁺, Nd³⁺ in Er³⁺ iz vodnih raztopin. Fe₃O₄ nanodelci so pripravljeni iz FeCl₃·6H₂O in natrijevega acetata (NaAc). Silanizacija je izvedena z oktadeciltretoksilanom in nato pomešana s citosansko raztopino z dodatkom raztopine natrijevega tripolifosfata po kapljicah ob konstantnem mešanju. Postopna funkcionalizacija je opravljena z epiklorohidriom in dietilentriaminom (DETA). Spektri FT-IR nanodelcev Fe₃O₄@C₁₈@citosan(DETA) kažejo prisotnost Fe–O, O–Si–C, C–O–C in P=O. Slike TEM potrjujejo, da so Fe₃O₄ delci prevlečeni z modificiranim citosanom. Stopnja funkcionalizacije je ocenjena z analizo TGA v atmosferi dušika. Skupna izguba mase Fe₃O₄@C₁₈@citosan(DETA) nanodelcev je 16 % zaradi izparevanja vode, kar potrjuje pričakovano hidrofilnost nanodelcev (< 140 °C), depolimerizacijo in razkroj citosana (od 140 °C do 550 °C) ter termični razkroj organskega preostanka (med 550 °C in 700 °C). Najvišja adsorpcijska sposobnost Fe₃O₄@C₁₈@citosan(DETA) nanodelcev znaša 28,3 mg/g za Dy³⁺, 27,1 mg/g za Nd³⁺ in 30,6 mg/g za Er³⁺ pri pH 7 in temperaturi 25 °C [42]. Adsorpcija sledi kinetičnemu modelu psevdo drugega reda in ustrez Langmuirjevi adsorpcijski izotermi.

Yang je v literaturi [43] obravnaval **Fe₃O₄@HA** magnetne nanodelce za adsorpcijo Eu³⁺ iz vodnih raztopin. Nanodelci magnetita (Fe₃O₄) predstavljajo jedro, lupino nanodelca pa predstavlja naravni kislinski polimer C₁₈₇H₁₈₆O₈₉N₉S (HA). Z metodo koprecipitacije so Fe₃O₄@HA nanodelci pripravljeni iz FeSO₄·7H₂O in FeCl₃·6H₂O, NH₄OH raztopine in NaCl, ki vsebuje HA. Spekter FT-IR Fe₃O₄@HA kaže prisotnost vezave Fe–O in vsi značilni vrhovi HA so prisotni tudi v spektru Fe₃O₄@HA, kar kaže na to, da HA obdaja površino Fe₃O₄ jedra. Iz primerjave analize XRD za Fe₃O₄ nanodelcev in Fe₃O₄@HA je razvidno, da lupina HA ne spremeni kubične strukture Fe₃O₄ jeder. Slike TEM potrjujejo, da HA lupina bistveno izboljša disperzijo Fe₃O₄@HAnanodelcev v raztopini. Meritve ζ -potenciala kažejo, da HA uspešno obdaja površino Fe₃O₄. Najvišja adsorpcijska kapaciteta Fe₃O₄@HA znaša 0,07 mmol/g za Eu³⁺ pri pH 5 in pri sobni temperaturi. Adsorpcija ustreza Langmuirjevi adsorpcijski izotermi. Desorpcijska izoterma leži višje od adsorpcijske izoterme, kar kaže na ireverzibilno adsorpcijo in prevladujočo močno kemično adsorpcijo [43].

V tabeli 1-2 so prikazani raziskani magnetni nanomateriali za adsorpcijo RZE³⁺.

Tabela 1-2. Magnetni nanomateriali za adsorpcijo RZE³⁺

Magnetni nanodelci	Adsorbirani RZE ³⁺	Vir
Fe ₃ O ₄ (HA)	Nd, Sm	[22]
γ -Fe ₂ O ₃ (PAEMFP)	Nd	[26]
Fe ₃ O ₄	La, Gd	[27]
Fe ₃ O ₄ (Cys)	La, Nd, Gd, Y	[28]
Fe ₃ O ₄ (CA)	La, Nd, Gd, Y	[29]
Fe ⁰	La, Nd, Gd, Ho, Ce, Sm, Tb, Er, Pr, Eu, Dy, Yb	[30]
Fe ⁰ /Al	La, Nd, Gd, Ho, Ce, Sm, Tb, Er, Pr, Eu, Dy, Yb	[30]
Fe ₃ O ₄ (TMS-EDTA)	Gd	[11]
γ -Fe ₂ O ₃	Y	[31]
Fe ₃ O ₄ /citosan(Cys)	La, Nd, Yb	[32]
Fe ₃ O ₄ /citosan(DETA)	Yb, Dy, Nd	[34]
Magnetni GMZ-bentonit	La, Eu, Yb	[35]
Fe ₃ O ₄ /SiO ₂ (P507)	Y	[36]
Fe ₃ O ₄ @SiO ₂ (TMS-EDTA)	Nd	[37]
Fe ₃ O ₄ @SiO ₂ -Cl(P507)	La	[38]
Fe ₃ O ₄ @C ₁₈ H ₃₄ O ₂ (CYANEX 272)	La, Ce, Pr, Nd	[39]
Fe ₃ O ₄ @SiO ₂ (EAPS/DTPA)	La, Nd	[40]
Fe ⁰ @SiO ₂ @PA/SiO ₂ (DTPA)	La, Ce, Pr, Nd, Sm, Tb, Eu, Gd, Ho, Dy	[41]
Fe ₃ O ₄ @C ₁₈ @chitosan(DETA)	Dy, Nd, Er	[42]
Fe ₃ O ₄ @HA	Eu	[43]

Nanomateriali za adsorpcijo RZE³⁺ od Sc³⁺ do Sm³⁺ so zbrani v tabeli 1-3, od Eu³⁺ do Lu³⁺ pa v tabeli 1-4 , kjer je poleg adsorpcijske kapacitete podana še učinkovitost desorpcije.

Tabela 1-3. Adsorpcija in desorpcija RZE³⁺ od Sc³⁺ do Sm³⁺

RZE ³⁺	Nanomaterial	Kapaciteta adsorpcije (mg/g)	Učinkovitost desorpcije (%)	Vir
Sc	SiO ₂ /CLx	23,8	NaN	[20]
	SiO ₂ /citosan(DTPA)	85,4	NaN	[17]
Y	Fe ₃ O ₄ (Cys)	13,6	85–90	[28]
	Fe ₃ O ₄ (CA)	35,8	> 85	[29]
La	γ-Fe ₂ O ₃	13,5	1,9	[31]
	Fe ₃ O ₄ /SiO ₂ (P507)	7,3	95,9	[36]
Ce	oksidirani mwC	99,0	65	[19]
	PAA/SiO ₂	232,6	98	[7]
	SiO ₂ /CLx	29,5	NaN	[20]
	Fe ₃ O ₄	50,7	99	[27]
	Fe ₃ O ₄ (Cys)	71,5	85–90	[28]
	Fe ₃ O ₄ (CA)	32,5	> 85	[29]
	Fe ₃ O ₄ /citosan(Cys)	17,0	> 90	[32]
	magnetni GMZ-bentonit	18,4	NaN	[35]
	Fe ₃ O ₄ @C ₁₈ H ₃₄ O ₂ (CYANEX 272)	14,4	NaN	[39]
	Fe ₃ O ₄ @SiO ₂ -Cl(P507)	55,9	> 98	[38]
Pr	Fe ₃ O ₄ @SiO ₂ (EAPS/DTPA)	62,0	NaN	[40]
	Fe ^o @SiO ₂ @PA/SiO ₂ (DTPA)	0,1	NaN	[41]
Nd	Fe ₃ O ₄ @C ₁₈ H ₃₄ O ₂ (CYANEX 272)	12,0	NaN	[39]
	Fe ^o @SiO ₂ @PA/SiO ₂ (DTPA)	0,2	NaN	[41]
Pm	SiO ₂ (o-CMCH)	23,0	NaN	[4]
	Fe ₃ O ₄ @C ₁₈ H ₃₄ O ₂ (CYANEX 272) MNPs	11,6	NaN	[39]
Sm	Fe ^o @SiO ₂ @PA/SiO ₂ (DTPA)	0,4	NaN	[41]
	hibridni ALG/SiO ₂	135,6	99	[3]
	SiO ₂ (NPIA)	17,3	93	[8][9]
	SiO ₂ /citosan(EDTA)	24,1	97	[14]
	SiO ₂ /citosan(DTPA)	34,6	98	[14]
	SiO ₂ (o-CMCH)	30,0	100	[4]
	Fe ₃ O ₄ (HA)	323,0	98	[22]
	γ-Fe ₂ O ₃ (PAEMFP)	25,0	90	[26]
	Fe ₃ O ₄ (Cys)	145,5	85–90	[28]
	Fe ₃ O ₄ (CA)	41,0	> 85	[29]

Tabela 1-4. Adsorpcija in desorpcija RZE³⁺ od Eu³⁺ do Lu³⁺

RZE ³⁺ Nanomaterial	Kapaciteta adsorpcije (mg/g)	Učinkovitost desorpcije (%)	Vir
Eu	PAA/SiO ₂	268,8	94 [7]
	SiO ₂ (SBL)	281,0	85 [12]
	SiO ₂ /CLX	24,3	NaN [20]
	magnetni GMZ-bentonit	26,1	> 99 [35]
	Fe ^o @SiO ₂ @PA/SiO ₂ (DTPA)	1,5	NaN [41]
Gd	Fe ₃ O ₄ @HA	10,6	NaN [43]
	SiO ₂ (TMS-EDTA)	395,0	NaN [11]
	TiO ₂ (TMS-EDTA)	263,0	NaN [11]
	Fe ₃ O	67,1	99 [27]
	Fe ₃ O ₄ (Cys)	64,5	85–90 [28]
Tb	Fe ₃ O ₄ (CA)	52,0	> 85 [29]
	Fe ₃ O ₄ (TMS-EDTA)	113,0	98 % [11]
	Fe ^o @SiO ₂ @PA/SiO ₂ (DTPA)	1,7	NaN [41]
	PAA/SiO ₂	250,0	97 [7]
	Fe ^o @SiO ₂ @PA/SiO ₂ (DTPA)	1,4	NaN [41]
Dy	oksidirani mwC	78,1	98 [19]
	SiO ₂ (NPIA)	30,9	83 [8][9]
	Al ₂ O ₃ /SiO ₂ (MePhPTA)	125,5	99 [10]
	Fe ₃ O ₄ /citosan(DETA)	51,5	> 90 [34]
	SiO ₂ @PVI(H ₂ PO ₄)	150,0	90 [21]
Ho	Fe ^o @SiO ₂ @PA/SiO ₂ (DTPA)	1,9	NaN [41]
	Fe ₃ O ₄ @C ₁₈ @citosan(DETA)	28,3	NaN [42]
	Fe ^o @SiO ₂ @PA/SiO ₂ (DTPA)	1,7	NaN [41]
Er	Fe ₃ O ₄ @C ₁₈ @citosan(DETA)	30,6	NaN [42]
Tm	/	/	/
Yb	Fe ₃ O ₄ /citosan(Cys)	18,4	> 90 [32]
	Fe ₃ O ₄ /citosan(DETA)	51,5	> 90 [34]
	magnetni GMZ-bentonit	71,4	NaN [35]
Lu	Al ₂ O ₃ /SiO ₂ (MePhPTA)	129,8	99 [10]

Kljub že mnogim uspešnim nanomaterialom za adsorpcijo RZE³⁺ iz vodnih raztopin obstaja vedno večja potreba po novo sintetiziranih, zlasti magnetnih nanodelcih, ki bi omogočali enostavno in učinkovito adsorpcijo, desorpcijo in ponovno uporabo čim več različnih RZE³⁺.

1.3 Namen, hipoteze in cilji

Osnovni cilj magistrske naloge je sintetizirati na enostaven in ponovljiv način nove nanodelce za enostavno in učinkovito adsorpcijo kritičnih RZE³⁺, in sicer Tb³⁺ in Dy³⁺, iz vodnih raztopin.

V ta namen je potrebno:

- izvesti sintezo novih stabiliziranih in funkcionaliziranih magnetnih nanodelcev za adsorpcijo RZE³⁺,

- izvesti karakterizacijo sintetiziranih nanodelcev:
 - opredelitev kemijskih vezi in skupin v nanodelcih s pomočjo infrardečega absorpcijskega spektra: infrardeča spektroskopija s Fourierjevo transformacijo (FT-IR),
 - analizo uspešnosti funkcionalizacije nanodelcev s potenciometrično titracijo (PT),
 - analizo specifična površine in poroznosti nanodelcev z Brunauer, Emmett in Teller tehniko (BET),
 - analizo morfologije nanodelcev s presevno elektronsko mikroskopijo (TEM) in elementarno sestavo nanodelcev z energijsko disperzivno rentgensko spektroskopijo (EDXS),
 - analizo vpliva temperature na maso nanodelcev s termogravimetrično analizo (TGA),
 - analizo strukture nanodelcev z rentgensko praškovno difrakcijo (XRD),
 - analizo stabilnosti nanodelcev z meritvijo elektrolitskega ζ -potenciala z metodo dinamičnega sisanja svetlobe (DLS),
 - analizo magnetnih lastnosti nanodelcev z magnetometrijo (VSM),
- izvesti adsorpcijo RZE^{3+} s površine novo sintetiziranih magnetnih nanodelcev s pomočjo:
 - spektrofotometrije UV/VIS in
 - fluorescenčne spektroskopije,
- izvesti desorpcijo in preučiti možnost ponovne uporabe RZE in nanodelcev ter
- izvesti primerjavo dobljenih rezultatov z rezultati iz literature.

Postavljene hipoteze magistrske naloge so:

- uspešnost sinteze nanodelcev je odvisna od vstopnih kemikalij, reakcijskih pogojev, stabilizacije in funkcionalizacije,
- magnetni nanodelci so učinkoviti za adsorpcijo RZE^{3+} zaradi enostavne separacije nanodelcev z zunanjim magnetnim poljem in
- učinkovitost adsorpcije in adsorpcijska kapaciteta sta odvisni od pogojev adsorpcije, adsorbenta in adsorbata.

Za uvodnim delom z opredelitvijo problema, pregledom literature, namenom, hipotezami in cilji naloge sledijo teoretične osnove. Najprej je podan pregled RZE od njihovih fizikalno-kemijskih lastnosti, odvisnosti držav od Kitajske do recikliranja RZE, potem sledi opis nanotehnologije in nanomaterialov ter metod za sintezo, funkcionalizacijo in karakterizacijo nanodelcev. Teoretične osnove so zaključene z adsorpcijo RZE^{3+} , desorpcijo, regeneracijo RZE^{3+} in regeneracijo ter ponovno uporabo nanodelcev. V tretjem poglavju je predstavljeno eksperimentalno delo, opravljeno v okviru magistrske naloge, od uporabljenih materialov do uporabljenih laboratorijskih metod ter zakonodaje na področju RZE in nanodelcev. Med uporabljenimi metodami so opisane metode sinteze magnetnih nanodelcev, metode karakterizacije, adsorpcija in metode za določevanje adsorpcijske učinkovitosti, desorpcije, regeneracije in ponovne uporabe. V četrtem poglavju so prikazani rezultati eksperimentalnega dela in njihova analiza ter primerjava z razpoložljivo literaturo. Primerjalna analiza postopno sintetiziranih nanodelcev pa je predstavljena v sedmem poglavju (Priloga).

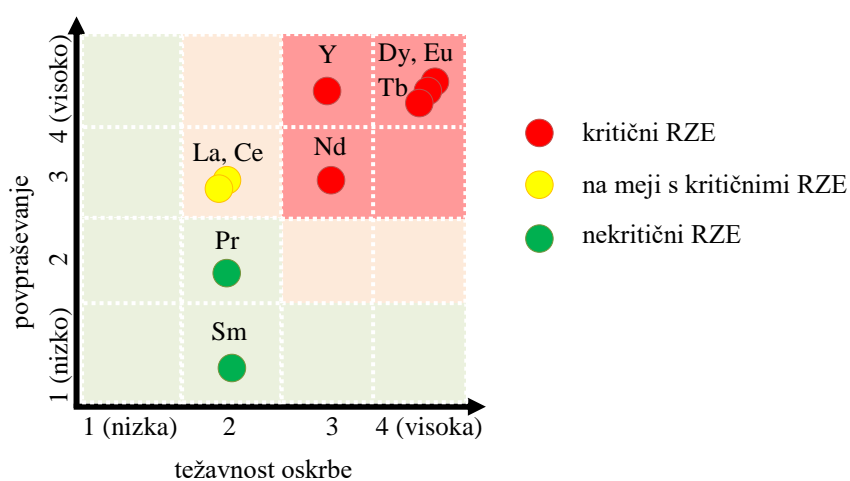
2 Teoretične osnove

Danes so RZE praktično nepogrešljivi pri razvoju zelenih tehnologij in visokokakovostnih proizvodov. Ker so rezerve RZE omejene v veliki meri na Kitajsko, potekajo številne raziskave za recikliranje RZE. V ta namen se med drugim za adsorpcijo RZE^{3+} iz vodnih raztopin vedno pogosteje uporabljajo nanomateriali. Glede na unikatne fizikalno-kemijske lastnosti RZE se sintetizirajo nanomateriali z različnimi metodami, karakteristike sintetiziranih nanomaterialov pa lahko določimo z ustreznimi metodami karakterizacije. Po adsorpciji RZE^{3+} z nanomateriali iz vodnih raztopin je pomembna še desorpcija RZE^{3+} z nanomaterialov. Za ponovno uporabo tako dobljenih RZE in nanomaterialov je potrebna ustreznna regeneracija RZE in nanomateriala.

2.1 Redkozemeljski elementi

RZE najdemo v zemeljski skorji v številnih oblikah, zlasti kot mineralne dodatke v metamorfnih in magmatskih kamninah [44]. Ker jih tehnično dolgo nismo bili sposobni rafinirati kot posamezne elemente in ker zaradi svoje reaktivnosti v naravi ne nastopajo kot elementarne kovine, so raziskovalci domnevali, da jih je malo. Od tod naziv redkozemeljski elementi [45]. RZE predstavljajo 17 % vseh elementov, ki jih najdemo v naravi [46].

Med RZE uvrščamo elemente tretje stranske skupine: skandij (Sc), itrij (Y) in 15 lantanoidov. Lantanoidi, kot so: lantan (La), cerij (Ce), prazeodim (Pr), neodim (Nd), prometij (Pm) in samarij (Sm), spadajo med lažje RZE, medtem ko med težje RZE uvrščamo: evropij (Eu), gadolinij (Gd), terbij (Tb), disprozij (Dy), holmij (Ho), erbij (Er), tulij (Tm), iterbij (Yb) in lutecij (Lu). Elementi Y, Nd, Eu, Tb in Dy veljajo za ekonomsko najbolj kritične RZE, saj so v zemeljski skorji prisotni v manjših količinah, povpraševanje po njih pa je zaradi vedno večjih potreb po visoko kakovostnih proizvodih veliko, slika 2-1.



Slika 2-1. Kritični RZE

2.1.1 Fizikalno-kemijske lastnosti RZE in njihova uporaba

RZE so prehodne kovine v periodnem sistemu elementov in spadajo v tretjo stransko oziroma skandijevo skupino elementov. Sc, Y in La so po svoji elektronski strukturi elementi d-bloka, medtem ko so lantanoidi elementi f-bloka. Za atome lantanoidnih elementov je značilna posebna elektronska konfiguracija. Elektroni namreč ne polnijo zunanje orbitale, temveč globlje ležeče 4f-orbitalo, zaradi česar je zunanjši videz vseh lantanoidov enak. Ker različno zapolnjena notranja 4f-orbitala nima velikega vpliva na njihove kemijske lastnosti, imajo RZE sorodne kemijske lastnosti [47].

Značilno oksidacijsko število RZE je +3. Prioritetna stabilna stanja so tista, ki imajo prazne, polovično ali polno zasedene orbitale; to so $4f^0$ (La^{3+}), $4f^7$ (Gd^{3+}) in $4f^{14}$ (Lu^{3+}). Nekateri RZE, kot so Ce, Pr, Nd, Sm, Eu, Tb, Dy, Tm, Yb pa kažejo še druga oksidacijska stanja [47]. Ce, Pr, Nd, Tb in Dy imajo tudi oksidacijsko število +4, medtem ko imajo Nd, Sm, Eu, Tm in Yb še oksidacijsko število +2. Ti oksidacijski števili sta posledica stabilnih elektronskih konfiguracij $4f^0$ (Ce^{4+}), $4f^7$ (Eu^{2+} , Tb^{4+}) in $4f^{14}$ (Yb^{2+}). Zaradi narave f-orbital, ki slabše senčijo elektrone na zunanih 6s-orbitalih pred naraščajočim nabojem jedra, jedro močneje privlači 6s-elektrone. Posledica tega privlaka med zunanjimi 6s-elektronimi in nabojem jedra je ta, da se ionski radij z naraščajočim atomskim številom lantanoidov zmanjšuje. To posebnost elektronske konfiguracije imenujemo lantanoidna kontrakcija [47]. Posledica te kontrakcije je, da imajo trivalentni RZE podoben ionski radij kot Ca^{2+} , Th^{4+} in U^{4+} , medtem ko ima dvovalentni Eu^{2+} ionski radij podoben ionskemu radiju Sr^{2+} . To pomeni, da se posamezni RZE lahko zamenjajo z elementom podobnega ionskega radija. Tako lahko RZE najdemo v kamninah, ki vsebujejo Ca, Th, U in Sr.

Lantanoidi so srebrnobele kovine, ki se na zraku prevlečejo s plastjo oksida. So razmeroma mehki, trdota rahlo narašča z naraščajočim vrstnim številom. Imajo razmeroma visoka tališča in vreliča. Kristalizirajo večinoma v najgostejšem heksagonalnem skladu. So reaktivni in v stiku z vodo in s šibkimi kislinami sproščajo vodik. So močno elektropozitivni s standardnimi potenciali E^0 od $-2,48$ V za La do $-2,25$ V za Lu [48]. Pri sobni oziroma višjih temperaturah se nekateri lantanoidi vnamejo. Reagirajo s številnimi nekovinami, še zlasti pri povišani temperaturi, in tvorijo zlitine. Nekateri RZE so feromagnetni, torej je gostota magnetnega polja v RZE, ki smo ga postavili v magnetno polje, veliko večja od magnetnega polja izven te snovi. Spojine nekaterih RZE fluorescirajo v ultravijolični barvi.

Zaradi edinstvenih fizikalno-kemijskih lastnosti so RZE vgrajeni v izdelke sodobne tehnologije, ki so postali nepogrešljiv del našega vsakdanjika. Redkozemeljske elemente najdemo na primer v mobilnih telefonih, LCD-zaslonih, računalnikih, napravah za magnetno resonanco, vetrnih turbinah, akumulatorjih za električna vozila, kot katalizatorje pri predelavi nafte in pri sintezi umetnih snovi, kot fosforescirajoče snovi, v rentgenskih zaslonih in beli tehniki [46][49].

Uporaba posameznih RZE je prikazana v tabeli 2-1, kjer rdeča barva označuje največjo uporabo, modra barva pa označuje srednje veliko uporabo [44][50]-[53].

Tabela 2-1. Uporaba posameznih RZE

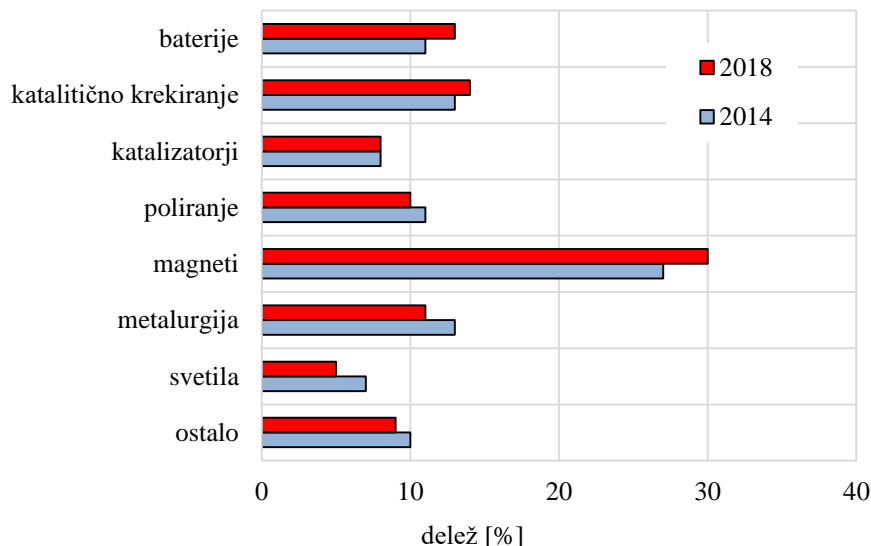
	Sc	Y	La	Ce	Pr	Nd	Pm	Sm	Eu	Gd	Tb	Dy	Ho	Er	Tm	Yb	Lu
Baterije				█													
Katalizatorji				█	█												
Keramika	█	█	█								█	█	█	█	█	█	█
Steklo	█			█						█	█						
Poliranje				█													
Magneti								█	█	█	█	█	█				
Metalurgija	█	█		█			█								█		
Svetila	█	█	█		█				█	█	█	█	█	█	█		
Ostalo	█	█				█		█	█	█	█	█	█	█	█	█	

Sc najpogosteje uporabljamo v metalurški industriji. Prav tako se uporablja pri izdelavi keramičnih materialov, v televizorjih in fluorescenčnih svetilih. Y najdemo v kirurških pripomočkih, v zdravilih za zdravljenje raka in artritisa. Uporablja se pri proizvodnji barvnih zaslonov, leč digitalnih fotoaparatov, superprevodnikov in keramike. La se uporablja pri čiščenju odpadnih vod, rafinirjanju nafte in za specialna jekla. Je nepogrešljiv pri proizvodnji optičnih stekel za kamere ter teleskope, baterij in hibridnih motorjev. Ce se uporablja pri proizvodnji katalitičnih pretvornikov za zmanjšanje škodljivih emisij v motorjih z notranjim zgorevanjem. Prav tako se uporablja kot polirno sredstvo računalniških čipov in stekla. Pr se uporablja za izdelavo magnetov, ki se med drugim uporablajo v vetrnih turbinah, in za obarvanje keramike. Nd je sestavna komponenta permanentnih magnetov, vgrajenih v posamezne sisteme v vozilih in letalih, v slušalkah, mikrofonih in računalniških diskih. Pm je med lantanoidi edini radioaktivni element, ki ga uporabljamo pri izdelavi ur in srčnih spodbujevalnikov. Sm uporabljamo za obsevanje bolnikov z rakom, pri izdelavi močnih magnetov, v proizvodnji vozil in za uravnavanje reakcij v jedrskeih reaktorjih. Eu uporabljamo v spojinah s fosforjem za izdelavo barvnih zaslonov in posebnih markerjev, na primer na bankovcih za preprečevanje ponarejanja denarja. Gd uporabljamo v proizvodnji svetil in v steklarski industriji, v medicini pa ga uporabljamo pri označevanju tumorjev, pri magnetni resonanci, pri merjenju kostne gostote in diagnozi rakovih obolenj. Tb uporabljamo za izdelavo fluorescenčnih svetil, barvnih zaslonov, permanentnih magnetov, gorivnih celic in za ladijske sonarje. Dy ima poleg Ho najmočnejše magnetne lastnosti, zato ga uporabljamo v računalniških diskih in elektromotorjih v električnih avtomobilih. Ho uporabljamo za izdelavo najmočnejših magnetov in magnetnih polj, kontrolnih palic v jedrskeih reaktorjih in za mikrovalovne naprave. Er prav tako uporabljamo za izdelavo kontrolnih palic v jedrskeih reaktorjih, je pomemben del komunikacijskih sistemov, ki temeljijo na optičnih vlaknih. Tm uporabljamo v laserjih, njegove izotope pa uporabljamo v rentgenskih napravah. Yb uporabljamo v proizvodnji zdravil proti raku in za izboljšanje trdnosti nerjavnega jekla. Lu je pomemben pri rafinirjanju nafte in ga je mogoče uporabiti za identifikacijo starosti meteoritov.

RZE torej uporabljam v različnih industrijskih vejah vključno s kemijsko industrijo, strojništvo, elektrotehniko, elektroniko in informacijsko tehnologijo, v energetskem in transportnem sektorju, okoljevarstvu, digitalni tehnologiji in medicinskih aplikacijah z namenom [44][45][50][51]:

- zmanjšati porabo energije,
- izboljšati mobilnost in zmanjšati težo,
- zmanjšati škodljive emisije,
- izboljšati življenjski slog in komunikacijo,
- izboljšati metode zdravljenja in
- izboljšati kvaliteto življenje.

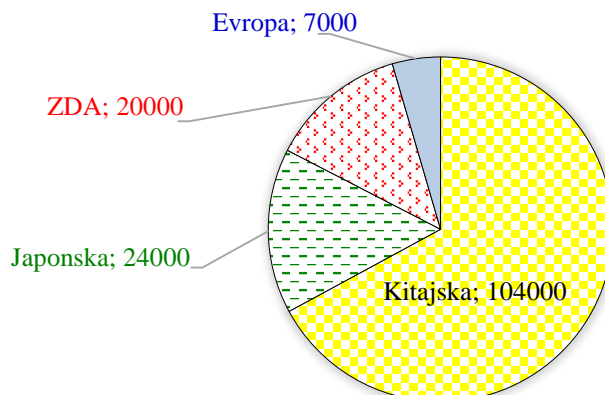
Povpraševanje po RZE glede na uporabo v letu 2014 in projekcija za leto 2018 [54] je prikazana na sliki 2-2. V bližnji prihodnosti se pričakuje, da bo povpraševanje po RZE zaradi njihove uporabe v baterijah, katalitičnem kreiranju in magnetih še naraščalo.



Slika 2-2. Povpraševanje po RZE

V želji po občutnejšem zmanjšanju uporabe fosilnih goriv do leta 2020 vedno hitreje narašča povpraševanje po visokotehnoloških napravah in proizvodih zelene tehnologije, kot so električni avtomobili, gorivne in sončne celice ter vetrne elektrarne. Prav tako se zaradi želje po zmanjšanju odvisnosti od uvoza nafte in plina pričakuje, da se bodo zahteve po RZE v EU povečevale, zlasti zahteve po Nd, Dy in Pr [55].

Poraba RZE v letu 2016 je prikazana na sliki 2-3 [54]. Kitajska je leta 2016 porabila približno 104 000 ton RZE in s tem postala največji potrošnik RZE na svetu [56].



Slika 2-3. Svetovna poraba RZE po državah (v tonah)

Edinstvene lastnosti in množična uporaba RZE so razlog za številne raziskave o vplivu RZE na okolje in zdravje ljudi, kakor tudi o vplivu potrebnih kemikalij, ki so potrebne v procesih pridobivanja RZE od rudarjenja do končnih procesov obdelave [57]-[60]. Kljub vsemu še do danes ni popolnoma jasen vpliv RZE na zdravje ljudi in živali ter na okolje. V ta namen so predpisani posebni postopki za določitev zanesljive ocene tveganosti za posamezne RZE v vodnih in kopenskih sistemih [52]. Za napovedovanje toksičnosti RZE je lahko že omenjena elektronska konfiguracija zelo koristna. Na splošno velja, da so težji RZE bolj strupeni kot lažji RZE [52][58][61].

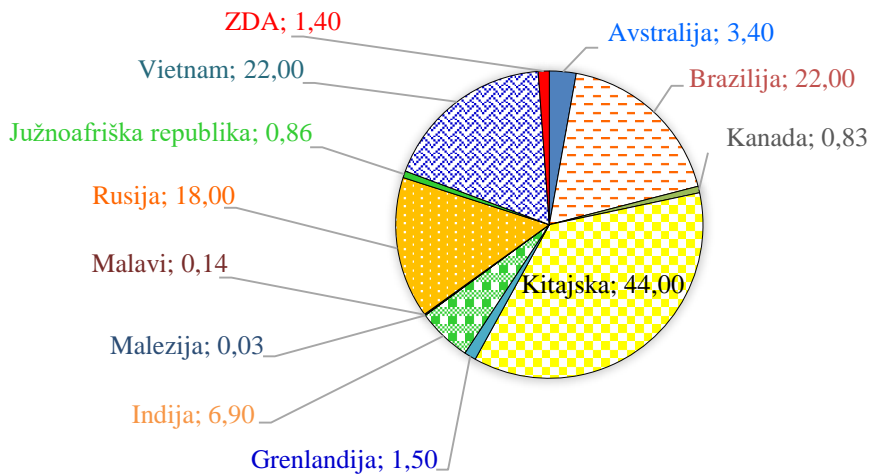
Zaradi naraščajočega povpraševanja po RZE pridobivajo na moči države, ki so bogate z naravnimi viri RZE in ki imajo prevladujočo vlogo na globalnem trgu redkozemeljskih elementov.

2.1.2 »Balance problem« in odvisnost EU od Kitajske

Ravnotesje med naravnim bogastvom RZE v rudah in zahtevami na globalnem trgu predstavlja glavni »balance problem« [56][62]. Da bi se izognili dramatičnemu porastu cen RZE in da bi bila dobava vseh RZE zagotovljena, je ohranjanje tržne cene RZE strateškega pomena.

Zemeljska skorja je relativno bogata z RZE, kljub temu pa so koncentracije posameznega RZE v rudi nizke. RZE najdemo predvsem v fluorokarbonatnih (CO_3F) mineralih (bastnazit) in fosfatnih (PO_4) mineralih (monacit in ksenotit). Največji vir RZE predstavljajo najdišča fluorokarbonatnih mineralov [54]. Fluorokarbonatni minerali so bogati predvsem z La, Ce in Y, medtem ko so fosfatni minerali bogati predvsem z Y, La, Ce, Nd, Dy, Er in Yb [62]. Pomemben vir RZE pa so tudi geotermalne tekočine (slanice) [63].

Skupna raba virov RZE in sodelovanje pri raziskovanju ter rafiniranju RZE poteka med državami v Aziji, ki imajo največ svetovnih rezerv RZE. Rezerve RZE so v letu 2016 ocenjene na 120 milijonov ton, slika 2-4.



Slika 2-4. Zaloge RZE (v milijonih ton)

Kot je razvidno iz slike 2-4 ima Kitajska največje zaloge RZE, prav tako pa se izvajajo na Kitajskem obsežne raziskave na področju predelovalne tehnologije RZE [56][64][65]. Praktično velja, da je leta 2000 oskrba z RZE po vsem svetu v največji meri odvisna od Kitajske. Rudarsko, tehnološko in metalurško RZE dejavnost ter izdelke iz RZE v celoti nadzoruje Kitajska, kar pomeni, da so Evropske države na tem področju popolnoma industrijsko odvisne od Kitajske. Zaenkrat ni videti, da bi se monopol Kitajske nad viri RZE v prihodnosti zmanjšal.

Nekatere ne-azijske države, vključno z Brazilijo, ZDA, Avstralijo in Grenlandijo imajo nekaj pomembnih virov RZE, s katerimi lahko zadovoljijo domače potrebe oziroma omogočajo tudi izvoz. Na stotine projektov v zvezi s proizvodnjo in recikliranjem RZE poteka v regijah izven Kitajske, kar naj bi omogočilo, da bi leta 2020 že približno 20 % potreb po RZE zadovoljili iz virov izven Kitajske.

Vse do danes države EU ne razpolagajo z domačimi viri RZE. Kljub obstoju potencialnih nahajališč RZE v Združenem kraljestvu, Nemčiji, na Švedskem, Finsku, v Grčiji in na Grenlandiji geološke omejitve, ekonomska neprofitnost in strogi okoljski standardi ovirajo pridobivanje RZE, tako da so raziskovalni uspehi v napredni fazi le na Grenlandiji (Kvanefjeld) in na Švedskem (Nora Kärr) [55]. Poleg neizkorisčenega evropskega rudarskega potenciala obstajajo tudi ozka grla, ki so povezana z obdelavo in ločevanjem posameznih RZE, kar je ključni korak pri oskrbi z RZE. Sodobne evropske industrijske obrate za ločevanje RZE najdemo zaenkrat le v Franciji in Estoniji. Zato je Evropa v veliki meri odvisna od ponudbe RZE iz Kitajske in drugih držav, kot sta ZDA in Rusija [55].

Na svetovni ravni se povpraševanje po RZE vedno povečuje, kar vodi k hitri rasti proizvodnje in uporabe RZE.

Proizvodnja RZE je zelo zapletena zaradi zapletenih fizikalnih in kemijskih procesov in je razdeljena v naslednje faze, slika 2-5 [47][63][66]:

- **rudarjenje**

Fizikalno ločevanje vključuje drobljenje rude in magnetno, flotacijsko ali gravimetrično ločevanje mineralov RZE. Ker ta ločitveni proces dramatično povečuje odstotek oksidov RZE, nastaja velika količina odpadnih kamnin.

- **kemijska separacija in koncentriranje RZE iz rud v kislih/alkalnih raztopinah**

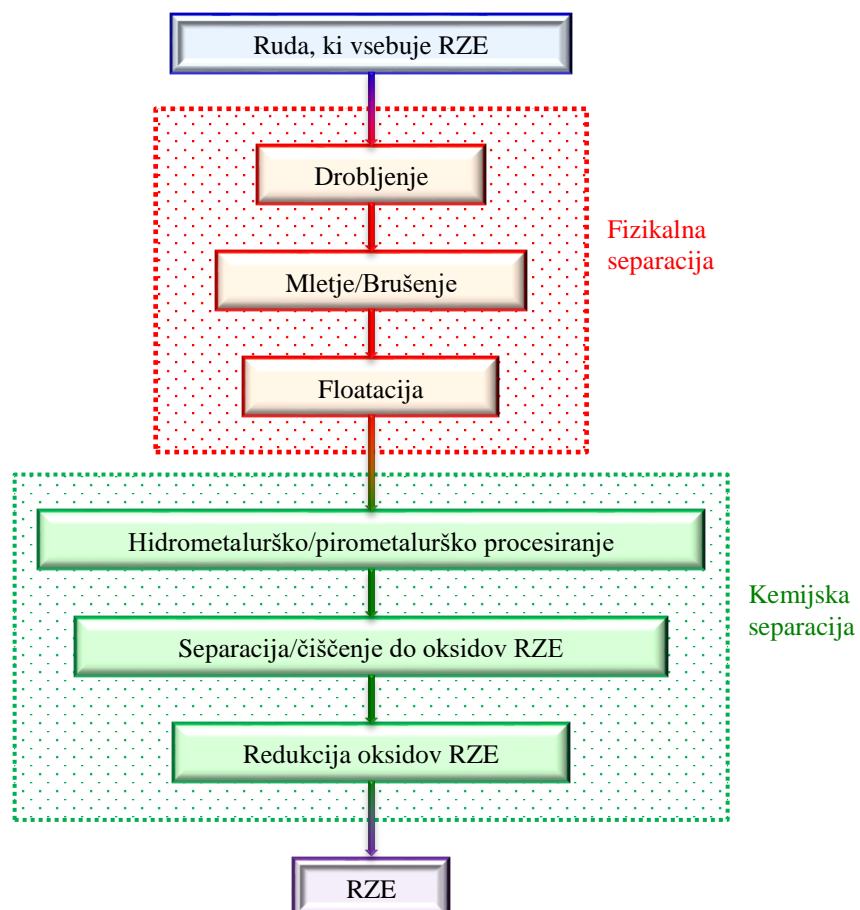
Prvi korak v kemijski separaciji je spremjanje koncentriranih mineralov s toplotno/kemijsko obdelavo [67]. V ta namen so primerne hidrometalurške metode (ekstrakcija, precipitacija) in pirometalurške metode (termokemijska redukcija). V nasprotju s pirometalurškimi procesi so hidrometalurški procesi okolju prijaznejši, procesi potekajo pri nižji delovni temperaturi, prav tako pa so tudi stroški nižji. Visokotemperaturni pirometalurški procesi zajemajo praženje, ekstrakcijo in elektrokemijsko obdelavo.

- **separacija in čiščenje z ekstrakcijo iz raztopin ali z ionsko izmenjavo**

Ekstrakcija iz vodnih raztopin ali z ionsko izmenjavo je najpogostejši način ločevanja RZE. Dobljene kloride, fluoride ali hidrokside po separaciji pretvorimo v okside RZE.

- **pretvorba posameznih oksidov RZE v čiste RZE**

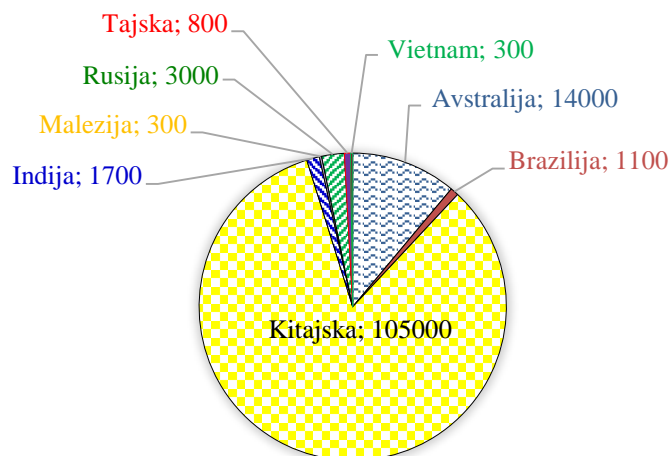
Z redukcijo oksidov RZE dobimo posamezne RZE ali zlitine.



Slika 2-5. Proizvodnja RZE iz rud

Dejstvo je, da pri proizvodnji in obdelavi RZE, ki zahtevata visoke začetne naložbe in napredno tehnologijo, nastajajo toksični odpadki. Poleg tega RZE pogosto niso dovolj koncentrirani, da bi bila ekstrakcija le-teh ekonomsko ugodna [55].

Svetovna proizvodnja RZE v tonah je za leto 2016 prikazana na sliki 2-6. V letu 2016 je Kitajska proizvedla 105 000 ton RZE, medtem ko je celotna svetovna proizvodnja znašala približno 126 000 ton [54][56]. Očitno je, da bo Kitajska še naprej prevladovala nad svetovno ponudbo.



Slika 2-6. Svetovna proizvodnja RZE (v tonah) v letu 2016

Monopol na trgu RZE je Kitajski prinesel ne le ogromno tržno premoč, temveč tudi diplomatsko in politično moč. Leta 2008 je Kitajska začela uvajati omejitve za izvoz RZE in tako omejila izvoz RZE v Evropo, ZDA in Japonsko. Čeprav so v Pekingu prvotno izjavili, da so omejitve izvoza RZE posledica ukrepov za zaščito okolja, je bila začasna ukinitve izvoza na Japonsko, po karambolu ladij Senkaku in Diaoyu v letu 2010, jasen pokazatelj, da Kitajska izkoristi svojo prevlado na trgu RZE kot orodje politične moči. To dejstvo je bilo za države EU zelo zaskrbljujoče, saj pomanjkanje dobave RZE, ne bi le negativno vplivalo na inovativnost in konkurenčnost EU v visokotehnološki industriji, ampak bi tudi oviralo razvoj alternativne zelene energije [55].

Spoznanje, da RZE uporabljamo v najrazličnejše namene in da je njihova oskrba dejansko omejena na posamezna rudarska območja na Kitajskem, je vodilo do nastanka kritičnega programa v zvezi z RZE. Ta program usmerja/poziva vse preostale države, zlasti države EU, k prizadevanju v racionalizacijo postopkov za uporabo in recikliranje RZE ter v raziskovanje možnosti zamenjave kritičnih surovin z drugimi manj kritičnimi materiali.

Tako bi lahko »balance problem« zmanjšali z naslednjimi ukrepi [62]:

- **uporaba hkrati več virov RZE:** RZE so poleg že omenjenih fluorokarbonatnih in fosfatnih mineralov prisotni tudi v nekaterih manj konvencionalnih mineralih, kot so: ciklosilikatni minerali (Ce), silikatni (RZE), oksidni in hidroksidni minerali (Sc, Y, La, Ce, Er) in karbonatni minerali (Y, La, Ce, Nd); z mešanjem koncentratov RZE, ki so pridobljeni iz različnih mineralov, je mogoče sestaviti mešani koncentrat s sestavo, ki ustreza zahtevam trga RZE veliko bolj, kot če bi uporabili le eno vrsto mineralov;
- **substitucija:** zamenjava enega elementa z drugim (en RZE z drugim RZE, kritični RZE z nekritičnim RZE ali en RZE z ne-RZE) ali uvedba popolnoma nove tehnologije na trg;
- **zmanjšana uporaba:** porabo kritičnih RZE v določeni aplikaciji lahko zmanjšamo z inteligenčnim inženiringom, ne da bi ogrozili učinkovitost naprav, sestavljenih iz RZE;
- **recikliranje:** recikliranje RZE lahko zmanjša skupno količino mineralov, ki vsebujejo RZE in so potrebni za ekstrakcijo.

Podobno bi lahko tudi države EU postale manj odvisne od Kitajske, zlasti z ukrepi za povečanje svoje primarne ponudbe in/ali z zmanjšanjem sedanjih zahtev po RZE [55][68][69]:

- države EU bi lahko povečale ponudbo RZE z vlaganjem v izkoriščanje razpoložljivih naravnih virov ali v razvoj proizvodnje za separacijo RZE na področju EU ali z ustvarjanjem alternativnih dobavnih verig s strateškim sodelovanjem z ZDA, Japonsko in Avstralijo in
- države EU bi lahko povečale učinkovitost virov, spodbujale bi raziskave o morebitnih zamenjavah RZE in povečevale stopnjo recikliranja RZE.

Za to, da bi rešili »balance problem« in zmanjšali odvisnost držav EU in preostalega sveta od Kitajske, je vedno pomembnejše recikliranje RZE. Na žalost je recikliranje RZE še vedno v začetni fazi. Zaradi tehničnih in ekonomskih ovir so stopnje recikliranja RZE iz že uporabljenih proizvodov izredno nizke, nižje od 1 % [73].

2.1.3 Recikliranje RZE

Recikliranje RZE, torej postopek predelave že uporabljenih RZE, in ponovna uporaba RZE omogočata ravnovesje na trgu RZE in zmanjšanje odvisnosti držav EU in preostalega sveta od Kitajske. Recikliranje RZE je pomembno zaradi učinkovite rabe naravnih virov in zagotavljanja oskrbe s temi kritičnimi surovinami. Poleg tega recikliranje zmanjša potrebo po uvozu RZE in zmanjša celoten negativen vpliv na okolje [61][70][71]. Tako recikliranje zmanjša negativen vpliv rudarjenja na okolje, zlasti zaradi radioaktivnih odpadkov, kakor tudi zagotavlja znatne prednosti glede čistoče zraka, zaščite podtalnice, zakisanja, evtrofifikacije in zaščite podnebja. Večino RZE, ki so uporabljeni v potrošniških izdelkih, je mogoče reciklirati in ponovno uporabiti [56].

Recikliranje, imenovano tudi "urbano rudarstvo", je zelo pomemben vir za številne kritične materiale. Ločimo več različnih procesov recikliranja RZE, slika 2-7 [62][72]-[74]:

- **regeneracija RZE iz jalovine (sveže/odlagališča) pri rudarjenju iz primarne rude**

Recikliranje in ponovna uporaba RZE iz rudniških odpadkov je okolju bolj prijazna kot pridobivanje RZE iz rude [70]. Za recikliranje RZE iz jalovine je uporabljena ekstrakcija trdno-tekoče z mikrovalovi [75].

- **regeneracija RZE iz vodnih raztopin industrijskega procesa**

V ostankih industrijskega procesa (boksitni ostanek, metalurška žlindra, premogov pepel, odpadna voda) so RZE prisotni v velikem obsegu. Ker so količine teh ostankov ogromne, je tako na razpolago tudi veliko količin RZE [76]. Poudariti je treba, da je za obnovitev in ponovno uporabo RZE iz koncentriranih odpadnih vodnih raztopin ekstrakcija RZE prednostna metoda, vendar pa ni primerna za odstranjevanje RZE³⁺ iz razredčenih odpadnih vodnih raztopin, kjer se kontaminaciji vodne faze z organskim topilom ne moremo izogniti [76].

- **neposredno recikliranje RZE iz odpadnih magnetov, nastalih med proizvodnjo RZE izdelkov**

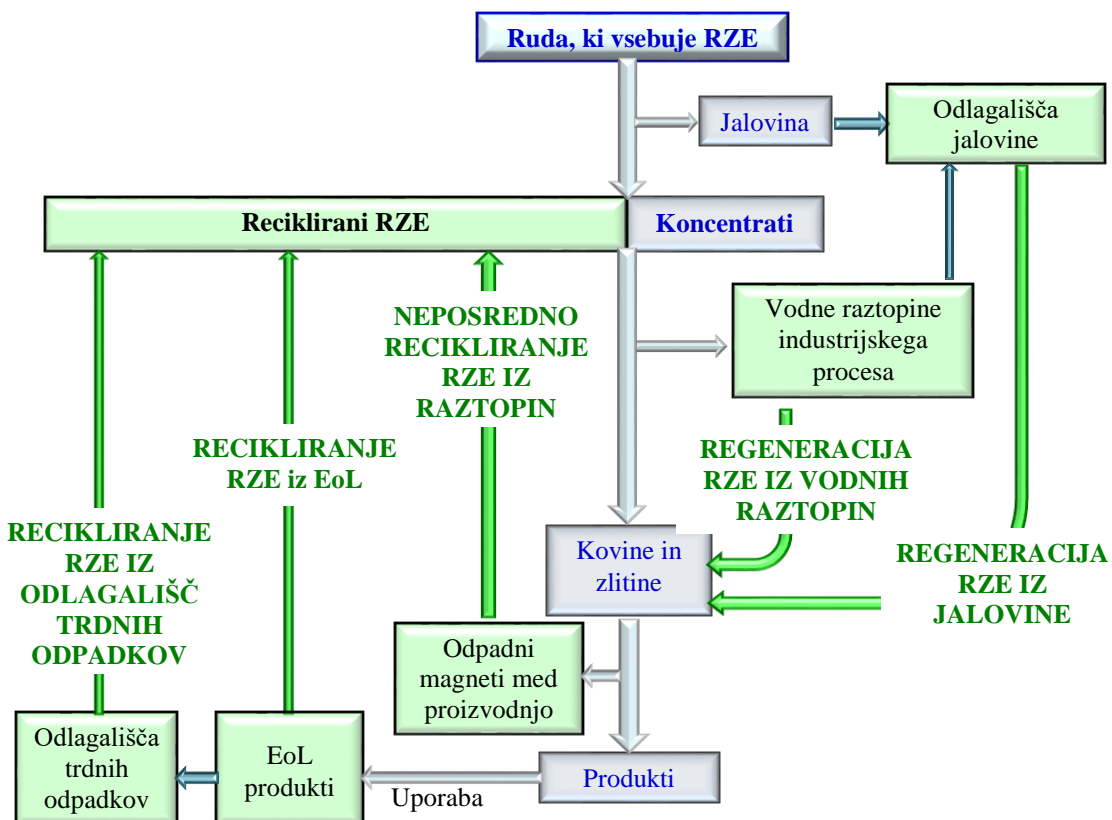
Obstaja več metod, ki se lahko uporabijo za pridobivanje posameznih RZE iz odpadnih magnetov. Vsi hidrometalurški procesi vključujejo raztavljanje magnetov v kislinah z namenom ekstrakcije RZE iz raztopin [68]. Sledijo kompleksni postopki čiščenja, ki vključujejo ekstrakcijo z uporabo topil in selektivno sedimentacijo in separacijo posameznih RZE. Zlasti s postopki hidrometalurškega čiščenja lahko zmanjšamo stroške separacije RZE.

- **recikliranje RZE iz trdnih odpadkov v odlagališčih**

Na odlagališčih je koncentracija RZE v trdnih odpadkih prenizka, da bi dosegli komercialno uspešno ekstrakcijo. Recikliranje RZE iz teh trdnih odpadkov na odlagališčih je ekonomsko ugodna le ob istočasnem recikliraju preostalih materialov (plastika, papir, kovine) [77].

- **recikliranje RZE iz končnih produktov po koncu njihove življenske dobe »end-of-life« (EoL)** [67][69][78]-[81].

Vedno večji poudarek je na reciklirjanju RZE iz EoL, zlasti recikliranje RZE iz permanentnih magnetov, baterij in fosforjevih svetilk.



Slika 2-7. Viri za recikliranje RZE

Vsi ti procesi recikliranja so dragoceni načini za reševanje »balance problem«, hkrati pa gre za učinkovite tehnike zmanjšanja škodljivega vpliva pri rudarjenju RZE na okolje. Recikliranje RZE iz različnih virov je tako pritegnilo pozornost številnih držav in njenih podjetij. Kar se tiče recikliranja RZE so bile v EU sprejete številne direktive [82]-[85]. Direktivi o odpadnih električnih in elektronskih produktih [84] in o recikliranju odpadnih baterij [82][85] določata stopnji recikliranja v višini 25 %.

Metode recikliranja RZE zajemajo hidrometalurške, pirometalurške in elektrokemijske procese [53][61]. Hidrometalurški procesi so prednostni, saj ekstrakcija RZE iz vodnih raztopin omogoča visoko čistost recikliranih RZE tudi iz kompleksnih virov in omogoča manjše onesnaževanje zraka. Slabost hidrometalurških procesov predstavlja poraba večjih količin kemikalij in s tem generiranje večjih količin sekundarnih odpadkov, ki zahtevajo nadaljnjo obdelavo [53]. Poleg tega je za recikliranje nekaterih RZE potrebno zlitine najprej pretvoriti v okside, kloride ali fluoride ter jih nato pretvoriti nazaj v kovine [53][73]. Alternativa hidrometalurškim procesom so visokotemperaturni pirometalurški procesi, ki so primerni za recikliranje RZE iz odpadkov elektronskih produktov. Vendar se pri teh procesih lahko velik del RZE izgubi zaradi visoke afinitete RZE do kisika [61]. Elektrokemijski procesi zahtevajo visoko kemijsko stabilnost, visoko prevodnost, visoke reakcijske hitrosti in stabilnost v širokem temperaturnem območju [53]. Izbera ustreznega procesa recikliranja je odvisna od vrste in kompleksnosti posameznih virov RZE ter od vsebnosti RZE.

Trenutno se večina pozornosti posveča neposrednemu recikliraju odpadkov iz raztopin in iz EoL produktov, ki vsebujejo RZE [62][74]. Dejstvo pa je, da je recikliranje RZE iz EoL produktov izredno majhno [73], saj je recikliranje RZE iz nekaterih EoL produktov težko oziroma celo nemogoče. Količina RZE v EoL produktih je namreč omejena, njihova separacija pa zelo težavna (katalizatorji, elektronski odpadki, steklo in zlitine) [86]-[88]. Recikliranje RZE je mogoče iz fosforjevih svetilk (Eu, Tb, Y, Gd, La, Ce), baterij (La, Ce) in magnetov (Nd, Pr, Tb, Dy) [73]. Iz fosforjevih svetilk lahko RZE recikliramo z uporabo hidrometalurških procesov, pri čemer separacijo RZE izvedemo s postopki fizikalno-kemijske separacije. Tako reciklirane RZE lahko ponovno uporabimo v novih svetilkah [73][89]-[94]. Za recikliranje RZE iz baterij se uporablja tako pirometalurški kot tudi hidrometalurški procesi. Prednosti hidrometalurških tehnik so nižje obratovalne temperature, nižja poraba energije in manjše emisije škodljivih plinov [41][95]. Za recikliranje RZE iz magnetov uporabljamo pirometalurške metode, ekstrakcijo in hidrometalurške procese [73][96]-[98].

Hidrometalurški procesi, kot so obarjanje, ekstrakcija in adsorpcija, igrajo pomembno vlogo pri recikliraju RZE³⁺ iz raztopin. Obarjanje in ekstrakcija sta dobro uveljavljeni tehniki, ki sta še posebej uporabni za raztopine, ki vsebujejo visoke koncentracije RZE³⁺, adsorpcija pa se lahko uporabi tudi za pridobivanje RZE³⁺ iz raztopin z nizko koncentracijo le-teh [1][14][99][100]. Tako je možno RZE recikliranje iz EoL produktov kakor tudi regeneracija RZE iz vodnih raztopin v procesu proizvodnje [56][68][101].

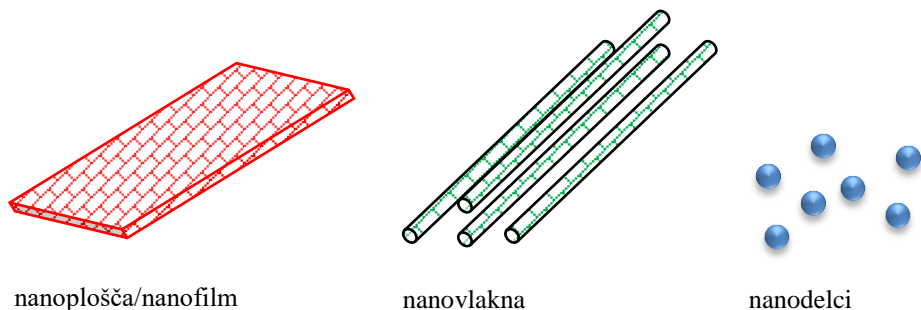
Sodobne raziskave na področju recikliranja RZE omogočajo razvoj metod za učinkovito regeneracijo RZE³⁺ iz industrijskih odpadkov. Ker so koncentracije RZE³⁺ v vodnih raztopinah majhne v primerjavi s primarnimi rudami in EoL produkti, je treba razviti prilagojene postopke za recikliranje RZE iz razredčenih vodnih raztopin [76]. Li [102] je raziskoval interakcijo med Mg(OH)₂ nanodelci in nizko koncentracijo RZE³⁺ v vodni raztopini in ugotovil, da poteka med Mg(OH)₂ nanodelci in Tb³⁺ reakcija kationske izmenjave. Po začetnem ionizacijskem ravnotežju med Mg²⁺ in hidroksilno skupino na površini Mg(OH)₂ se Tb³⁺ veže z ioniziranimi hidroksilnimi skupinami tako, da se tvori Tb(OH)₃. S porabo hidroksilnih skupin, se Mg²⁺ ekstrahirja v raztopino. Li [102] je dokazal, da omogočajo Mg(OH)₂ nanodelci učinkovito odstranjevanje Tb³⁺. Legaria je v literaturi [103] predstavil, da lahko postanejo γ-Fe₂O₃@SiO₂ nanodelci kot iniciatorji kristalizacije za RZE hidrokside, kar omogoča praktično popolno odstranitev RZE³⁺ iz vodnih raztopin.

Za odstranjevanje RZE³⁺ iz razredčenih vodnih raztopin potekajo raziskave na področju adsorpcije, ki jo odlikuje preprostost, visoka učinkovitost in nizki stroški [1][104]. Kot učinkoviti adsorbenti so se izkazali: zrnasti adsorbenti [105][106], suspenzije koloidnih oksidov [107], porozne aromatske strukture [108], modificirana rdeča glina [109], silika-gel, modificiran diglikolskimi aminskimi kislinsami [110], hibridni hidro-gel [111], mezoporozna silika [112][113], impregnirani kopolimeri in kompoziti [114][115], funkcionalizirani bio-polimeri s citosanom [15], morski sedimenti [116] in bio-polimerne mikrokapsule s posebnim ekstraktom [117]. Pri tem velja omeniti, da tradicionalni adsorbenti, kot so zeolit, glina in aktivni ogljik, kažejo v primeru visokih koncentracij kovinskih ionov visoko adsorpcijsko zmogljivost, vendar zaradi šibke ekstrakejjske sposobnosti običajno niso primerni za odstranjevanje kovinskih ionov iz razredčenih raztopin [102].

V zadnjih letih kot adsorbente vedno pogosteje uporabljamo različne nanomateriale [41][118][119].

2.2 Nanotehnologija in nanomateriali

Nanomateriali (NM) so materiali, ki imajo v vsaj eni dimenziji velikost 100 nm ali manj [120]. NM so lahko v velikosti nm v eni (površinski film), dveh (vlakna) ali v treh dimenzijah (delci), slika 2-8.



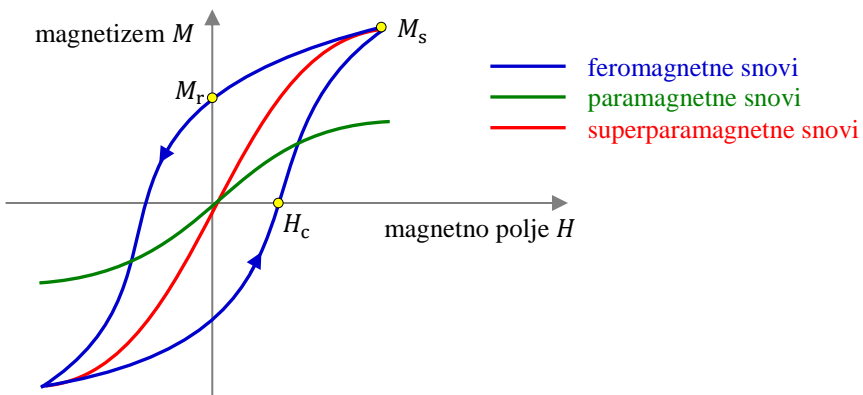
Slika 2-8. Klasifikacija NM

V primerjavi z makro- in mikrodelci imajo nanodelci povečano razmerje med površino in prostornino delca [121]. Z zmanjševanjem velikosti delca narašča delež atomov na površini, zato kemijska aktivnost narašča. Zaradi povečane kemijske aktivnosti so nanodelci nagnjeni k združevanju v gruče, še zlasti ko so zaradi termične energije v plinih in tekocinah podvrženi intenzivnemu Brownovemu gibanju. Interakcija atomov s sosednjimi atomi v nanodelcih je motena in povzroča spremembe tudi v energijski strukturi elektronov ter posledično spremenjene optične in električne lastnosti. Spremenjene fizikalno-kemijske lastnosti nanodelcev se kažejo torej v spremenjeni kemijski aktivnosti, tališču, gostoti, topnosti, trenju, elastičnosti, električni in optični prevodnosti, površinski napetosti, magnetnih lastnosti, spremembah v kristalni strukturi (nekatere strukture so stabilne samo v nano velikosti) ali povečani katalitski aktivnosti nanodelcev [122]. Visoka fluorescenčnost, biokompatibilnost, dobra fotostabilnost, netoksičnost in dobra topnost so le nekatere izmed prednosti NM [123][124].

Nekatere pojave lahko opazimo le pri NM [121]. Ko so nanostrukture polprevodnikov obsevane z UV-svetlobo določene valovne dolžine, se pojavijo emisije v vidnem območju, in sicer v odvisnosti od velikosti nanodelcev. Barve nanostrukturnih kovinskih delcev se spreminjajo od modre (večji delci) do rdeče (manjši delci) zaradi resonančne absorpcije sevanja pri nihanju zunanjih valenčnih elektronov v kovinskih NM.

Za magnetne nanodelce je značilen superparamagnetizem. Pri superparamagnetnih nanodelcih se magnetni moment termično relaksira [125]. Takšni nanodelci se odzovejo na prisotnost zunanjega magnetnega polja, v odsotnosti magnetnega polja pa nimajo magnetnih lastnosti. Magnetne lastnosti nanodelcev so zlasti pomembne, če za ločevanje uporabljamo zunanjii permanentni magnet. V tem primeru za nanodelce določamo masno magnetizacijo nasičenja M_s , koercitivnost H_c in remanentno magnetizacijo M_r , slika 2-9. Masna magnetizacija nasičenja M_s predstavlja inducirani magnetni moment, ki ga pri dani jakosti zunanjega magnetnega polja H lahko dosežemo znotraj materiala. Koercitivnost H_c nam pove, kakšna mora biti jakost zunanjega magnetnega polja, da znotraj materiala ne bo magnetnega polja. Na vrednost koercitivnosti vplivata v veliki meri zgradba materiala in velikost delcev.

Remanentna magnetizacija M_r je magnetizacija, ki ostane znotraj materiala po odstranitvi zunanjega magnetnega polja. Ko magnetizacija materiala pod vplivom večanja jakosti zunanjega magnetnega polja H ne narašča več, govorimo o magnetizaciji nasičenja M_s , slika 2-9.



Slika 2-9. Magnetne lastnosti nanodelcev

Žal nekateri porozni NM lahko kažejo citotoksičnost in kemične afinitete do številnih biostruktur. Čeprav mehanizem toksičnosti NM še vedno ni jasen, sta Tang & Lo [126] zaključila, da je biokompatibilnost NM odvisna od velikosti in oblike nanodelcev, površinskih lastnosti, koncentracije nanodelcev, vrste celic in NM.

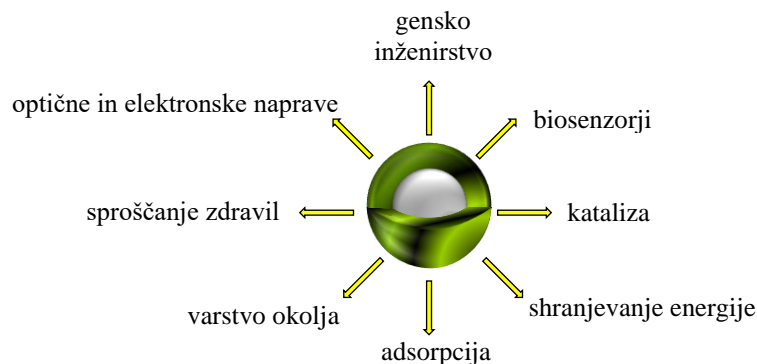
Zaradi številnih želenih lastnosti, uporabljamo NM različne kemične sestave, različnih velikosti in oblik bolj pogosto kot njihove veče ekvivalente [124]. Jasno je, da so fizikalno-kemijske lastnosti posameznih NM odvisne od velikosti in tipa NM. Za adsorpcijo RZE³⁺ iz vodnih raztopin uporabljamo več vrst NM.

Na splošno lahko NM razdelimo na nemagnetne [8] in magnetne NM [127]-[130]. Najpogosteje raziskani nemagnetni NM za adsorpcijo RZE³⁺ so nanodelci na osnovi SiO₂ [7][11][100][123][131], TiO₂ [11][131] in C [5][6][19], medtem ko so najpogosteje uporabljeni magnetni NM za adsorpcijo RZE³⁺ na osnovi magnetita Fe₃O₄ [11][22][27]-[29], maghemita γ-Fe₂O₃ [26] in ničivalentnega železa Fe⁰ [30][41].

Nemagnetni NM omogočajo učinkovito adsorpcijo RZE³⁺. SiO₂ nanodelci, s prisotnostjo hidroksilne skupine in absorbirano vodo na površini, so amorfni, netoksični, brez vonja in okolju prijazni beli praški. Zanje je značilna majhna velikost delcev, visoka čistost, nizka gostota, velika specifična površina in dobra razpršilna zmogljivost. Zato imajo odlične stabilne tiksotropne, optične in mehanske lastnosti. Množično jih uporabljamo pri proizvodnji keramike, gume, plastike, barve, pigmenta in nosilcev katalizatorja ter igrajo pomembno vlogo pri izboljšanju lastnosti končnih produktov [132]. Poleg tega mezoporozni SiO₂ nanodelci omogočajo učinkovito adsorpcijo zaradi svoje enotne urejene strukture, poroznosti, velike površine ter odličnih mehanskih in topotnih lastnosti [133][134].

Magnetni NM imajo izvrstno sposobnost magnetnega ločevanja z možnostjo njihove ponovne uporabe brez izgube učinkovitosti adsorpcije. Magnetit Fe_3O_4 je pomemben magnetni material. Magnetitne nanodelce lahko uporabljamo kot ferofluide, za magnetno hlajenje, slikanje z magnetno resonanco (MRI), na področju zdravljenja raka, katalize in kot adsorbente [135], [136]. Maghemit $\gamma\text{-Fe}_2\text{O}_3$ ima strukturo, podobno magnetitu. Od magnetita se razlikuje po tem, da je vsa ali večina Fe v trivalentnem stanju. Maghemitne nanodelce lahko uporabljamo v ferofluidih, kot sredstvo za povečanje kontrastnega slikanja z magnetno resonanco, pri nadzorovanju sproščanja zdravila v telo, pri medicinski diagnozi in kot adsorbent [135]. V zadnjem času lahko ničvalentno železo (Fe^0) pridobivamo z redukcijo tekoče faze ob prisotnosti natrijevega borohidrida kot reducenta [30]. Fe^0 nanodelce uporabljamo pri sanaciji podtalnice zaradi majhne velikosti, nizkega standardnega potenciala in enostavnosti sinteze nanodelcev. Vsi omenjeni nanodelci, ki vsebujejo železo, so okolju prijazni v primerjavi z drugimi kovinami [30].

Za pridobitev NM z dobro selektivnostjo in možnostjo magnetne separacije so razviti nanodelci strukture jedro@lupina [137]-[142]. Prednosti jedro@lupina nanodelcev so: (i) nosilna funkcija jedra omogoča specifično površino lupine glede na poroznost in površino, (ii) sinergija med lupino in jedrom omogoča doseganje večje učinkovitosti in selektivnosti, (iii) kombinacija lastnosti jedra in lupine omogoča različno uporabo in (iv) izboljšanje sposobnosti recikliranja nanodelcev po adsorpciji onesnaževalcev z zunanjim magnetnim poljem [141][143]-[145]. Jedro@lupina nanodelce lahko uporabljamo v bio-nanotehnologiji, v proizvodnji optičnih, elektronskih in magnetnih naprav ter gorivnih celic, v materialih za shranjevanje energije, na področju genetskega inženirstva in katalitičnih procesov ter za številne pomembne adsorpcijske procese, slika 2-10 [141].



Slika 2-10. Področja uporabe jedro@lupina nanodelcev

2.3 Sinteza nanomaterialov

Metode sinteze nanodelcev so sinteze tekoče faze (sol-gel metoda, koprecipitacija ali soobarjanje, termo-, foto- in sonokemijska metoda, mikrovalovna metoda), sinteze plinske faze (kemijsko naparevanje, laserska piroliza) in sinteze trdne faze (sežigalna metoda, žarjenje) [122][146][147]. Najpogosteje uporabljena metoda za sintezo nemagnetnih nanodelcev za odstranitev RZE³⁺ iz vodnih raztopin je **sol-gel** metoda, za sintezo magnetnih nanodelcev pa **koprecipitacija**.

2.3.1 Sol-gel metoda

S **sol-gel metodo** dobimo iz raztopine kovinskih alkoksidov z različno vodenimi procesi različne nanostrukturne materiale, slika 2-11 [148]-[151]. Najprej s hidrolizo in kondenzacijo dobimo sol. Iz sola lahko z različnimi postopki poleg uniformnih delcev dobimo še vlakna, aerogele, keramične materiale in tanke filme:

- **hidroliza in kondenzacija**

Na reakcije hidrolize in kondenzacije prekurzorjev (alkoksidov) v raztopini vplivajo številni parametri, med katerimi prevladujejo vrsta prekurzorja, vrsta katalizatorja, vrsta topila, temperatura, množinsko razmerje alkoksi skupin proti vodi R , koncentracija komponent v prekurzorski mešanici in pH. Pri $pH < 5$ ima odločilni vpliv na hitrost reakcij kondenzacija, pri $pH > 5$ pa je odločilna hidroliza. Rezultat hidrolize in kondenzacije je **sol**. Sol je torej koloidna raztopina oziroma stabilna disperzija amorfnih ali kristaliničnih delcev, velikosti od 1 do 100 nm, v topilu.

- **gravitacijsko in centrifugalno nanašanje s sušenjem**

Z gravitacijskim in centrifugalnim nanašanjem ob močnem sušenju dobimo iz sola tanke nanose na ravnih površinah. Xerogel film lahko z nadaljnjjim gretjem modificiramo v kompakten tanek film.

- **geliranje**

Iz sola nastaja pri geliranju mrežna struktura. Ko se delci sola združujejo in zgoščujejo, postopoma narašča viskoznost sola in tvori se gel. Sol-gel prehod je dosežen takrat, ko se tvori neprekinjena mreža. Gel nastane s povezovanjem koloidnih delcev in poleg kontinuirane trdne faze vsebuje kontinuirano tekočo fazo, ki gelu daje elastičnost. Struktura gela se lahko sčasoma spreminja, odvisno od temperature, topila in pH pogojev. Z geliranjem se torej kemijske reakcije ne končajo in prihaja tudi do strukturne prerazporeditve v mokrem gelu, kar povečuje trdnost gela – ta pojav imenujemo **staranje gela**. Če moker gel **sušimo z uparjanjem**, kapilarne sile povzročijo krčenje mreže gela in nastane kserogel. Če sušenje poteka pod **superkritičnimi pogoji**, se lahko ohrani mrežna struktura in se lahko tvori gel z velikimi porami. Tako dobimo aerogel z nizko gostoto.

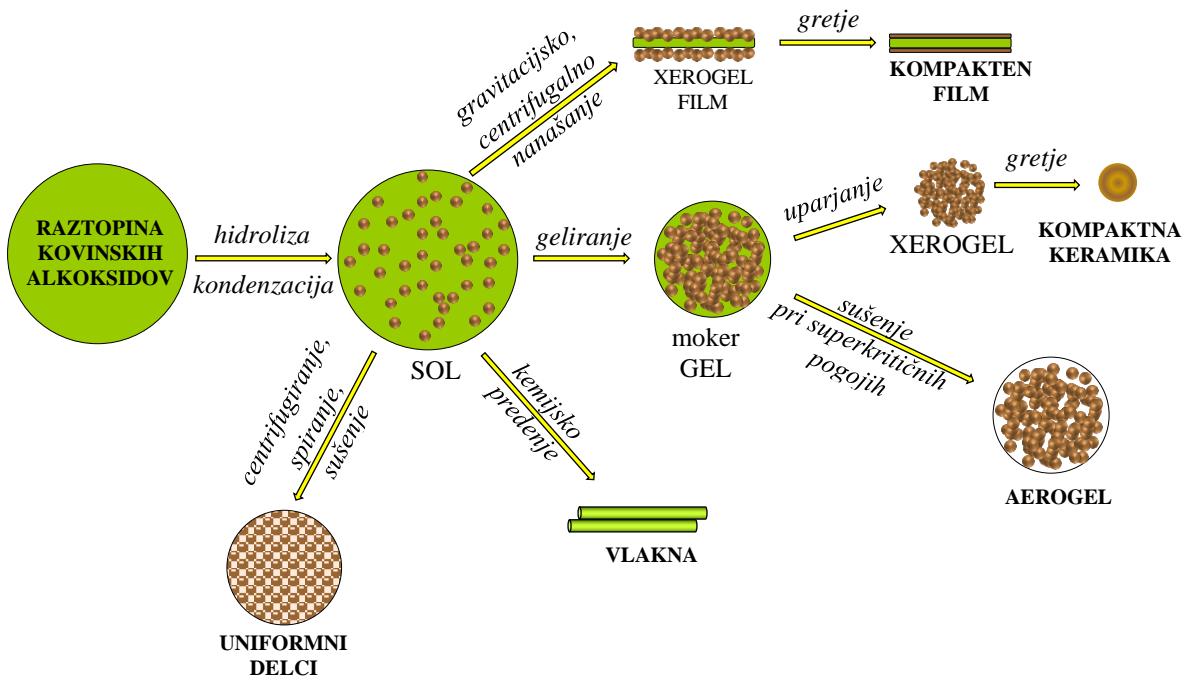
- **kemijsko predenje**

V postopku kemijskega predenja lahko z brizganjem sola in z nadaljnjo obdelavo dobimo nanovlakna.

- **centrifugiranje, spiranje, sušenje**

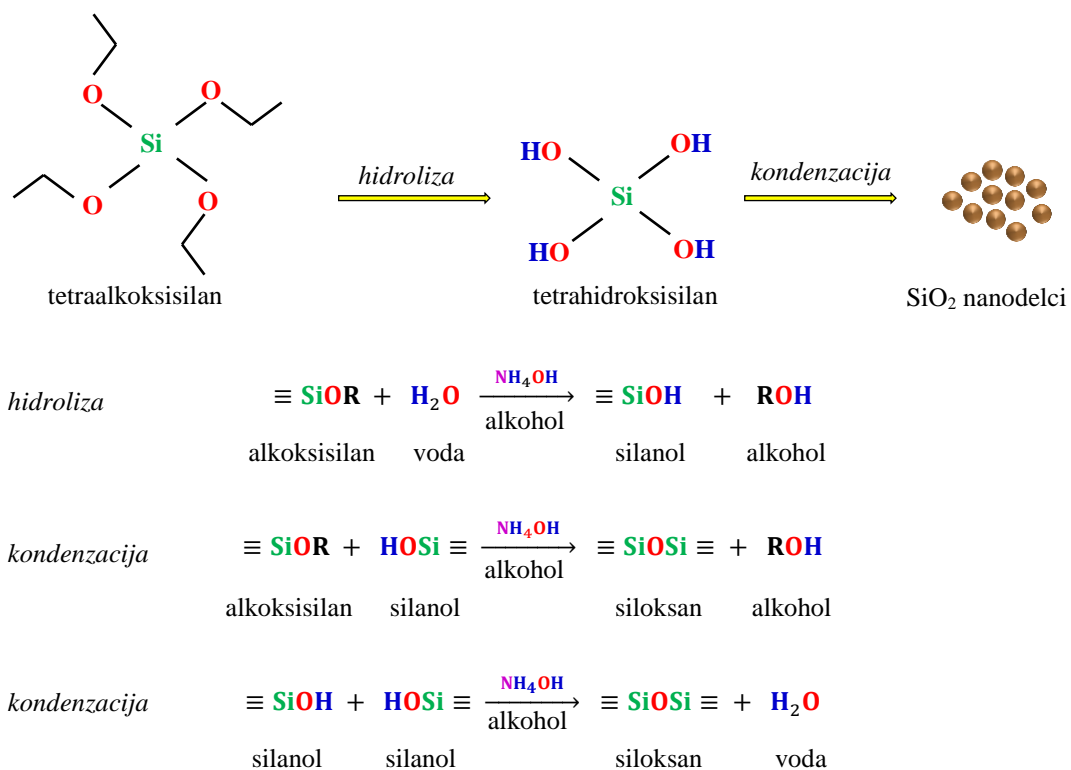
Iz sola po centrifugiranju, spiranju in sušenju dobimo uniformne nanodelce.

Sol-gel metodo, slika 2-11, pogosto uporabljamo za sintezo nanodelcev na osnovi SiO₂ za adsorpcijo RZE³⁺ iz vodnih raztopin.



Slika 2-11. Sol-gel metoda

SiO₂ nanodelce učinkovito sintetiziramo s pomočjo sol-gel metode [132][152]-[159]. Prvi korak v sol-gel procesu tvorbe SiO₂ nanodelcev je hidroliza s kondenzacijo silicijevih alkoksidi [160]-[162]. SiO₂ nanodelce lahko pripravimo s hidrolizo in kondenzacijo alkoxsilanov v mešanici alkohola, vode in amonijaka [159]. Reakcije hidrolize in kondenzacije alkoxsilanov opisujejo tri enačbe, slika 2-12. Voda najprej disociira v nukleofilne hidroksilne anione (OH⁻). Hidroksilna skupina zamenja alkoksi skupino na silicijevem atomu. Ko se ena alkoksi skupina hidrolizira, se tudi preostale hitro hidrolizirajo do tvorbe končnega tetrahidroksilana Si(OH)₄. Kondenzacija hidrolizatov lahko poteka po dveh različnih mehanizmih, ki tvorita alkohol ali vodo in monodisperzne kremenčeve nanodelce.

Slika 2-12. Priprava SiO_2 nanodelcev s sol-gel metodo

Sol-gel metoda za sintezo NM ima veliko prednosti, saj zagotavlja homogene materiale visoke čistosti, nudi enostaven način za vnos elementov v sledovih, omogoča uporabo kemijskih tehnik za kontrolo reakcij, omogoča uvajanje stalnih organskih skupin v raztopino, omogoča sintezo posebnih materialov, kot so filmi, reaktivni keramični praški, vlakna in omogoča pripravo novih steklenih kompozitov z odličnimi lastnostmi. Pomanjkljivosti sol-gel metode se nanašajo predvsem na visoke stroške prekurzorjev, dolgotrajen proces, težave pri sintezi monolitov in na težavno kontrolo lastnosti. Narava prekurzorjev, množinska razmerja med reaktanti, narava topila, uporaba modifikacijskih sredstev, pH vrednosti in temperatura sinteze vplivajo na strukturo in s tem na lastnosti nastalih nanodelcev [160][163][164].

2.3.2 Koprecipitacija

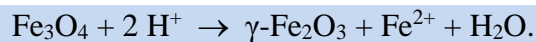
Tehnika koprecipitacije (soobarjanje) je verjetno najpreprostejša in najučinkovitejša kemijska pot za pridobivanje nanodelcev kovinskih oksidov ter kovinskih in keramičnih kompozitov z nastanjem oborine iz raztopine [9][165]-[167]. Za sintezo magnetnih nanodelcev, kot so nič-valentno železo (Fe^0), magnetit (Fe_3O_4) in maghemit ($\gamma\text{-Fe}_2\text{O}_3$), je najpogostejša metoda koprecipitacija železovih soli [9][103][168].

Fe_3O_4 nanodelce pripravimo z dodatkom močne baze (NH_4OH) k stehiometrični mešanici železovih Fe^{3+} in Fe^{2+} soli v vodnem mediju [169]-[171]:



Popolnoobarjanje Fe_3O_4 poteka pri pH med 8 in 14 s stehiometričnim množinskim razmerjem $n(\text{Fe}^{3+}):n(\text{Fe}^{2+}) = 2:1$ v reducirajoči (dušikovi) atmosferi.

Magnetit (Fe_3O_4) je nestabilen in je nagnjen k oksidaciji. Tako se Fe_3O_4 v prisotnosti kisika pri višjih temperaturah transformira v maghemit ($\gamma\text{-Fe}_2\text{O}_3$) [169][170][172]. To pa ni edini način tvorbe $\gamma\text{-Fe}_2\text{O}_3$ iz Fe_3O_4 . Tako se lahko z različnim premeščanjem elektronov ali ionov, ki je odvisno od pH suspenzije, tvori $\gamma\text{-Fe}_2\text{O}_3$ [128]:



$\gamma\text{-Fe}_2\text{O}_3$ dobimo z dodajanjem HNO_3 k Fe_3O_4 [173]-[175]:



$\gamma\text{-Fe}_2\text{O}_3$ nanodelci, dobljeni s koprecipitacijo, imajo široko porazdelitev velikosti [128][176]. Oblika in velikost nanodelcev sta odvisni od koncentracije kationov, prisotnih nasprotno nabitih ionov in pH raztopine [149]. S spremenjanjem pH in ionske moči lahko nadziramo srednjo velikost nanodelcev. $\gamma\text{-Fe}_2\text{O}_3$ kristalizira v kubični, ploskovno centrirani spinelni strukturi [177]. Osnovna celica spinela je sestavljena iz osmih podcelic $\text{Fe}^{2+}\text{Fe}_2^{3+}\text{O}_4^{2-}$. Vsaka podcelica vsebuje štiri O^{2-} ione, ki tvorijo štiri oktaedrične in osem tetraedričnih interstičijskih mest, ki jih morajo zapolniti trije kationi, eden Fe^{2+} in dva Fe^{3+} . Kationi zasedejo v vsaki podcelici dve oktaedrični in eno tetraedrično mesto. Osnovna celica tako vsebuje 32 O^{2-} ionov, 16 oktaedrično in 8 tetraedrično koordiniranih kationov [177].

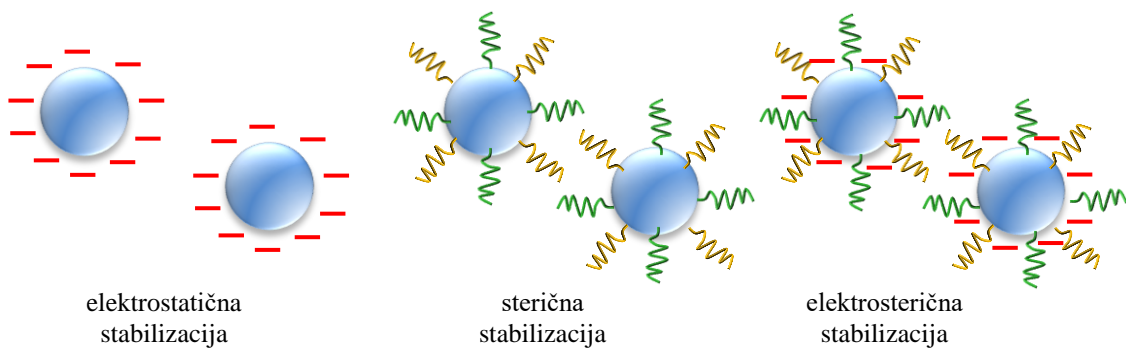
Ničivalentne Fe^0 nanodelce dobimo z redukcijo tekoče faze z natrijevim borohidridom kot reducentom [30]:



V splošnem se magnetni nanodelci nagibajo k aglomeraciji, da bi dosegli stabilno stanje. Po Derjaguin-Verwey-Landau-Overbeek teoriji je stabilnost delca v raztopini odvisna od njegove celotne potencialne energije, ki jo sestavljajo potencialna energija zaradi topila (zanemarljiva), Van der Waalsove privlačne sile in odbojne sile med delci. Privlačne in odbojne sile obstajajo med delci, ki se bližajo drug drugemu zaradi Brownovega gibanja. Če prevladujejo med delci močne odbojne sile, so delci dispergirani in se ne aglomerirajo.

Aglomeracija je odvisna od velikostne porazdelitve delcev, koncentracije delcev, sestave raztopine in magnetizma nanodelcev [126]. Manjši nanodelci z visoko površinsko prosto energijo imajo večjo težnjo k aglomeraciji zaradi manjših energetskih ovir. Aglomeracija narašča z naraščanjem koncentracije magnetnih nanodelcev zaradi pogostejših trkov in interakcij med delci. Poleg tega je lahko aglomeracija posledica neravnovesja sil zaradi prevladujoče magnetne sile nad Van der Waalsovimi silami.

Ker nastali aglomerati delcev zmanjšujejo sposobnost oziroma kapaciteto adsorpcije, je treba magnetne nanodelce stabilizirati [178]. Različne kemikalije in metode omogočajo elektrostatično, sterično ali elektrosterično stabilizacijo magnetnih nanodelcev, slika 2-13. Za elektrostatično stabilizacijo raztopimo ionske spojine, kot so karboksilati, fosfati in sulfati, v vodni raztopini. Te spojine se adsorbirajo na magnetne nanodelce in okrog njih tvorijo električno dvojno plast [128][179][180]. V disperzijo lahko dodamo elektrostatično nabite kemijske skupine, ki zagotavljajo elektrostatični odboj med nanodelci. Sterično stabilizacijo nanodelcev pa lahko dosežemo s pomočjo fenilnih skupin, ogljikovih verig in ciklodekstrinov, ki lahko zagotovijo sterično odbojnost med magnetnimi nanodelci [126]. Pri sterični stabilizaciji na površino nanodelcev vežemo polimere, surfaktante ali disperzante, ki zagotavljajo sterično oviro in tako preprečujejo medsebojni kontakt delcev. Za sterično oziroma elektrosterično stabilizacijo lahko uporabljam citronsko kislino [181].



Slika 2-13. Stabilizacija magnetnih nanodelcev

Površina sintetiziranih magnetnih $\gamma\text{-Fe}_2\text{O}_3$ nanodelcev, elektrostatično stabiliziranih v bazičnem mediju, ima negativen naboj ($-\text{O}^-$), v kislem mediju pa pozitiven naboj ($-\text{OH}_2^+$) [182]-[185][184].

2.3.3 Funkcionalizacija nanodelcev

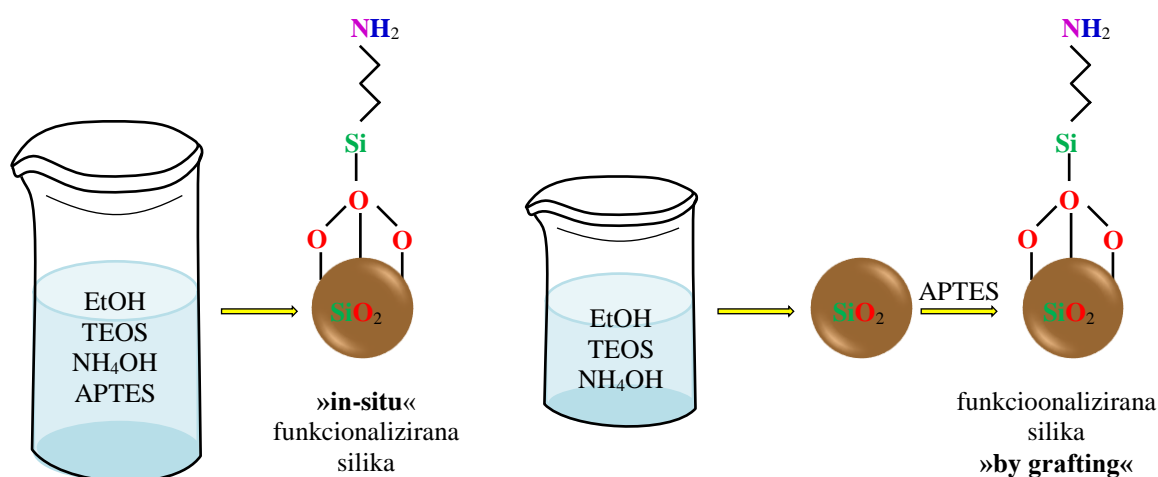
Na interakcije nanodelcev z okoljem močno vpliva tudi površinska funkcionalnost nanodelcev. Iz tega razloga so razvite metode oziroma postopki za površinsko modifikacijo nanodelcev, da bi zadostili kemijski funkcionalnosti in hidrofobnosti ter nadzirali njihovo topnost [147][162][186]. Za večino aplikacij se od nanodelcev zahteva kemična stabilnost, enaka velikost in sposobnost dobre disperzije v tekočem mediju. Površino nanodelcev v ta namen lahko modificiramo s primernimi funkcionalnimi skupinami ali molekulami.

Na primer, SiO_2 nanodelce lahko funkcionaliziramo z uvedbo funkcionalnih skupin, kot so amino, tiolne, vinilne, epoksi, karboksilne, azido ali alkilne skupine. Glede na uporabljene funkcionalne skupine modificirani SiO_2 nanodelci kažejo različne lastnosti in zato ponujajo številne potencialne aplikacije [187]. S funkcionalizacijo SiO_2 nanodelcev s polimerom je mogoče v filmih zmanjšati aglomeracijo delcev, kar omogoča bolj homogene porazdelitve anorganskih komponent in s tem tudi boljše lastnosti nanodelcev [188].

Funkcionalne skupine za nanodelce je treba izbrati zelo previdno glede na želeno področje uporabe. Zelo koristna je teorija HSAB, ki določa funkcionalne skupine glede na močne/šibke kisline/baze. S pomočjo teorije HSAB lahko napovemo selektivnost kovinskih ionov za biološke donatorske ligande. Močne kisline/baze imajo navadno manjši ionicni radij, višjo oksidacijsko stanje in šibko polarizacijo, šibke kisline/baze pa imajo velik ionicni radij, nizko oksidacijsko stanje in močno polarizacijo. **Močne kisline** (Na^+ , K^+ , Mg^{2+} , Ca^{2+} , Cr^{3+} , Al^{3+} , Ga^{3+} , Co^{3+} , Fe^{3+}) prednostno reagirajo z **močnimi bazami** (karbonati, sulfati, karboksilati, nitrati, alkoholi, amini, fosfati, etri, H_2O , OH^- , NH_3 , hidrazini), medtem ko **šibke kisline** (Cu^+ , Au^+ , Ag^+ , Hg^+ , Hg^{2+} , Cd^{2+}) s **šibkimi bazami** (fenilne skupine, tioli, etileni, tioetri, cianidi, H_2S) [189][190]. Afiniteta močne kisline do močne baze je po naravi večinoma ionska, medtem ko je interakcija šibke kisline in šibke baze večinoma kovalentna. Kisline in baze, ki imajo vmesni značaj med močnimi in šibkimi, so razvrščene kot mejne (Cu^{2+} , Zn^{2+} , Bi^{3+} , Ni^{2+} , Co^{2+} , Fe^{2+}) in prednostno reagirajo z anilini, imidazoli, piridini, nitriti, azidi in N_2 [189][190].

Lantanoidni kationi so razvrščeni kot **močne kisline** in izražajo močno afiniteto za ligande z nabojem ali za nevtralne O- in N-donorje, kar kažejo številne raziskave o tvorbi njihovih kompleksov v raztopini [191][192][193][194]. Po HSAB teoriji **RZE³⁺ prednostno reagirajo s karbonati, sulfati, karboksilati, nitrati, alkoholi, amini, fosfati, etri, H₂O, OH, NH₃ in hidrazinom.**

Funkcionalizacijo lahko izvedemo »in situ« ali »by grafting«, slika 2-14. Sinteza funkcionaliziranih nanodelcev »in situ« je preprosta in učinkovita metoda z enostopenjsko izdelavo nanodelcev iz vseh ustreznih predhodnih sestavin [3][27][28][30][35][195]. Prednost metode »in situ« je, da onemogoča aglomeracijo nanodelcev, medtem ko se pomanjkljivost te metode kaže v tem, da lahko nezreagirani reaktanti vplivajo na lastnosti končnega materiala. Sinteza funkcionaliziranih nanodelcev »by grafting« je bolj primerna za industrijske aplikacije v velikem obsegu [8][10][11][14][21][22][26][29][32][34][36][38]-[40][42][103][196]. Ključni izliv pri funkcionalizaciji »by grafting« je priprava neaglomeriranih in stabilnih nanodelcev. Slika 2-14 kaže primer sinteze SiO_2 nanodelcev, funkcionaliziranih »in-situ« in »by grafting«. Pri »in-situ« funkcionalizaciji dobimo na primer iz etanola (EtOH), tetraetil ortosilikata (TEOS), amonijevega hidroksida (NH_4OH) in (3-aminopropil) trietoksilana (APTES) funkcionalizirane SiO_2 nanodelce, medtem ko pri funkcionalizaciji »by grafting« sintetizirane SiO_2 nanodelce funkcionaliziramo z APTES.



Slika 2-14. Sinteza funkcionaliziranih »in-situ« in »by grafting« SiO_2 nanodelcev

2.4 Karakterizacije nanomaterialov

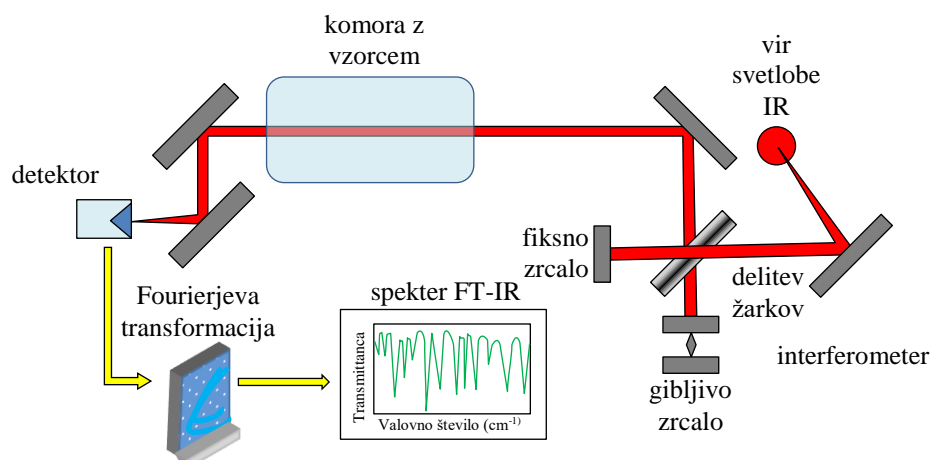
Zelo pogosto uporabljene tehnike karakterizacije za analizo sintetiziranih NM za adsorpcijo RZE³⁺ so: Fourierjeva transformirana infrardeča spektroskopija (FT-IR), potenciometrična titracija (PT), analiza specifične površine in poroznosti delcev z Brunauer, Emmett in Teller tehniko (BET), presevna elektronska mikroskopija (TEM), energijska disperzivna rentgenska spektroskopija (EDXS), termogravimetrična analiza (TGA), rentgenska praškovna difrakcija (XRD), dinamično sisanje svetlobe (DLS) in magnetometrija z vibrirajočim vzorcem (VSM), tabela 2-2 [123][147][166][197][198].

Tabela 2-2. Tehnike karakterizacije NM

	Merjeni parameter	Princip	Komentar
FT-IR	molekulske vezi in funkcionalne skupine	absorpcija IR svetlobe v povezavi z vibracijami molekul	+ »prstni odtis« vzorca
PT	množina analita, ekvivalentna točka, pH	razlika potenciala med indikatorsko in referenčno elektrodo	+ zanesljiva in zelo natančna metoda + indikator ni potreben - občutljivost pH na množino titranta
BET	površina nanodelca	adsorpcija N ₂ na površino nanodelca	+ enostavna, hitra, direktno merjenje - prikaz merjene površine - zahteva osušen vzorec
TEM TEM/EDXS	morfologija, kristalografska struktura, napake	interakcija elektronov s snovjo	+ direktno opazovanje NM + učinkovita in prilagodljiva metoda + učinkovita za jedro@lupina nanodelce - dolgotrajna, potrebno veliko NM - zahtevan je osušen vzorec
TGA	masa	izguba mase med gretjem/hlajenjem zaradi oksidacije, dehidracije	+ kvantitativna tehnika - nesposobnost določanja produktov dekompozicije
XRD	kristalinična faza, velikost kristalov	žarki v vzorcu povzročajo interference	+ možnost izračuna srednje velikosti delca + neinvazivna tehnika - X-žarki nimajo močnih interakcij z lažjimi elementi
DLS	ζ-potencial, velikost delcev	interakcija laserske svetlobe in vzorca	+ meri velikost in porazdelitev delcev po velikosti - težka interpretacija rezultatov - meritev je odvisna od velikosti in koncentracije
VSM	magnetizem	inducirana napetost zaradi vibracij je proporcionalna magnetnemu momentu vzorca	+ upoštevanje zgodovine magnetizma + registriranje histereze - dolgotrajna metoda

2.4.1 FT-IR

Spektroskopija FT-IR omogoča kvantitativne in kvalitativne analize organskih in anorganskih vzorcev [36]. Spektroskopija FT-IR je koristno orodje za določanje funkcionalnih skupin v vzorcu oziroma za kontrolo učinkovitosti vezave različnih funkcionalnih skupin v vsakem koraku funkcionalizacije nanodelcev [199]. FT-IR temelji na absorpciji IR-svetlobe v povezavi z vibracijami molekul. IR svetloba je elektromagnetno valovanje z valovnimi dolžinami od 700 nm do 1 mm. Ko so molekule izpostavljene IR-svetlobi, lahko molekule z dipolnim momentom (gostota elektronov v kovalentni vezi se spreminja) absorbirajo fotone določene frekvence oziroma valovne dolžine IR-svetlobe. Simetrične molekule (N_2 , H_2 , O_2) nimajo dipolnega momenta in ne absorbirajo IR-svetlobe. Molekula lahko absorbira fotone valovne dolžine oziroma frekvence, ki se ujema s frekvenco vibracijskega nihanja molekul, pri čemer se spremeni dipolni moment. Posledično so molekule vzbujene iz osnovnega na višji energijski nivo. Frekvanca absorpcijskega vrha je določena z vibracijsko energijsko vrzeljo. Ker imajo molekule zaradi različne strukture različne frekvence vibracijskega nihanja, pride do absorpcije v različnih delih IR-spektra. Intenzivnost absorpcijskih vrhov je povezana s spremembami dipolnega momenta in možnostjo spremembe energijskih nivojev. Zato lahko z analizo spektra FT-IR zlahka dobimo obsežne informacije o strukturi vzorca. Slika 2-15 prikazuje princip spektroskopije FT-IR, kjer spektrometer FT-IR sestavlja vir IR-svetlobe, interferometer, komora z vzorcem, detektor, ojačevalnik, pretvornik A/D in računalnik. IR-svetloba iz vira prehaja preko interferometra (optična naprava, ki omogoča interferenco) in doseže detektor. Nato signal ojačamo in pretvorimo v digitalni signal s pomočjo ojačevalnika in analogno-digitalnega pretvornika. Sčasoma se signal prenese na računalnik, v katerem se izvede Fourierjeva transformacija.



Slika 2-15. Spektroskopija FT-IR

Spektri FT-IR prikazujejo absorpcijo oziroma transmitanco IR-svetlobe v odvisnosti od valovnega števila. Valovno število \bar{v} je obratno sorazmerno z valovno dolžino:

$$\bar{v} = \frac{1}{\lambda} \quad (2.1)$$

kjer je:

- | | |
|-----------|------------------------------|
| \bar{v} | valovno število (m^{-1}) |
| λ | valovna dolžina (m). |

Iz spektra lahko razberemo značilne frekvence nihanj, na podlagi le-teh pa identificiramo molekulo ali vsaj njen del. Iz pozicije vrhov določimo strukturo molekul v nanodelcih, medtem ko lahko iz višine vrhov ocenimo koncentracije posameznih molekul v nanodelcih [199][200]. Valovna števila nekaterih absorpcijskih vrhov za posamezne funkcionalne skupine so podane v tabeli 2-3 [199][200]. Prav tako so podani načini nihanja posameznih vezi, kot so simetrično in asimetrično raztezanje, striženje, guganje, kimanje in zvijanje.

Tabela 2-3. Valovna števila v spektru FT-IR za posamezne spojine

Spojine	Vez	Vibracije	Valovno število (cm^{-1})
Dušikove spojine: <ul style="list-style-type: none">• primarni amini• sekundarni amini• amonijevi ioni• nitrili	N–H	raztezanje	3335
	NH₂–CH₂–	raztezanje	2945–2850
	N–CH₂	raztezanje	2780
	N–H, NH₂	striženje	1615
	NH₂–CH₂–	striženje	1470–1430
	NH₂–CH₂–	kimanje, zvijanje	1385–1335, 1335–1245
	NH₄⁺	striženje	1490–1325
	C–N	raztezanje	1360–1020
	NH₂–CH₂–	guganje	945–835
	NH₂–CH₂–	kimanje	895–705
	NH₂	kimanje, zvijanje	850–750
	N–H	kimanje	715
Hidroksilna skupina	O–H	raztezanje (alkohol)	3650–3400
	H–O–H	raztezanje (H_2O)	~3350
	H–O–H	striženje (H_2O)	~1630
	O–H	raztezanje (-COOH)	970–840
Ogljikove spojine: <ul style="list-style-type: none">• alkili• ogljikov dioksid	C–H	raztezanje	3000–2840
	O=C=O	raztezanje	2349
	C=O	raztezanje	1870–1550
	–CH₂–	raztezanje	1480–1440
	–CH₃–	raztezanje	1465–1440, 1390–1365
	C–O	raztezanje	1140–1395, 1320–1210
Silicijeve spojine: <ul style="list-style-type: none">• silanoli• silani• siloksani• etri	Si–OH	raztezanje	3700–3200
	Si–H	raztezanje	2250–2100
	Si–CH₃	simetrično raztezanje	1280–1250
	Si–CH₂–	guganje	1250–1175, 760–670
	Si–C₆H₅	raztezanje	1430, 1100
	Si–O–Si	asimetrično raztezanje	1130–1000
	Si–O–CH₃	asimetrično raztezanje	1100
	Si–H	striženje	985–800
	Si–O	raztezanje	920–830
	Si–O–C₂H₅	raztezanje	810–800
Železovi oksidi	Si–O–CH₃	simetrično raztezanje	810–800
	Fe–O	raztezanje	520–630

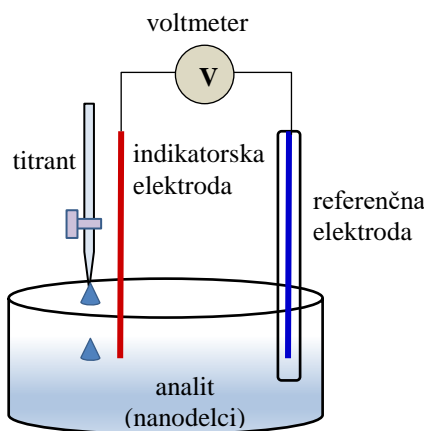
Ker spektroskopija FT-IR temelji na interakciji in absorpciji infrardeče svetlobe v povezavi z naravnimi nihanji in rotacijami molekul, so v tabeli 2-4 za posamezna območja valovnih števil podane vezi z vibracijskimi načini in temu ustrezne molekule oziroma skupine [199][200].

Tabela 2-4. Funkcionalne skupine za valovna števila v spektru FT-IR

Valovno število (cm^{-1})	Vezi z vibracijskimi načini	Funkcionalne skupine
4000–3200	O–H in N–H raztezanje	amini, organske kisline, fenoli
3335	N–H raztezanje	amini
3310–3300	C–H raztezanje	alkini
3100–3000	C–H raztezanje	aromati, olefini
3000–2800	C–H raztezanje	metilne skupine, alkenilne skupine
2780	N–CH ₂ raztezanje	amini
2500–2000	X≡Y, X=Y=Z raztezanje (X, Y, Z … C, N, O, S)	alkine, nitrili, soli, cianati, azidi, diazioni, tiocinati, izotiocinati
1870–1550	C=O raztezanje	estri, ketoni, amidi, karboksilne kisline
1690–1620	C=C raztezanje	olefini
1680–1610	N=O raztezanje	organski nitriti
1655–1610	–O–NO ₂ raztezanje	organske nitratne spojine
1615	NH ₂ in N–H striženje	amini
1600–1510	–NO ₂ raztezanje	organske nitro spojine
1600–1450	C=C raztezanje	aromati
1490–1150	H–C–H upogibanje	metilne skupine
1440–1395	C–O raztezanje	karboksilne kisline
1420–990	S=O raztezanje	sulfati, sulfonati, žveplene kisline
1360–1250	aromatski C–N raztezanje	amini
1310–1020	C–O–C raztezanje	etri
1225–1045	C=S raztezanje	tioestri
1220–1020	alifatski C–N raztezanje	amini
1000–780	C=C–H deformacije	alifati
970–840	O–H raztezanje	karboksilne kisline
900–670	C–H deformacije	substitucijski aromati
850–750	–NH ₂ kimanje in zvijanje	amini
850–500	C–X (X … Cl, Br, I)	halogeni
785–720	–(CH ₂) _n , n = 1, 2, …	alkenilne skupine
715	N–H kimanje	amini
630–450	Fe–O raztezanje	železovi oksidi

2.4.2 PT

PT je kvantitativna volumetrična analizna metoda za količinsko določanje analita. Ekvivalentno točko, v kateri je množina titranta stehiometrično ekvivalentna množini analita, določimo z merjenjem spremembe potenciala (v mV ali pH) med indikatorsko in referenčno elektrodo ob dodajanju titranta [201][202]. Po vsakem dodatku titranta ob mešanju po določenem času dosežemo ravnotesje. Titracijska krivulja podaja funkcionalno odvisnost potenciala od volumna dodanega titranta, ki je osnova za določitev ekvivalentne točke reakcije. V bližini ekvivalentne točke sta sprememba indikatorske elektrode in naklon krivulje največja. Za PT potrebujemo instrument za merjenje napetosti oziroma pH, indikatorsko in referenčno elektrodo, slika 2-16.



Slika 2-16. PT

PT je zelo primerna za določanje amino skupin v vzorcu [201]-[203]. Amino skupine reagirajo v kisli raztopini (HCl) kot akceptorji protonov, pri čemer se nabijejo pozitivno:



Protoniranje amino skupin vpliva na spremembo potenciala raztopine, kar je merilo za vsebnost amino skupin v vzorcu. Pred titracijo nastavimo ustrezno ionsko moč (npr. z dodatkom KCl), ki med titracijo ostaja praktično nespremenjena. Vzorcu z amino skupinami dodamo znan volumen močne kisline (HCl) in titriramo z močno bazo (KOH). Slepote titracije (brez vzorca, samo z močno kislino in močno bazo) izvajamo pod enakimi pogoji kot z vzorcem. Naboje ionov na maso vzorca (nanodelcev):

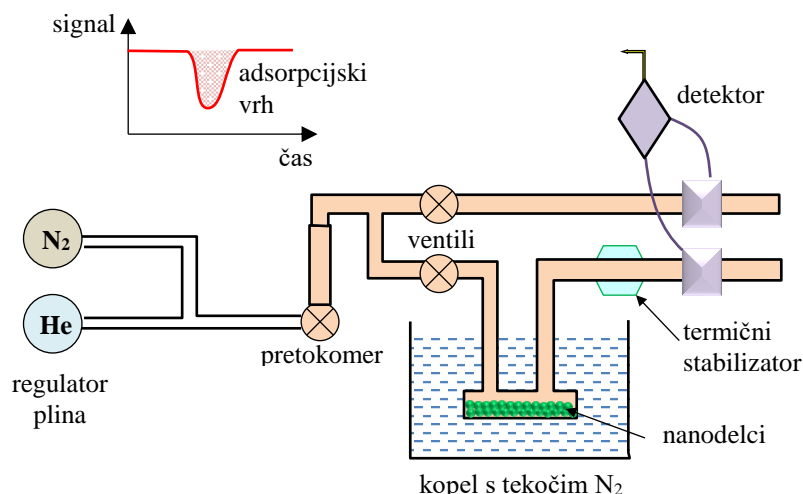
$$\frac{Q}{m} = \frac{(n(\text{Cl}^-) - n(\text{K}^+) + (n(\text{K}^+) - n(\text{Cl}^-))_{\text{slepi vzorec}})}{m_{\text{vzorec}}} \quad (2.2)$$

kjer je:

- | | |
|---------------------|------------------------------------|
| Q | naboj ionov, množina (mmol) |
| m | masa (g) |
| m_{vzorec} | masa vzorca z nanodelci (g) |
| $n(\text{Cl}^-)$ | množina kloridnih anionov (mmol) |
| $n(\text{K}^+)$ | množina kalijevih kationov (mmol). |

2.4.3 BET

BET je tehnika za določanje specifične površine nanodelcev. Ta tehnika temelji na principu adsorpcije in desorpcije plina na površino vzorca ter Brunauer-Emmett-Teller teorema. Specifična površina nanodelcev je določena s fizikalno adsorpcijo plina na površini trdne snovi in z računanjem količine adsorbiranega plina, ki ustreza monomolekularni plasti na površini [204]. Adsorpcija plina je odvisna od izpostavljene površine, temperature, tlaka in interakcij med plinom in nanodelci. Meritve izvajamo pogosto pri relativnem tlaku od 0,05 do 0,3. Adsorpcija poteka pri nizkih temperaturah do tlaka nasicenja. Na sliki 2-17 je prikazan analizator BET s tekočim dušikom. Vzorec z nanodelci v posebni bučki ohladimo v kopeli s tekočim dušikom, kar omogoča adsorpcijo dušika iz plinske zmesi na površino nanodelcev. Pretok helija in dušika je prilagojen relativnemu tlaku, pri čemer se helij ne adsorbira in je namenjen predvsem kalibraciji pred in po meritvi. Vzorec z nanodelci je izpostavljen plinski mešanici, iz katere se dušik adsorbira na nanodelce. S pomočjo detektorja zaznamo adsorbiран dušik, pri čemer s pomočjo površine adsorpcijskega vrha določimo površino nanodelcev.



Slika 2-17. BET

Iz volumna plina oziroma adsorbata, ki se adsorbira na površino vzorca oziroma adsorbenta, določimo specifično površino adsorbenta A_{ND} :

$$A_{ND} = \frac{V_m \cdot N_A \cdot A_g}{m_{vz} \cdot v_g} \quad (2.3)$$

kjer je:

A_{ND} specifična površina adsorbenta – nanodelcev ($\frac{m^2}{g}$)

V_m volumen adsorbata, ki se pri standardnih pogojih adsorbira (v enem sloju) na celotno površino adsorbenta – nanodelca ($\frac{m^3}{g}$)

N_A Avogadrovo število ($6,022 \cdot 10^{23} \text{ mol}^{-1}$)

A_g površina, ki jo zavzame ena molekula adsorbata (m^2), za dušik: $0,162 \text{ nm}^2$

m_{ND} masa adsorbenta – nanodelca (g)

v_g molski volumen adsorbata pri standardnih pogojih ($\frac{m^3}{mol}$).

Ob predpostavki, da so vsi delci sferične oblike in enake velikosti, lahko ocenimo povprečen premer adsorbenta d_{ND} :

$$d_{ND} = \frac{6}{A_{ND} \cdot \rho_{ND}} \quad (2.4)$$

kjer je:

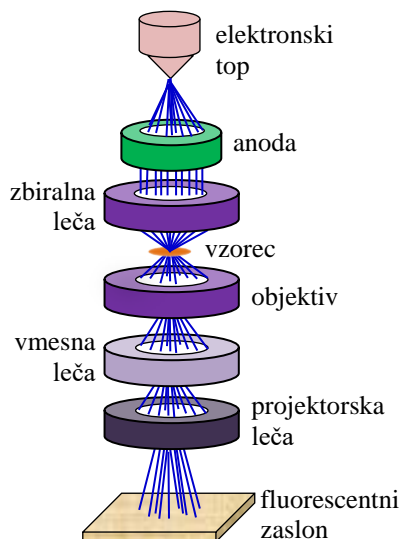
A_{ND} specifična površina adsorbenta – nanodelca ($\frac{m^2}{g}$)

d_{ND} povprečen premer nanodelcev (m)

ρ_{ND} gostota adsorbenta – nanodelcev ($\frac{g}{m^3}$).

2.4.4 TEM in EDXS

TEM uporabljamo pri vrednotenju morfologije [123] in za analizo lastnosti delcev, kot so njihova velikost, oblika in tekstura [39]. Ločljivost TEM je približno 0,1 nm do 0,2 nm [166]. TEM je ustrezna tehnika za karakterizacijo jedro@lupina nanodelcev, ker omogoča določitev celotne velikosti delcev in tudi vpogled v notranjo strukturo materiala [147]. TEM je tako primeren za preučevanje strukture jedro@lupina nanokompozitov, vpliva modificirane površine na morfologijo, slojevitosti strukture, velikosti delcev, vpliva želirnih sredstev, hrapavosti površine in disperzije nanodelcev [139]. Princip mikroskopije TEM je prikazan na sliki 2-18.



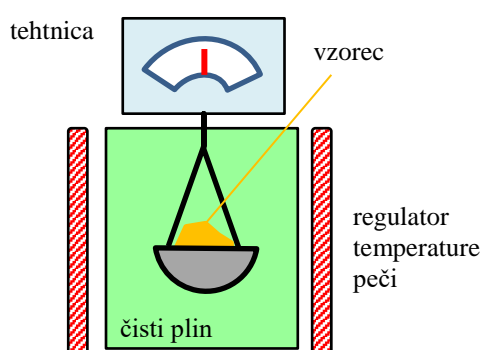
Slika 2-18. TEM

Za tvorbo slike v mikroskopu TEM uporabljamo elektrone, ki jih usmerjamo skozi vzorec. Snop elektronov iz elektronskega topa pospešujemo do anode ter ga nato usmerjamo s sistemom elektromagnetskih leč do zelo tankega vzorca (30 nm do 100 nm) in fluorescentnega zaslona. Osnova tvorbe slike pri TEM je različno sipanje elektronov na atomih različnih atomskih števil v vzorcu. Na fluorescentnem zaslolu dobljena slika vzorca ustreza njegovi elektronski gostoti.

EDXS je kvalitativna in kvantitativna analizna metoda za določanje kemijske sestave vzorca v povezavi s TEM. Rentgenski spektrometer z rentgenskim detektorjem je pritrjen na TEM. Ta naprava rentgenske žarke, ki se izločajo iz vzorca pod vplivom snopa elektronov TEM, zaznava in analizira s pomočjo rentgenskega detektorja. Omogočeno je prepoznavanje elementov od Be do U v periodnem sistemu elementov.

2.4.5 TGA

TGA je termoanalitska metoda, ki omogoča določanje strukture in/ali sestave funkcionaliziranih nanodelcev [39]. Pri TGA merimo spremembo mase vzorca v odvisnosti od temperature ali časa pri kontroliranem spreminjanju temperature in v kontrolirani atmosferi. Vzroki za izgubo/povečanje mase so lahko kemijske reakcije in fazni prehodi. Tako na izgubo mase lahko vplivajo dekompozicija, izguba vode pri kristalizaciji, zgorevanje, redukcija kovinskih oksidov, izhlapevanje, izparevanje, sublimiranje, desorpcija in sušenje. Vzorec, približno 10 mg, grejemo v inertnem lončku iz aluminijevega oksida Al_2O_3 , platine ali keramike v oksidativni/inertni/reduktivni atmosferi v peči, slika 2-19. Regulirano gretje vzorca, tudi do 2000 °C, vodi v spremembo mase vzorca. Z računalniškim programom nastavimo parametre meritev, kot so začetna in končna temperatura, vrsta atmosfere in pretok plina ter temperaturni korak na časovno enoto. Za merjenje mase je uporabljena občutljiva elektronska tehnika dovolj daleč od peči, da ni topotnega in korozijskega vpliva plinov, z natančnostjo $1\mu\text{g}$. TGA lahko uporabljamo za določanje toplotne in oksidativne stabilnosti materialov. Oblika dobljenega termograma je odvisna od mase vzorca, hitrosti segrevanja, atmosfere v peči, materiala in oblike lončkov, velikosti in gostote nanodelcev v vzorcu.

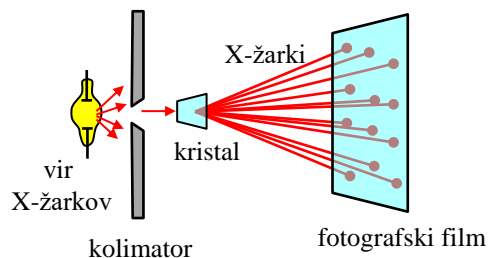


Slika 2-19. TGA

2.4.6 XRD

XRD je primerna metoda za raziskovanje kristalne strukture snovi, saj imajo X-žarki (rentgenski žarki) valovno dolžino od 0,01 nm do 10 nm, torej v velikostnem razredu razdalj med atomi v materialu.

Metoda XRD temelji na meritvah absorpcije, emisije ali sisanja X-žarkov od vzorca, slika 2-20 [147].



Slika 2-20. XRD

Z X-žarki iz anodne cevi preko kolimatorja (optična naprava, ki daje snop svetlobe z vzporednimi žarki) obsevamo pod določenim kotom θ površino vzorca, ki med meritvijo rotira. Najpogosteje je anoda iz Cu in Mo zaradi dobre topotne in električne prevodnosti, kakor tudi visoke temperature tališča. Da se rentgenski žarki uklonijo, mora biti določen del kristalov znotraj vzorca orientiranih tako, da njihove kristalne ravnine tvorijo z vpadnim žarkom kot θ , uklonjen žarek pa z vpadnim žarkom tvori Braggov kot 2θ . Vzorec na merilnem krogu se vrti s polovično hitrostjo detektorja, tako da se vpadni kot žarka ves čas spreminja. Na drugi strani vzorca je detektor, ki zazna odbite rentgenske žarke od vzorca. Ko se žarek ukloni, lahko iz uklonskega kota izračunamo razdaljo med posameznimi ravninami znotraj kristalne rešetke s pomočjo Braggovega zakona:

$$2 \cdot d \cdot \sin \theta = n \cdot \lambda \quad (2.5)$$

kjer je:

- d razdalja med ravninami v kristalni mreži (nm)
- θ kot med snopom X-žarkov in površino vzorca ($^{\circ}$)
- n red odboja (/)
- λ valovna dolžina vpadnih X-žarkov (nm).

Na osnovi razdalje med kristalnimi ravninami in Millerjevimi indeksi (hkl), s katerimi označujemo kristalne ravnine, določimo dimenzijske osnovne celice oziroma mrežne konstante. Za kubično spinelno kristalno strukturo je mrežna konstanta a :

$$a = d \sqrt{(h^2 + k^2 + l^2)} \quad (2.6)$$

kjer je:

- d razdalja med ravninami v kristalni mreži (nm)
- (hkl) Millerjevi indeksi
- a mrežna konstanta kubične spinelne kristalne strukture (nm).

S pomočjo dobljenega XRD difraktograma, ki ponazarja intenziteto odbitih X-žarkov v odvisnosti od kota θ , lahko z Deby-Scherrerjevo enačbo izračunamo velikost nanodelcev:

$$d_{ND} = \frac{0,9 \cdot \lambda}{\beta \cdot \cos \theta} \quad (2.7)$$

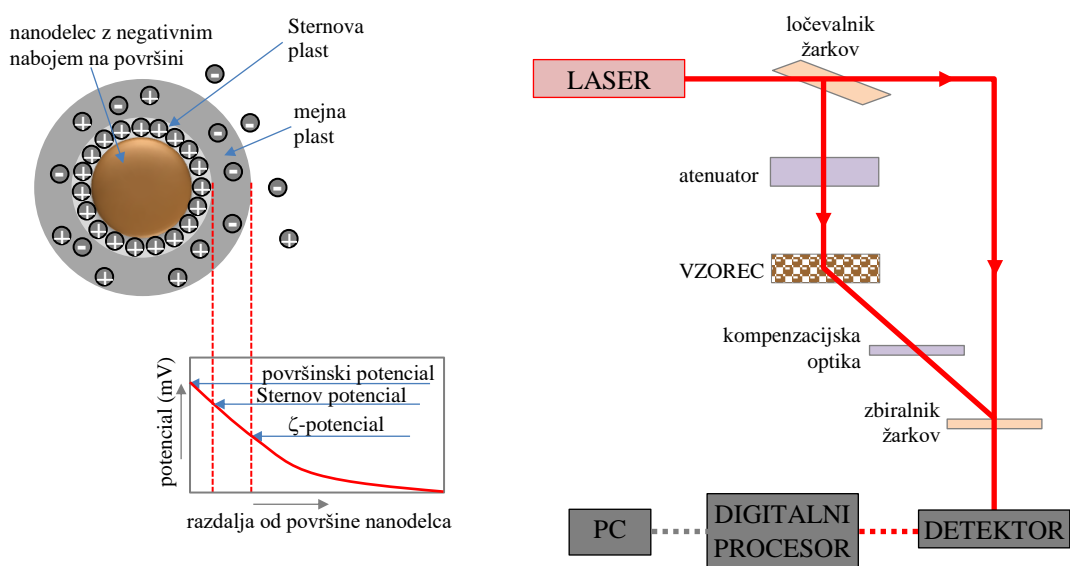
kjer je:

d_{ND}	premer nanodelca (nm)
θ	kot med snopom X-žarkov in površino vzorca ($^{\circ}$)
λ	valovna dolžina vpadnih X-žarkov (nm)
β	širina vrha na polovici njegove višine (rad).

Iz oblike rentgenskega difraktograma lahko že na prvi pogled ocenimo, ali je snov amorfna, delno kristalinična ali kristalinična. Na podlagi podatkovne baze pa lahko na podlagi položaja vrhov iz difraktograma ugotovimo kemijski element ali spojino, pri čemer lahko iz primerjave intenzitet difrakcijskih vrhov določimo delež posameznih elementov ali spojin. XRD je zelo pogosto uporabljeni metoda zaradi nizke cene in zato, ker ni potrebna vakumska komora, saj zrak zanemarljivo absorbira X-žarke.

2.4.7 DLS

DLS je metoda dinamičnega sisanja svetlobe, ki s pomočjo merjenja Brownovega gibanja delcev v suspenziji mogoča določanje velikosti delcev. Pri premikanju delca v suspenziji se okoli njega ustvari električna dvojna plast, sestavljena iz stabilne monomolekularne plasti adsorbiranih ionov (Sternova plast), in difuzivne (mejne) plasti, ki meji na notranjost raztopine. Na mejni površini, ki ločuje trdno vezano tekočino (elastično obnašanje) od ostale tekočine (viskozno obnašanje), nastaja električni potencial. Ta ζ -potencial odraža razliko potencialov med mejno plastjo in notranjostjo raztopine, slika 2-21 [205]-[207].



Slika 2-21. DLS za določanje ζ -potenciala

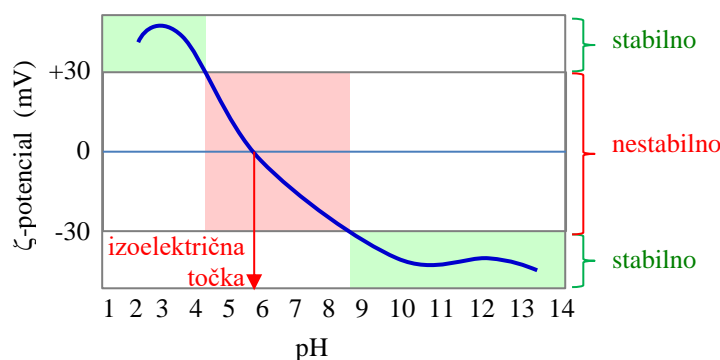
Električni potencial na površini predstavlja potrebno delo za prenos pozitivnega naboja iz neskončnosti na površino brez pospeševanja. ζ -potencial določamo z uporabo tehnike dinamične razpršitve svetlobe (DLS), slika 2-21. V celici z nanodelci imamo električno polje, merimo pa gibanje nanodelcev. Laserski žarek je razdeljen v dva žarka. Ko na gibajoče delce usmerimo en žarek, ima razpršena svetloba različno frekvenco od frekvence žarka laserske svetlobe. Ta razlika frekvence je sorazmerna hitrosti gibanja delcev, na osnovi katere je izračunan ζ -potencial:

$$\zeta = \frac{3 \cdot v \cdot \eta}{2 \cdot \epsilon_0 \cdot \epsilon_r \cdot E} \quad (2.8)$$

kjer je:

- ζ ζ -potencial, zeta potencial (V)
- v hitrost gibanja delcev ($\frac{m}{s}$)
- η dinamična viskoznost tekočine/elektrolita (Pas)
- ϵ_0 dielektrična konstanta v vakuumu ($8,854 \cdot 10^{-12} \frac{F}{m}$; $8,854 \cdot 10^{-12} \frac{N}{V^2}$)
- ϵ_r relativna dielektričnost
- E jakost električnega polja ($\frac{V}{m}$).

Vrednosti ζ -potenciala se gibljejo med -50 mV in $+50$ mV in so v glavnem odvisne od lastnosti trdne snovi, vrste medija, koncentracije in vrste prisotnih ionov, pH, difuzivnosti in primesi. Jakost ζ -potenciala kaže stopnjo elektrostatičnega odboja med sosednjimi, podobno nabitim delci v disperziji. Za dovolj majhne delce bo velik ζ -potencial (velika pozitivna ali velika negativna vrednost) preprečeval aglomeracijo nanodelcev v raztopini ali disperziji. Če je vrednost ζ -potenciala nanodelcev v območju od -30 mV do $+30$ mV nanodelci niso stabilni, če pa je vrednost ζ -potenciala nanodelcev v območju nad $+30$ mV ali pod -30 mV, so nanodelci stabilni v koloidni raztopini, slika 2-22.



Slika 2-22. Stabilno in nestabilno področje

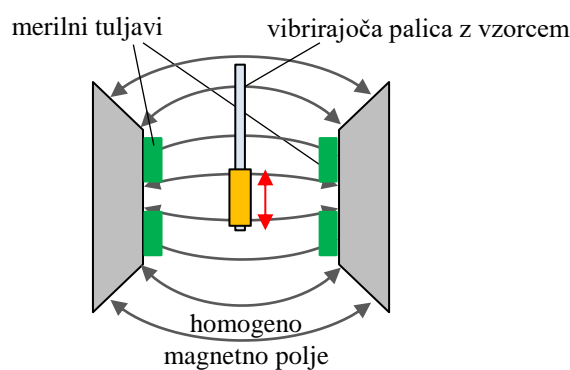
Če zanemarimo specifično adsorpcijo ionov, potem je v izoelektrični točki število pozitivnih in negativnih nabojev na molekuli enako, molekula je zato navzven električno nevtralna, koloidni delec navzven ne kaže nobenega električnega naboja, zato se koloidi pri tej vrednosti pH koagulirajo in izkosmičijo [208]. Tako lahko pri vrednosti ζ -potenciala nič govorimo o izoelektrični točki, slika 2-22.

V splošnem je vrednost izoelektrične točke odvisna od ionov, ki je poleg vodika, amino skupine in karboksilne skupine še vezana na kiralni C-atom. Pri nanodelcih pa lahko pride do premika izoelektrične točke zaradi specifične adsorpcije kationov/anionov na površino nanodelcev, ki povečajo pozitivni/negativni naboj površine in je posledično potrebno več OH⁻/H⁺ za nevtralizacijo naboja in izoelektrična točka je pomaknjena k višji/nižji vrednosti pH [183]. Pri pH pod vrednostjo izoelektrične točke lahko poteka učinkovita adsorpcija na površino nanodelcev zaradi privlačnih elektrostatičnih interakcij. Pri pH nad izoelektrično točko je adsorpcija nekoliko manj učinkovita [209]. Čisti oksidi imajo dobro opredeljene izoelektrične točke, ki jih je mogoče uporabiti za preverjanje čistosti njihovih površin.

2.4.8 VSM

VSM uporabljam za karakterizacijo magnetnih nanodelcev z merjenjem magnetnega momenta vzorca, ki ga pogosto podamo kot masno magnetizacijo (emu/g). Vzorec pritrdim na vertikalno vibrirajočo palico, ki vibrira z določeno frekvenco in amplitudo, slika 2-23. Vzorec je v središču med dvema močnima magnetoma, ki ustvarjata močno homogeno magnetno polje. Na vsak magnetni pol je pritrjena merilna tuljava. Zaradi vibrirajočega namagnetenega vzorca v magnetnem polju se v tuljavah inducira napetost, ki je sorazmerna magnetnemu momentu vzorca. Magnetne lastnosti nanodelcev, torej specifično magnetizacijo M_s , koercitivnost H_c in remanentno magnetizacijo M_r , določamo z uporabo VSM [39].

Najboljše obnašanje magnetnih delcev dobimo pri najmanjših delcih. Večje debeline lupine oziroma funkcionalizacije nanodelcev nato povzročijo šibkejši magnetni odziv nanodelcev na zunanje magnetno polje.



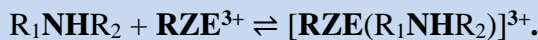
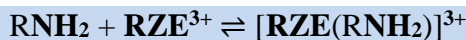
Slika 2-23. VSM

2.5 Adsorpcija RZE³⁺

Adsorpcija je učinkovita, ekonomična in ekološka tehnika, zato je adsorpcija RZE³⁺ iz vodnih raztopin z nanomateriali ena izmed najboljših tehnologij. Adsorpcija je proces prenosa mase, kjer se RZE³⁺ prenesejo iz vodne raztopine na površino nanomateriala in nastanejo vezi s fizikalnimi in/ali kemijskimi interakcijami, odvisno od vrste nanomateriala. Pri fizikalni adsorpciji se adsorbat prilepi na površino adsorbenta le s pomočjo šibkih medmolekulskih Van der Waalsovih sil. S kemijsko adsorpcijo pa so molekule adsorbata vezane na površini adsorbenta s kemijskimi vezmi (kovalentna, ionska) zaradi močnih interakcij med adsorbentom in adsorbatom [210].

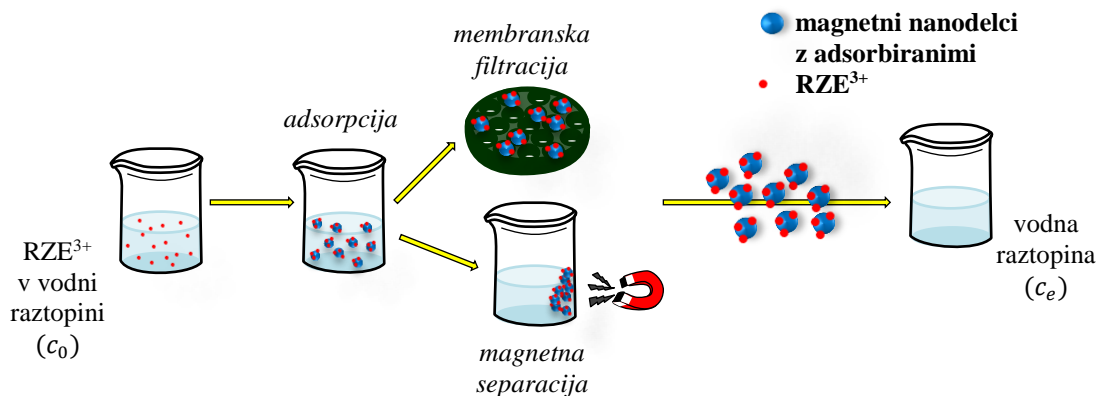
Natančen mehanizem adsorpcije iz vodnih raztopin še ni znan. V proces adsorpcije so pogosto vključeni primarni in sekundarni amini ter kombinacije funkcionalnih skupin, kot so karboksilna, hidroksilna ter hidroksikarboksilatni. Na splošno adsorpcijo RZE³⁺ iz vodnih raztopin lahko razložimo z različnimi mehanizmi, in sicer [211]:

- elektrostatične interakcije med skupinami OH in RZE³⁺,
- ionska izmenjava med protoniranimi Si kationi in RZE³⁺,
- kelacijski/koordinacijski mehanizem med dušikom iz amino skupin in RZE³⁺



Adsorpcijske študije izvajamo z mešanjem nanodelcev z vodno raztopino RZE³⁺ različnih koncentracij. Mešamo s primerno hitrostjo pri določeni temperaturi in določen čas, pri čemer se adsorbirajo RZE³⁺ na nanodelce (sistem: RZE³⁺/nanodelci). Učinkovitost adsorpcije oziroma masa adsorbata na nanodelcih je odvisna od optimalnih pogojev adsorpcije, ki so odvisni od adsorbenta in adsorbata.

Nemagnetne nanodelce z adsorbiranimi RZE³⁺ ločimo iz vodne raztopine s kolonsko ekstrakcijo [212], centrifugiranjem [4] ali membransko filtracijo [110], medtem ko magnetne nanodelce skupaj z adsorbiranimi RZE³⁺ ločimo iz vodnih raztopin z uporabo zunanjega magneta, slika 2-24.



Slika 2-24. Separacija sistema RZE³⁺/nanodelci iz vodne raztopine

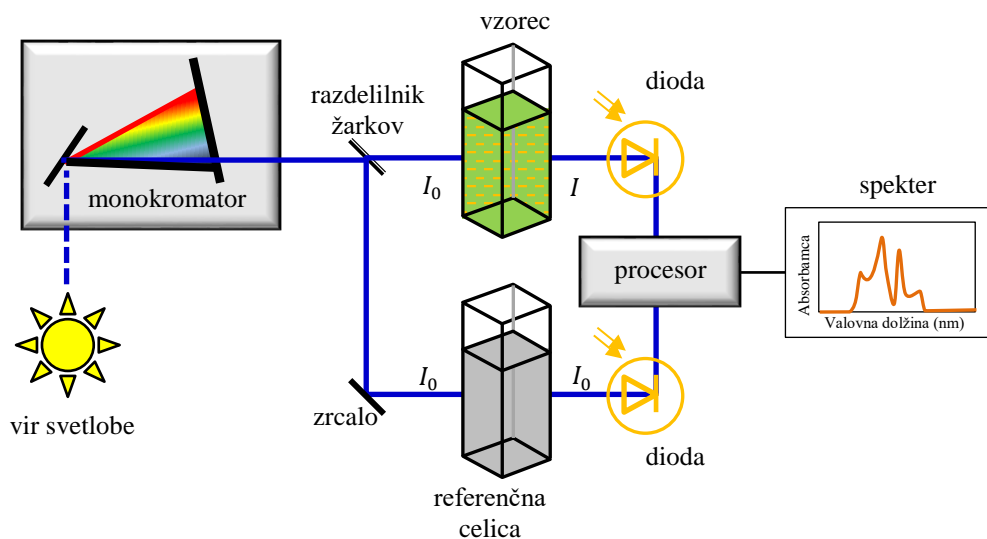
Za oceno učinkovitosti adsorpcije posameznega RZE³⁺ na površino izbranega adsorbenta uporabljamo različne tehnike, med katerimi sta zelo pogosti:

- spektroskopija UV/VIS in
- fluorescenčna spektroskopija.

S spektroskopijo UV/VIS lahko določimo valovno dolžino vzbujanja za posamezni RZE³⁺. Fluorescenčno spektroskopijo pa uporabljamo za določitev umeritvene krivulje za posamezni RZE³⁺, koncentracij adsorbiranih RZE³⁺, adsorpcijskih izoterm ter kinetike in termodinamike adsorpcije.

2.5.1 Spektroskopija UV/VIS

Spektroskopija UV/VIS izkorišča dejstvo, da molekule ob izpostavitvi svetlobi določene valovne dolžine, in sicer v spektralnem območju od 190 nm do 400 nm za ultravijolično svetlubo (UV) ter v območju od 400 nm do 860 nm za vidno svetlubo (VIS), absorbirajo energijo, intenziteta svetlobe pri prehodu skozi vzorec pa se ob tem zmanjša. Absorpcija UV/VIS-svetlobe je povezana z vzbujanjem elektronov v atomih in molekulah. Ko molekula absorbuje svetlobo določene valovne dolžine, elektroni preskočijo na višji energijski nivo, kjer ne ostanejo dolgo in se vračajo v svoja osnovna stanja. Ta prehod se izraža kot izguba energije zaradi vibracij in rotacij same molekule, oddane topote in kot izguba energije na račun trkov med molekulami. Razmerje med intenziteto prepuščene in vpadne svetlobe imenujemo transmitanca, ki je komplementarna absorpciji. Shema spektromетra UV/VIS je prikazana na sliki 2-25.



Slika 2-25. UV/VIS spektroskopija

Svetloba potuje preko monokromatorja in razdelilnika žarkov skozi referenčno celico in skozi vzorec, ki se nahaja v kivetih. Detektorja oziroma fotodiodi zaznata intenziteto prepuščene svetlobe skozi vzorec in skozi referenčno celico [198]. Dobljeni spekter se izriše na osnovi procesiranja intenzitete prepuščene svetlobe skozi vzorec in referenčno celico.

Na osnovi izmerjene absorbance vzorca določimo koncentracijo izbranega analita z Beer-Lambertovim zakonom:

$$A = -\log \frac{I}{I_o} = \varepsilon c L \quad (2.9)$$

kjer je:

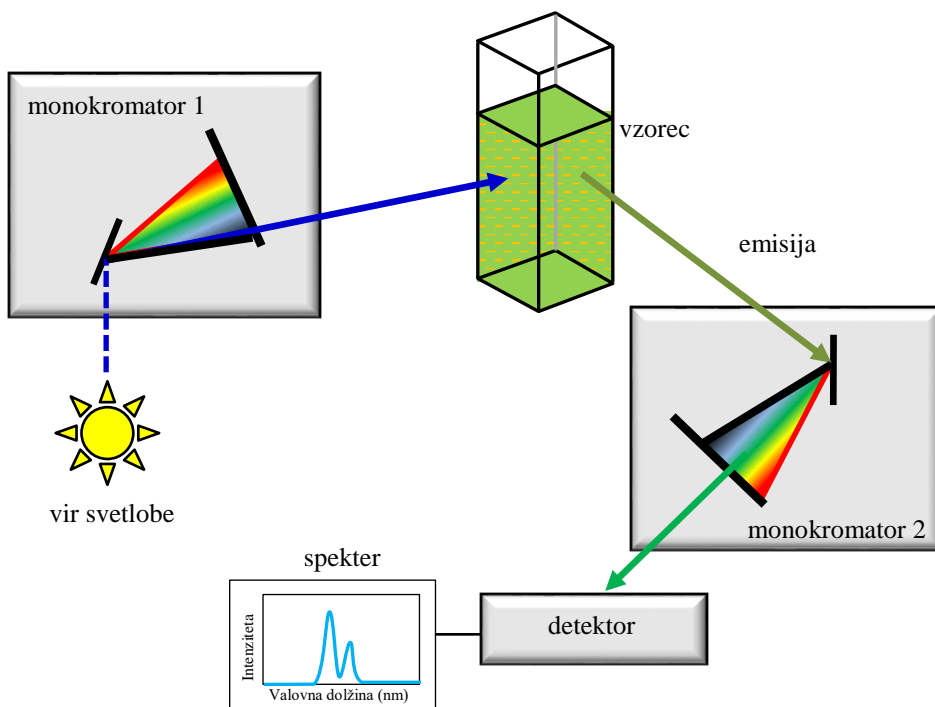
A	absorbanca (/)
I_o	intenziteta vpadne svetlobe (W)
I	intenziteta prepuščene svetlobe (W)
ε	absorpcijski koeficient ($\frac{\text{L}}{\text{mol cm}}$)
c	koncentracija ($\frac{\text{mol}}{\text{L}}$)
L	dolžina optične poti oziroma kivete (cm).

Na osnovi dobljenega spektra, slika 2-25, lahko določimo valovno dolžino vzbujanja za posamezno vodno raztopino RZE^{3+} . Kadar vodna raztopina RZE^{3+} ne daje signala z vzbujanjem UV/VIS, je treba pripraviti vodne raztopine kompleksa RZE^{3+} z ustreznim ligandom.

2.5.2 Fluorescenčna spektroskopija

Pri fluorescenčni spektroskopiji se analizira fluorescenčni odziv vzorca. Atomi/molekule v vzorcu v ravnovesnem stanju zasedajo najnižja energijska stanja, ko pa so vzbujeni, preidejo v višja stanja. Vzbujena stanja so nestabilna in navadno trajajo le nekaj nanosekund, da se atomi/molekule vrnejo v osnovno stanje. Molekule imajo znotraj energijskih nivojev še vibracijska in rotacijska stanja, katerih energijski prehodi so veliko ožji. Vzbujeni atomi/molekule absorbirajo foton, pri čemer elektron skoči v enega od vibracijskih nivojev v višjem energijskem stanju, odvisno od energije oziroma od valovne dolžine vzbujanja. Ker atomi/molekule med seboj trkajo, izgubljajo vibracijsko energijo in elektroni prehajajo v nižja vibracijska stanja višjega energijskega nivoja. Pri prehodu med energijskima nivojema pa se emitira foton. Ker je tako v osnovnem kot v vzbujenem stanju atomov/molekul možnih več vibracijskih stanj, so izsevane frekvence fotonov lahko različne. Z analizo teh frekvenc lahko določimo strukturo molekul, z analizo izsevanega spektra pa količino fluorescenčnih delcev v vzorcu. Atomi nimajo vibracijskih nivojev, zato je emitirana svetloba enake valovne dolžine kot vzbujevalna svetloba; ta proces reemitiranja se imenuje resonančna fluorescencija in ga lahko opazimo tudi pri nekaterih molekulah.

Princip delovanja fluorescenčnega spektrofotometra je prikazan na sliki 2-26 [198]. Svetloba od izvora potuje skozi primarni vzbujevalni filter (monokromator 1), ki omogoča izbiro valovne dolžine vzbujevalne svetlobe, ki na vzorcu povzroči fluorescenco. Pri prehodu svetlobe skozi vzorec, del te svetlobe absorbirajo fluorofori in jo nato pri daljši valovni dolžini izsevajo. Monokromator 2 omogoča merjenje posamezne valovne dolžine izsevane svetlobe. Dobljeni fluorescenčni spekter prikazuje odvisnost intenzitete emisije od valovne dolžine. Predpostavimo, da je intenziteta fluorescence sorazmerno s koncentracijo atomov/molekul.



Slika 2-26. Fluorescenčna spektroskopija

Molekulam, ki bi jih želeli opazovati, a same po sebi niso fluorescenčne, lahko s kemijskimi postopki dodamo funkcionalno skupino, tako da tudi te oddajajo svetlobo. Pri načrtovanju spojine je treba paziti, da se njeno delovanje zaradi dodanega fluorofora čim manj spremeni. Tako se lahko nefluorescenčnim RZE³⁺ dodajajo različni ligandi [213]-[215]. Posamezni ligandi so za kritične RZE zbrani v tabeli 2-5. 4-etilbenzojska kislina (4-EBA) in terpiridin (terpi) tvorita učinkovit ligand za Eu³⁺ in Tb³⁺, saj kompleksa Eu[(4-EBA)₃(terpi)H₂O]₂ in Tb[(4-EBA)₃(terpi)H₂O]₂ zagotavlja visoko fluorescenco [216]. Za fluorescenčno detekcijo Tb³⁺ je kot ligand uporabljen tudi tiron [217], Eu³⁺ s tenoiltrifluoroacetonom (TTA) in N,N%-dinaftil-N,N%-difenil-3,6-dioksaoktan diamidom (DDD) tvori kompleks Eu(TTA)₃DDD [218]. Kompleks iz Nd³⁺ in dveh ligandov, C₂F₅COOH in 2-amino-3-kloro-5-trifluorometil piridin (Tfp), kaže dobre fluorescenčne lastnosti. Namesto C₂F₅COOH so primerni tudi C₃F₇COOH in (C₂F₅COO)₂C₆F₅COO [219]. Za fluorescenčno detekcijo Dy³⁺ je primeren kompleks iz Dy, rodamina B salicilaldehid hidrazina odprtrega (HL^{1-o}) in zaprtega obroča (L¹), v acetonu in etanolu [Dy₂(HL^{1-o})₂(L¹) (NO₃)₃][Dy(NO₃)₅]·1,5ACE·0,5Et₂O [220]. Y³⁺ skupaj z ligandoma, 1,10-fenantrolin in 4,4'-bis(2-sulfonatostiril)bifenil, tvori kompleks z dobrimi fluorescenčnimi lastnostmi [221]. Tvorba Ce³⁺ kompleksa z natrijevim trifosfatom Na₅P₃O₁₀ omogoča uporabo fluorescenčne spektroskopije za določitev količine Ce³⁺ v sledovih [222]. Natrijev benzoat-trioktolfosfin oksid-Triton-X-100 v vodni raztopini pri pH ≈ 5,5 tvori skupaj z različnimi RZE³⁺ (Dy³⁺, Tb³⁺ in Eu³⁺) komplekse, ki fluorescirajo [223]. Prav tako pa lahko povečamo fluorescenco Dy³⁺, Tb³⁺ in Eu³⁺ s tvorbo kompleksa z ligandom benzen-1,3,5-trikarboksilna kislina-trioktolfosfin oksid-Triton-X-100 [224]. Panigrahi je v literaturi [225] predstavil učinkovitost piridin karboksilnih kislin (2,6-piridindikarboksilna kislina, 2-piridinkarboksilna kislina in piridin 3-karboksilna kislina) kot ligandov za adsorpcijo Dy³⁺, Tb³⁺ in Eu³⁺.

Za povečanje intenzitete fluorescence kompleksov RZE³⁺ sintetiziramo nove ligande, ki vsebujejo več estrskih skupin, več benzenskih obročev in več karboksilnih skupin, s čimer znatno izboljšajo prenos energije med ligandom in RZE³⁺. Ligand, sintetiziran z mešanjem benzen-1,4-dikarbonilklorida ($C_8H_4Cl_2O_2$) in pentaeritritola $C(CH_2OH)_4$ pri 120°C pet ur in spiranjem z raztopino Na_2CO_2 , skupaj z 1,10-fenantrolinom in Eu³⁺ tvori kompleks z visoko fluorescenco [226].

Tabela 2-5. Kompleksi oziroma ligandi za fluorescenčno spektroskopijo RZE³⁺

RZE ³⁺	Ligandi
Dy³⁺	rodamin B salicilaldehid hidrazin [220]
	rodamin B 3-metilsalicilaldehid hidrazin [220]
	natrijev benzoat-trioktolfosfin oksid-Triton-X-100 [223]
	benzen 1,3,5 trikarboksilna kislina-trioktolfosfin oksid-Triton-X-100 [224]
	2,6-piridindikarboksilna kislina [225]
Eu³⁺	4-etilbenzojska kislina + 2,2':6',2"-terpiridin [216]
	tenoiltrifluoroaceton + N,N%-dinaftil-N,N%-difenil-3,6-dioksaoktan diamid [218]
	natrijev benzoat-trioktolfosfin oksid-Triton-X-100 [223]
	benzen 1,3,5 trikarboksilna kislina-trioktolfosfin oksid-Triton-X-100 [224]
	2,6-piridindikarboksilna kislina [225]
Nd³⁺	pentafluoropropanojska kislina + 2-amino-3-kloro-5-trifluorometil piridin [219]
	heptafluorobutanojska kislina+ 2-amino-3-kloro-5-trifluorometil piridin [219]
	penta- in heptafluorobutanojska kislina + 2-amino-3-kloro-5-trifluorometil piridin [219]
Tb³⁺	4-etilbenzojska kislina + 2,2':6',2"-terpiridin [216]
	natrijev benzoat-trioktolfosfin oksid-Triton-X-100 [223]
	benzen 1,3,5 trikarboksilna kislina-trioktolfosfin oksid-Triton-X-100 [224]
	tiron [217]
	2,6-piridindikarboksilna kislina [225]
Y³⁺	4,4'-bis(2-sulfonatostiril)bifenil + 1,10-fenantrolin [221]

Za analizo adsorpcije s fluorescenčno spektroskopijo pogosto uporabljamo standardne vodne raztopine.

Standardne vodne raztopine

Zaradi enostavnejše in hitrejše analize preučujemo adsorpcijo RZE³⁺ iz standardnih vodnih raztopin namesto adsorpcije RZE³⁺ iz odpadnih voda. Za adsorpcijo nefluorescenčnih RZE³⁺ so standardne vodne raztopine sestavljene iz vodne raztopine RZE³⁺ in ustreznega liganda. Tako standardne vodne raztopine uporabljamo za pripravo umeritvene krivulje, določevanje afinitete RZE³⁺ do sintetiziranih nanodelcev, adsorpcijskih izoterm ter kinetike in termodinamike adsorpcije.

Umeritvena krivulja

Za določitev umeritvene krivulje si pripravimo slepi vzorec (brez RZE³⁺) ter serijo standardnih vodnih raztopin RZE³⁺ z ustreznimi ligandi (RZE³⁺ kompleks) v različnih množinskih razmerjih. Pripravljenim raztopinam izmerimo fluorescenco pri valovni dolžini vzbujanja, določeni s spektroskopijo UV/VIS. Intenzitete absorbanc odčitamo pri tisti valovni dolžini, kjer se pojavijo emisijski vrhovi RZE³⁺ kompleksa. Ko tako izmerimo intenzitetu absorbance slepemu vzorcu I_0 in vsaki pripravljeni raztopini I , lahko narišemo umeritveno krivuljo. Na abscisno os nanašamo koncentracije RZE³⁺, na ordinatno os pa za vsako pripravljeni raztopino razmerje absorbanc $\frac{I}{I_0}$. Ker se pri pripravi standardnih vodnih raztopin lahko pojavijo slučajne napake, so potrebne vsaj 3 paralelne standardne vodne raztopine, na osnovi katerih se izračunajo povprečne vrednosti in standardna deviacija. Umeritvena krivulja je uspešno določena takrat, ko je determinacijski koeficient R^2 večji od 0,99. Iz dobljene enačbe regresijske premice lahko kateremu koli vzorcu na osnovi izmerjenih absorbanc določimo koncentracijo adsorbiranih RZE³⁺.

Afiniteta RZE³⁺ do sintetiziranih nanodelcev

Za določitev afinitete RZE³⁺ do adsorbentov moramo poznati koncentracijo RZE³⁺ pred adsorpcijo in po njej. Koncentracijo RZE³⁺ pred adsorpcijo $c_{\text{ads},0}$ določimo na osnovi slepega vzorca I_0 (brez RZE³⁺) in ene izmed standardnih vodnih raztopin RZE³⁺ z ustreznim ligandom $I_{\text{pred ad}}$ (znana koncentracija RZE³⁺). Pri razmerju $\frac{I_{\text{pred ad}}}{I_0}$ odčitamo iz umeritvene krivulje $c_{\text{ads},0}$. Koncentracijo RZE³⁺ po adsorpciji (ravnotežna koncentracija RZE³⁺ v vodni raztopini) $c_{\text{ads,e}}$ pa določimo na osnovi slepega vzorca I_0 (brez RZE³⁺) in vzorca z neznano koncentracijo RZE³⁺ $I_{\text{po ad}}$. Vzorec z neznano koncentracijo RZE³⁺ vsebuje supernatant, v katerem so RZE³⁺, ki se niso adsorbirali na nanodelce [20][110]. Pri razmerju $\frac{I_{\text{po ad}}}{I_0}$ odčitamo iz umeritvene krivulje $c_{\text{ads,e}}$. Koncentracija adsorbiranih RZE³⁺ na nanodelce c_{ads} :

$$c_{\text{ads}} = c_{\text{ads},0} - c_{\text{ads,e}} \quad (2.10)$$

kjer je:

c_{ads}	koncentracija adsorbata – adsorbiranih RZE ³⁺ ($\frac{\text{mol}}{\text{L}}$)
$c_{\text{ads},0}$	začetna koncentracija RZE ³⁺ v vodni raztopini ($\frac{\text{mol}}{\text{L}}$)
$c_{\text{ads,e}}$	ravnotežna koncentracija RZE ³⁺ v vodni raztopini ($\frac{\text{mol}}{\text{L}}$).

Masna koncentracija adsorbiranih RZE³⁺ na nanodelce:

$$\gamma_{\text{ads}} = c_{\text{ads}} \cdot M_{\text{ads}} \quad (2.11)$$

kjer je:

γ_{ads}	masna koncentracija adsorbata ($\frac{\text{g}}{\text{L}}$)
c_{ads}	koncentracija adsorbata – adsorbiranih RZE ³⁺ ($\frac{\text{mol}}{\text{L}}$)
M_{ads}	molska masa adsorbata ($\frac{\text{g}}{\text{mol}}$).

Adsorpcijska kapaciteta q_{ad} je podana kot masa adsorbiranih RZE³⁺ na maso nanomateriala kot adsorbenta (mg/g) [3]:

$$q_{ad} = \frac{\gamma_{ads} \cdot V_r}{m_{ND}} \quad (2.12)$$

kjer je:

q_{ad}	adsorpcijska kapaciteta $\left(\frac{mg}{g}\right)$
γ_{ads}	masna koncentracija adsorbata $\left(\frac{mg}{L}\right)$
m_{ND}	masa nanodelcev, masa nanodelcev z adsorbiranimi RZE ³⁺ (g)
V_r	volumen raztopine (L).

Učinkovitost adsorpcije [110]:

$$q_{ad,\%} = \frac{(c_{ads,0} - c_{ads,e})}{c_{ads,0}} \cdot 100 \quad (2.13)$$

kjer je:

$q_{ad,\%}$	učinkovitost adsorpcije (%)
$c_{ads,0}$	začetna koncentracija RZE ³⁺ v vodni raztopini $\left(\frac{mol}{L}\right)$
$c_{ads,e}$	ravnotežna koncentracija RZE ³⁺ v vodni raztopini $\left(\frac{mol}{L}\right)$.

Kinetična analiza adsorpcije

Različni kinetični modeli opisujejo spremembo adsorpcijske kapacitete q_{ad} v odvisnosti od časa [211][228]. Najpogosteje uporabljeni modeli, ki upoštevajo prenos adsorbata do filma na površini adsorbenta, preko zunanje in notranje difuzije do fizikalnih in kemijskih reakcij na površini adsorbenta, so kinetični modeli psevdo prvega reda, psevdo drugega reda in Elovichev model [229].

Kinetični model psevdo prvega reda predpostavlja, da je: (i) adsorpcija mogoča le na določenih mestih adsorbenta in ne upošteva interakcij med ioni adsorbata, (ii) energija adsorpcije ni odvisna od zasedenosti površine adsorbenta z adsorbatom in da (iii) maksimalna adsorpcija Sovpada z nasičenostjo površine adsorbenta z adsorbatom [229]. Kinetični model psevdo prvega reda lahko zapišemo v nelinearni obliki [1][4][29][230][231]:

$$q_{ad,t} = q_{ad,e} \cdot (1 - e^{-k_1 \cdot t}) \quad (2.14)$$

kjer je:

$q_{ad,t}$	adsorpcijska kapaciteta v času t $\left(\frac{mg}{g}\right)$
$q_{ad,e}$	ravnotežna adsorpcijska kapaciteta v vodni raztopini $\left(\frac{mg}{g}\right)$
t	čas (min)
k_1	konstanta psevdo prvega reda $\left(\frac{1}{min}\right)$.

Z linearizacijo enačbe psevdo prvega reda določimo parametra k_1 in $q_{ad,e}$ s pomočjo naklona in odseka na ordinatni osi krivulje $\ln(q_{ad,e,exp} - q_{ad,t}) = f(t)$, pri čemer je $q_{ad,e,exp}$ eksperimentalno dobljena adsorpcijska kapaciteta v ravnotežju v (mg/g) [230]:

$$\ln(q_{ad,e} - q_{ad,t}) = -k_1 \cdot t + \ln q_{ad,e} \quad (2.15)$$

Kinetični model psevdo drugega reda opisuje kemijsko adsorpcijo in upošteva izmenjavo elektronov med adsorbentom in adsorbatom [4][29][230][231][232]:

$$q_{ad,t} = \frac{k_2 \cdot q_{ad,e}^2 \cdot t}{1 + k_2 \cdot q_{ad,e} \cdot t} \quad (2.16)$$

kjer je:

$q_{ad,t}$	adsorpcijska kapaciteta v času t ($\frac{\text{mg}}{\text{g}}$)
$q_{ad,e}$	adsorpcijska kapaciteta v ravnotežju ($\frac{\text{mg}}{\text{g}}$)
t	čas (min)
k_2	konstanta psevdo drugega reda ($\frac{\text{g}}{\text{mg min}}$).

Z linearizacijo enačbe psevdo drugega reda določimo parametra $q_{ad,e}$ in k_2 s pomočjo naklona in odseka na ordinatni osi premice $\frac{t}{q_{ad,t}} = f(t)$:

$$\frac{t}{q_{ad,t}} = \frac{1}{q_{ad,e}} \cdot t + \frac{1}{k_2 \cdot q_{ad,e}^2} \quad (2.17)$$

Elovichev kinetični model predpostavlja adsorpcijo samo na nekaterih lokaliziranih mestih na površini adsorbenta, vendar dopušča interakcijo med adsorbatnimi ioni. Prav tako predpostavlja linearno povečanje energije adsorpcije z naraščanjem deleža površine adsorbenta, kjer so že vezani adsorbirani ioni [229]. Pogosto uporabljamo poenostavljeno Elovichevo enačbo:

$$q_{ad,t} = \frac{1}{\beta_E} \cdot \ln(\alpha_E \cdot \beta_E \cdot t) \quad (2.18)$$

kjer je:

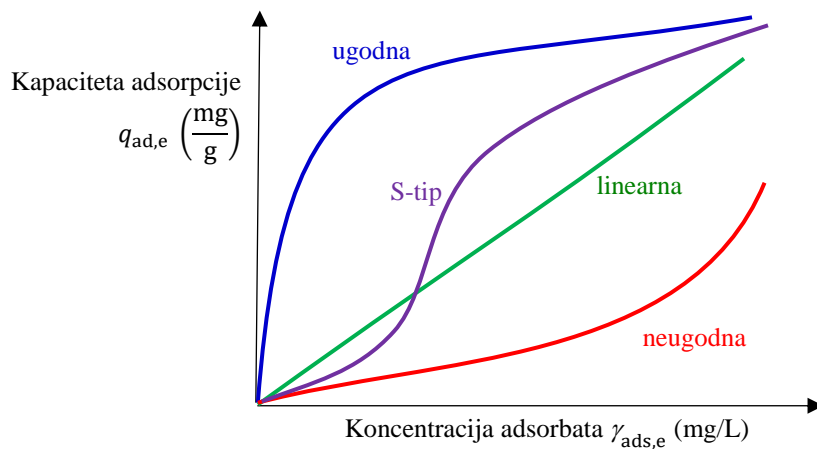
$q_{ad,t}$	adsorpcijska kapaciteta v času t ($\frac{\text{mg}}{\text{g}}$)
α_E	konstanta začetne hitrosti adsorpcije Elovichevega modela ($\frac{\text{mg}}{\text{g s}}$)
β_E	konstanta zasedenosti površine in energije adsorpcije Elovichevega modela ($\frac{\text{g}}{\text{mg}}$)
t	čas (min).

Z linearizacijo enačbe Elovichevega kinetičnega modela določimo parametra α_E in β_E s pomočjo naklona in odseka na ordinatni osi premice $q_{ad,t} = f(\ln t)$:

$$q_{ad,t} = \frac{1}{\beta_E} \ln t + \frac{1}{\beta_E} \cdot \ln(\alpha_E \cdot \beta_E) \quad (2.19)$$

Adsorpcijske izoterme

Adsorpcijske izoterme nam prikazujejo odvisnost adsorpcijske kapacitete q_{ad} (mg/g) od ravnotežne masne koncentracije adsorbata $\gamma_{ads,e}$ pri konstantni temperaturi. Meritve potekajo pri spremenljajočih začetnih koncentracijah RZE³⁺ v vodni raztopini $\gamma_{ads,0}$, medtem ko vsi drugi parametri ostajajo nespremenljivi [228][233]. Oblika adsorpcijskih krivulj nam pove kakšni so pogoji adsorpcije oziroma kakšna je narava adsorpcije. Če so dosežene velike adsorpcijske kapacitete v ravnotežju $q_{ad,e}$ že pri nizkih ravnotežnih masnih koncentracijah adsorbata v vodni raztopini $\gamma_{ads,e}$, govorimo o ugodnih pogojih za adsorpcijo oziroma o ugodni adsorpciji. Če pa nizke koncentracije $\gamma_{ads,e}$ omogočajo nizke adsorpcijske kapacitete v ravnotežju $q_{ad,e}$ pa govorimo o neugodnih pogojih adsorpcije oziroma o neugodni adsorpciji, slika 2-27 [232][234]. Za linearno izotermu je značilna konstantna afiniteta adsorbata do adsorbenta. Adsorpcija S-tipa je kooperativna adsorpcija, za katero so značilne močne interakcije med adsorbatom in adsorbentom [235].



Slika 2-27. Adsorpcijske izoterme

Med mnogimi adsorpcijskimi modeli so za adsorpcije RZE³⁺ z nanomateriali najpogosteje uporabljene Langmuirjeva adsorpcijska izoterma, ki je najosnovnejša, Freundlichova, Dubinin-Radushkevicheva in Temkinova adsorpcijska izoterma [211][232][233][234][236]. Pri tem je treba poudariti, da na osnovi adsorpcijske izoterme, ki najbolje opisuje naše eksperimentalne rezultate adsorpcije, lahko samo sklepamo na adsorpcijski mehanizem, ne moremo pa ga potrditi.

Langmuirjeva adsorpcijska izoterma predpostavlja: (i) omejeno število lokaliziranih adsorpcijskih – veznih mest na površini adsorbenta, (ii) vezavo le ene molekule na vsako vezno mesto, torej predvideva enoslojno adsorpcijo in (iii) homogeno površino adsorbenta z energetskega stališča, torej enakomerno afiniteto vseh veznih mest do adsorbata brez interakcij med molekulami adsorbata. Langmuirjeva adsorpcijska izoterma opisuje kemijsko adsorpcijo [29][228][234]:

$$q_{ad,e} = \frac{q_m \cdot K_L \cdot \gamma_{ads,e}}{1 + K_L \cdot \gamma_{ads,e}} \quad (2.20)$$

kjer je:

$q_{ad,e}$	adsorpcijska kapaciteta v ravnotežju ($\frac{mg}{g}$)
q_m	kapaciteta enoslojne adsorpcije ($\frac{mg}{g}$)
K_L	Langmuirjeva izotermna konstanta ($\frac{L}{mg}$)
$\gamma_{ads,e}$	ravnotežna masna koncentracija adsorbata v vodni raztopini ($\frac{mg}{L}$).

Z linearizacijo adsorpcijske Langmuirjeve adsorpcijske izoterme določimo parametra q_m in K_L na osnovi odseka na ordinatni osi in naklona premice $\frac{\gamma_{ads,e}}{q_{ad,e}} = f(\gamma_{ads,e})$ [1][234]:

$$\frac{\gamma_{ads,e}}{q_{ad,e}} = \frac{1}{q_m} \cdot \gamma_{ads,e} + \frac{1}{q_m \cdot K_L} \quad (2.21)$$

Tudi z linearizacijo adsorpcijske Langmuirjeve adsorpcijske izoterme na osnovi odseka na ordinatni osi in naklona premice $\frac{1}{q_{ad,e}} = f\left(\frac{1}{\gamma_{ads,e}}\right)$ lahko določimo parametra q_m in K_L [1][234]:

$$\frac{1}{q_{ad,e}} = \frac{1}{q_m \cdot K_L} \cdot \frac{1}{\gamma_{ads,e}} + \frac{1}{q_m} \quad (2.22)$$

Freundlichova adsorpcijska izoterma predpostavlja neenakomerno afiniteto veznih mest do adsorbata in s tem opisuje dobro večslojno adsorpcijo in adsorpcijo na heterogeno površino adsorbenta. Freundlichova adsorpcijska izoterma opisuje kemijsko adsorpcijo [29][234]:

$$q_{ad,e} = K_F \cdot \gamma_{ads,e}^{\frac{1}{n}} \quad (2.23)$$

kjer je:

$q_{ad,e}$	adsorpcijska kapaciteta v ravnotežju ($\frac{mg}{g}$)
K_F	Freundlich-ova izotermna konstanta ($\frac{mg}{g} \cdot \left(\frac{L}{mg}\right)^{\frac{1}{n}}$)
n	intenzivnost adsorpcije (/)
$\gamma_{ads,e}$	ravnotežna masna koncentracija adsorbata v vodni raztopini ($\frac{mg}{L}$).

Z linearizacijo Freundlichove adsorpcijske izoterme določimo parametra n in K_F na osnovi odseka na ordinatni osi in naklona premice $\log q_{\text{ad,e}} = f(\log \gamma_{\text{ads,e}})$ [234]:

$$\log q_{\text{ad,e}} = \frac{1}{n} \log \gamma_{\text{ads,e}} + \log K_F \quad (2.24)$$

Oblika Freundlichove adsorpcijske izoterme kaže naravo adsorpcije, ki jo lahko opišemo s faktorjem intenzivnosti adsorpcije n [234]. Če je $n < 1$, je adsorpcija ugodna, za $n > 1$ pa je adsorpcija neugodna.

Dubinin-Radushkevicheva adsorpcijska izoterma je bila v osnovi razvita za proces adsorpcije, ki sledi mehanizmu polnjenja por. Primerna je za opis adsorpcije na homogenih in heterogenih površinah adsorbenta [233]:

$$q_{\text{ad,e}} = q_s \cdot \exp(-K_{\text{DR}} \cdot \varepsilon_{\text{DR}}^2); \quad \varepsilon_{\text{DR}} = R \cdot T \cdot \ln \left(1 + \frac{1}{\gamma_{\text{ads,e}}} \right) \quad (2.25)$$

kjer je:

$q_{\text{ad,e}}$	adsorpcijska kapaciteta v ravnotežju ($\frac{\text{mg}}{\text{g}}$)
q_s	konstanta adsorpcijske kapacitete Dubinin-Radushkevicheva izoterme ($\frac{\text{mg}}{\text{g}}$)
K_{DR}	konstanta proste energije Dubinin-Radushkevicheva izoterme ($\frac{\text{mol}^2}{\text{kJ}^2}$)
T	temperatura (K)
R	splošna plinska konstanta ($8,314 \frac{\text{J}}{\text{mol K}}$)
$\gamma_{\text{ads,e}}$	ravnotežna masna koncentracija adsorbata v vodni raztopini ($\frac{\text{mg}}{\text{L}}$).

Z linearizacijo Dubinin-Radushkevicheve adsorpcijske izoterme določimo parametra q_s in K_{DR} na osnovi odseka na ordinatni osi in naklona premice $\ln q_{\text{ad,e}} = f(\varepsilon_{\text{DR}}^2)$ [233]:

$$\ln q_{\text{ad,e}} = \ln q_s - K_{\text{DR}} \cdot \varepsilon_{\text{DR}}^2 \quad (2.26)$$

Temkinova adsorpcijska izoterma upošteva, da celotna površina adsorbenta z energetskega stališča ni homogena oziroma da energija, s katero se vsak adsorbat veže na površino adsorbenta ni enaka v vsaki točki površine. Model upošteva, da so na površini adsorbenta mesta z različnimi silami delovanja na adsorbat, pri čemer za vsako takšno mesto veljajo vsa druga pravila Langmuirjevega modela, vendar z različno vrednostjo energije adsorpcije. Izkazalo se je, da se na mesta na površini adsorbenta z zelo visoko energijo adsorpcije veže adsorbat že pri nizkih koncentracijah v raztopini in da so za odvisnost adsorpcije od koncentracije odgovorna predvsem mesta z nizko energijo na površini adsorbenta [237].

Temkinova izoterma predpostavlja linearno zmanjševanje energije adsorpcije vseh adsorbiranih molekul v sloju s povečanjem površine adsorbenta, pokrite z adsorbatom. Predpostavlja torej linearno odvisnost interakcij med adsorbatom in adsorbentom, kar povzroči zmanjšanje energije adsorpcije za molekule v istem sloju, in opisuje kemijsko adsorpcijo [29][234]:

$$q_{ad,e} = \frac{R \cdot T}{b_T} \cdot \ln(A_T \gamma_{ads,e}) \quad (2.27)$$

kjer je:

$q_{ad,e}$	adsorpcijska kapaciteta v ravnotežju ($\frac{mg}{g}$)
R	splošna plinska konstanta ($8,314 \frac{J}{mol K}$)
T	temperatura (K)
b_T	Temkinova izotermna konstanta toplotne adsorpcije ($\frac{J g}{mol mg}$).
A_T	Temkinova izotermna konstanta vezave v ravnotežju ($\frac{L}{g}$).

Z linearizacijo Temkinove adsorpcijske izoterme določimo parametra b_T in A_T na osnovi odseka na ordinatni osi in naklona premice $q_{ad,e} = f(\ln \gamma_{ads,e})$ [234]:

$$q_{ad,e} = \frac{R \cdot T}{b_T} \cdot \ln \gamma_{ads,e} + \frac{R \cdot T}{b_T} \cdot \ln A_T \quad (2.28)$$

Termodinamična analiza adsorpcije

Termodinamična analiza adsorpcije omogoča vpogled v energetske spremembe v procesu adsorpcije. Spontanost adsorpcije ugotavljamo na osnovi spremembe Gibbsove proste energije ΔG^0 [1] [232][238]. Kadar je $\Delta G^0 < 0$, poteka adsorpcija spontano, torej za adsorpcijo ni potreben vnos energije iz okolja, medtem ko je pri $\Delta G^0 > 0$ potrebno za adsorpcijo vnesti energijo iz okolja. Gibbsova prosta energija ΔG^0 [1][238]:

$$\Delta G^0 = \Delta H^0 - T \cdot \Delta S^0 \quad (2.29)$$

$$\Delta G^0 = -R \cdot T \cdot \ln K_d \quad (2.30)$$

kjer je:

ΔG^0	Gibbsova prosta energija ($\frac{J}{mol}$)
ΔH^0	sprememba standardne entalpije ozziroma toplota adsorpcije ($\frac{J}{mol}$)
ΔS^0	sprememba standardne entropije ($\frac{J}{mol K}$)
R	splošna plinska konstanta ($8,3143 \frac{J}{mol K}$)
T	temperatura (K)
K_d	ravnotežna konstanta za adsorpcijo (/).

Brezdimenzijska ravnotežna konstanta K_d za adsorpcijo posameznega RZE³⁺ [215][239]-[241]:

$$K_d = \gamma_r \cdot \frac{q_{ad,e}}{\gamma_{ads,e}} \quad (2.31)$$

kjer je:

γ_r masna koncentracija vode ($1000 \frac{g}{L}$)

$q_{ad,e}$ adsorpcijska kapaciteta v ravnotežju ($\frac{mg}{g}$)

$\gamma_{ads,e}$ ravnotežna masna koncentracija adsorbata v vodni raztopini ($\frac{mg}{L}$).

Proces adsorpcije pa določata tudi sprememba entalpije ΔH^0 in sprememba entropije ΔS^0 . Sprememba standardne entalpije ΔH^0 in sprememba standardne entropije ΔS^0 sta povezani z enačbo van't Hoff [29][240]:

$$\ln K_d = -\frac{\Delta H^0}{R} \cdot \frac{1}{T} + \frac{\Delta S^0}{R} \quad (2.32)$$

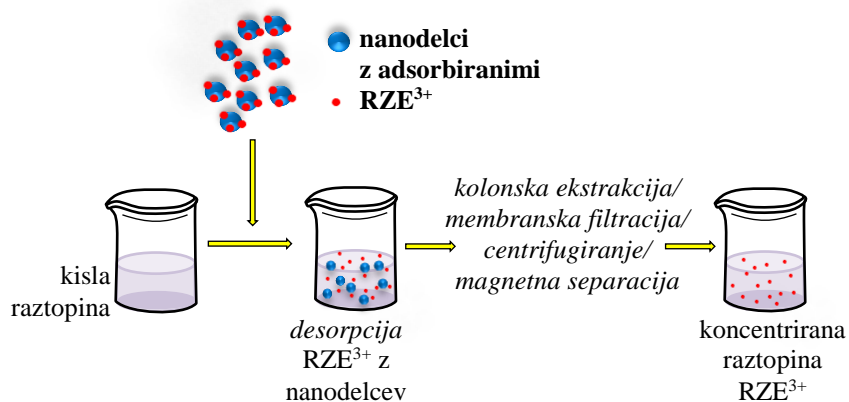
Pri različnih temperaturah izračunamo ravnotežne konstante K_d in izračunamo Gibbsove proste energije ΔG^0 . Spremembo entalpije ΔH^0 in spremembo entropije ΔS^0 lahko določimo iz odseka na ordinatni osi in naklona premice $\Delta G^0 = f(T)$ oziroma $\ln K_d = f\left(\frac{1}{T}\right)$ [1][238].

Če je $\Delta H^0 > 0$, je adsorpcija RZE³⁺ endotermna reakcija, medtem ko $\Delta H^0 < 0$ kaže na adsorpcijo kot eksotermno reakcijo. Vrednost $\Delta G^0 < 0$ pa kaže na spontan proces adsorpcije RZE³⁺ na nanodelce. Zmanjšanje ΔG^0 z naračajočo temperaturo kaže na povečano učinkovitost adsorpcije pri višjih temperaturah [29].

2.6 Desorpcija, regeneracija in ponovna uporaba RZE

Po adsorpciji RZE³⁺ na površino nanodelcev in ločitvi sistema RZE³⁺/nanodelci iz vodne raztopine sledi ločevanje RZE³⁺ od nanodelcev z različnimi postopki, kot so: kolonska ekstrakcija [212], centrifugiranje [4] ali membranska filtracija [110] v primeru nemagnetnih nanodelcev in z uporabo zunanjega magneta v primeru magnetnih nanodelcev.

Desorpcojo RZE³⁺ s površine nanodelcev, slika 2-28, običajno izvedemo s kislo raztopino, kot so raztopine HCl, HNO₃ ali H₂SO₄ [232]. Na splošno desorpcaja adsorbata z visoko afiniteto do adsorbenta zahteva visoko koncentracijo kislih in/ali kelatnih sredstev [110]. Desorpcijske študije so opravljene za različne kombinacije RZE³⁺/nanodelci pod različnimi pogoji.



Slika 2-28. Regeneracija RZE³⁺

Za določitev desorpceje RZE³⁺ s površine adsorbentov v kisli raztopini moramo poznati koncentracijo adsorbiranih RZE³⁺ in koncentracijo RZE³⁺ po desorpceji. Postopek je podoben kot pri adsorpceiji, le da tokrat začnemo s koncentracijo adsorbiranih RZE³⁺ oziroma pred desorpcojo $c_{des,0} = c_{ads}$. Po končani desorpceji določimo koncentracijo RZE³⁺ $c_{des,e}$. Koncentracija $c_{des,0}$ ustreza razmerju $\frac{I_{pred\ de}}{I_0}$ na umeritveni krivulji. Koncentracijo RZE³⁺ po desorpceji $c_{des,e}$ pa določimo na osnovi slepega vzorca I_0 (brez RZE³⁺) in vzorca z neznano koncentracijo RZE³⁺ $I_{po\ de}$. Vzorec z neznano koncentracijo RZE³⁺ vsebuje supernatant, v katerem so RZE³⁺, ki so se uspešno desorbirali s površine nanodelcev [20][110]. Pri razmerju $\frac{I_{po\ de}}{I_0}$ odčitamo iz umeritvene krivulje $c_{des,e}$ in to je koncentracija desorbiranih RZE³⁺ s površine nanodelcev c_{des} .

Kapaciteto desorpceje q_{de} lahko izračunamo podobno kot kapaciteto adsorpceije [7]:

$$q_{de} = \frac{c_{des} \cdot V_{r,a} \cdot M_{ads}}{m_{ND}} \quad (2.33)$$

kjer je:

- | | |
|-----------|--|
| q_{de} | desorpcijska kapaciteta (mg/g) |
| c_{des} | koncentracija desorbata – desorbiranih RZE ³⁺ ($\frac{\text{mol}}{\text{L}}$) |
| $V_{r,a}$ | volumen kisle raztopine (mL) |
| M_{ads} | molska masa adsorbata, desorbiranih RZE ³⁺ ($\frac{\text{g}}{\text{mol}}$) |
| m_{ND} | masa nanodelcev (g). |

Učinkovitost desorpcije $q_{de,\%}$ lahko izračunamo kot [29]:

$$q_{de,\%} = \frac{c_{des}}{c_{ads}} \cdot 100 \quad (2.34)$$

Učinkovitost regeneracije RZE³⁺ [7]:

$$q_{reg,\%} = \frac{q_{de}}{q_{ad}} \cdot 100 \quad (2.35)$$

kjer je:

$q_{reg,\%}$ učinkovitost regeneracije RZE³⁺ (%)

q_{ad} adsorpcijska kapaciteta ($\frac{mg}{g}$)

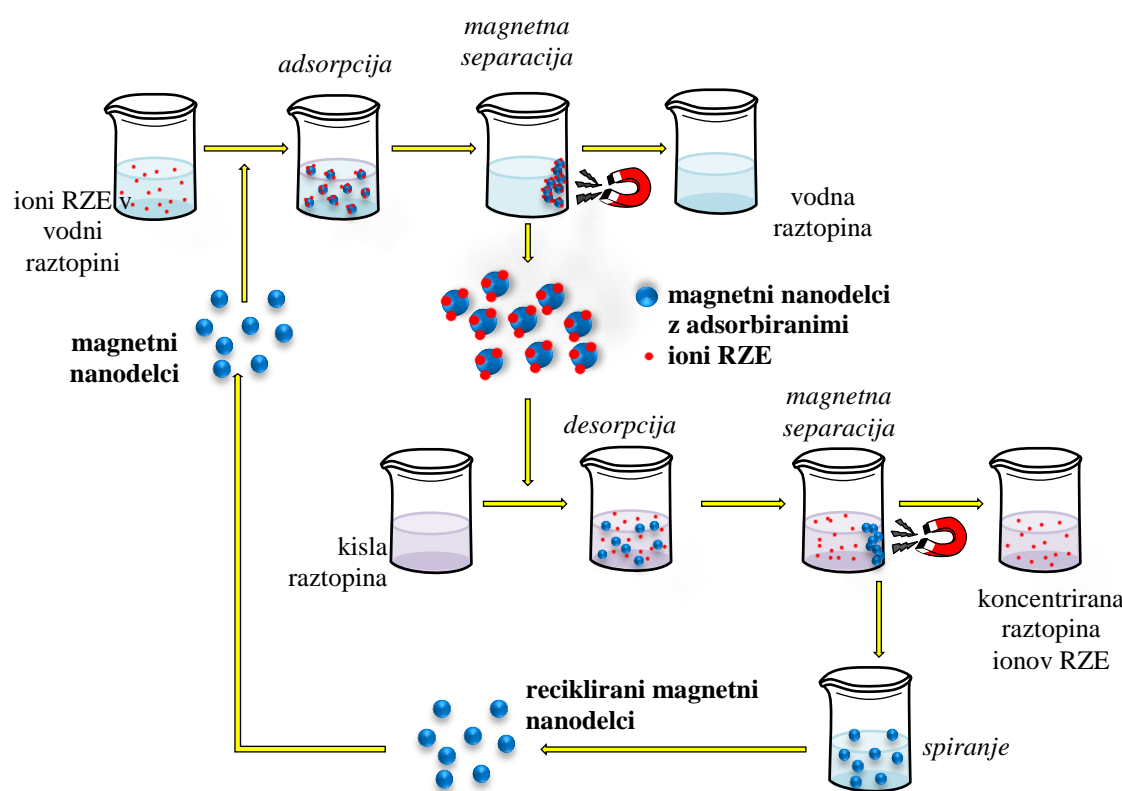
q_{de} desorpcijska kapaciteta ($\frac{mg}{g}$).

2.7 Regeneracija in ponovna uporaba nanomaterialov

V zadnjih letih se uporaba nanomaterialov v industrijskih aplikacijah in potrošniških izdelkih nenehno povečuje. Poleg tega nanomateriale uporabljamo na področju okoljevarstva, kjer dajejo dobre rezultate zlasti pri odstranjevanju onesnaževal ali zmanjševanju toksičnosti [126][242]. Zato industrija in vladne inštitucije veliko vlagajo v razvoj nanotehnologije in recikliranja nanomaterialov.

Treba je priznati, da je razumevanje učinkov nanodelcev na zdravje ljudi in varstvo okolja še vedno zelo omejeno [243][244]. Zato je recikliranje nanodelcev pomembno, saj s tem lahko vplivamo na zmanjšanje nanodelcev v okolju in tako na zmanjšanje izpostavljenosti morebitnim škodljivim vplivom nanodelcev v okolju. Po drugi strani pa je recikliranje nanodelcev vedno bolj zanimivo zaradi hitrih, poceni, učinkovitih in okolju prijaznih metod ločevanja, čiščenja in predelave nanomaterialov, zlasti če so ti nanomateriali izdelani iz dragih in plemenitih kovin [245]. Ker so v uporabi zelo raznoliki nanomateriali, do sedaj ni izdelanih standardov, ki bi predpisovali varno odstranjevanje in recikliranje posameznih nanodelcev [246].

Magnetna separacija je privlačna in učinkovita metoda za recikliranje magnetnih nanodelcev [36][37]. Glavna prednost te metode je, da z uporabo zunanjega magnetnega polja ne vplivamo na spremembe lastnosti nanomateriala. Slika 2-29 prikazuje način recikliranja magnetnih nanodelcev. RZE³⁺ v vodni raztopini se adsorbirajo na površino nanodelcev. Magnetne nanodelce z adsorbiranimi RZE³⁺ ločimo iz vodne raztopine z zunanjim magnetom. Magnetne nanodelce z adsorbiranimi RZE³⁺ vodimo v kisle raztopine, kjer poteka desorpcaja RZE³⁺ s površine magnetnih nanodelcev. Magnetne nanodelce ločimo z zunanjim magnetom in dobimo raztopino s koncentriranimi RZE³⁺. V primeru nemagnetnih nanodelcev namesto kolonske ekstrakcije uporabimo membransko filtracijo ali centrifugiranje. Po separaciji nanodelcev obnovimo nanodelce z večkratnim spiranjem z vodo, da bi jih lahko ponovno uporabili.



Slika 2-29. Recikliranje magnetnih nanodelcev

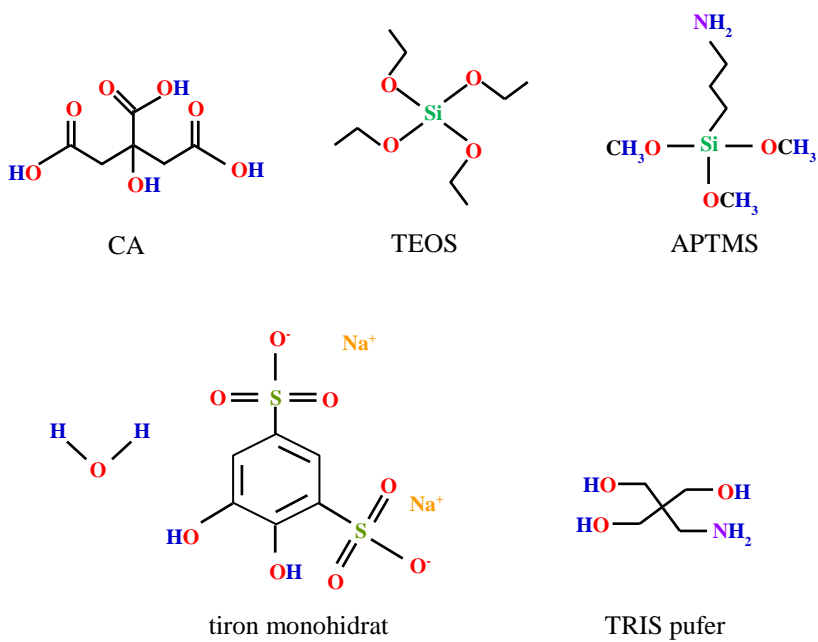
3 Eksperimentalni del

V okviru eksperimentalnega dela so najprej predstavljeni uporabljeni materiali. Potem so predstavljene posamezne metode, ki smo jih uporabili za sintezo in karakterizacijo novih nanodelcev ter za adsorpcijo RZE³⁺. Po uspešni adsorpciji posameznih RZE³⁺ smo izvedli desorpcijo z možnostjo recikliranja RZE³⁺ ter ponovne uporabe nanodelcev.

3.1 Materiali

Uporabljeni materiali pri eksperimentalnem delu so zbrane v tabeli 3-1, kjer so poleg kemijske formule podane še nekatere osnovne fizikalno-kemijske lastnosti in številka kemikalije CAS z dobaviteljem.

Strukturne formule za CA, TEOS, APTMS, tiron monohidrat in TRIS pufer so prikazane na sliki 3-1.



Slika 3-1. Strukturne formule

Tabela 3-1. Uporabljeni materiali

Material	Kemijska formula	Molska masa (g/mol)	Gostota pri 25 °C (g/cm³)	Številka CAS	dobavitelj
2-propanol 99,8 %	C ₃ H ₈ O	60,10	0,785	67-63-0 Gram Mol	
3-trimetoksilan-propilamin (APTMS) 97 %	C ₆ H ₁₇ NO ₃ Si	179,29	1,027	13822-56-5 Merck	
Aceton	C ₃ H ₆ O	58,01	0,791	67-64-1 Carlo Erba	
Amonijev hidroksid 25 %	NH ₄ OH	35,05	0,910	1336-21-6 Gram Mol	
Citronska kislina (CA) > 99,5	C ₆ H ₈ O ₇	192,12	1,542	77-92-9 Sigma Aldrich	
Destilirana voda	dH ₂ O	18,02	0,998	-	
Disprozijev nitrat pentahidrat 99,9 %	Dy(NO ₃) ₃ ·5H ₂ O	438,59	4,820	10031-49-9 Alfa Aesar	
Dušikova kislina 65 %	HNO ₃	63,01	1,370	7697-37-2 Carlo Erba	
Etanol 96 %	C ₂ H ₅ OH	46,07	0,810	64-17-5 Honeywell	
Etanol 99 %	C ₂ H ₅ OH	46,07	0,810	64-17-5 Honeywell	
Klorovodikova kislina	HCl	36,46	1,190	7647-01-0 Gram-Mol	
Terbijev klorid heksahidrat 99,9 %	TbCl ₃ ·6H ₂ O	373,38	4,350	13798-24-8 Sigma Aldrich	
Tiron monohidrat 98 %	C ₆ H ₄ Na ₂ O ₈ S ₂ ·H ₂ O	314,20		149-45-1 Sigma Aldrich	
Tetraetoksilan (TEOS) 99 %	C ₆ H ₂₀ O ₄ Si	208,33	0,940	78-10-4 Sigma Aldrich	
Tris(hidroksimetil)aminometan (TRIS pufer)	H ₂ NC(CH ₂ OH) ₃	121,14	0,800	77-86-1 Merck	
Železov (II) klorid tetrahidrat 99 %	FeCl ₂ ·4H ₂ O	198,81	1,930	13478-10-9 Sigma Aldrich	
Železov (III) klorid heksahidrat 99 %	FeCl ₃ ·6H ₂ O	270,30	1,820	10025-77-1 Sigma Aldrich	

3.2 Laboratorijske metode

Za sintezo nanodelcev smo uporabili naslednji metodi: sol-gel metodo in metodo koprecipitacije. Sintetizirali smo nefunkcionalizirane/funkcionalizirane magnetne nanodelce. Novi postopki nanodelcev so primerjani z obstoječimi postopki, objavljenimi v literaturi. Pri vsaki vrsti sintetiziranih nanodelcev smo z ustreznimi metodami izvedli karakterizacijo nanodelcev. Novo sintetizirane nanodelce z odličnimi lastnostmi smo uporabili za adsorpcijo Tb³⁺ in Dy³⁺ iz vodnih raztopin z možnostjo nadaljnje desorpcije RZE³⁺ s površine nanodelcev in ponovne uporabe sintetiziranih nanodelcev.

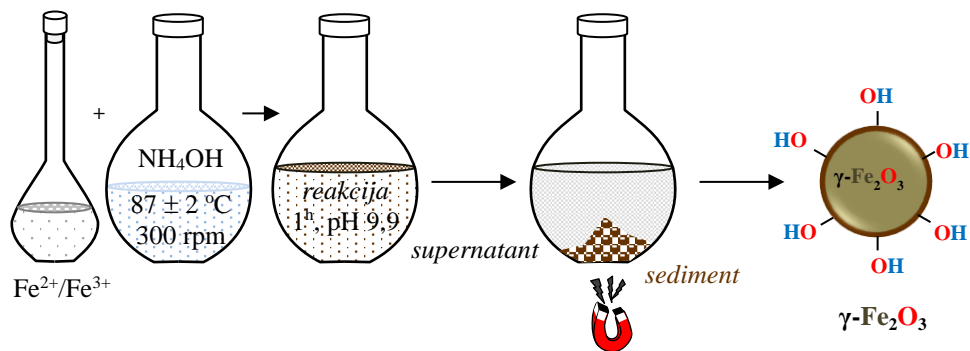
3.2.1 Sinteza magnetnih nanodelcev

Sintezo magnetnih $\gamma\text{-Fe}_2\text{O}_3$ nanodelcev smo izvedli s koprecipitacijo. Kemikalije, ki smo jih uporabili za sintezo $\gamma\text{-Fe}_2\text{O}_3$ nanodelcev, so:

- 0,5 M raztopina $\text{Fe}^{2+}/\text{Fe}^{3+}$ (50 mL),
- 25 % NH_4OH (150 mL),
- dH₂O.

Za pripravo 50 mL 0,5 M raztopine $\text{Fe}^{2+}/\text{Fe}^{3+}$ v razmerju 1 : 2 smo najprej izračunali potrebnii masi kristalohidratov, in sicer 1,6735 g $\text{FeCl}_2 \cdot 4\text{H}_2\text{O}$ in 4,5505 g $\text{FeCl}_3 \cdot 6\text{H}_2\text{O}$. Izračunane mase kristalohidratov smo zatehtali v manjšo čašo, raztopili z nekaj dH₂O in kvantitativno prenesli v 50 mL bučko ter z dH₂O dopolnili do oznake.

Postopek sinteze $\gamma\text{-Fe}_2\text{O}_3$ nanodelcev je prikazan na sliki 3-2. Reakcijsko bučko z magnetnim mešalčkom in 150 mL 25 % NH_4OH smo nato postavili v oljno kopel in pričeli s segrevanjem pri vrtilni hitrosti 300 rpm. Ko je temperatura oljne kopeli doseglj (87 ± 2) °C, smo k 150 mL 25 % NH_4OH v reakcijsko bučko dodali 50 mL pripravljeni 0,5 M raztopine $\text{Fe}^{2+}/\text{Fe}^{3+}$. Reakcijsko bučko smo nato zaprli s povratnim hladilnikom. Reakcija je potekala 1 uro pri pH 9,9. Sediment smo ločili od supernatanta s posedanjem na magnetu ter ga nato večkrat spirali z dH₂O. Postopek spiranja zajema dodajanje dH₂O, posedanje na magnetu in odlivanje supernatanta. K tako dobljenim magnetnim nanodelcem smo dodali dH₂O. Od te suspenzije nanodelcev smo odvzeli nekaj mL vzorca za meritve ζ -potenciala in analizo TEM/EDXS, nekaj mL vzorca pa smo pri 80 °C posušili za analize FT-IR, XRD, BET in VSM.



Slika 3-2. Sintezo $\gamma\text{-Fe}_2\text{O}_3$ nanodelcev

Opisan novi postopek sinteze $\gamma\text{-Fe}_2\text{O}_3$ nanodelcev se razlikuje od obstoječih sintez $\gamma\text{-Fe}_2\text{O}_3$ nanodelcev, opisanih v literaturi, in sicer so razlike v začetnih kemikalijah in/ali v različnih reakcijskih pogojih in/ali postopkih spiranja sedimenta in/ali postopkih ločevanja sedimenta od supernatanta. Dubey & Grandhi sta v literaturi [31] opisala postopke sinteze $\gamma\text{-Fe}_2\text{O}_3$ nanodelcev iz železovega oksalata dihidrata, ki je dobljen iz železovega sulfat heptahidrata $\text{FeSO}_4 \cdot 7\text{H}_2\text{O}$ in raztopine natrijevega oksalata dihidrata, z večkratnim spiranjem z dH₂O in EtOH. Miraoui [26] je sintetiziral $\gamma\text{-Fe}_2\text{O}_3$ nanodelce s koprecipitacijo stehiometrične zmesi $\text{FeCl}_2 \cdot 4\text{H}_2\text{O}$ in $\text{FeCl}_3 \cdot 6\text{H}_2\text{O}$ v raztopini NH_4OH , pri čemer dobljeni magnetit Fe_3O_4 , nakisan z dušikovo kislino HNO_3 , ob dodatku $\text{Fe}(\text{NO}_3)_2$ in acetona pri 90 °C oksidira v maghemit $\gamma\text{-Fe}_2\text{O}_3$. Pogosto pa so objavljene sinteze magnetnih Fe_3O_4 nanodelcev [11][22][27][28][32][36][38][42][43] in magnetnih Fe^0 nanodelcev [30][41].

3.2.2 Sinteza stabiliziranih magnetnih nanodelcev

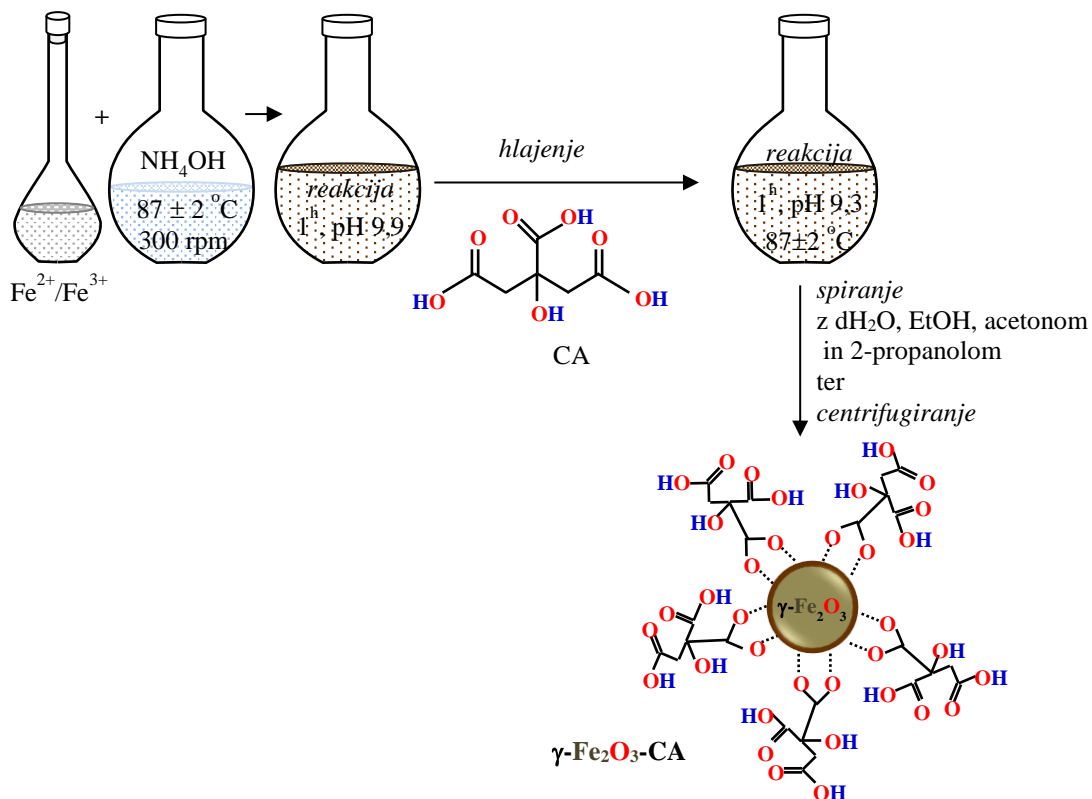
Sintetizirane $\gamma\text{-Fe}_2\text{O}_3$ nanodelce iz Fe-kloridov smo stabilizirali elektrosterično s CA ter elektrostatsko v kislem mediju s HNO_3 in v bazičnem mediju z NH_4OH .

$\gamma\text{-Fe}_2\text{O}_3\text{-CA}$ nanodelci

Kemikalije, ki smo jih uporabili za stabilizacijo sintetiziranih $\gamma\text{-Fe}_2\text{O}_3$ nanodelcev, so:

- 0,5 M raztopina $\text{Fe}^{2+}/\text{Fe}^{3+}$ (50 mL),
- 25 % NH_4OH (150 mL),
- d H_2O ,
- 99,5 % CA (10 mL),
- 96 % EtOH,
- 2-propanol in
- aceton.

Za sintezo $\gamma\text{-Fe}_2\text{O}_3\text{-CA}$ nanodelcev smo ponovili postopek sinteze $\gamma\text{-Fe}_2\text{O}_3$ nanodelcev do postopka spiranja sedimenta. Nespranemu sedimentu ($\sim 1,6$ g) smo v bučko dodali 10 mL CA (0,5 g/mL). Reakcija je potekala 1 uro pri temperaturi 90°C ob konstantnem mešanju. Po končani stabilizaciji smo $\gamma\text{-Fe}_2\text{O}_3\text{-CA}$ nanodelce ohladili na sobno temperaturo in sediment ločili od supernatanta s centrifugiranjem ter ga nato spirali z d H_2O , EtOH, 2-propanolom in acetonom. Postopek spiranja zajema dodajanje ustrezne kemikalije, centrifugiranje in odlivanje supernatanta. Postopek sinteze $\gamma\text{-Fe}_2\text{O}_3\text{-CA}$ nanodelcev je prikazan na sliki 3-3. Magnetno fazo v koloidu (masa suhe snovi) smo določili s TGA. Prav tako smo določili gostoto koloida. Nekaj mL vzorca pa smo pri 80°C posušili za FT-IR in TGA.



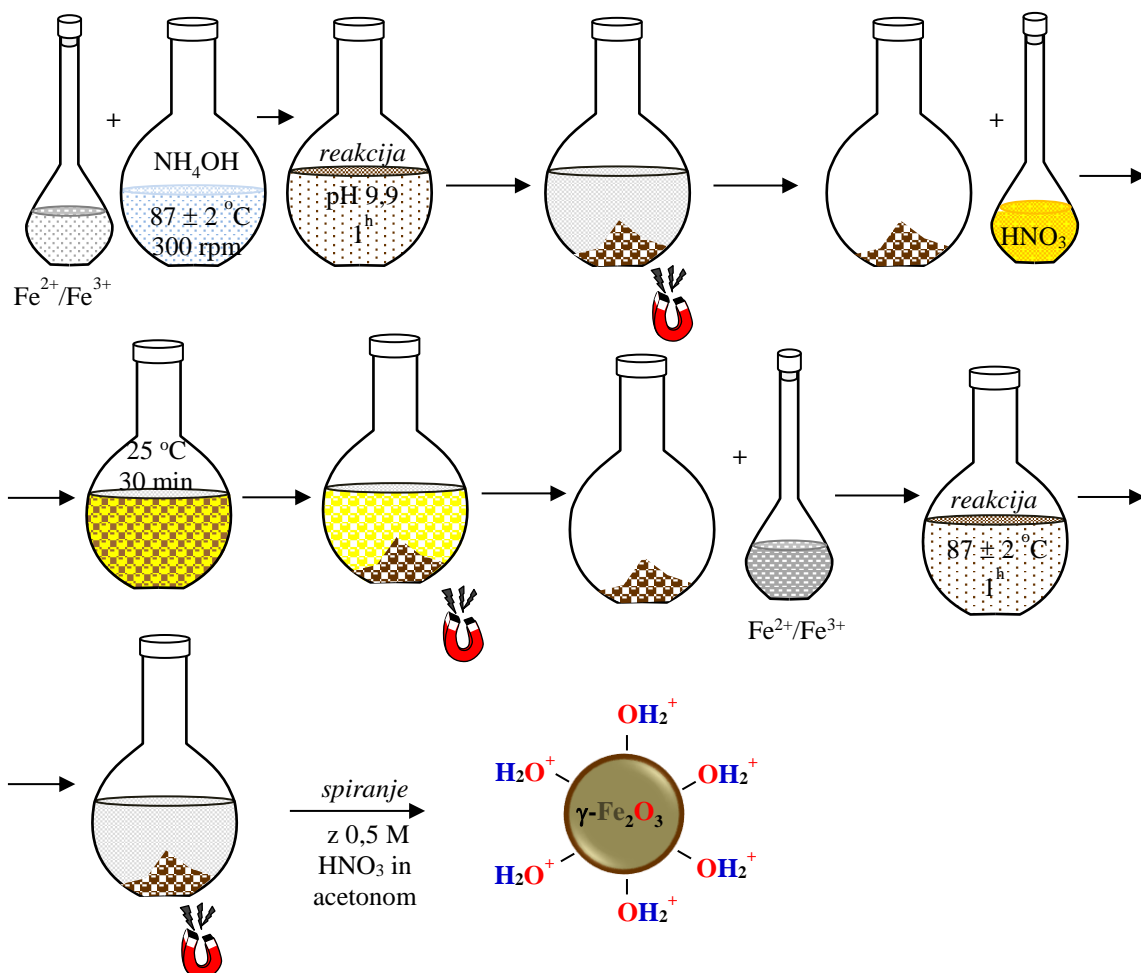
Slika 3-3. Sinteza $\gamma\text{-Fe}_2\text{O}_3\text{-CA}$ nanodelcev

$\gamma\text{-Fe}_2\text{O}_3\text{-HNO}_3$ nanodelci

Kemikalije, ki smo jih uporabili za stabilizacijo sintetiziranih $\gamma\text{-Fe}_2\text{O}_3$ nanodelcev v kislem mediju, so:

- 0,5 M raztopina $\text{Fe}^{2+}/\text{Fe}^{3+}$ (50 mL + 50 mL),
- 25 % NH_4OH (150 mL),
- dH₂O,
- 65 % HNO_3 ,
- aceton.

Za sintezo $\gamma\text{-Fe}_2\text{O}_3\text{-HNO}_3$ nanodelcev, stabiliziranih v kislem mediju, smo ponovili postopek sinteze $\gamma\text{-Fe}_2\text{O}_3$ nanodelcev vključno do ločitve sedimenta od supernatanta s posedanjem na magnetu. Sedimentu smo nato dodali dH₂O, posedali na magnetu in odlili supernatant. Sedimentu smo dodali 50 mL 1 M HNO_3 in mešali 30 minut pri sobni temperaturi. Po ponovnem posedanju na magnetu smo sedimentu dodali 50 mL 0,5 M raztopine $\text{Fe}^{2+}/\text{Fe}^{3+}$. Reakcija je potekala 1 uro pri temperaturi (87 ± 2) °C ob konstantnem mešanju. Sediment smo nato ponovno ločili od supernatanta s posedanjem na magnetu, nakar smo ga spirali z 0,5 M HNO_3 in acetonom. Postopek spiranja zajema dodajanje HNO_3 oziroma acetona, posedanje na magnetu in odlivanje supernatanta. Celoten postopek sinteze $\gamma\text{-Fe}_2\text{O}_3\text{-CA}$ nanodelcev je prikazan na sliki 3-4.



Slika 3-4. Sintesa $\gamma\text{-Fe}_2\text{O}_3\text{-HNO}_3$ nanodelcev

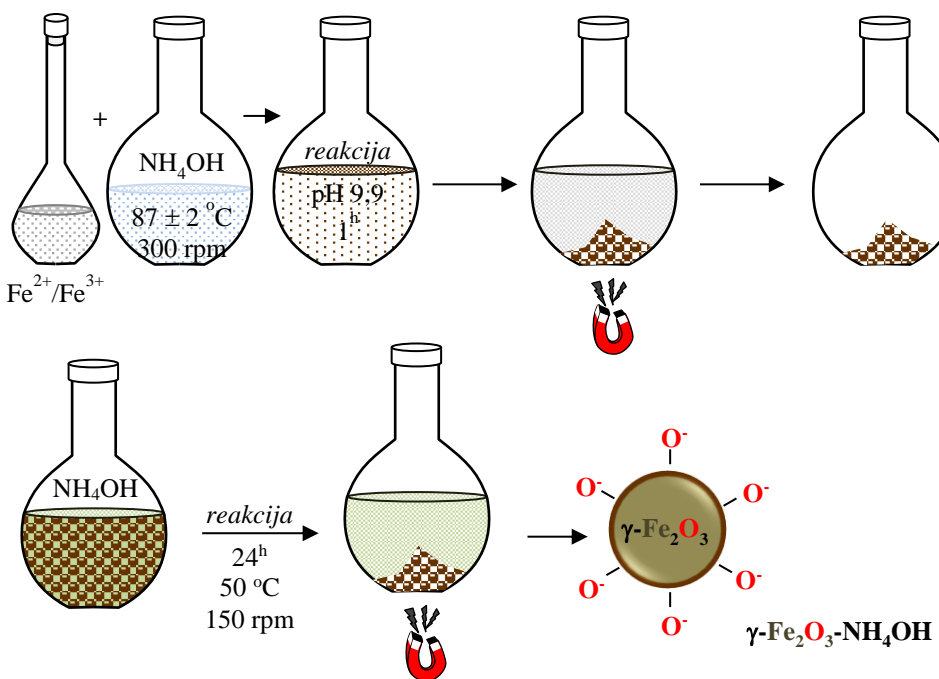
K tako dobljenim magnetnim nanodelcem smo dodali dH₂O. Magnetno fazo v koloidu (masa suhe snovi) smo določili s TGA. Prav tako smo določili gostoto koloida. Nekaj mL vzorca pa smo pri 80 °C posušili za FT-IR in TGA.

$\gamma\text{-Fe}_2\text{O}_3\text{-NH}_4\text{OH}$ nanodelci

Kemikalije, ki smo jih uporabili za stabilizacijo sintetiziranih $\gamma\text{-Fe}_2\text{O}_3$ nanodelcev, so:

- 0,5 M raztopina $\text{Fe}^{2+}/\text{Fe}^{3+}$ (50 mL),
- 25 % NH₄OH (150 mL + 25 mL),
- dH₂O.

Za sintezo $\gamma\text{-Fe}_2\text{O}_3\text{-NH}_4\text{OH}$ nanodelcev, stabiliziranih v bazičnem mediju, smo ponovili postopek sinteze magnetnih $\gamma\text{-Fe}_2\text{O}_3$ nanodelcev, vključno s postopkom spiranja sedimenta. Predhodno spranemu sedimentu (~1,6 g) smo v bučko dodali 25 mL 25 % NH₄OH. Reakcija je potekala 24 ur pri temperaturi 50 °C ob konstantnem mešanju. Po stabilizaciji smo stabilizirane $\gamma\text{-Fe}_2\text{O}_3\text{-NH}_4\text{OH}$ nanodelce ločili od supernatanta z zunanjim magnetom in dodali dH₂O. Celoten postopek sinteze $\gamma\text{-Fe}_2\text{O}_3\text{-NH}_4\text{OH}$ nanodelcev, stabiliziranih v bazičnem mediju, je prikazan na sliki 3-5.



Slika 3-5. Sintesa $\gamma\text{-Fe}_2\text{O}_3\text{-NH}_4\text{OH}$ nanodelcev

Magnetno fazo v koloidu (masa suhe snovi) smo določili s TGA. Prav tako smo določili gostoto koloida. Nekaj mL vzorca pa smo pri 80 °C posušili za FT-IR in TGA.

V literaturi je predstavljena stabilizacija magnetnih Fe_3O_4 nanodelcev z oleinsko kislino [39], cisteinom in citronsko kislino [28][29]. Pogosto pa se stabilizirajo magnetni nanodelci kar s silikatno prevleko [36][37][40].

3.2.3 Sinteza jedro@lupina nanodelcev

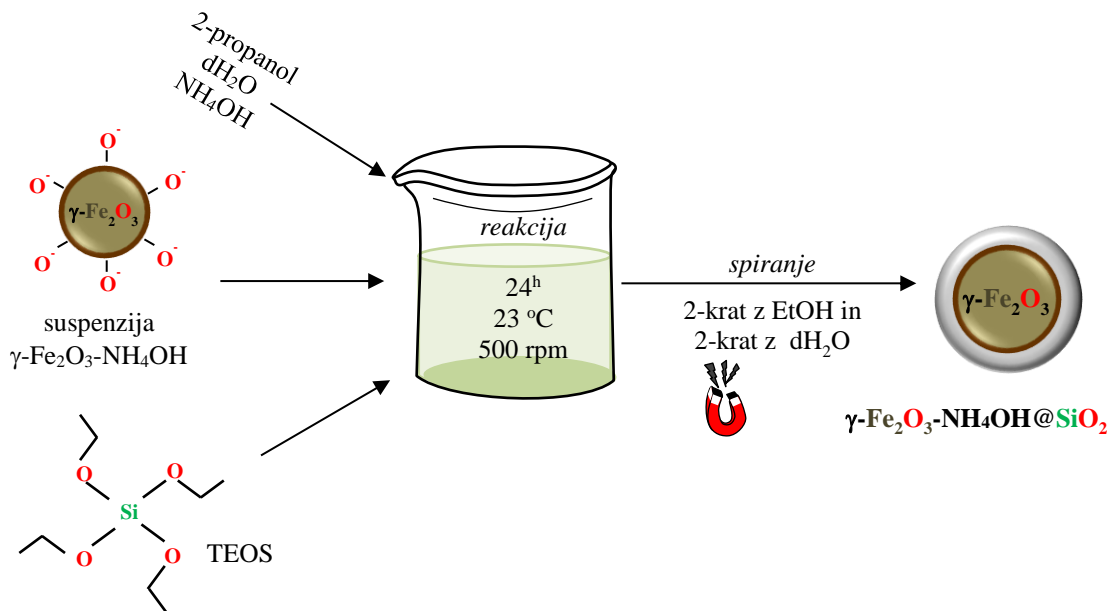
Na osnovi rezultatov karakterizacije različno stabiliziranih $\gamma\text{-Fe}_2\text{O}_3$ nanodelcev so za sintezo jedro@lupina in nadaljnjo funkcionalizacijo uporabljeni le $\gamma\text{-Fe}_2\text{O}_3\text{-NH}_4\text{OH}$ nanodelci.

Kemikalije, ki smo jih uporabili za sintezo $\gamma\text{-Fe}_2\text{O}_3\text{-NH}_4\text{OH}@\text{SiO}_2$ nanodelcev, so:

- 2-propanol (66 mL),
- dH₂O (15,42 mL),
- 25 % NH₄OH (1,7 mL),
- suspenzija $\gamma\text{-Fe}_2\text{O}_3\text{-NH}_4\text{OH}$ (4,93 mL),
- 99 % TEOS (0,324 mL).

Množinsko razmerje vode (čiste dH₂O, v NH₄OH in v koloidu) in TEOS: $\frac{n(\text{dH}_2\text{O})}{n(\text{TEOS})} = 830$.

Kemikalije za sintezo $\gamma\text{-Fe}_2\text{O}_3\text{-NH}_4\text{OH}@\text{SiO}_2$ nanodelcev smo mešali na magnetnem mešalu 24 ur, v zaprti posodici, pri sobni temperaturi, z vrtlino frekvenco 500 rpm. Po končani reakciji smo nanodelce 2-krat spirali z EtOH in 2-krat z dH₂O. Spiranje smo izvedli s posedanjem na magnetu. Postopek sinteze $\gamma\text{-Fe}_2\text{O}_3\text{-NH}_4\text{OH}@\text{SiO}_2$ nanodelcev je prikazan na sliki 3-6.



Slika 3-6. Sintiza $\gamma\text{-Fe}_2\text{O}_3\text{-NH}_4\text{OH}@\text{SiO}_2$ nanodelcev

Nekaj mL suspenzije smo odvzeli za določitev ζ -potenciala, nekaj mL vzorca pa smo pri 80 °C posušili za FT-IR in TGA.

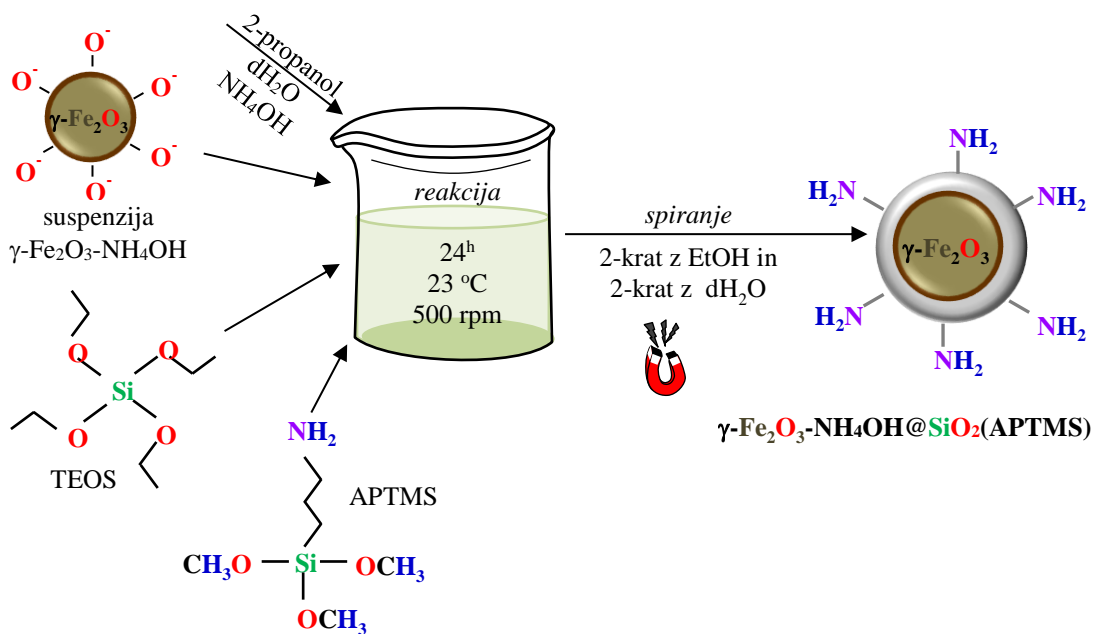
V literaturi je predstavljenih več sintez jedro@lupina nanodelcev, pri čemer je magnetno jedro iz Fe₃O₄ ali Fe⁰ nanodelcev obdano s siliko brez predhodne stabilizacije [38][40][41].

3.2.4 Sinteza funkcionaliziranih jedro@lupina nanodelcev

Kemikalije, ki smo jih uporabili za sintezo $\gamma\text{-Fe}_2\text{O}_3\text{-NH}_4\text{OH}@\text{SiO}_2(\text{APTMS})$ nanodelcev, so:

- 2-propanol (66 mL),
- dH₂O (15,62 mL),
- 25 % NH₄OH (1,7 mL),
- suspenzija $\gamma\text{-Fe}_2\text{O}_3\text{-NH}_4\text{OH}$ (4,93 mL),
- 99 % TEOS (0,324 mL),
- 98 % APTMS (0,259 mL; 0,518 mL; 1,036 mL).

Posameznim volumnom APTMS 0,259 mL; 0,518 mL in 1,036 mL ustrezano naslednja množinska razmerja $P = \frac{n(\text{TEOS})}{n(\text{APTMS})}$: 1; 0,5 in 0,25. Množinsko razmerje vode (čiste dH₂O, vode v NH₄OH in v koloidu) in TEOS: $\frac{n(\text{dH}_2\text{O})}{n(\text{TEOS})} = 830$. Sintezo $\gamma\text{-Fe}_2\text{O}_3\text{-NH}_4\text{OH}@\text{SiO}_2(\text{APTMS})$ nanodelcev oziroma funkcionalizacijo smo izvedli »in-situ«. Kemikalije za sintezo $\gamma\text{-Fe}_2\text{O}_3\text{-NH}_4\text{OH}@\text{SiO}_2(\text{APTMS})$ nanodelcev smo mešali na magnetnem mešalu 24 ur, v zaprti posodici, pri sobni temperaturi, z vrtilno frekvenco 500 rpm. Po končani reakciji smo nanodelce 2-krat spirali z EtOH in 2-krat z dH₂O. Spiranje smo izvedli s posedanjem na magnetu. Postopek sinteze $\gamma\text{-Fe}_2\text{O}_3\text{-NH}_4\text{OH}@\text{SiO}_2(\text{APTMS})$ nanodelcev je prikazan na sliki 3-7. Nekaj mL suspenzije smo odvzeli za določitev ζ -potenciala, analize TEM/EDXS in PT, nekaj mL vzorca pa smo pri 80 °C posušili za analize FT-IR, TGA, BET in VSM.



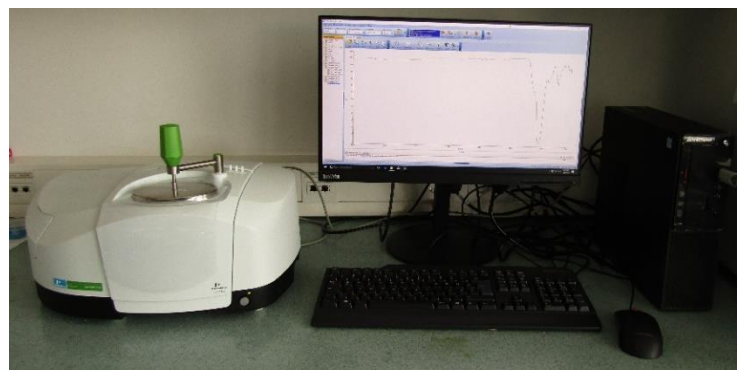
Slika 3-7. Sintеза $\gamma\text{-Fe}_2\text{O}_3\text{-NH}_4\text{OH}@\text{SiO}_2(\text{APTMS})$ nanodelcev

V literaturi je predstavljenih več sintez funkcionaliziranih jedro@lupina nanodelcev, pri čemer je magnetno jedro iz Fe_3O_4 ali Fe^0 nanodelcev obdano s siliko brez predhodne stabilizacije in funkcionalizirano z amino skupinami iz DETA [34], EAPS/DTPA [40], TMS-EDTA [37] in iz DTPA [41].

3.2.5 Metode karakterizacije

FT-IR

Na sliki 3-8 je prikazana naprava Perkin Elmer (IOS, Maribor) za meritve FT-IR s programskim orodjem Spectrum GX. Spektre FT-IR smo posneli v območju valovnih števil od 400 cm^{-1} do 4000 cm^{-1} .



Slika 3-8. Naprava za spektroskopijo FT-IR

PT

PT smo izvedli s sistemom Mettler Toledo T-70, opremljenim z dvojnimi biretami in s kombinirano stekleno elektrodo Mettler T DG 117 (Fakulteta za strojništvo, Maribor), slika 3-9. Voltmeter/pH meter meri napetost/pH raztopine. Vse raztopine smo pripravili tako, da smo vzorec raztopili v $30\text{ mL dH}_2\text{O}$ z zelo nizko koncentracijo karbonatov, ki je bila dosežena s segrevanjem in ohlajanjem dH_2O v dušikovi atmosferi. Titracije smo izvedli v obeh smereh, od alkalne do kisle in od kisle do alkalne, in sicer v območju od $2,5\text{ pH}$ do $11,5\text{ pH}$, pri čemer sta bili bireti napolnjeni s titrantoma $0,1\text{ M HCl}$ in $0,1\text{ M KOH}$. Volumni dodanega titranta so bili med $0,001\text{ mL}$ in $0,25\text{ mL}$. Titracije smo izvedli pri ionski moči $0,1\text{ mol/L}$ z dodatkom ustrezne količine $0,1\text{ M KCl}$ v raztopini. Sprememba ionske moči je pri dodatkih močne kisline (HCl) in močne baze (KOH) ostajala v mejah 2% od začetne nastavljene vrednosti. Kriterij stabilnosti končnega pH je bil nastavljen na $\frac{dE}{dt} = \frac{0,1\text{ mV}}{20\text{ s}}$, kjer je 20 s minimalni čas za doseg ravnovesja med dvema dodatkoma titranta, nastavljeni maksimalni čas titracij pa je bil 180 s . Na koncu je bila izvedena titracija slepih vzorcev (HCl , KOH) pod enakimi pogoji kot z vzorcem.

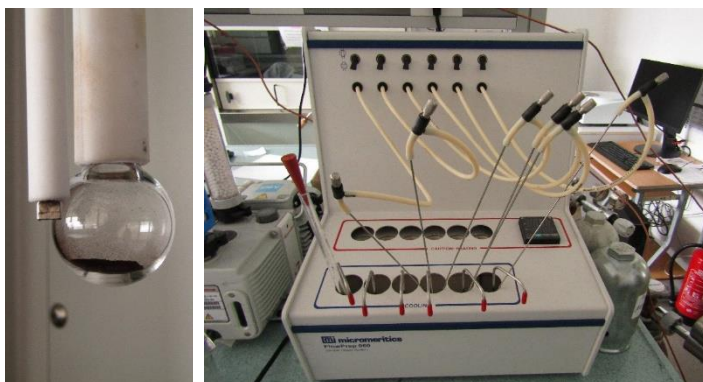


Slika 3-9. Naprava za izvajanje PT

Na osnovi rezultatov PT smo izbrali najprimernejšo množinsko razmerje P za funkcionalizacijo $\gamma\text{-Fe}_2\text{O}_3\text{-NH}_4\text{OH@SiO}_2$ nanodelcev.

BET

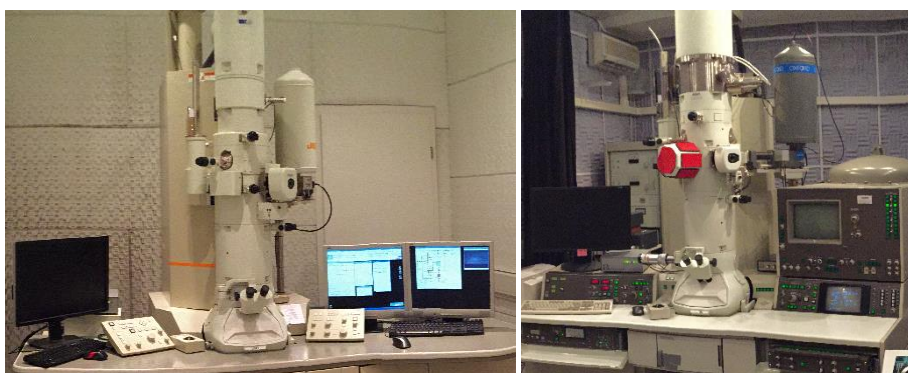
Na sliki 3-10 je prikazana naprava Micromeritics, Flow Prep 060 (IOS, Maribor) za karakterizacijo BET s programskega orodja Tristar II 3020. Pred vsako meritvijo smo z dušikom 24 ur prepričevali vzorec v posebni bučki pri temperaturi 110 °C. S tem smo odstranili pline, ki bi se lahko adsorbirali na površino nanodelcev med pripravo in med shranjevanjem vzorca. Po prepričovanju smo vzorec v bučki ohladili na sobno temperaturo, bučko postavili v posodo s tekočim dušikom in z računalniškim programom TriStar II Version 3.02 izvedli meritve pri relativnem tlaku od 0,05 do 0,3 in pri temperaturi 77,35 K. Po nastanku adsorpcijske plasti smo po 24 urah odstranili vzorec iz dušikove atmosfere in določili adsorbirano količino dušika ter na osnovi specifične površine nanodelcev na enoto mase in gostote nanodelcev ocenili povprečen premer nanodelcev.



Slika 3-10. Naprava za analizo BET

TEM/EDXS

Na sliki 3-11 sta prikazana presevni elektronski mikroskop JEOL JEM-2100 in JEOL JEM-2010F, opremljen z EDXS (Kemijski inštitut, Ljubljana) za izvedbo presevne elektronske mikroskopije TEM z energijsko disperzijskim spektrometrom rentgenskih žarkov EDXS. Pripravljeni vzorce smo nanesli na bakreno mrežico, ki smo jo v nosilcu vstavili v mikroskop. Vzorce smo opazovali pri napetosti 200 keV.



Slika 3-11. Naprava za analizi TEM in EDXS

TGA

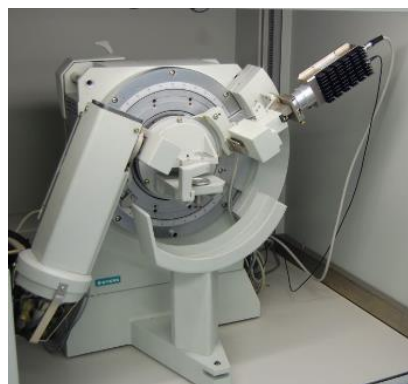
Na sliki 3-12 je prikazana naprava za analizo TGA, in sicer Perkin Elmer TGA 4000 s programsko opremo (IOS, Maribor). Aparatura je kalibrirana z zlitino alumel-železo (NiMnAlSi-Fe) pri 5 °C in 20 °C. Vzorce smo natehtali v lonček iz Al₂O₃. Z računalniškim programom smo nastavili hitrost segrevanja 20 °C/min v temperaturnem območju od 25 °C do 900 °C. Meritve smo izvedli v dušikovi atmosferi pri pretoku dušika 20 mL/min.



Slika 3-12. Naprava za analizo TGA

XRD

Sintetizirane nanodelce smo po sintezi analizirali z rentgenskim praškovnim difraktometrom Brucker D4 Endavor (Kemijski inštitut, Ljubljana), slika 3-13. Nanodelce smo enakomerno porazdelili na sredino nosilca v središču merilnega kroga, kjer detektor zaznava intenziteto in uklon rentgenskega žarka. Meritve smo izvedli pri temperaturi 25 °C s časovnim korakom 30 s pri Braggovem kotu 2θ v območju od 20 ° do 80 ° s korakom 0,036 °. Valovna dolžina X-žarkov, pridobljenih ob izbijanju elektronov iz K lupine z Cu anodo, je znašala 0,154 nm.



Slika 3-13. Naprava za analizo XRD

DLS

Na sliki 3-14 je prikazana naprava DLS Zetasizer nano series Malvern (Fakulteta za kemijo in kemijsko tehnologijo, Maribor) za določanje ζ -potenciala. Pripravljene razredčene raztopine sintetiziranih nanodelcev smo s pomočjo brizgalke vbrizgali v celico za merjenje ζ -potenciala. Po izbiri ustreznega titranta (HCl ali NaOH) smo izmerili ζ -potencial pri temperaturi 25 °C.



Slika 3-14. Naprava DLS za določanje ζ -potenciala

VSM

Na sliki 3-15 je prikazan magnetometer Lake Shore 7400 VSM (Inštitut Jožef Štefan, Ljubljana) za analizo VSM. Sintetiziranim nanodelcem smo določili masno magnetizacijo v odvisnosti od magnetnega polja H pri sobni temperaturi. Masna magnetizacija je merjena v emu/g ($1 \frac{\text{emu}}{\text{g}} = \frac{\text{A m}^2}{\text{kg}}$), jakost magnetnega polja pa v Oe ($1 \text{ Oe} = \frac{10^3 \text{ A}}{4 \pi \text{ m}}$).



Slika 3-15. Naprava za analizo VSM

3.2.6 Metode za določevanje adsorpcijskih karakteristik

Spektrofotometrija UV/VIS

S spektrofotometrom UV/VIS Perkin Elmer Lambda 35 (IOS, Maribor), slika 3-16, smo določili valovno dolžino vzbujanja za komplekse RZE³⁺, ki je potrebna za nadaljnjo fluorometrično analizo.



Slika 3-16. Spektrofotometer UV/VIS

Fluorescenčna spektroskopija

S fluorescenčnim spektrometrom Perkin Elmer LS 55 (IOS, Maribor), slika 3-17, smo z merjenjem intenzitete fluorescence določali umeritvene krivulje za RZE³⁺ ter koncentracijo RZE³⁺ pred adsorpcijo in po njej.



Slika 3-17. Fluorescenčni spektrometer

Ker RZE³⁺ ne fluorescirajo sami po sebi, smo pripravili komplekse iz RZE³⁺ z ustreznim ligandom z namenom zaznavanja fluorescence.

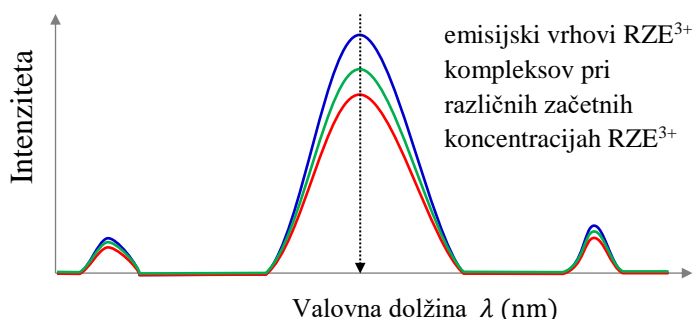
Z razapljanjem RZE³⁺ soli v dH₂O pri temperaturi 25 °C smo pripravili 10⁻⁴ M raztopino RZE³⁺, 10⁻⁴ M raztopino tiron monohidrata C₆H₄Na₂O₈S₂·H₂O in 0,05 M raztopino TRIS pufrja (pH 7).

Za določitev umeritvene krivulje za adsorpcijo posameznega RZE³⁺ iz standardnih vodnih raztopin smo pripravili slepi vzorec (brez RZE³⁺) ter serijo standardnih vodnih raztopin RZE³⁺ z ustreznimi ligandi (RZE³⁺ kompleks) v različnih množinskih razmerjih, tabela 3-2.

Tabela 3-2. Spleti vzorec in standardne raztopine za umeritveno krivuljo RZE³⁺

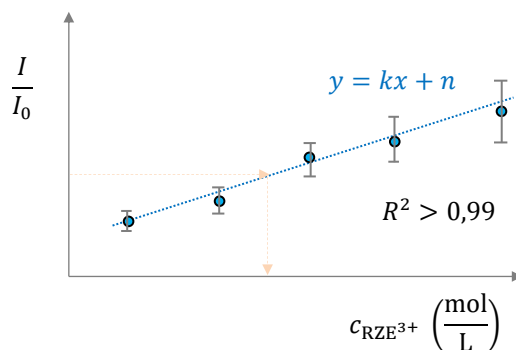
Raztopina	$\frac{n(\text{RZE}^{3+})}{n(\text{Tiron})}$	$V_r(\text{Tiron})$ (mL)	$V_r(\text{TRIS})$ (mL)	$V_r(\text{RZE}^{3+})$ (mL)	$V(\text{dH}_2\text{O})$ (mL)	$c(\text{RZE}^{3+})$ (M)
1	0			0,000	3,500	0
2	0,05			0,025	3,745	$0,5 \cdot 10^{-6}$
3	0,10			0,050	3,450	$1,0 \cdot 10^{-6}$
4	0,20	0,5	1	0,100	3,400	$2,0 \cdot 10^{-6}$
5	0,30			0,150	3,350	$3,0 \cdot 10^{-6}$
6	0,40			0,200	3,300	$4,0 \cdot 10^{-6}$

Pripravljenim raztopinam smo izmerili fluorescenco pri valovni dolžini vzbujanja, predhodno določeni s spektroskopijo UV/VIS. Intenzitete absorbanc smo odčitali pri valovni dolžini, kjer se pojavijo najintenzivnejši emisijski vrhovi posameznega RZE³⁺ kompleksa, slika 3-18.



Slika 3-18. Intenzitete absorbanc RZE³⁺ kompleksa

Na osnovi treh paralelki pripravljenih standardnih vodnih raztopin smo izmerili intenzitete absorbanc slepega vzorca I_0 in vsake pripravljene standardne raztopine I ter narisali odvisnosti razmerja absorbanc $\frac{I}{I_0}$ od koncentracije RZE³⁺. Na osnovi treh meritev smo izračunali povprečne vrednosti in standardno deviacijo ter narisali končno umeritveno krivuljo za adsorpcijo izbranih RZE³⁺ iz vodnih raztopin, slika 3-19.



Slika 3-19. Umeritvena krivulja za RZE³⁺

Umeritvena krivulja za posamezni kompleks RZE³⁺ s tironom je bila uspešno določena, ko je determinacijski koeficient $R^2 > 0,99$. Dobljeno enačbo regresijske premice za vsak posamezen kompleks RZE³⁺ s tironom smo na osnovi izmerjenih absorbanc uporabili za določitev koncentracije adsorbiranih RZE³⁺ kateremu koli vzorcu z neznano koncentracijo izbranega RZE³⁺.

Za koncentracijo RZE³⁺ pred adsorpcijo ($c_{\text{ads},0}$) smo izbrali eno izmed koncentracij RZE³⁺ končne raztopine iz tabele 3-2, ki ustreza razmerju intenzitet absorbanc standardne raztopine ($I_{\text{pred ad}}$) in slepega vzorca (I_0) iz umeritvene krivulje, slika 3-19. Koncentracijo RZE³⁺ po adsorpciji ($c_{\text{ads},e}$) pa smo določili na osnovi slepega vzorca I_0 in vzorca z neznano koncentracijo RZE³⁺ ($I_{\text{po ad}}$). Vzorec z neznano koncentracijo RZE³⁺ je raztopina, ki vsebuje supernatant, v katerem so RZE³⁺, ki se niso adsorbirali na nanodelce. Pri razmerju $\frac{I_{\text{po ad}}}{I_0}$ smo odčitali iz umeritvene krivulje $c_{\text{ads},e}$. Koncentracija adsorbiranih RZE³⁺ na nanodelce c_{ads} pa je razlika $c_{\text{ads},0}$ in $c_{\text{ads},e}$.

Za vzorce z neznano koncentracijo smo uporabili izbrano standardno raztopino, pri čemer smo namesto raztopine RZE³⁺ uporabili enak volumen supernatanta, ki smo ga dobili po končani adsorpciji RZE³⁺ na sintetizirane nanodelce. Adsorpcija je potekala v 20 mL 10⁻⁴ M raztopine RZE³⁺ z določeno maso adsorbenta m_{ND} , določen čas t_{ad} , pri določeni začetni koncentraciji adsorbata $c_{\text{ads},0}$ in pri določeni temperaturi T_{ad} . Adsorbirane RZE³⁺ na nanodelcih smo ločili z zunanjim magnetom iz raztopine, supernatant pa uporabili za fluorescenčno spektroskopijo.

Za analizo adsorpcije posameznega RZE³⁺ na nanodelce smo preučevali naslednje vplivne faktorje na adsorpcijo: maso adsorbenta m_{ND} , čas adsorpcije t_{ad} , začetno koncentracijo RZE³⁺ $c_{\text{ads},0}$ in temperaturo adsorpcije T_{ad} .

Najprej smo spremenjali maso adsorbenta m_{ND} z namenom določitve ravnotežne mase adsorbenta $m_{\text{ND,eq}}$, pri kateri se % adsorpcije ne spreminja več pri nespremenjenih vplivnih faktorjih adsorpcije. Nato smo spremenjali čas adsorpcije t_{ad} z namenom določitve ravnotežnega časa adsorpcije $t_{\text{ad,eq}}$, pri katerem je doseženo ravnotežje adsorpcije, pri čemer so bile vrednosti vseh ostalih vplivnih faktorjev nespremenljive. S spremenjanjem začetne koncentracije RZE³⁺ $c_{\text{ads},0}$ smo določili optimalno začetno koncentracijo RZE³⁺ za adsorpcijo. Na koncu pa smo določali še temperaturno odvisnost adsorpcije s spremenjanjem temperature adsorpcije T_{ad} z namenom določitve optimalne temperature $T_{\text{ad,opt}}$ za maksimalno učinkovitost adsorpcije pri nespremenljivih vrednosti preostalih vplivnih faktorjev.

3.2.7 Desorpcija RZE³⁺

Desorpcijo Tb³⁺ in Dy³⁺ s površine sintetiziranih $\gamma\text{-Fe}_2\text{O}_3\text{-NH}_4\text{OH@SiO}_2$ (APTMS) nanodelcev smo izvedli z uporabo 0,1 M HCl in 0,5 M HNO₃, ki sta pogosto uporabljeni reagenta za desorpcijo RZE³⁺ z različnih nanodelcev [12][28][29]. Desorpcijo, ki je potekala 120 minut, smo izvedli samo kot primer, nismo pa iskali optimalnih eksperimentalnih pogojev zanjo.

3.3 Zakonodaja

Nanomateriali po mnenju Evropske agencije za kemikalije (ECHA) lahko predstavljajo določeno tveganje za zdravje ljudi in za okolje. Relevantna zakonodaja EU, ki vključuje nanomateriale [247]:

- **REACH (Registration, Evaluation, Authorisation and Restriction of Chemicals) Regulation EC 1907/2006:** registracija, evalvacija, avtorizacija in omejevanje in ravnanje s kemikalijami, tudi z nanomateriali;
- **CLP (Classification, Labelling and Packaging) Regulation EC 1272/2008:** razvrščanje, označevanje in pakiranje snovi, vključno z nanomateriali, ki izpolnjujejo kriterij za razvrstitev kot nevarna snov;
- **BPR (Biocidal Products Regulation) EU 528/2012:** varna uporaba biocidnih materialov in pravna ureditev nanomaterialov v biocidnih proizvodih
- **Regulation (EC) 1223/2009/ES:** varnost kozmetičnih izdelkov.

Čeprav je toksičnost RZE v splošnem nizka, pa lahko dolgotrajna izpostavljenost RZE nevarno vpliva tako na živa bitja kot tudi na okolje [248]. Zato rudarjenje in predelovalno industrijo RZE urejajo številni mednarodni in evropski (EU) standardi in predpisi. UE direktive omogočajo posameznim državam EU, da oblikujejo svoje zakone, medtem ko so EU predpisi zavezujoči za vse države EU. Pomembnejša zakonodaja v zvezi z rudarjenjem in predelovalno industrijo RZE [248]:

- **EC Directive 2013/59/EURATOM (BSS, 2013):** osnovni varnostni standardi za zaščito pred nevarnostmi zaradi izpostavljenosti ionizirajočemu sevanju;
- **EC Directive 2013/51/EURATOM:** zahteva za varovanje zdravja prebivalstva v zvezi z radioaktivnimi snovmi v vodi, namenjeni za prehrano ljudi;
- **EC Regulation No 1272/2008 of the European Parliament and of the Council;**
- **EC Regulation No 1272/2008 of the European Parliament and of the Council (Classification, Labelling and Packaging Regulation):** razvrščanje, označevanje in pakiranje nevarnih kemikalij;
- **EC Directive 2006/21/EC of the European Parliament and Council (Mining Waste Directive):** ravnanje z odpadki iz rudarskih dejavnosti;
- **EC Decision 2009/360/EC:** tehnične zahteve za opredelitev rudarskih odpadkov;
- **Directive 2010/75/EU (Industrial Emissions Directive):** industrijske emisije (celovito preprečevanje in nadzorovanje onesnaževanja);
- **Directive 2008/98/EC (Waste Framework Directive):** ravnaje z odpadki;
- **Directive 1999/31/EC (Landfill Directive):** odlagališča odpadkov;
- **Directive 2006/118/EC (Groundwater Directive):** zaščita podtalnice pred onesnaževanjem;
- **Directive 92/43/EEC (Habitats Directive) in Directive 2009/147/EC (Birds Directive):** ohranjanje naravnih habitatov ter živalskih in rastlinskih vrst;
- **Directive 2003/87/EC (Emissions Trading System Directive):** vzpostavitev sistema za trgovanje s pravicami do emisij toplogrednih plinov;
- **Directive 2011/92/EU (Environmental Impact Assessment Directive):** ocena učinkov nekaterih javnih in zasebnih projektov na okolje (kodifikacija);
- **Directive of the European Parliament and of the Council 2004/35/EC (Environmental Liability Directive):** okoljska odgovornost v zvezi s preprečevanjem in sanacijo okoljske škode;

- **Council Directive 98/83/EC (Quality of Drinking Water Directive):** kakovost vode, namenjene za prehrano ljudi;
- **Council Directive 89/391/EEC (Health and Safety at Work Directive):** ukrepi za spodbujanje izboljšav varnosti in zdravja delavcev pri delu;
- **Council Directive 92/104/EEC:** minimalne zahteve za izboljšanje varnosti in varovanja zdravja delavcev v rudarski industriji;
- **Council Directive 92/91/EEC:** minimalne zahteve za izboljšanje varnosti in zdravja delavcev v rudarskih dejavnostih;
- **Directive 2002/49/EC (Environmental Noise Directive):** ocenjevanje in obvladovanje hrupa;
- **Directive 2006/42/EC (Machinery Directive):** delovanje in kontrola strojev.

4 Rezultati in diskusija

Predstavljeni so rezultati sinteze in karakterizacije novo sintetiziranih nanodelcev za adsorpcijo RZE³⁺ iz vodnih raztopin z možnostjo desorpcije ter ponovne uporabe RZE³⁺ in nanodelcev. Po sintezi in karakterizaciji magnetnih nanodelcev smo sintetizirane γ-Fe₂O₃ nanodelce stabilizirali elektrosterično s CA in elektrostatično v kislem mediju s HNO₃ ter v bazičnem mediju z NH₄OH. Glede na analizo rezultatov karakterizacije različno stabiliziranih nanodelcev smo za nadaljnji postopek sinteze nanodelcev s stabiliziranim magnetnim jedrom in nemagnetno lupino uporabili le nanodelce z najučinkovitejšo stabilizacijo. Praktična uporaba najučinkoviteje stabiliziranih magnetnih nanodelcev, obdanih s SiO₂ lupino in funkcionaliziranih z amino skupinami iz APTMS, je prikazana na primeru adsorpcije Tb³⁺ in Dy³⁺ iz vodnih raztopin. Samo kot primer je prikazana desorpcija Tb³⁺ in Dy³⁺ s površine novo sintetiziranih stabiliziranih in funkcionaliziranih jedro@lupina nanodelcev z možnostjo ponovne uporabe tako RZE³⁺ kot nanodelcev. Dobijeni rezultati so analizirani in primerjani z rezultati iz razpoložljive literature.

4.1 Sintetizirani nanodelci

V nadaljevanju so prikazani postopoma sintetizirani nanodelci.

4.1.1 γ-Fe₂O₃ nanodelci

Na slika 4-1 je prikazana 0,5 M raztopina Fe²⁺/Fe³⁺, reakcija v reakcijski buči pri temperaturi 87 °C in posedanje γ-Fe₂O₃ nanodelcev na magnetu.



Slika 4-1. Magnetni γ-Fe₂O₃ nanodelci

Masa nastalih sintetiziranih nestabiliziranih γ-Fe₂O₃ nanodelcev je 1,6110 g.

4.1.2 Stabilizirani $\gamma\text{-Fe}_2\text{O}_3$ nanodelci

$\gamma\text{-Fe}_2\text{O}_3\text{-CA}$

Reakcija med raztopino $\gamma\text{-Fe}_2\text{O}_3$ nanodelcev in CA v reakcijski bučki ter dobljeni elektrosterično stabilizirani $\gamma\text{-Fe}_2\text{O}_3\text{-CA}$ nanodelci so prikazani na sliki 4-2.



Slika 4-2. Sintetizirani $\gamma\text{-Fe}_2\text{O}_3\text{-CA}$ nanodelci

Masa suhe snovi oziroma masa elektrosterično stabiliziranih $\gamma\text{-Fe}_2\text{O}_3\text{-CA}$ nanodelcev v 1 mL koloida znaša 25,07 mg, medtem ko je gostota koloida 1,0157 g/mL.

$\gamma\text{-Fe}_2\text{O}_3\text{-HNO}_3$

Na sliki 4-3 je prikazana stabilizacija $\gamma\text{-Fe}_2\text{O}_3$ nanodelcev s HNO_3 .



Slika 4-3. Sintetizirani $\gamma\text{-Fe}_2\text{O}_3\text{-HNO}_3$ nanodelci

Masa suhe snovi oziroma masa $\gamma\text{-Fe}_2\text{O}_3\text{-HNO}_3$ nanodelcev, stabiliziranih v kislem mediju, v 1 mL koloida znaša 30,36 mg, medtem ko je gostota koloida 1,04721 g/mL.

$\gamma\text{-Fe}_2\text{O}_3\text{-NH}_4\text{OH}$

Na sliki 4-4 je prikazana stabilizacija $\gamma\text{-Fe}_2\text{O}_3$ nanodelcev z 25 % NH₄OH in stabilizirani $\gamma\text{-Fe}_2\text{O}_3\text{-NH}_4\text{OH}$ nanodelci.



Slika 4-4. Sintetizirani $\gamma\text{-Fe}_2\text{O}_3\text{-NH}_4\text{OH}$ nanodelci

Masa suhe snovi oziroma masa $\gamma\text{-Fe}_2\text{O}_3\text{-NH}_4\text{OH}$ nanodelcev, stabiliziranih v bazičnem mediju, v 1 mL koloida znaša 42,24 mg, medtem ko je gostota koloida 1,0735 g/mL.

Glede na dobljeno maso stabiliziranih nanodelcev je najučinkovitejša stabilizacija dosežena pri **$\gamma\text{-Fe}_2\text{O}_3\text{-NH}_4\text{OH}$** nanodelcih.

4.1.3 Jedro@lupina $\gamma\text{-Fe}_2\text{O}_3\text{-NH}_4\text{OH}@\text{SiO}_2$ nanodelci

Na sliki 4-5 je prikazana reakcija v zaprti posodici pri sobni temperaturi in posedanje sintetiziranih $\gamma\text{-Fe}_2\text{O}_3\text{-NH}_4\text{OH}@\text{SiO}_2$ nanodelcev na magnetu.



Slika 4-5. Sintetizirani $\gamma\text{-Fe}_2\text{O}_3\text{-NH}_4\text{OH}@\text{SiO}_2$ nanodelci

4.1.4 Funkcionalizirani jedro@lupina $\gamma\text{-Fe}_2\text{O}_3\text{-NH}_4\text{OH}@\text{SiO}_2(\text{APTMS})$ nanodelci

Na sliki 4-6 je prikazana reakcija v zaprti posodici pri sobni temperaturi, posedanje sintetiziranih $\gamma\text{-Fe}_2\text{O}_3\text{-NH}_4\text{OH}@\text{SiO}_2(\text{APTMS})$ nanodelcev na magnetu in sintetizirani $\gamma\text{-Fe}_2\text{O}_3\text{-NH}_4\text{OH}@\text{SiO}_2(\text{APTMS})$ nanodelci.



Slika 4-6. Sintetizirani $\gamma\text{-Fe}_2\text{O}_3\text{-NH}_4\text{OH}@\text{SiO}_2(\text{APTMS})$ nanodelci

4.2 Karakterizacija nanodelcev

Izvedene karakterizacije novo sintetiziranih nanodelcev so prikazane v tabeli 4-1. Karakterizacije so izbrane tako, da lahko na osnovi njih ocenimo, primerjamo in analiziramo lastnosti sintetiziranih nanodelcev.

Tabela 4-1. Izvedene karakterizacije za novo sintetizirane nanodelce

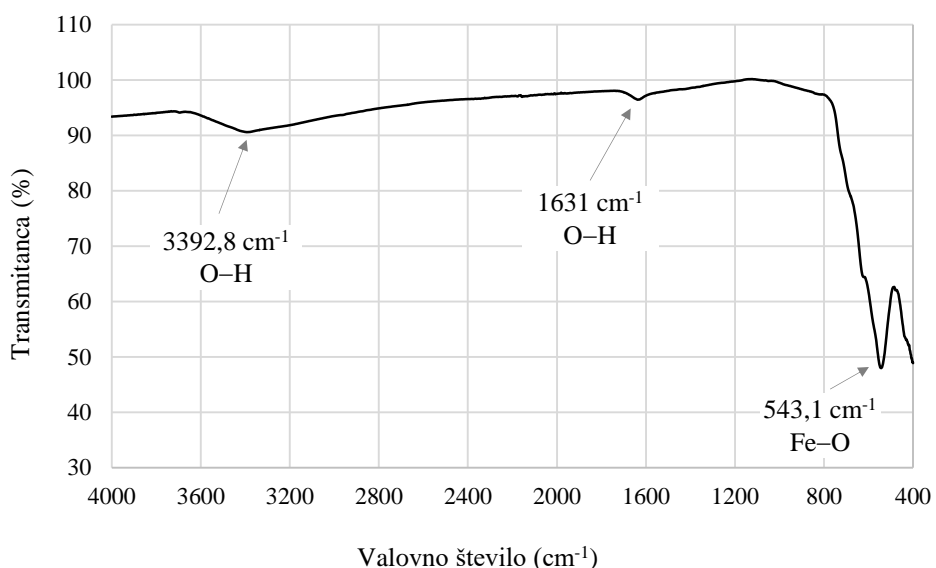
Nanodelci	FT-IR	PT	BET	TEM	EDXS	TGA	XRD	DLS	VSM
$\gamma\text{-Fe}_2\text{O}_3$	✓	✓	✓	✓	✓	✓	✓	✓	✓
$\gamma\text{-Fe}_2\text{O}_3\text{-CA}$	✓					✓			
$\gamma\text{-Fe}_2\text{O}_3\text{-HNO}_3$	✓								
$\gamma\text{-Fe}_2\text{O}_3\text{-NH}_4\text{OH}$	✓				✓				
$\gamma\text{-Fe}_2\text{O}_3\text{-NH}_4\text{OH}@\text{SiO}_2$	✓				✓			✓	
$\gamma\text{-Fe}_2\text{O}_3\text{-NH}_4\text{OH}@\text{SiO}_2(\text{APTMS})$	✓	✓	✓	✓	✓	✓		✓	✓

Rezultate posameznih karakterizacij za postopoma sintetizirane nove nanodelce smo analizirali in primerjali z rezultati karakterizacij nanodelcev, ki so sintetizirani po drugih metodah in objavljeni v razpoložljivi literaturi.

4.2.1 Karakterizacija $\gamma\text{-Fe}_2\text{O}_3$ nanodelcev

FT-IR

Na sliki 4-7 je prikazan spekter FT-IR za nestabilizirane magnetne $\gamma\text{-Fe}_2\text{O}_3$ nanodelce. Absorpcijski vrh pri $543,1\text{ cm}^{-1}$, tabela 2-3, ustreza razteznim vibracijam Fe–O vezi. Vrh pri $3392,8\text{ cm}^{-1}$ ustreza hidroksilni skupini O–H, 1631 cm^{-1} pa pripisujemo O–H vezi v vodi, ki je adsorбирana na površino vzorca.



Slika 4-7. FT-IR $\gamma\text{-Fe}_2\text{O}_3$ nanodelcev

Značilni vrhovi vezi Fe–O za $\gamma\text{-Fe}_2\text{O}_3$ nanodelce so pri 630 cm^{-1} , 590 cm^{-1} , 570 cm^{-1} in 450 cm^{-1} [249], pri 620 cm^{-1} [168], pri 454 cm^{-1} in 632 cm^{-1} [176], pri 573 cm^{-1} [250], pri 640 cm^{-1} in 440 cm^{-1} [251], pri 454 cm^{-1} in 632 cm^{-1} [171] ter pri 547 cm^{-1} in 470 cm^{-1} [252]. Poleg Fe–O vezi so v literaturi za $\gamma\text{-Fe}_2\text{O}_3$ nanodelce omenjeni še vrhovi pri 3420 cm^{-1} (hidroksilna OH^- iz vode), 2361 cm^{-1} (CO_2 iz atmosfere) in pri 1630 cm^{-1} (hidroksidna skupina OH) [169][171][250].

Izrazitejši vrh spektra FT-IR pri $543,1\text{ cm}^{-1}$ na sliki 4-7 za novo sintetizirane $\gamma\text{-Fe}_2\text{O}_3$ nanodelce se ujema z rezultati iz literature, saj se nahaja v območju valovnih števil za Fe–O vezi. Vrhovi v spektru $\gamma\text{-Fe}_2\text{O}_3$ nanodelcev na sliki 4-7, ki so značilni za hidroksilno OH^- skupino in CO_2 iz atmosfere, pa so manj izraziti. Spekter FT-IR novo sintetiziranih $\gamma\text{-Fe}_2\text{O}_3$ nanodelcev se ujema s spekti FT-IR, objavljenimi v literaturi [168][169][171][176][249]-[252].

BET

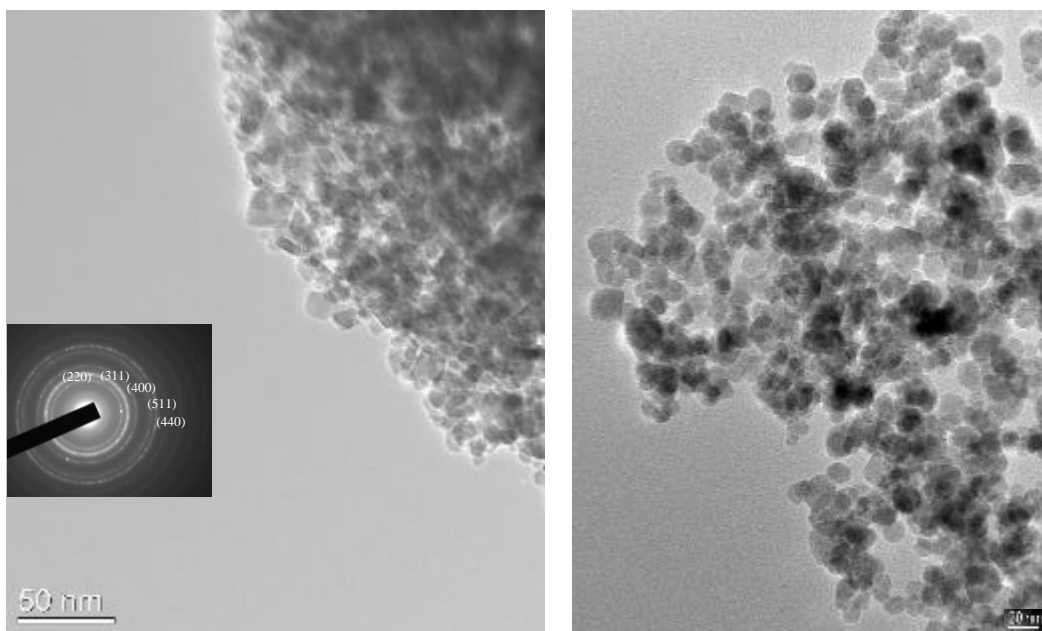
Z analizo BET je določena specifična površina sintetiziranih $\gamma\text{-Fe}_2\text{O}_3$ nanodelcev, ki znaša $11,98 \text{ m}^2/\text{g}$. Po Barrett, Joyner in Halenda (BJH) metodi znaša srednji premer por $8,6 \text{ nm}$ z volumnom por $0,1988 \text{ cm}^3/\text{g}$ pri adsorpciji, pri desorpciji po metodi BJH pa je srednji premer por $11,2 \text{ nm}$ s skupnim volumnom por $0,2921 \text{ cm}^3/\text{g}$. Pri izmerjeni specifični površini $79,36 \text{ m}^2/\text{g}$ pri relativnem tlaku $0,3$ in ob upoštevanju gostote $\rho_{\text{ND}} = 4,88 \frac{\text{g}}{\text{cm}^3}$ za $\gamma\text{-Fe}_2\text{O}_3$ izračunamo po enačbi (2.4) premer $\gamma\text{-Fe}_2\text{O}_3$ nanodelcev:

$$d_{\text{ND}} = \frac{6}{79,36 \frac{\text{m}^2}{\text{g}} \cdot 4,88 \frac{\text{g}}{\text{cm}^3}} = 15,5 \text{ nm.}$$

Afkhami v literaturi [253] poroča o specifični površini $\gamma\text{-Fe}_2\text{O}_3$ nanodelcev $81,61 \text{ m}^2/\text{g}$, dobljeni z analizo BET, in o srednjem premeru por $10,37 \text{ nm}$ z volumnom por $0,2116 \text{ cm}^3/\text{g}$. Rezultati analize BET sintetiziranih $\gamma\text{-Fe}_2\text{O}_3$ nanodelcev se ujemajo z rezultati iz literature [253].

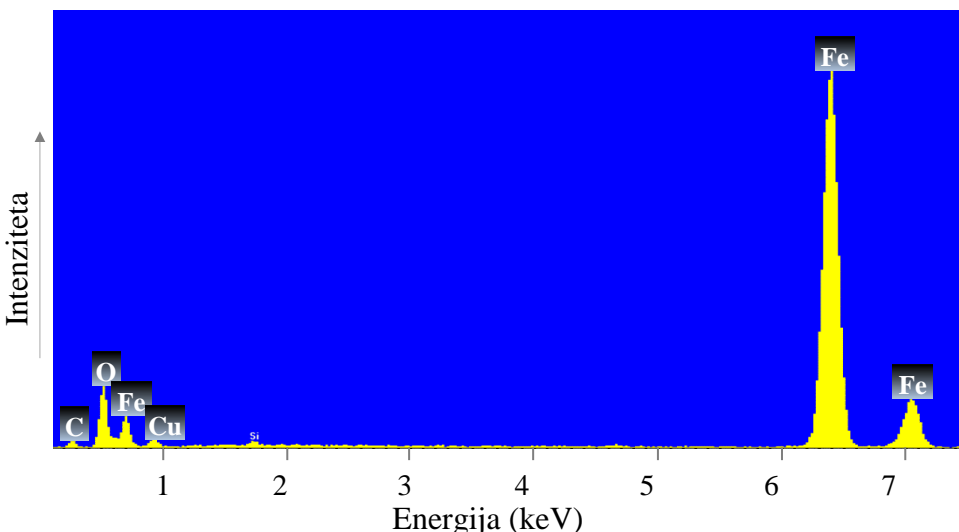
TEM/EDXS

Posnetki TEM $\gamma\text{-Fe}_2\text{O}_3$ nanodelcev so prikazani na sliki 4-8, kjer je razvidna relativno sferična morfologija maghemitnih nanodelcev. Ocjenjena velikost nanodelcev, dobljena z analizo TEM, znaša od 15 nm do 20 nm . Posnetek elektronske difrakcije vzorca $\gamma\text{-Fe}_2\text{O}_3$, kjer vsak od difrakcijskih obročev ustreza spinelni strukturi, potrjujejo spinelno kristalno strukturo $\gamma\text{-Fe}_2\text{O}_3$ nanodelcev.



Slika 4-8.TEM $\gamma\text{-Fe}_2\text{O}_3$ nanodelcev

Na sliki 4-9 je prikazan spekter EDXS $\gamma\text{-Fe}_2\text{O}_3$ nanodelcev, ki potrjuje prisotnost Fe in O ter majhen delež C in Cu. Prisotnost Cu je posledica uporabe Cu mrežice, v kateri se nahaja vzorec med analizo EDXS. Elementarna sestava potrjuje sintezo maghemita.



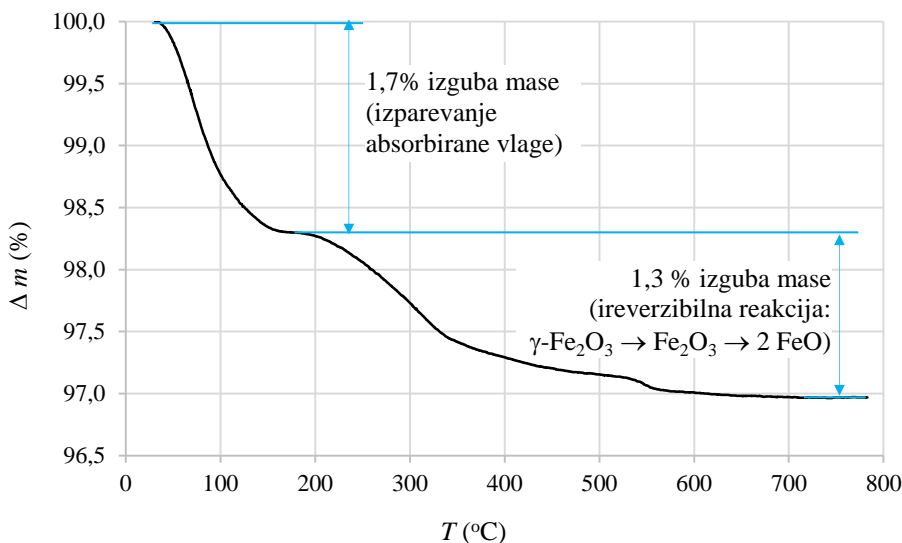
Slika 4-9. EDXS $\gamma\text{-Fe}_2\text{O}_3$ nanodelcev

Aliahmad & Moghaddam v literaturi [169] poročata o velikosti sintetiziranih $\gamma\text{-Fe}_2\text{O}_3$ nanodelcev premera 22 nm, dobljeni z analizo TEM. O še manjšem povprečnem premeru $\gamma\text{-Fe}_2\text{O}_3$ nanodelcev, od 8 nm do 10 nm, pa poročajo Darezereshki [176], Mirzayi [251] in Nazari [171]. Rezultati analize TEM v literaturi [173] kažejo, da povprečna velikost $\gamma\text{-Fe}_2\text{O}_3$ nanodelcev znaša 56 nm. Arcos [254] poroča o velikosti $\gamma\text{-Fe}_2\text{O}_3$ nanodelcev od 10 nm do 15 nm, dobljenih z analizo TEM, medtem ko so $\gamma\text{-Fe}_2\text{O}_3$ nanodelci v literaturi [179] premera $13,7 \pm 2,9$ nm. Khodabakhshi & Bahari [255] poročata o velikosti od 3 nm do 9 nm glede na sam postopek sinteze $\gamma\text{-Fe}_2\text{O}_3$ nanodelcev. Nurdin [256] poroča, da je premer približno 100 nanodelcev v območju od 3 nm do 17 nm in zaključuje, da je povprečna vrednost približno 9,9 nm. Poroča tudi, da ni večje aglomeracije maghemitnih nanodelcev po dveh mesecih skladiščenja nanodelcev. V literaturi [257] je predstavljen vpliv temperature sinteze $\gamma\text{-Fe}_2\text{O}_3$ nanodelcev na velikost nanodelcev, in sicer se povprečni premer nanodelcev, dobljen z analizo TEM, nahaja v območju od 9,6 nm do 17,8 nm. Pal [252] poroča o 50 nm povprečnem premeru $\gamma\text{-Fe}_2\text{O}_3$ nanodelcev.

Vidimo, da se velikosti sintetiziranih nanodelcev, objavljenih v literaturi, kar precej razlikujejo, kar je posledica različnih sinteznih postopkov $\gamma\text{-Fe}_2\text{O}_3$ nanodelcev. Rezultati TEM novo sintetiziranih $\gamma\text{-Fe}_2\text{O}_3$ nanodelcev, slika 4-8, se nahajajo znotraj vrednosti, objavljenih v razpoložljivi literaturi.

TGA

Na sliki 4-10 je prikazana izguba mase $\gamma\text{-Fe}_2\text{O}_3$ nanodelcev pri segrevanju z uporabo analize TGA. Opazno je zmanjšanje mase $\gamma\text{-Fe}_2\text{O}_3$ nanodelcev pri segrevanju do 160 °C za približno 1,7 %, kar lahko pripisemo izparevanju absorbirane vlage. Z nadaljnjam segrevanjem je opazen še padec mase za nadalnjih 1,3 % v območju od 200 °C do 750 °C, kar pa lahko pripisemo reakciji $\gamma\text{-Fe}_2\text{O}_3 \rightarrow \text{Fe}_2\text{O}_3 \rightarrow 2\text{FeO}$.



Slika 4-10. TGA $\gamma\text{-Fe}_2\text{O}_3$ nanodelcev

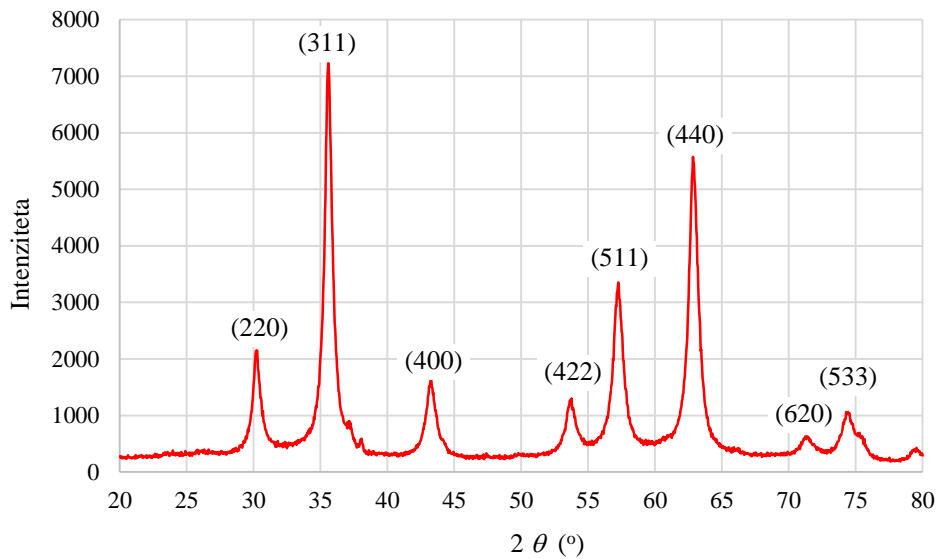
Yoon [258] je preučeval vpliv temperature na $\gamma\text{-Fe}_2\text{O}_3$ nanodelce. Ugotovil je, da je zmanjšanje mase nanodelcev do temperature 200 °C majhno, medtem ko je pri nadalnjem povišanju temperature od 200 °C do 650 °C opazna 10 % izguba mase zaradi poteka reakcij $\gamma\text{-Fe}_2\text{O}_3 \rightarrow \text{Fe}_2\text{O}_3 \rightarrow 2\text{FeO}$. Pretvorba maghemita v hematit je ireverzibilna reakcija, medtem ko je 2FeO metastabilna faza, ki se pri ohlajanju pretvori nazaj v hematit [258]. Aliahmad & Moghaddam [169] pri naraščanju temperature do 300 °C 2 % izgubo mase pripisujeta izparevanju absorbirane vlage, medtem ko je 5 % izguba mase v temperaturnem območju od 700 °C do 900 °C posledica fazne spremembe $\gamma\text{-Fe}_2\text{O}_3 \rightarrow \alpha\text{-Fe}_2\text{O}_3$.

Dobljeni rezultati analize TGA, slika 4-10, se v testiranem temperaturnem območju do 750 °C ujemajo z rezultati, objavljenimi v literaturi [169].

XRD

Rezultati rentgenske praškovne difrakcije za $\gamma\text{-Fe}_2\text{O}_3$ so prikazani na sliki 4-11. Rentgenski praškovni difraktogram $\gamma\text{-Fe}_2\text{O}_3$ nanodelcev kaže vrhove, ki ustrezajo kristalnim ravninam (hkl), in sicer: (220), (311), (400), (422), (511), (440), (620) in (533). Vse vrhove na difraktogramu lahko pripisemo spinelni strukturi, ki je značilna za maghemit. Največji difrakcijski vrh $\gamma\text{-Fe}_2\text{O}_3$ faze je pri $2\theta = 35,5^\circ$ za kristalno ravnino (311). Ostali vrhovi, ki so značilni za čisti maghemit, so pri $2\theta = 30,2^\circ$, ustrezajoč kristalni ravnini (220), pri $2\theta = 43,2^\circ$, ustrezajoč kristalni ravnini (400), pri $2\theta = 53,6^\circ$, ustrezajoč ravnini (422), pri $2\theta = 57,1^\circ$, ustrezajoč ravnini (511), pri $2\theta = 62,9^\circ$, ustrezajoč ravnini (440), pri $2\theta = 71,3^\circ$, ustrezajoč ravnini (620) in pri $2\theta = 74,4^\circ$, ustrezajoč kristalni ravnini (533).

Difraktogram XRD na sliki 4-11 potrjuje kristalno strukturo $\gamma\text{-Fe}_2\text{O}_3$ nanodelcev.



Slika 4-11. XRD $\gamma\text{-Fe}_2\text{O}_3$ nanodelcev

S pomočjo dobljenega difraktograma XRD izračunana razdalja med ravninami v kristalni mreži d , enačba (2.5), za največji difrakcijski vrh znaša:

$$d = \frac{0,154 \text{ nm}}{2 \cdot \sin\left(\frac{35,5}{2}\right)} = 0,252 \text{ nm}.$$

Mrežna konstanta oziroma dimenzijsa kubične kristalne osnovne celice a , enačba (2.6), izračunana na osnovi največjega difrakcijskega vrha:

$$a = 0,252 \text{ nm} \sqrt{(3^2 + 1^2 + 1^2)} = 0,8358 \text{ nm}.$$

Mrežna konstanta 0,8358 nm za sintetizirane $\gamma\text{-Fe}_2\text{O}_3$ nanodelce se ujema z mrežno konstanto za kubično spinelno strukturo maghemita, ki znaša 0,835 nm [259][260].

Premer nanodelca d_{ND} , enačba (2.7), za največji difrakcijski vrh znaša:

$$d_{ND} = \frac{0,9 \cdot 0,154 \text{ nm}}{\frac{0,85 \cdot \pi}{2 \cdot 180} \text{ rad} \cdot \cos\left(\frac{35,5}{2}\right)} = 22,2 \text{ nm}.$$

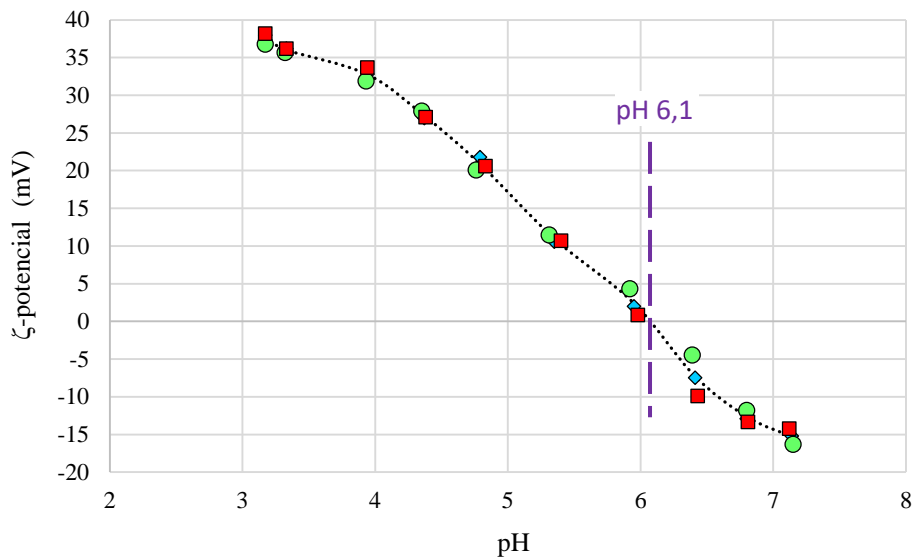
Pri najvišjem difrakcijskem vrhu, ki ustreza kristalni ravnini (311) znaša razdalja med kristalnimi ravninami 0,252 nm, mrežna konstanta 0,8358 nm in premer $\gamma\text{-Fe}_2\text{O}_3$ nanodelcev 22,2 nm. Povprečni premer $\gamma\text{-Fe}_2\text{O}_3$ nanodelcev pa znaša $(19,1 \pm 3,3)$ nm.

V literaturi so za $\gamma\text{-Fe}_2\text{O}_3$ iz Fe-kloridov omenjene kristalne ravnine (111), (210), (220), (311) in (400) s povprečnim premerom nanodelcev 14 nm [261]. Aliahmad & Moghaddam sta v literaturi [169] prikazala vrhove, ki ustrezajo ravninam (220), (311), (222), (400), (422), (511), (440) in (531). Vrhovi v območju od 10 ° do 130 ° pa ustrezajo ravninam (111), (220), (311), (400), (422), (511), (440), (620), (533), (731), (800), (622) [254]. Darezereshki [176] je določil vrhove pri kristalnih ravninah (211), (220), (222) (400), (422), (511), (440), dobljeni povprečni premer pa je znašal 13 nm. Feitoza [250] in Lan [262] sta za $\gamma\text{-Fe}_2\text{O}_3$ z analizo XRD dobila difrakcijske vrhove kristalnih ravnin (220), (311), (222), (400), (422), (511), (440). Feitoza [250] je dokazal na osnovi določene povprečne mrežne konstante 0,834 nm, ki ustreza mrežni konstanti 0,835 nm, značilni za kubično $\gamma\text{-Fe}_2\text{O}_3$ spinelno strukturo, da je maghemit prevladujoča kristalna faza v vzorcu. Srednji premer kristalnih nanodelcev najbolj intenzivnega difrakcijskega vrha je znašal 10,5 nm. Predoi [263] je prikazal vrhove za $\gamma\text{-Fe}_2\text{O}_3$ nanodelce, ki ustrezajo kristalnim ravninam (220), (311), (400), (422), (511) in (440), pri čemer medravninska razdalja za najvišji difrakcijski vrh kristalne ravnine (311) znaša 0,24 nm, premer nanodelcev pa je približno 8 nm. Gdula je v literaturi [173] pripisal vrhove (220), (311), (400), (422), (511), (440) in (533) $\gamma\text{-Fe}_2\text{O}_3$ nanodelcem. Praktično vsi vrhovi, ki sta jih predstavila Wang v literaturi [100] in Khodabakhshi & Bahari v [255] za $\gamma\text{-Fe}_2\text{O}_3$, ustrezajo kristalnim ravninam vzorca na sliki 4-11. Lee je v literaturi [172] prikazal rezultate analize XRD za $\gamma\text{-Fe}_2\text{O}_3$ nanodelce, sintetizirane z dodajanjem vodne raztopine ionov Fe-kloridov v bazično raztopino s pipeto po kapljicah in s piezoelektrično šobo. V primeru postopka dodajanja Fe raztopine po kapljicah k bazični raztopini je analiza XRD pokazala difrakcijske vrhove kristalnih ravnin (220), (311), (400), (511) in (440), medtem ko so pri postopku dodajanja raztopine Fe-kloridov k bazični raztopini s piezoelektrično šobo doseženi vrhovi, ki ustrezajo (111), (220), (311), (400), (422), (511) in (440) kristalnim ravninam [172]. V literaturi [257] je predstavljen vpliv temperature sinteze $\gamma\text{-Fe}_2\text{O}_3$ nanodelcev na velikost nanodelcev, in sicer se z analizo XRD določen premer nanodelcev nahaja v območju od 10,3 nm do 16,2 nm.

Primerjava rezultatov analize XRD kaže dobro ujemanje vrhov difraktograma novo sintetiziranih $\gamma\text{-Fe}_2\text{O}_3$ nanodelcev z rezultati iz razpoložljive literature. Praktično pri vseh sintetiziranih $\gamma\text{-Fe}_2\text{O}_3$ iz literature je analiza XRD potrdila kristalno zgradbo maghemitnih nanodelcev, najpogosteje omenjene kristalne ravnine pa so (220), (311), (400), (511) in (440), ki imajo tudi najizrazitejše difrakcijske vrhove na sliki 4-11. Za novo sintetizirane $\gamma\text{-Fe}_2\text{O}_3$ nanodelce, se izračunana razdalja med kristalnimi ravninami, mrežna konstanta in premer nanodelcev za najvišji difrakcijski vrh ravnine (311), slika 4-11, ujemajo z objavljenimi rezultati v [259][260][263] in s standardno strukturo maghemita (JCPDS card No.: 39-1346).

DLS

ζ -potencial za $\gamma\text{-Fe}_2\text{O}_3$ nanodelce znaša od +40 mV do -15 mV v testiranem območju od pH 3 do pH 8, slika 4-12. Izoelektrična točka je dosežena pri pH 6,1. Vrednost ζ -potenciala nad 30 mV je dosežena pri pH < 4,2, torej so $\gamma\text{-Fe}_2\text{O}_3$ nanodelci v koloidni raztopini stabilni pri pH < 4,2.



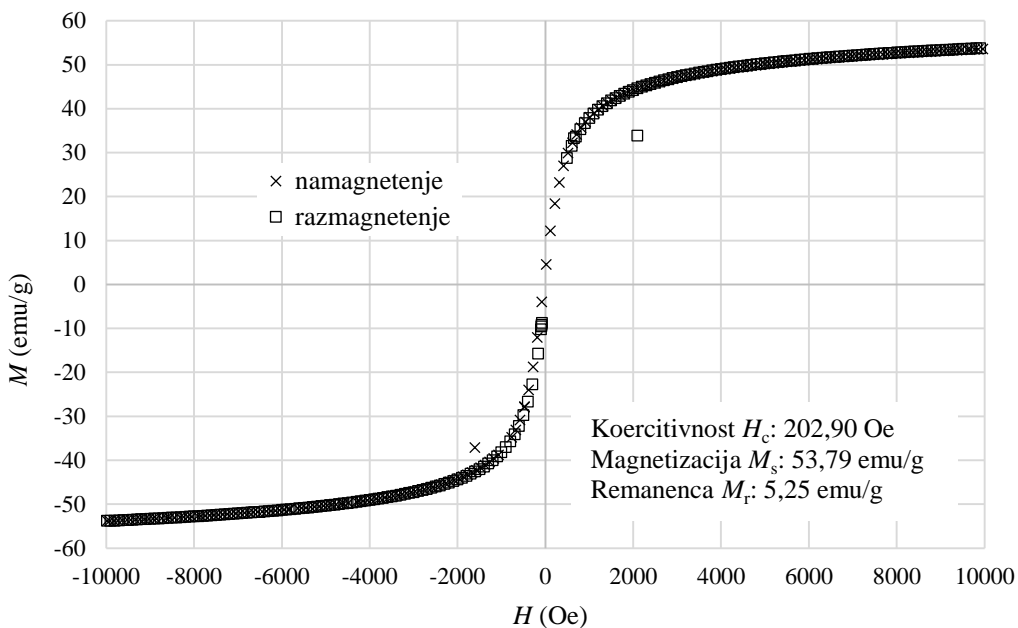
Slika 4-12. ζ -potencial $\gamma\text{-Fe}_2\text{O}_3$ nanodelcev

Gdula v literaturi [173] poroča o izoelektrični točki za $\gamma\text{-Fe}_2\text{O}_3$ nanodelce pri pH 7,5 in o izmerjenem ζ -potencialu med +40 mV in -10 mV v testiranem območju od pH 2 do pH 9. V merilnem območju od pH 2 do pH 12 pa ζ -potencial znaša od +40 mV do -40 mV, izoelektrična točka pa je izmerjena pri pH 7,4 [264]. Podobno poroča Andrade v literaturi [249] o ζ -potencialu med +40 mV in -10 mV v testiranem območju od pH 2 do pH 10 in o izoelektrični točki pri pH ~5 za Fe_3O_4 nanodelce. O izoelektrični točki za $\gamma\text{-Fe}_2\text{O}_3$ nanodelce pri pH 5,6 oziroma pri pH 6,6 pa poroča Lan [262], kjer se vrednosti ζ -potenciala nahajajo od +40 mV do -20 mV v testiranem območju od pH 2 do pH 8. Nurdin [257] poroča o izoelektrični točki za $\gamma\text{-Fe}_2\text{O}_3$ nanodelce pri pH 6,6 in o izmerjenem ζ -potencialu med +41,7 mV in -40,4 mV v testiranem območju od pH 2 do pH 12.

Primerjava rezultatov analize DLS novo sintetiziranih $\gamma\text{-Fe}_2\text{O}_3$ nanodelcev, slika 4-12, z rezultati različnih avtorjev iz literature kaže dobro ujemanje vrednosti ζ -potenciala in pH izoelektrične točke.

VSM

Slika 4-13 kaže histerezno krivuljo vzorca $\gamma\text{-Fe}_2\text{O}_3$ nanodelcev. V fazi magnetenja znaša masna magnetizacija nasičenja M_s sintetiziranih $\gamma\text{-Fe}_2\text{O}_3$ nanodelcev 53,79 emu/g pri jakosti magnetnega polja $H = 10000$ Oe. Z razmagnetenjem vzorca se vrednost magnetnega odziva zmanjšuje in remanentna magnetizacija M_r v primeru brez magnetnega polja ostane v vzorcu 5,25 emu/g. Koercitivnost H_c za $\gamma\text{-Fe}_2\text{O}_3$ nanodelce znaša 202,90 Oe.



Slika 4-13. VSM $\gamma\text{-Fe}_2\text{O}_3$ nanodelcev

Aliahmad & Moghaddam v literaturi [169] poročata o superparamagnethnih lastnostih vzorca $\gamma\text{-Fe}_2\text{O}_3$, torej ni koercitivnosti in remanentna magnetizacija je po odstranitvi magnetnega polja nič. Za vrednost masne magnetizacije nasičenja M_s za $\gamma\text{-Fe}_2\text{O}_3$ navajata 31 emu/g. Guivar v literaturi [265] poroča o masni magnetizaciji M_s 59 emu/g za $\gamma\text{-Fe}_2\text{O}_3$ nanodelce. Khodabakhshi & Bahari [255] poročata o masni magnetizaciji $\gamma\text{-Fe}_2\text{O}_3$ nanodelcev 35 emu/g. Masna magnetizacija nasičenja za $\gamma\text{-Fe}_2\text{O}_3$ nanodelce v [251] znaša 59 emu/g. Nurdin [256] poroča, da masna magnetizacija nasičenosti za $\gamma\text{-Fe}_2\text{O}_3$ nanodelce pri sobni temperaturi znaša 32,2 emu/g. V literaturi [257] je predstavljen vpliv temperature sinteze $\gamma\text{-Fe}_2\text{O}_3$ nanodelcev na masno magnetizacijo nasičenja, ki znaša od 25,5 emu/g do 34,3 emu/g.

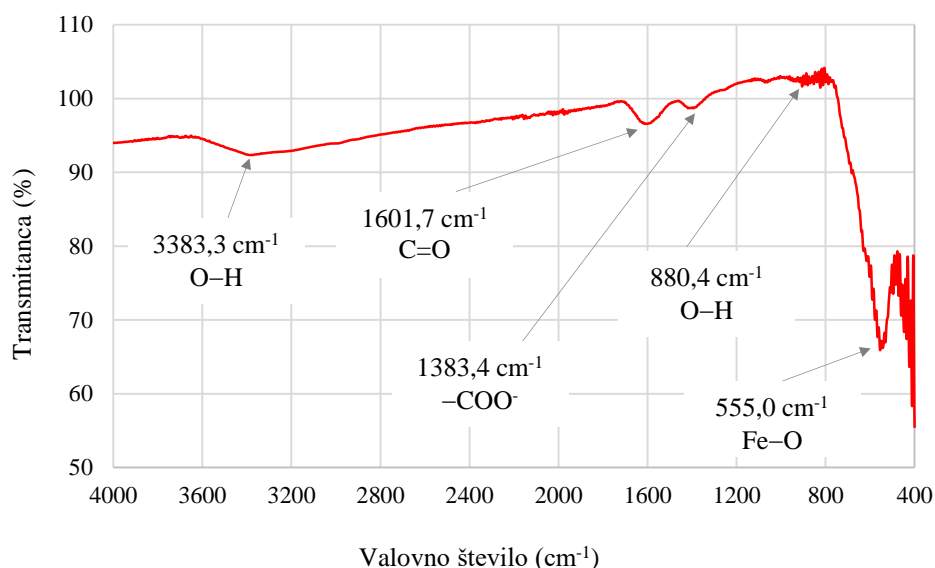
Vrednosti masne magnetizacije nasičenja sintetiziranih nanodelcev, objavljenih v literaturi, se kar precej razlikujejo, kar je posledica različnih sinteznih postopkov $\gamma\text{-Fe}_2\text{O}_3$ nanodelcev. Vrednosti masne magnetizacije nasičenja novo sintetiziranih $\gamma\text{-Fe}_2\text{O}_3$ nanodelcev, slika 4-13, se ujemajo z vrednostmi iz literature.

4.2.2 Karakterizacija stabiliziranih $\gamma\text{-Fe}_2\text{O}_3$ nanodelcev

FT-IR

✓ $\gamma\text{-Fe}_2\text{O}_3\text{-CA}$

Na sliki 4-14 je prikazan spekter FT-IR za $\gamma\text{-Fe}_2\text{O}_3\text{-CA}$ nanodelce. Valovno število $3383,3\text{ cm}^{-1}$ dokazuje prisotnost O–H skupine (raztezne vibracije) iz H_2O , medtem ko valovno število $1601,7\text{ cm}^{-1}$ kaže na raztezne vibracije C=O vezi iz karboksilne kisline. Vrh pri $1383,4\text{ cm}^{-1}$ pa lahko ponazarja prisotnost oziroma simetrično raztezanje COO^- skupine, medtem ko vrhovi pri $880,4\text{ cm}^{-1}$ kažejo na raztezanje O–H vezi iz karboksilne kisline. Absorpcijski vrh pri $555,0\text{ cm}^{-1}$ ustreza razteznim vibracijam Fe–O vezi. Spekter FT-IR za $\gamma\text{-Fe}_2\text{O}_3\text{-CA}$ nanodelce kaže, da je karboksilna skupina, ki je za CA potrjena z vrhom pri 1680 cm^{-1} za C=O raztezne vibracije, premaknjena k nižnjemu valovnemu številu, in sicer k $1601,7\text{ cm}^{-1}$, zaradi kovalentnih vezi na površini $\gamma\text{-Fe}_2\text{O}_3$ nanodelcev. Prav tako je vrh pri 1401 cm^{-1} , ki je značilen za simetrično raztezanje COO^- , rahlo premaknjen k nižnjemu valovnemu številu $1383,4\text{ cm}^{-1}$, kar potrjuje uspešno stabilizacijo $\gamma\text{-Fe}_2\text{O}_3$ nanodelcev s CA.



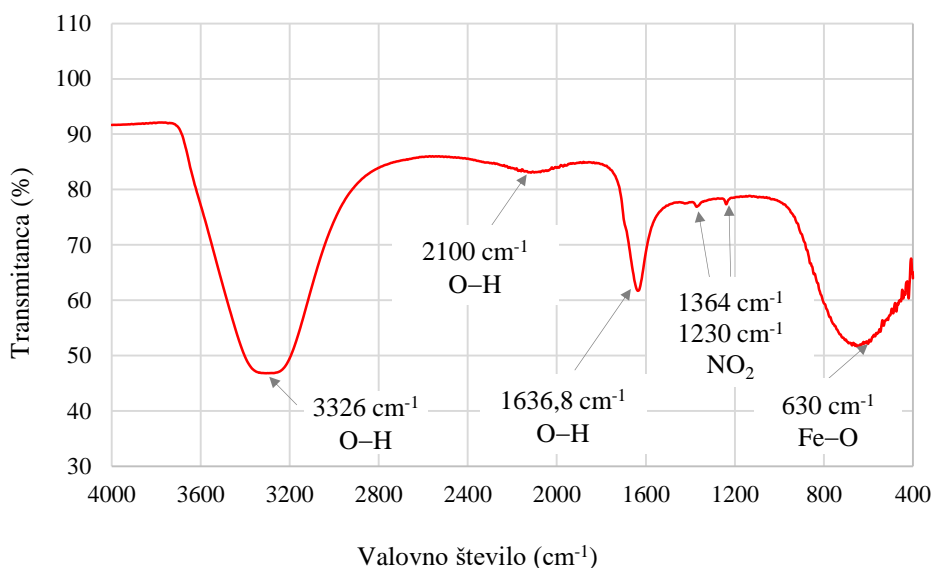
Slika 4-14. FT-IR $\gamma\text{-Fe}_2\text{O}_3\text{-CA}$ nanodelcev

Ashour je v literaturi [29] pokazal, da je raztezanje C=O vezi, ki je značilno za CA pri 1680 cm^{-1} , premaknjeno k 1583 cm^{-1} . Podobno je simetrično raztezanje COO^- , ki ima za CA vrh pri valovnem številu 1401 cm^{-1} , premaknjeno pri $\gamma\text{-Fe}_2\text{O}_3\text{-CA}$ nanodelcih k valovnemu številu 1389 cm^{-1} . Cheraghipour je v [266] razložil, da je vrh pri 1755 cm^{-1} , značilen za vibracije C=O iz COOH skupine za CA, premaknjen k valovnemu številu 1646 cm^{-1} za $\text{Fe}_3\text{O}_4\text{-CA}$ nanodelce, kar potrjuje vezavo CA radikalov na površino Fe_3O_4 nanodelcev s kemosorpcijo. V literaturi [267] je predstavljen spekter FT-IR za CA in $\text{Fe}_3\text{O}_4\text{-CA}$ nanodelce, kjer je vrh pri valovnem številu 1710 cm^{-1} , karakterističen za nesimetrične raztezne vibracije C=O vezi iz COOH skupine v CA, premaknjen k valovnemu številu 1600 cm^{-1} , kar dokazuje vezavo CA na površino Fe_3O_4 nanodelcev. Vrhovi pri valovnih številih 1400 cm^{-1} , 1250 cm^{-1} in 1065 cm^{-1} pa ustrezajo simetričnemu raztezanju COO^- , simetričnemu raztezanju C–O vezi in prisotnosti OH skupine v CA, medtem ko vrh pri 575 cm^{-1} potrjuje raztezne vibracije Fe–O vezi iz Fe_3O_4 .

Na osnovi analize spektra FT-IR, slika 4-14, in primerjave z literaturo [29][266][267] lahko zaključimo, da je stabilizacija novo sintetiziranih $\gamma\text{-Fe}_2\text{O}_3$ s CA uspešna.

✓ $\gamma\text{-Fe}_2\text{O}_3\text{-HNO}_3$

Na sliki 4-15 je prikazan spekter FT-IR za $\gamma\text{-Fe}_2\text{O}_3$ nanodelce, stabilizirane v kislem HNO_3 mediju. Spekter FT-IR za $\gamma\text{-Fe}_2\text{O}_3\text{-HNO}_3$ nanodelce kaže absorpcijske vrhove pri valovnih številih 3326 cm^{-1} , 2100 cm^{-1} , $1636,8\text{ cm}^{-1}$, 1364 cm^{-1} , 1230 cm^{-1} in 630 cm^{-1} . Valovno število 3326 cm^{-1} dokazuje prisotnost O–H skupine (raztezne vibracije) iz H_2O , valovno število $1636,8\text{ cm}^{-1}$ pa kaže na upogibne vibracije O–H skupine, prav tako neizrazit vrh pri valovnem številu 2100 cm^{-1} kaže na prisotnost O–H skupine. Neizrazita vrhova pri 1364 cm^{-1} in pri 1230 cm^{-1} ustrezata simetričnim razteznim vibracijam NO_2 skupine. Absorpcijski vrhovi v območju od 400 cm^{-1} do 630 cm^{-1} pa ustrezajo razteznim vibracijam funkcionalne skupine Fe–O.

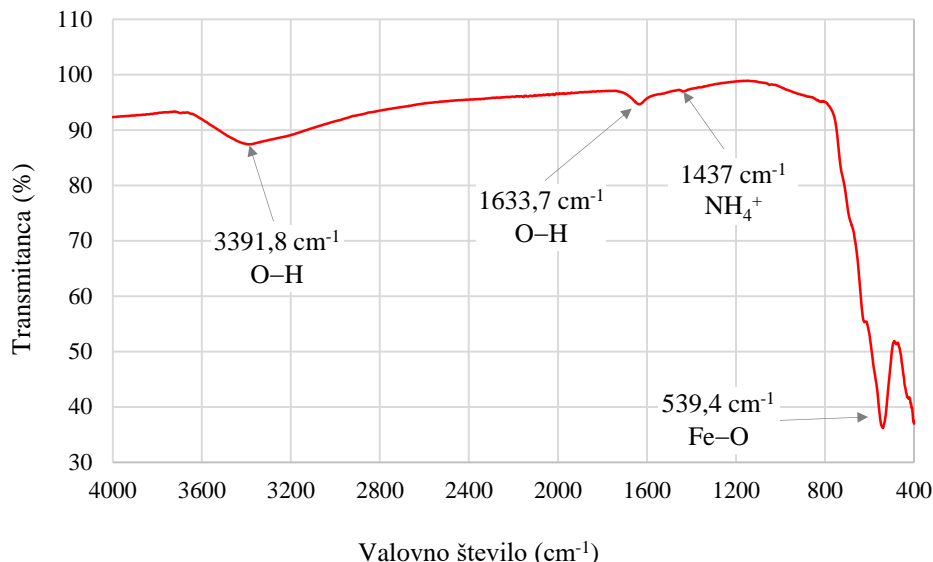


Slika 4-15. FT-IR $\gamma\text{-Fe}_2\text{O}_3\text{-HNO}_3$ nanodelcev

V razpoložljivi literaturi ni rezultatov za stabilizirane $\gamma\text{-Fe}_2\text{O}_3$ nanodelce s HNO_3 . Kljub vsemu FT-IR potrjuje uspešno stabilizacijo, saj je opazna prisotnost NO_2 skupine.

✓ $\gamma\text{-Fe}_2\text{O}_3\text{-NH}_4\text{OH}$

Na sliki 4-16 je prikazan spekter FT-IR za $\gamma\text{-Fe}_2\text{O}_3\text{-NH}_4\text{OH}$ nanodelce. Valovno število $3391,8\text{ cm}^{-1}$ dokazuje prisotnost O–H skupine (raztezne vibracije) iz H_2O , medtem ko valovno število $1633,7\text{ cm}^{-1}$ kaže na upogibne vibracije O–H skupine. Neizrazit vrh pri 1437 cm^{-1} lahko ponazarja prisotnost NH_4^+ skupine. Absorpcijski vrh pri $539,4\text{ cm}^{-1}$ ustreza razteznim vibracijam Fe–O vezi.



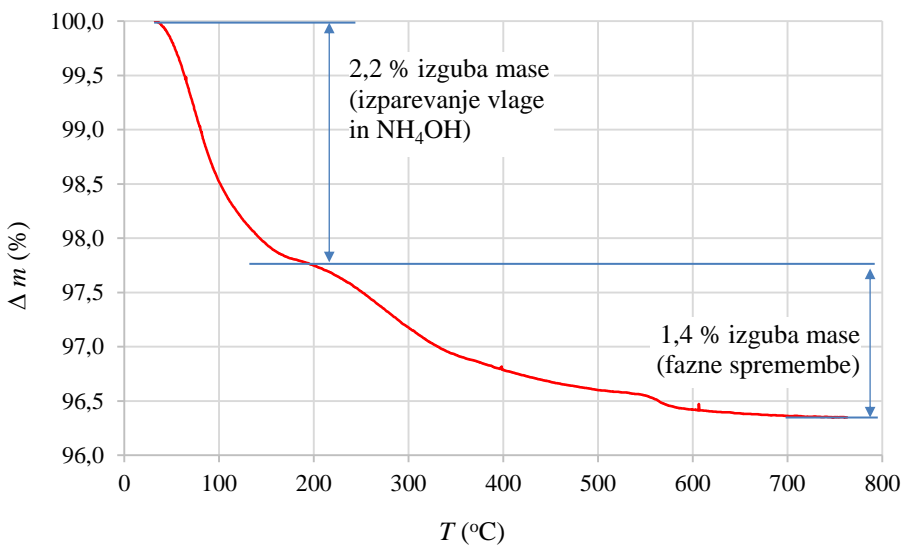
Slika 4-16. FT-IR $\gamma\text{-Fe}_2\text{O}_3\text{-NH}_4\text{OH}$ nanodelcev

V razpoložljivi literaturi ni rezultatov za stabilizirane $\gamma\text{-Fe}_2\text{O}_3$ nanodelce z NH_4OH , saj so sintetizirani $\gamma\text{-Fe}_2\text{O}_3\text{-NH}_4\text{OH}$ nanodelci popolnoma novi. Kljub vsemu pa FT-IR potrjuje uspešno stabilizacijo, saj je opazna prisotnost NH_4^+ skupine, valovna števila vrhov vseh drugih skupin pa se minimalno razlikujejo od vrhov pri $\gamma\text{-Fe}_2\text{O}_3$ nanodelcih.

TGA

✓ $\gamma\text{-Fe}_2\text{O}_3\text{-NH}_4\text{OH}$

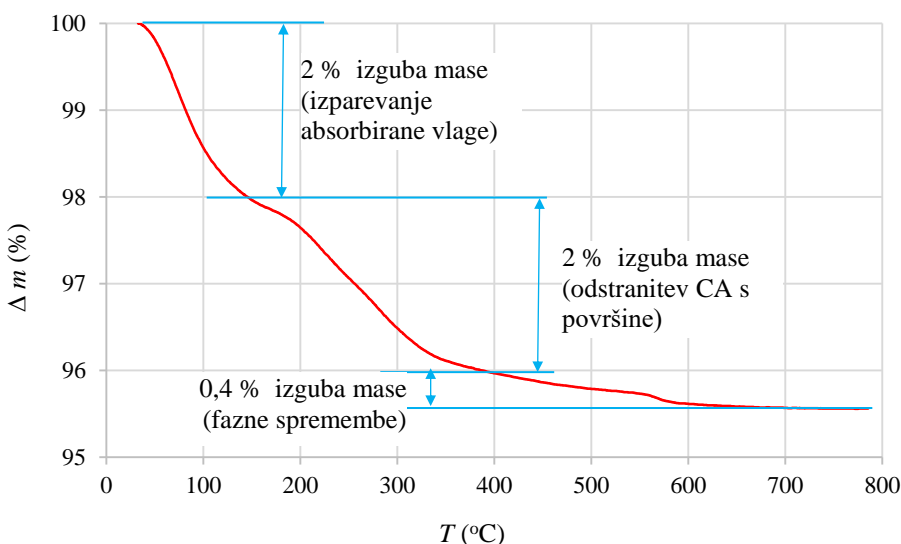
Na sliki 4-17 je prikazana izguba mase $\gamma\text{-Fe}_2\text{O}_3\text{-NH}_4\text{OH}$ nanodelcev pri segrevanju z uporabo analize TGA. Masa $\gamma\text{-Fe}_2\text{O}_3\text{-NH}_4\text{OH}$ nanodelcev se zniža pri segrevanju do $750\text{ }^\circ\text{C}$ za približno 3,6 %. Pri segrevanju $\gamma\text{-Fe}_2\text{O}_3\text{-NH}_4\text{OH}$ nanodelcev od $200\text{ }^\circ\text{C}$ znaša izguba mase 2,2 %, kar lahko pripisemo izparevanju absorbirane vlage in odstranitvi NH_4OH z nanodelcev. Nadaljnja 1,4 % izgubo mase pri segrevanju do $750\text{ }^\circ\text{C}$ pripisemo faznim spremembam.

Slika 4-17. TGA $\gamma\text{-Fe}_2\text{O}_3\text{-NH}_4\text{OH}$ nanodelcev

V razpoložljivi literaturi ni rezultatov analize TGA za $\gamma\text{-Fe}_2\text{O}_3\text{-NH}_4\text{OH}$ nanodelcev, vendar pa rezultati TGA, slika 4-17, potrjujejo uspešnost stabilizacije $\gamma\text{-Fe}_2\text{O}_3$ z NH₄OH.

✓ $\gamma\text{-Fe}_2\text{O}_3\text{-CA}$

Na sliki 4-18 je prikazana izguba mase $\gamma\text{-Fe}_2\text{O}_3\text{-CA}$ nanodelcev pri segrevanju z uporabo analize TGA. Masa $\gamma\text{-Fe}_2\text{O}_3\text{-CA}$ nanodelcev se zniža pri segrevanju do 800 °C za približno 4,4 %. Pri segrevanju $\gamma\text{-Fe}_2\text{O}_3\text{-CA}$ nanodelcev do 150 °C znaša izguba mase 2 %, kar lahko pripisemo izparevanju absorbirane vlage. Nadaljnja 2 % izgube mase pri segrevanju do 400 °C je lahko posledica odstranitve CA s površine nanodelcev, nadaljnjo 0,4 % izgubo mase pa lahko pripisemo faznim spremembam.

Slika 4-18. TGA $\gamma\text{-Fe}_2\text{O}_3\text{-CA}$ nanodelcev

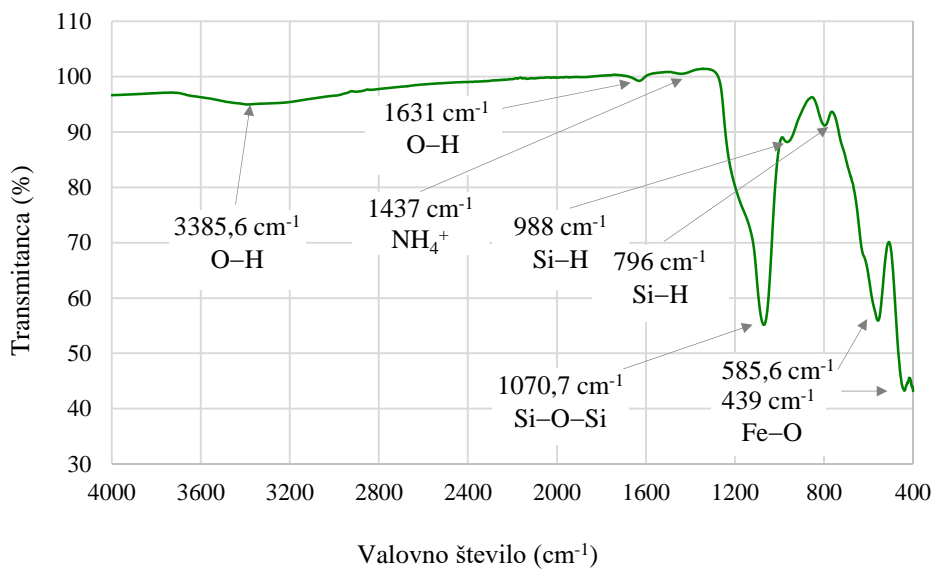
Rezultati TGA analize Fe_3O_4 -CA nanodelcev v literaturi [29] kažejo na 1 % izgubo mase pri segrevanju od 50 °C do 200 °C zaradi izparevanju absorbirane vlage. 8,8 % izguba mase pri segrevanju nad 200 °C predstavlja odstranitev CA s površine nanodelcev, medtem ko je nadaljnja izguba mase pri segrevanju nad 450 °C posledica fazne spremembe $\text{Fe}_3\text{O}_4 \rightarrow \text{Fe}_2\text{O}_3$. Nigam v literaturi [267] analizira izgubo mase Fe_3O_4 -CA nanodelcev pri segrevanju do 700 °C. 7,5 % izgubo mase pri segrevanju do 150 °C pripisuje izparevanju absorbirane vlage, nadaljnjo 13,5 % izgubo mase v območju od 150 °C do 400 °C pripisuje odstranitvi CA s površine nanodelcev, medtem ko 3 % izgubo mase pri segrevanju nad 400 °C razloži s fazno spremembo $\text{Fe}_3\text{O}_4 \rightarrow \text{Fe}_2\text{O}_3$.

Na osnovi opravljenih analize dobljenih rezultatov TGA in primerjave z razpoložljivo literaturo lahko zaključimo, da je stabilizacija $\gamma\text{-Fe}_2\text{O}_3$ s CA uspešna.

4.2.3 Karakterizacija $\gamma\text{-Fe}_2\text{O}_3\text{-NH}_4\text{OH@SiO}_2$ nanodelcev

FT-IR

Na sliki 4-19 je prikazan spekter FT-IR za $\gamma\text{-Fe}_2\text{O}_3\text{-NH}_4\text{OH@SiO}_2$ nanodelce. Valovno število 3385,6 cm^{-1} dokazuje raztezne vibracije vezi O–H iz H_2O , medtem ko valovno število 1631 cm^{-1} kaže na strižne vibracije O–H skupine. Neizrazit vrh pri 1437 cm^{-1} lahko ponazarja prisotnost NH_4^+ skupine. Vrh pri 1070,7 cm^{-1} ustreza asimetričnemu raztezanju Si–O–Si vezi. Absorpcijska vrhova pri 988 cm^{-1} in pri 796 cm^{-1} ustreza strižnim vibracijam Si–H vezi. Absorpcijska vrhova pri 585,6 cm^{-1} in pri 439 cm^{-1} pa ustreza razteznim vibracijam Fe–O vezi.



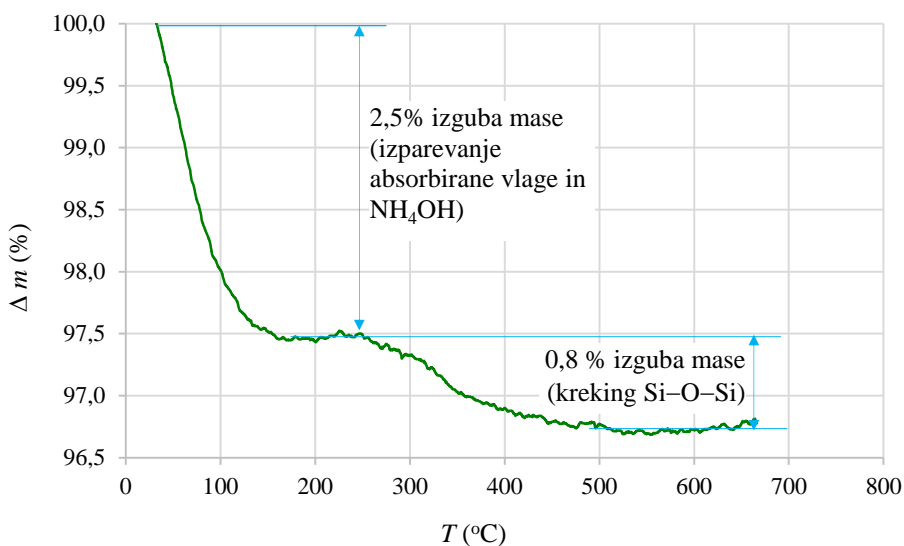
Slika 4-19. FT-IR $\gamma\text{-Fe}_2\text{O}_3\text{-NH}_4\text{OH@SiO}_2$ nanodelcev

V literaturi [254] je prikazan spekter FT-IR za $\gamma\text{-Fe}_2\text{O}_3\text{@SiO}_2$ nanodelce. Omenjena sta dva vrhova pri 1120 cm^{-1} in 1030 cm^{-1} , ki potrjujeta prisotnost Si–O–Si vezi in s tem oblogo SiO_2 na magnetnih nanodelcih. Prisotnost vezi Fe–O pa je potrjena z vrhovoma pri valovnih številih 634 cm^{-1} in 582 cm^{-1} [254].

Spekter FT-IR, slika 4-19, nazorno kaže prisotnost Si–O–Si in Si–H vezi, kar potrjuje lupino SiO₂ na magnetnem jedru γ-Fe₂O₃–NH₄OH. Valovna števila vrhov, ki so značilna za prisotnost SiO₂, se ujemajo z valovnimi števili v literaturi [254].

TGA

Na sliki 4-20 je prikazana izguba mase γ-Fe₂O₃–NH₄OH@SiO₂ nanodelcev pri segrevanju z uporabo analize TGA. Opazno je zmanjšanje mase γ-Fe₂O₃–NH₄OH@SiO₂ nanodelcev pri segrevanju do 160 °C za približno 2,5 %, kar lahko pripisemo izparevanju absorbirane vlage in NH₄OH. Z nadaljnji segrevanjem je opazen še padec mase za nadalnjih 0,8 % v območju od 260 °C do 650 °C, kar lahko pripisemo odstranitvi SiO₂ obloge s površine nanodelcev in krekingu verige siloksanov Si–O–Si.



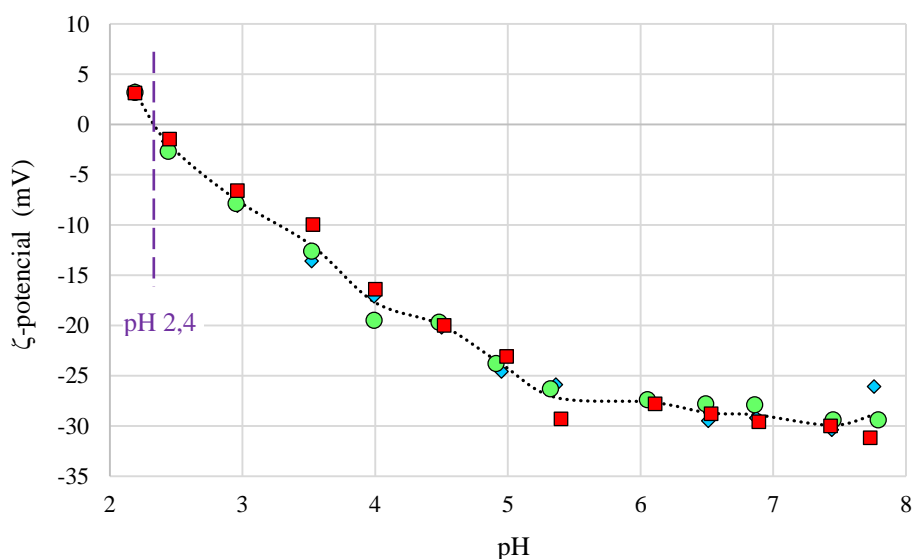
Slika 4-20. TGA γ-Fe₂O₃–NH₄OH@SiO₂ nanodelcev

Legaria je v literaturi [9] prikazal analizo TGA γ-Fe₂O₃@SiO₂ nanodelcev, pri čemer je poudaril, da je 5,2 % izguba mase v območju od 25 °C do 150 °C posledica izparevanja absorbirane vlage, nadaljnja 4,4 % izguba mase v območju od 220 °C do 400 °C je posledica termičnega razpada SiO₂ lupine magnetnega nanodelca, nadaljnja 1,2 % izguba mase s segrevanjem do 600 °C pa je posledica krekinga verige siloksanov.

Izguba mase γ-Fe₂O₃–NH₄OH@SiO₂ nanodelcev, slika 4-20, je v primerjavi z izgubo mase γ-Fe₂O₃@SiO₂ nanodelcev v literaturi [9] precej manjša, kar je posledica različne sinteze nanodelcev.

DLS

Na sliki 4-21 je prikazan ζ -potencial $\gamma\text{-Fe}_2\text{O}_3\text{-NH}_4\text{OH@SiO}_2$ nanodelcev. Izmerjena izoelektrična točka je pri pH 2,4, medtem ko se vrednosti ζ -potenciala nahajajo v območju med +5 mV in -30 mV v testiranem območju od pH 2 do pH 8. Znatno zmanjšanje pH, pri katerem je dosežena izoelektrična točka, glede na $\gamma\text{-Fe}_2\text{O}_3$ nanodelce, je posledica uspešne vezave SiO_2 na jedro $\gamma\text{-Fe}_2\text{O}_3\text{-NH}_4\text{OH}$ nanodelcev. Pravzaprav je vrednost pH izoelektrične točke $\gamma\text{-Fe}_2\text{O}_3\text{-NH}_4\text{OH@SiO}_2$ nanodelcev bliže čistemu SiO_2 kot pa $\gamma\text{-Fe}_2\text{O}_3$. Lupina iz SiO_2 povzroča povečanje kemične stabilnosti maghemitnih nanodelcev in s tem poveča njihovo učinkovitost v bio-aplikacijah.



Slika 4-21. ζ -potencial $\gamma\text{-Fe}_2\text{O}_3\text{-NH}_4\text{OH@SiO}_2$ nanodelcev

Gdula v literaturi [173] poroča o izoelektrični točki za $\gamma\text{-Fe}_2\text{O}_3\text{@SiO}_2$ nanodelce pri pH 3,5 in o vrednostih za ζ -potencial med +5 mV in -55 mV v območju med pH 2 in pH 9. Andrade pa v literaturi [249] poroča o izoelektrični točki za $\text{Fe}_3\text{O}_4\text{@SiO}_2$ nanodelce pri pH ~2,3.

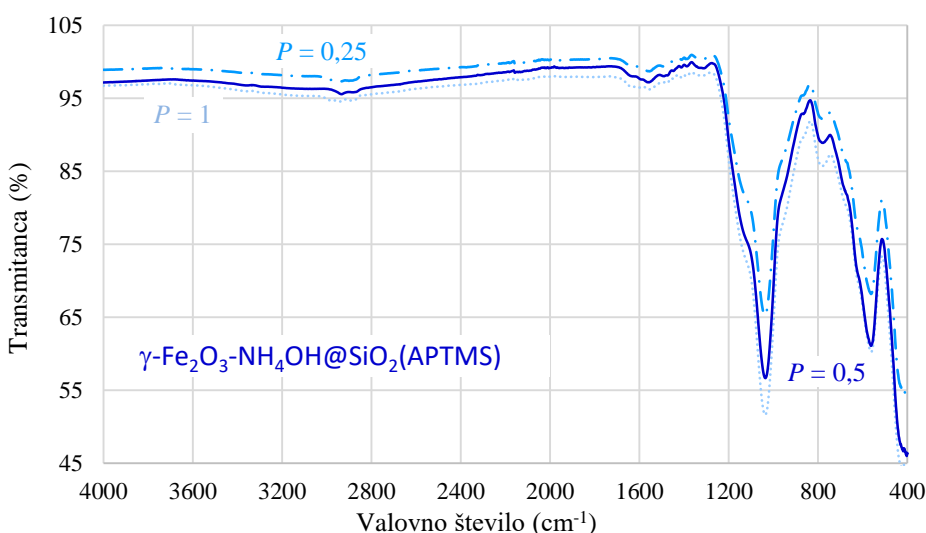
Čeprav v razpoložljivi literaturi ni rezultatov DLS za $\gamma\text{-Fe}_2\text{O}_3\text{-NH}_4\text{OH@SiO}_2$ nanodelce, pa lahko primerjamo elektrokinetične lastnosti za $\gamma\text{-Fe}_2\text{O}_3\text{@SiO}_2$ nanodelce, saj ima na ζ -potencial in izoelektrično točko prevladujoč vpliv SiO_2 . Primerjava rezultatov DLS analize novo sintetiziranih $\gamma\text{-Fe}_2\text{O}_3\text{-NH}_4\text{OH@SiO}_2$ nanodelcev, slika 4-21, z rezultati različnih avtorjev iz literature za $\gamma\text{-Fe}_2\text{O}_3\text{@SiO}_2$ nanodelce kaže dobro ujemanje vrednosti ζ -potenciala in pH izoelektrične točke.

4.2.4 Karakterizacija $\gamma\text{-Fe}_2\text{O}_3\text{-NH}_4\text{OH@SiO}_2\text{(APTMS)}$ nanodelcev

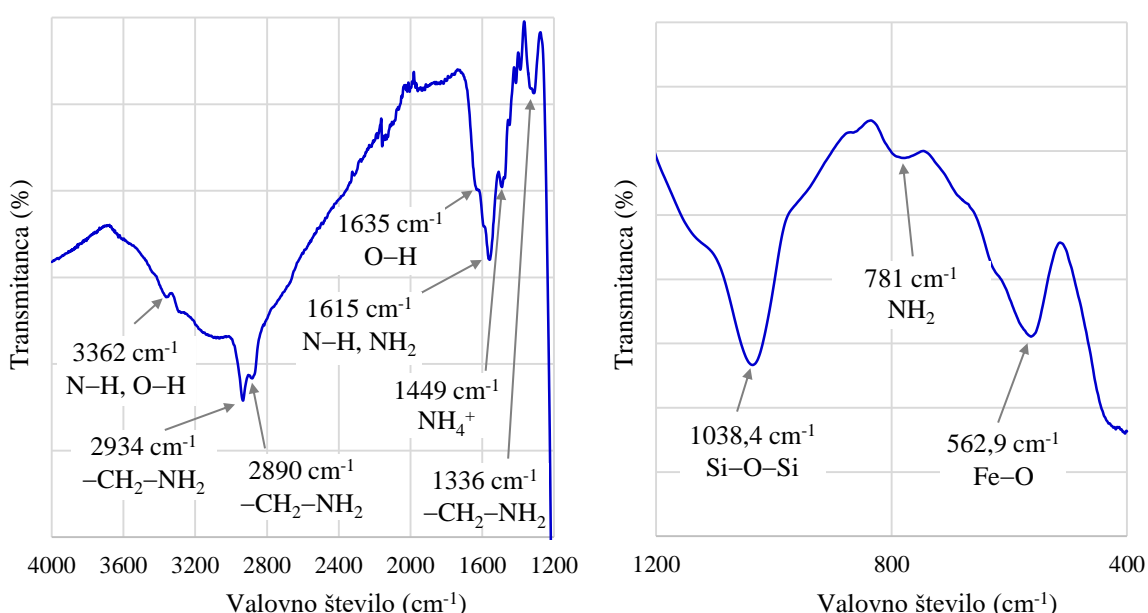
Primerjava rezultatov karakterizacije $\gamma\text{-Fe}_2\text{O}_3\text{-NH}_4\text{OH@SiO}_2\text{(APTMS)}$ nanodelcev z literaturo ni mogoča, saj ti nanodelci v literaturi niso omenjeni. Za nekatere karakterizacije smo izvedli primerjavo z rezultati za $\gamma\text{-Fe}_2\text{O}_3\text{@SiO}_2\text{(APTMS)}$ nanodelce, katerih postopki sinteze niso enaki sintezi $\gamma\text{-Fe}_2\text{O}_3\text{-NH}_4\text{OH@SiO}_2\text{(APTMS)}$ nanodelcev.

FT-IR

Na sliki 4-22 so prikazani spektri FT-IR za $\gamma\text{-Fe}_2\text{O}_3\text{-NH}_4\text{OH}@\text{SiO}_2(\text{APTMS})$ nanodelce z različnimi množinskimi razmerji P . Valovna števila vrhov v spektri FT-IR so za nanodelce z različnimi množinskimi razmerji P praktično identični, zato je podrobnejše analiziran samo spekter FT-IR pri $P = 0,5$, slika 4-23. Valovno število 3362 cm^{-1} kaže na prisotnost N–H in O–H vezi, vrha pri valovnih številah 2934 cm^{-1} in 2890 cm^{-1} lahko pripisemo prisotnosti in raztezanju $-\text{CH}_2\text{-NH}_2$. Valovno število pri 1635 cm^{-1} kaže na strižne vibracije vezi O–H. Vrh pri 1615 cm^{-1} kaže na prisotnost N–H in NH₂ skupin, vrh pri 1449 cm^{-1} pa prisotnost NH₄⁺ skupine. Vrh pri 1336 cm^{-1} ponazarja prisotnost $-\text{CH}_2\text{-NH}_2$. Asimetričnemu raztezanju vezi Si–O–Si pa ustreza valovno število pri $1038,4 \text{ cm}^{-1}$. Absorpcijski vrh pri 781 cm^{-1} ustreza kimanju in zvijanju NH₂ amino skupine. Absorpcijski vrh pri $562,9 \text{ cm}^{-1}$ ustreza razteznim vibracijam Fe–O vezi.



Slika 4-22. FT-IR $\gamma\text{-Fe}_2\text{O}_3\text{-NH}_4\text{OH}@\text{SiO}_2(\text{APTMS})$ nanodelcev z različnimi P

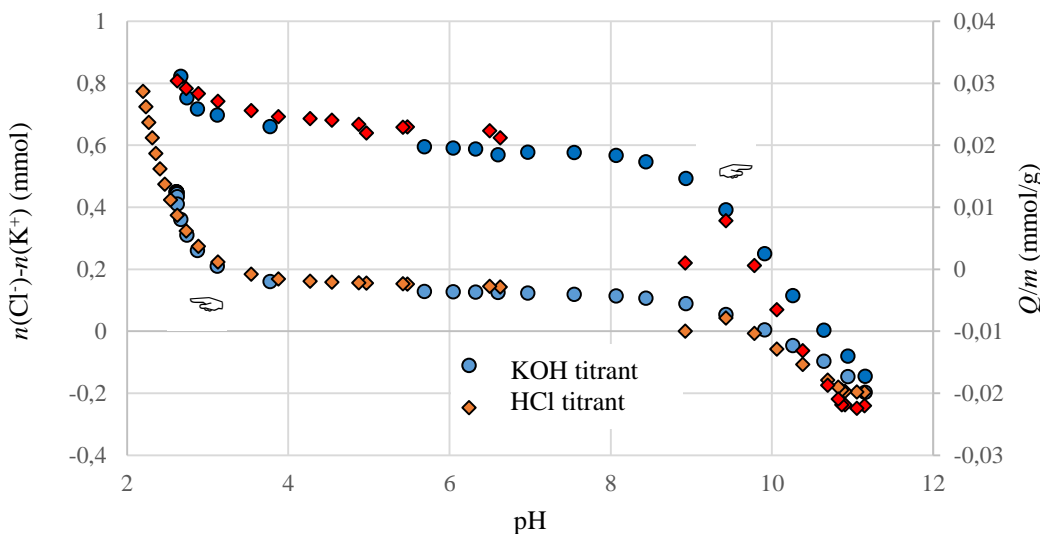


Slika 4-23. FT-IR $\gamma\text{-Fe}_2\text{O}_3\text{-NH}_4\text{OH}@\text{SiO}_2(\text{APTMS})$ nanodelcev

PT

S potenciometrično titracijo smo ugotavljali učinkovitost funkcionalizacije novo sintetiziranih $\gamma\text{-Fe}_2\text{O}_3\text{-NH}_4\text{OH@SiO}_2\text{(APTMS)}$ nanodelcev.

Rezultati potenciometrične titracije kažejo na učinkovito funkcionalizacijo sintetiziranih nanodelcev $\gamma\text{-Fe}_2\text{O}_3\text{-NH}_4\text{OH@SiO}_2\text{(APTMS)}$, in sicer pri različnih množinskih razmerjih. Z zmanjševanjem razmerja P oziroma z večjo množino APTMS glede na množino TEOS-a narašča množina funkcionaliziranih amino skupin. Množina funkcionaliziranih skupin pri razmerju $P = 1$ znaša $0,0264 \frac{\text{mmol}}{\text{g}}$, pri $P = 0,5$ pa $0,0448 \frac{\text{mmol}}{\text{g}}$ (70 % izboljšanje učinkovitosti funkcionalizacije glede na $P = 1$), medtem ko pri $P = 0,25$ znaša $0,0658 \frac{\text{mmol}}{\text{g}}$ (45 % izboljšanje učinkovitosti funkcionalizacije glede na $P = 0,5$). Glede na največji porast učinkovitosti funkcionalizacije so na sliki 4-24 prikazani rezultati potenciometrične titracije $\gamma\text{-Fe}_2\text{O}_3\text{-NH}_4\text{OH@SiO}_2\text{(APTMS)}$ nanodelcev pri $P = 0,5$. Titracijska izotermna krivulja kaže dva ločena koraka protonacije, in sicer v območju $3 < \text{pH} < 6$ in v območju $8 < \text{pH} < 11$.



Slika 4-24. PT $\gamma\text{-Fe}_2\text{O}_3\text{-NH}_4\text{OH@SiO}_2\text{(APTMS)}$ nanodelcev

Dobljena ločena koraka protonacije sta v skladu s teorijo, kjer se primarni amini $-\text{NH}_2$ protonirajo pri $\text{pH} \sim 9$, sekundarni amini $-\text{NH}$ pa pri vrednosti $\text{pH} \sim 4,5$ [203]. Rezultati PT kažejo, da z zmanjšanjem množinskega razmerja P narašča učinkovitost funkcionalizacije z amino skupinami $\gamma\text{-Fe}_2\text{O}_3\text{-NH}_4\text{OH@SiO}_2$ nanodelcev. Vendar pa je treba upoštevati, da z večjo funkcionalizacijo pada magnetizem nanodelcev, ki je potreben za uspešno odstranjevanje nanodelcev z adsorbiranimi RZE^{3+} iz vodnih raztopin, zato so za adsorpcijo izbrani sintetizirani $\gamma\text{-Fe}_2\text{O}_3\text{-NH}_4\text{OH@SiO}_2\text{(APTMS)}$ nanodelci z razmerjem $P = 0,5$.

BET

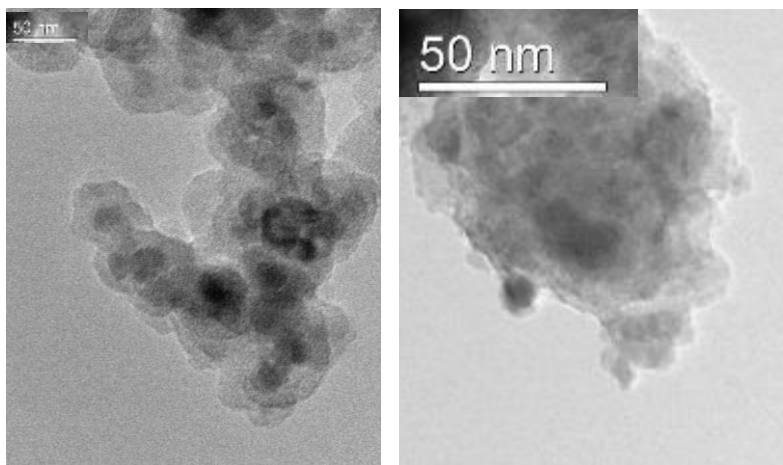
Z analizo BET je določena specifična površina novo sintetiziranih nanodelcev $\gamma\text{-Fe}_2\text{O}_3\text{-NH}_4\text{OH}@\text{SiO}_2(\text{APTMS})$, ki znaša $6,41 \text{ m}^2/\text{g}$. Pri adsorpciji BJH znaša srednji premer por $5,4 \text{ nm}$ z volumnom por $0,0505 \text{ cm}^3/\text{g}$, pri desorpciji BJH pa $5,7 \text{ nm}$ s skupnim volumnom por $0,0531 \text{ cm}^3/\text{g}$. Pri izmerjeni specifični površini $28,0 \text{ m}^2/\text{g}$ pri relativnem tlaku $0,3$ in ob upoštevanju gostote $\gamma\text{-Fe}_2\text{O}_3\text{-NH}_4\text{OH}@\text{SiO}_2(\text{APTMS})$ nanodelcev $\rho_{\text{ND}} = 4 \frac{\text{g}}{\text{cm}^3}$ izračunamo po enačbi (2.4) premer $\gamma\text{-Fe}_2\text{O}_3$ nanodelcev:

$$d_{\text{ND}} = \frac{6}{28 \frac{\text{m}^2}{\text{g}} \cdot 4 \frac{\text{g}}{\text{cm}^3}} = 53,6 \text{ nm.}$$

V razpoložljivi literaturi ni podatkov o analizi BET za $\gamma\text{-Fe}_2\text{O}_3\text{-NH}_4\text{OH}@\text{SiO}_2(\text{APTMS})$ nanodelce niti ne za nanodelce $\gamma\text{-Fe}_2\text{O}_3@\text{SiO}_2(\text{APTMS})$.

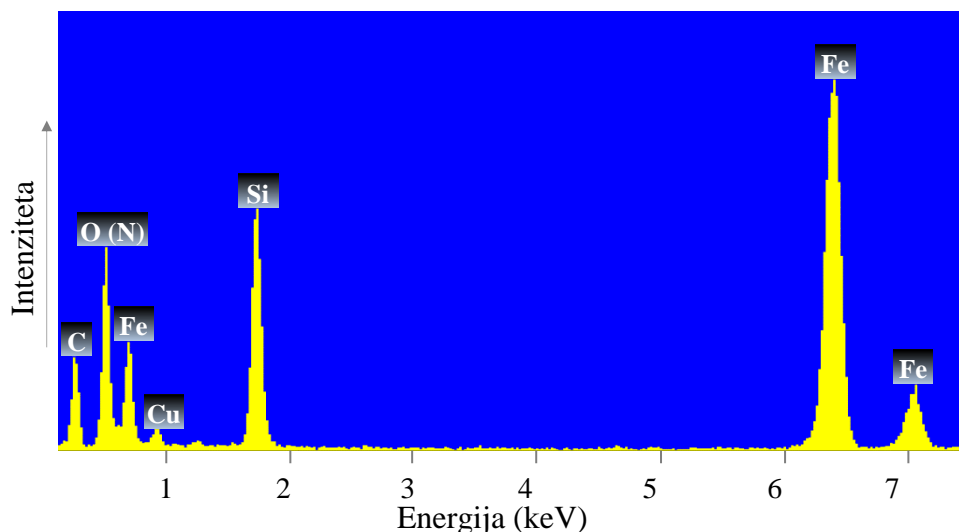
TEM/EDXS

Na sliki 4-25 je prikazan posnetek TEM za $\gamma\text{-Fe}_2\text{O}_3\text{-NH}_4\text{OH}@\text{SiO}_2(\text{APTMS})$ nanodelce, kjer ni izrazitega prispevka fukcionalizacije z APTMS. Na splošno je jasno, da so organske prevleke okoli nanodelcev na posnetkih TEM slabo vidne, ker je za organske prevleke značilen slab elektronsko-optični kontrast slike, poleg tega pa so te prevleke občutljive na ionizirajoče sevanje. Ocenjena velikost $\gamma\text{-Fe}_2\text{O}_3\text{-NH}_4\text{OH}@\text{SiO}_2(\text{APTMS})$ nanodelcev je v območju od 50 nm do 60 nm .



Slika 4-25. TEM $\gamma\text{-Fe}_2\text{O}_3\text{-NH}_4\text{OH}@\text{SiO}_2(\text{APTMS})$ nanodelcev

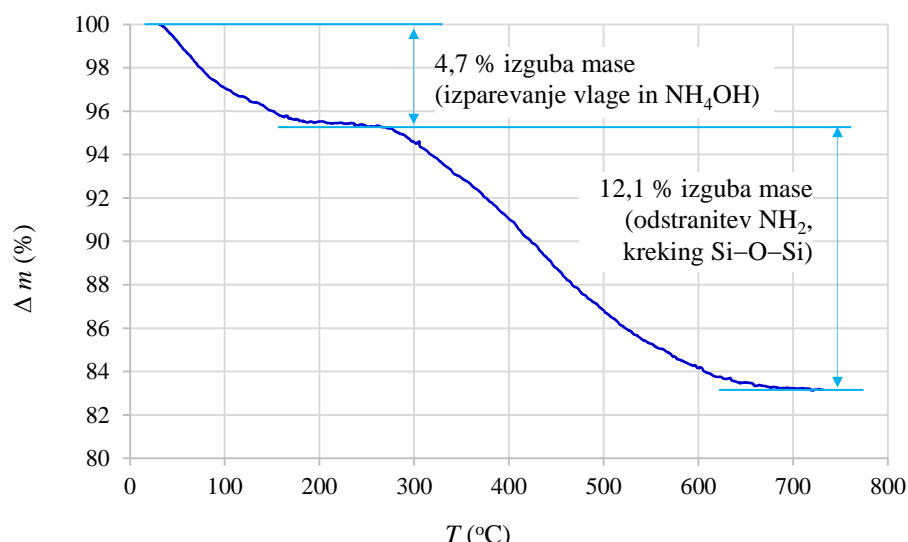
Na sliki 4-26 je prikazan spekter EDXS za $\gamma\text{-Fe}_2\text{O}_3\text{-NH}_4\text{OH}@\text{SiO}_2(\text{APTMS})$ nanodelce, kjer je razvidna prisotnost Fe, O (N), Si in C. Prisotnost Cu je posledica uporabe Cu mrežice, na kateri je vzorec pri EDXS analizi. Elementarna sestava potrjuje uspešnost sinteze magnetnega jedra, silikatne lupine in fukcionalizacije z amino skupinami.

Slika 4-26. EDXS $\gamma\text{-Fe}_2\text{O}_3\text{-NH}_4\text{OH}@\text{SiO}_2\text{(APTMS)}$ nanodelcev

Rezultati analize TEM [173] kažejo, da povprečni premer funkcionaliziranih $\gamma\text{-Fe}_2\text{O}_3@\text{SiO}_2\text{(APTMS)}$ nanodelcev znaša 100 nm, pri čemer je treba upoštevati, da ti nanodelci niso sintetizirani po enakih postopkih, kot so novi $\gamma\text{-Fe}_2\text{O}_3\text{-NH}_4\text{OH}@\text{SiO}_2\text{(APTMS)}$ nanodelci, sintetizirani v okviru magistrske naloge.

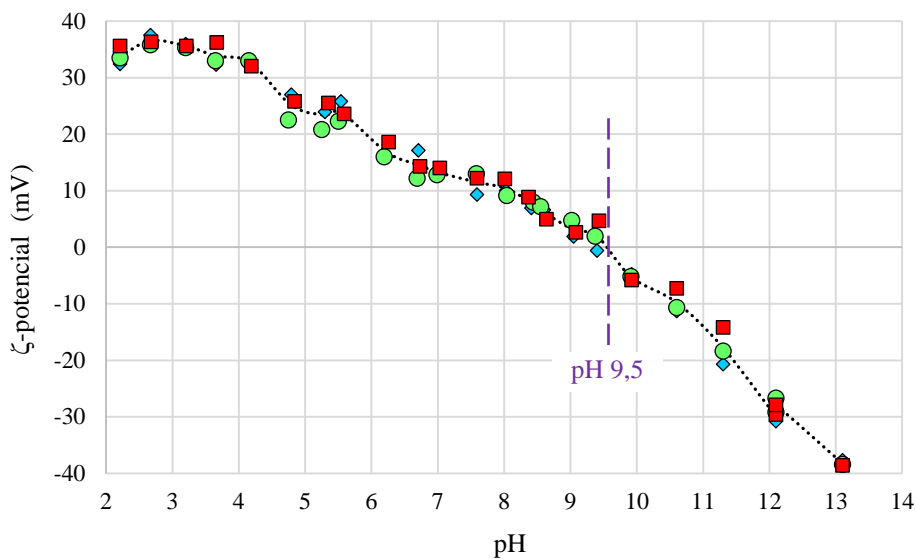
TGA

Na sliki 4-27 je prikazana izguba mase $\gamma\text{-Fe}_2\text{O}_3\text{-NH}_4\text{OH}@\text{SiO}_2\text{(APTMS)}$ nanodelcev pri segrevanju z uporabo analize TGA. Opazno je zmanjšanje mase nanodelcev $\gamma\text{-Fe}_2\text{O}_3\text{-NH}_4\text{OH}@\text{SiO}_2\text{(APTMS)}$ pri segrevanju do 180 °C za približno 4,7 %, kar lahko pripisemo izparevanju absorbirane vlage in NH_4OH . Z nadaljnjam segrevanjem je opazen še padec mase za nadalnjih 12,1 % v območju od 280 °C do 700 °C, kar lahko pripisemo odstranitvi $-\text{NH}_2$ amino skupin in krekingu verige siloksanov Si–O–Si.

Slika 4-27. TGA $\gamma\text{-Fe}_2\text{O}_3\text{-NH}_4\text{OH}@\text{SiO}_2\text{(APTMS)}$ nanodelcev

DLS

Na sliki 4-28 je prikazan ζ -potencial $\gamma\text{-Fe}_2\text{O}_3\text{-NH}_4\text{OH@SiO}_2(\text{APTMS})$ nanodelcev. Vidimo, da ζ -potencial zavzame pozitivne vrednosti v območju vse do pH 9,5. Izoelektrična točka je dosežena pri pH 9,5. Kationski polielektrolit APTMS, uporabljen za funkcionalizacijo magnetnih $\gamma\text{-Fe}_2\text{O}_3\text{-NH}_4\text{OH@SiO}_2$ nanodelcev torej omogoča pozitivno nabito površino v širokem območju pH. Prisotnost aminskega sloja na površini stabilizira ta koloidni nanokompozit. Nanodelci $\gamma\text{-Fe}_2\text{O}_3\text{-NH}_4\text{OH@SiO}_2(\text{APTMS})$ so stabilni v območju pH < 4,5 in pri pH > 12.



Slika 4-28. ζ -potencial $\gamma\text{-Fe}_2\text{O}_3\text{-NH}_4\text{OH@SiO}_2(\text{APTMS})$ nanodelcev

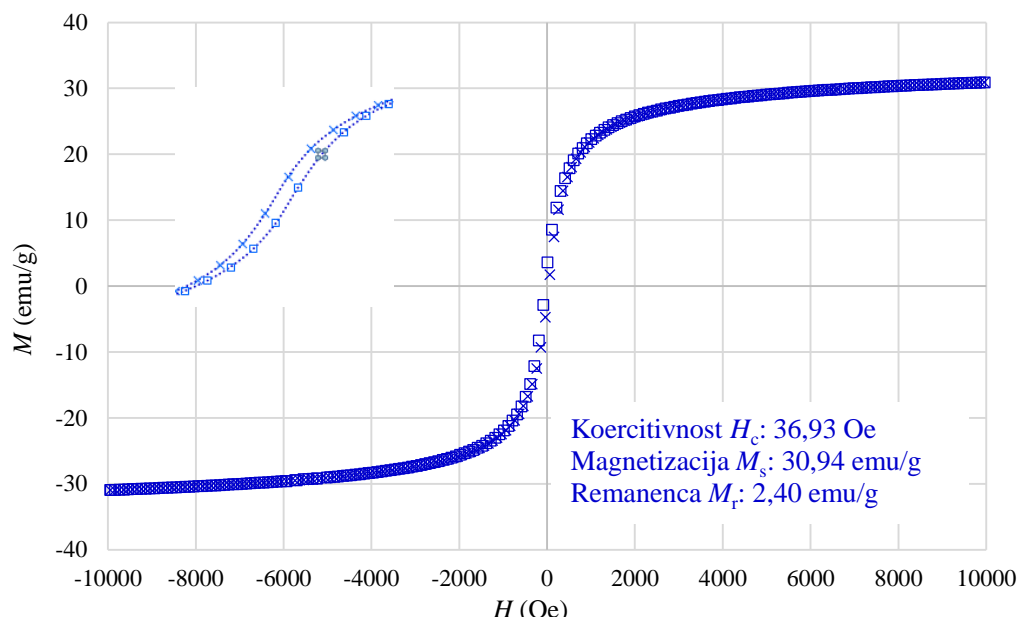
Gdula v literaturi [173] poroča o izoelektrični točki za $\gamma\text{-Fe}_2\text{O}_3@SiO_2(\text{APTMS})$ nanodelce pri pH > 9 in o vrednostih za ζ -potencial med +40 mV in +20 mV v območju med pH 3 in pH 9.

Primerjava rezultatov analize DLS novo sintetiziranih $\gamma\text{-Fe}_2\text{O}_3\text{-NH}_4\text{OH@SiO}_2(\text{APTMS})$ nanodelcev, slika 4-28, z rezultati iz literature [173] kaže dobro ujemanje vrednosti ζ -potenciala in pH izoelektrične točke.

VSM

Pri preučevanju magnetnih lastnosti $\gamma\text{-Fe}_2\text{O}_3\text{-NH}_4\text{OH@SiO}_2(\text{APTMS})$ nanodelcev pri različnih množinskih razmerjih P smo ugotovili, da se koercitivnost nahaja v območju od 35,99 Oe do 36,93 Oe, masna magnetizacija nasičenja je v območju od 30,39 emu/g do 33,53 emu/g, remanentna magnetizacija pa se nahaja v območju od 2,34 emu/g do 2,48 emu/g. Za odstranjevanje RZE³⁺ iz vodnih raztopin je zaželeno, da ima nanomaterial ob visoki masni magnetizaciji nasičenja čim nižjo koercitivnost in čim nižjo remanentno magnetizacijo, saj želimo, da nanodelci po odstranitvi zunanjega magnetnega polja ne kažejo magnetnega odziva. Glede na dobljene podatke je izbrana funkcionalizacija z množinskim razmerjem $P = 0,5$; slika 4-29. Pri teh $\gamma\text{-Fe}_2\text{O}_3\text{-NH}_4\text{OH@SiO}_2(\text{APTMS})$ nanodelcih v fazi magnetenja masna magnetizacija nasičenja M_s znaša 30,94 emu/g pri jakosti magnetnega polja $H = 10000$ Oe.

Z razmagnetenjem vzorca se vrednost magnetnega odziva zmanjšuje in remanentna magnetizacija M_r v vzorcu znaša 2,40 emu/g. Koercitivnost H_c za nanodelce $\gamma\text{-Fe}_2\text{O}_3\text{-NH}_4\text{OH}@\text{SiO}_2(\text{APTMS})$ pa znaša 36,93 Oe.



Slika 4-29. VSM $\gamma\text{-Fe}_2\text{O}_3\text{-NH}_4\text{OH}@\text{SiO}_2(\text{APTMS})$ nanodelcev

Masna magnetizacija nasičenja M_s , koercitivnost H_c in remanentna magnetizacija M_r se v primeru $\gamma\text{-Fe}_2\text{O}_3\text{-NH}_4\text{OH}@\text{SiO}_2(\text{APTMS})$ nanodelcev zmanjša glede na $\gamma\text{-Fe}_2\text{O}_3$ nanodelce, kar je posledica uspešnega nanosa SiO_2 lupine in funkcionalizacije z amino skupinami. Kljub vsemu pa je izmerjena vrednost M_s podobna magnetizaciji nasičenja $\gamma\text{-Fe}_2\text{O}_3$ nanodelcev, podani v [255][256]. Koercitivnost in remanentna magnetizacija nanodelcev $\gamma\text{-Fe}_2\text{O}_3\text{-NH}_4\text{OH}@\text{SiO}_2(\text{APTMS})$ sta praktično zanemarljivi, slika 4-29, zato so ti novo sintetizirani nanodelci primerni adsorbenti za odstranitev RZE^{3+} iz vodnih raztopin.

Za novo sintetizirane magnetne $\gamma\text{-Fe}_2\text{O}_3$, stabilizirane $\gamma\text{-Fe}_2\text{O}_3\text{-NH}_4\text{OH}$, obdane z lupino $\gamma\text{-Fe}_2\text{O}_3\text{-NH}_4\text{OH}@\text{SiO}_2$ in funkcionalizirane $\gamma\text{-Fe}_2\text{O}_3\text{-NH}_4\text{OH}@\text{SiO}_2(\text{APTMS})$ nanodelce smo za posamezne rezultate karakterizacije izvedli primerjalno analizo, ki je podana v prilogi 7.1.

4.3 Adsorpcija Tb^{3+}

Novo sintetizirane $\gamma\text{-Fe}_2\text{O}_3\text{-NH}_4\text{OH}@\text{SiO}_2$ (APTMS) nanodelce smo analizirali glede na učinkovitost adsorpcije Tb^{3+} iz pripravljenih standardnih vodnih raztopin, in sicer smo adsorpcijo določali s pomočjo fluorescence kompleksa Tb^{3+} s tironom. Analizirali smo torej sistem adsorbat/adsorbent $Tb^{3+}/\gamma\text{-Fe}_2\text{O}_3\text{-NH}_4\text{OH}@\text{SiO}_2$ (APTMS), tako da smo določili:

- ravnotežno maso adsorbenta,
- ustrezno enačbo kinetike adsorpcije (kinetična analiza),
- najstreznejšo adsorpcijsko izotermo (analiza vpliva koncentracije adsorbata),
- naravo adsorpcije (termodinamična analiza).

Za določanje afinitete Tb^{3+} do sintetiziranih nanodelcev smo najprej določili umeritveno krivuljo za kompleks Tb^{3+} s tironom in izvedli karakterizacijo sistema $Tb^{3+}/\gamma\text{-Fe}_2\text{O}_3\text{-NH}_4\text{OH}@\text{SiO}_2$ (APTMS).

4.3.1 Umeritvena krivulja Tb^{3+} kompleksa s tironom

Ker Tb^{3+} ne fluorescira sami po sebi, smo pripravili komplekse Tb^{3+} z ustreznim ligandom z namenom zaznavanja fluorescence. Valovna dolžina vzbujanja za kompleks Tb^{3+} s tironom, določena s spektroskopijo UV/VIS, znaša 312 nm.

Z razapljanjem soli v $d\text{H}_2\text{O}$ pri temperaturi 25 °C smo pripravili 10^{-4} M raztopino $\text{TbCl}_3\cdot6\text{H}_2\text{O}$, 10^{-4} M raztopino tiron monohidrata $\text{C}_6\text{H}_4\text{Na}_2\text{O}_8\text{S}_2\cdot\text{H}_2\text{O}$ in $0,05\text{ M}$ raztopino TRIS pufra (pH 7).

Za določitev umeritvene krivulje za adsorpcijo Tb^{3+} iz standardnih vodnih raztopin smo pripravili slepi vzorec (brez Tb^{3+}) ter serijo standardnih vodnih raztopin Tb^{3+} s tironom (kompleks Tb^{3+} s tironom) v različnih množinskih razmerjih pri končnem volumnu raztopine 5 mL, tabela 4-2.

Tabela 4-2. Sledi vzorec in standardne raztopine za umeritveno krivuljo Tb^{3+}

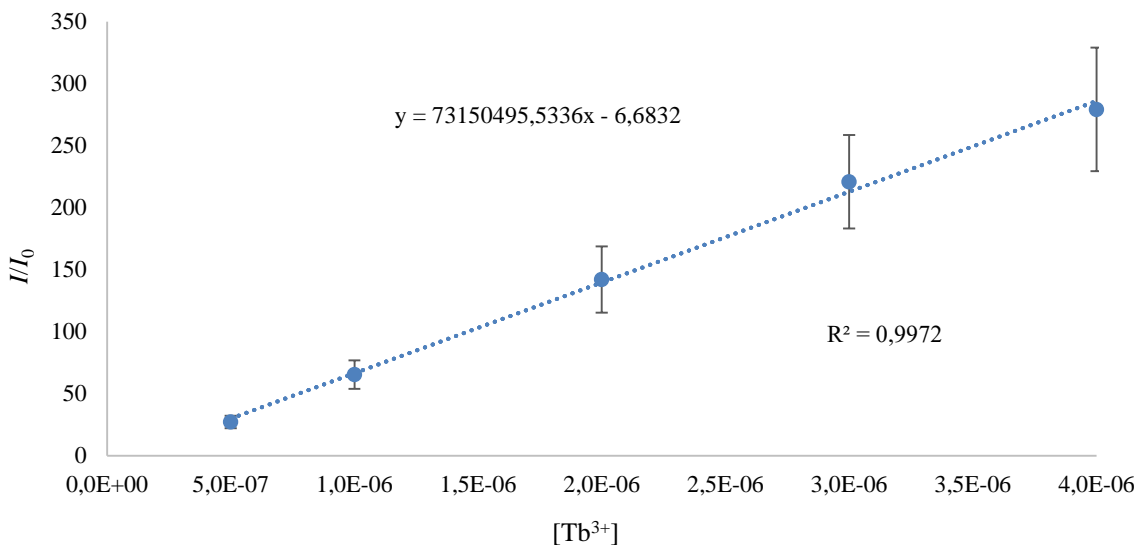
Raztopina	$\frac{n(\text{Tb}^{3+})}{n(\text{Tiron})}$	$V_r(\text{Tiron})$ (mL)	$V_r(\text{TRIS})$ (mL)	$V_r(\text{Tb}^{3+})$ (mL)	$V(d\text{H}_2\text{O})$ (mL)	$c(\text{Tb}^{3+})$ (M)
1	0			0,000	3,500	0
2	0,05			0,025	3,745	$0,5\cdot10^{-6}$
3	0,10			0,050	3,450	$1,0\cdot10^{-6}$
4	0,20	0,5	1	0,100	3,400	$2,0\cdot10^{-6}$
5	0,30			0,150	3,350	$3,0\cdot10^{-6}$
6	0,40			0,200	3,300	$4,0\cdot10^{-6}$

Pripravljenim raztopinam smo izmerili fluorescenco pri valovni dolžini vzbujanja 312 nm. Intenzitete absorbanc smo odčitali pri valovni dolžini 547 nm, kjer se pojavijo največji emisijski vrhovi kompleksa Tb^{3+} s tironom, slika 4-30.



Slika 4-30. Intenzitete absorbanc Tb^{3+} kompleksa

Umeritvena krivulja z determinacijskim koeficientom $R^2 = 0,9972$ za adsorpcijo Tb^{3+} iz vodnih raztopin je prikazana na sliki 4-31.



Slika 4-31. Umeritvena krivulja za Tb^{3+}

Za koncentracijo Tb^{3+} pred adsorpcijo ($c_{ads,0}$) smo izbrali $2,0 \cdot 10^{-6}$, tabela 4-2, ki ustreza razmerju intenzitet absorbanc standardne raztopine 4 ($I_{pred\ ad}$) in slepega vzorca (I_0) iz umeritvene krivulje, slika 4-31. Za vzorce z neznano koncentracijo smo uporabili standardno raztopino 4, pri čemer smo namesto raztopine Tb^{3+} uporabili enak volumen supernatanta, ki smo ga dobili po končani adsorpciji Tb^{3+} na sintetizirane nanodelce. Adsorpcija je potekala v 20 mL pri določeni začetni koncentraciji Tb^{3+} $c_{ads,0}$, z določeno maso adsorbenta m_{ND} , v določenem času t_{ad} in pri določeni temperaturi T_{ad} . Adsorbirane Tb^{3+} na nanodelcih smo ločili z zunanjim magnetom iz raztopine, supernatant pa uporabili za fluorescenčno spektroskopijo.

Pogoji za določitev ravnotežne mase adsorbenta $m_{ND,eq}$ za adsorpcijo Tb^{3+} :

- m_{ND} : 5 mg, 10 mg, 20 mg, 30 mg, 40 mg;
 $t_{ad} = 120$ min, $c_{ads,0} = 2 \cdot 10^{-6}$ M in $T_{ad} = 25$ °C.

Pogoji za določitev ravnotežnega časa adsorpcije $t_{ad,eq}$ za adsorpcijo Tb^{3+} :

- t_{ad} : 30 min, 60 min, 90 min, 120 min, 240 min, 720 min in 1440 min;
 $m_{NP,eq}$, $c_{ads,0} = 2 \cdot 10^{-6}$ M in $T_{ad} = 25$ °C.

Pogoji za določitev optimalne začetne koncentracije Tb^{3+} $c_{ads,0,opt}$ za adsorpcijo:

- $c_{ads,0}$: $5 \cdot 10^{-7}$ M, $1 \cdot 10^{-6}$ M, $2 \cdot 10^{-6}$ M, $3 \cdot 10^{-6}$ M in $4 \cdot 10^{-6}$ M;
 $m_{NP,eq}$, $t_{ad,eq}$ in $T_{ad} = 25$ °C.

Pogoji za določitev optimalne temperature $T_{ad,opt}$ za adsorpcijo Tb^{3+} :

- T_{ad} : 25 °C, 50 °C, 75 °C;
 $m_{ND,eq}$, $c_{ads,0,opt}$ in $t_{ad,eq}$.

4.3.2 Afiniteta Tb^{3+} do $\gamma\text{-Fe}_2\text{O}_3\text{-NH}_4\text{OH@SiO}_2\text{(APTMS)}$

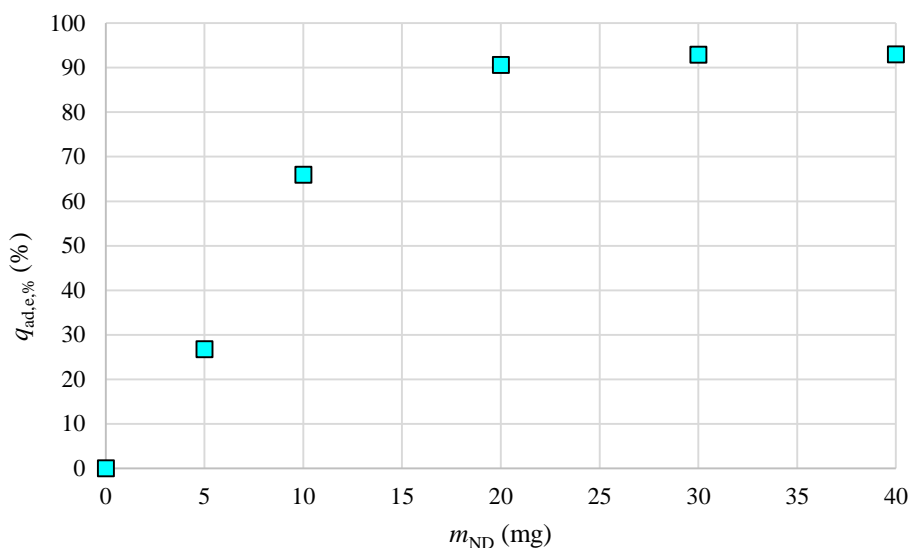
Analizo adsorpcije Tb^{3+} na novo sintetizirane $\gamma\text{-Fe}_2\text{O}_3\text{-NH}_4\text{OH@SiO}_2\text{(APTMS)}$ nanodelce smo izvedli s pomočjo merjenja intenzitete fluorescence kompleksov Tb^{3+} s tironom in umeritvene krivulje za komplekse Tb^{3+} s tironom, slika 4-31.

Vpliv masa adsorbenta – ravnotežna masa adsorbenta

Vpliv mase adsorbenta m_{ND} na adsorpcijo, ki smo ga preučevali pri:

- času adsorpcije $t_{ad} = 120$ min,
- začetni koncentraciji $Tb^{3+} c_{ads,0} = 2 \cdot 10^{-6}$ M in
- temperaturi adsorpcije $T_{ad} = 25$ °C,

je prikazan na sliki 4-32. Z naraščanjem mase adsorbenta do 30 mg učinkovitost adsorpcije $q_{ad,e,\%}$ narašča, nadaljnje povečevanje mase pa nima več vpliva na učinkovitost adsorpcije. Največji gradient učinkovitosti adsorpcije je dosežen pri nižjih masah adsorbenta, do 10 mg. Ravnotežna masa adsorbenta $m_{ND,eq}$, pri kateri se učinkovitost adsorpcije ne spreminja več, znaša 30 mg, slika 4-32.



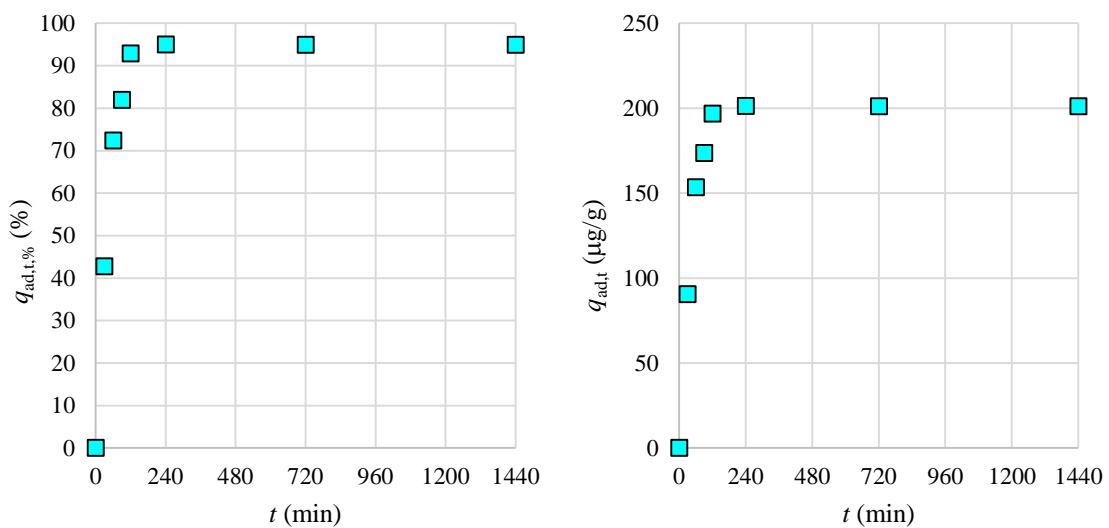
Slika 4-32. Vpliv mase ND na adsorpcijo: $Tb^{3+}/\gamma\text{-Fe}_2\text{O}_3\text{-NH}_4\text{OH}@Si\text{O}_2$ (APTMS)

Vpliv časa adsorpcije – kinetični modeli adsorpcije

Časovna odvisnost adsorpcije Tb^{3+} na površino $\gamma\text{-Fe}_2\text{O}_3\text{-NH}_4\text{OH}@Si\text{O}_2$ (APTMS) nanodelcev, ki smo jo določali pri:

- optimalni masi nanodelcev $m_{ND} = 30$ mg,
- začetni koncentraciji $Tb^{3+} c_{ads,0} = 2 \cdot 10^{-6}$ M in
- temperaturi adsorpcije $T_{ad} = 25$ °C,

je prikazana na sliki 4-33. S podaljševanjem časa adsorpcije do 120 minut, učinkovitost adsorpcije $q_{ad,t,\%}$ izrazito narašča. Trajanje adsorpcije več kot 120 minut pa ni smiselno, saj se učinkovitost adsorpcije praktično ne spreminja več. Prav tako tudi adsorpcijska kapaciteta $q_{ad,t}$ izrazito narašča pri trajanju adsorpcije do 120 minut. Ravnotežni čas adsorpcije $t_{ad,eq}$, pri kateri se učinkovitost adsorpcije $q_{ad,t,\%} = 95\%$ oziroma adsorpcijska kapaciteta $q_{ad,t} = 201 \frac{\mu\text{g}}{\text{g}}$ ne spreminja več, znaša torej 120 minut.

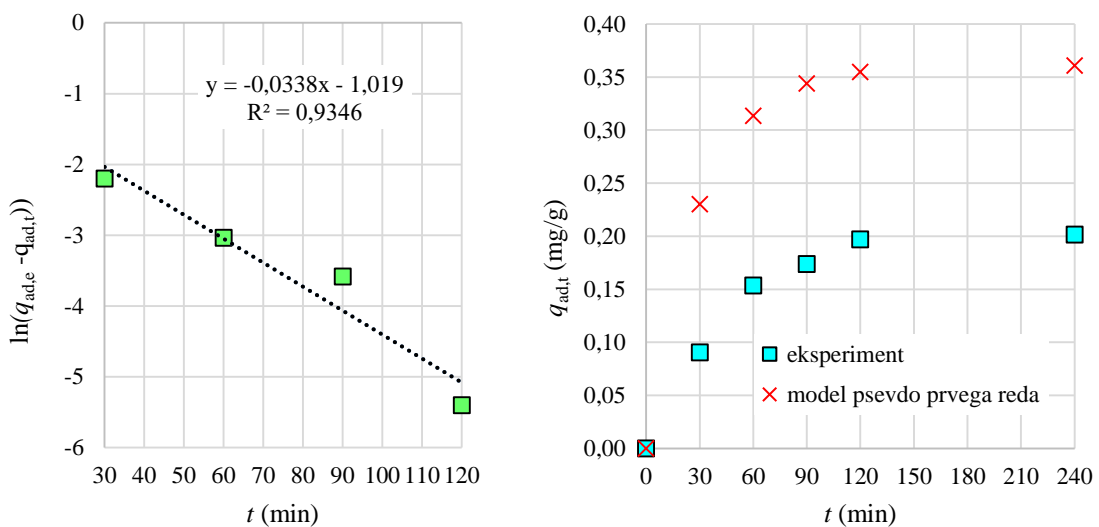
Slika 4-33. Časovna odvisnost adsorpcije: $\text{Tb}^{3+}/\gamma\text{-Fe}_2\text{O}_3\text{-NH}_4\text{OH@SiO}_2(\text{APTMS})$

Za eksperimentalno dobljene rezultate adsorpcije Tb^{3+} na $\gamma\text{-Fe}_2\text{O}_3\text{-NH}_4\text{OH@SiO}_2(\text{APTMS})$ nanodelce smo testirali psevdo prvega reda, Elovichev model in kinetični model psevdo drugega reda. V tabeli 4-3 so zbrani parametri kinetičnih modelov sistema $\text{Tb}^{3+}/\gamma\text{-Fe}_2\text{O}_3\text{-NH}_4\text{OH@SiO}_2(\text{APTMS})$.

Tabela 4-3. Parametri kinetičnih modelov za adsorpcijo Tb^{3+}

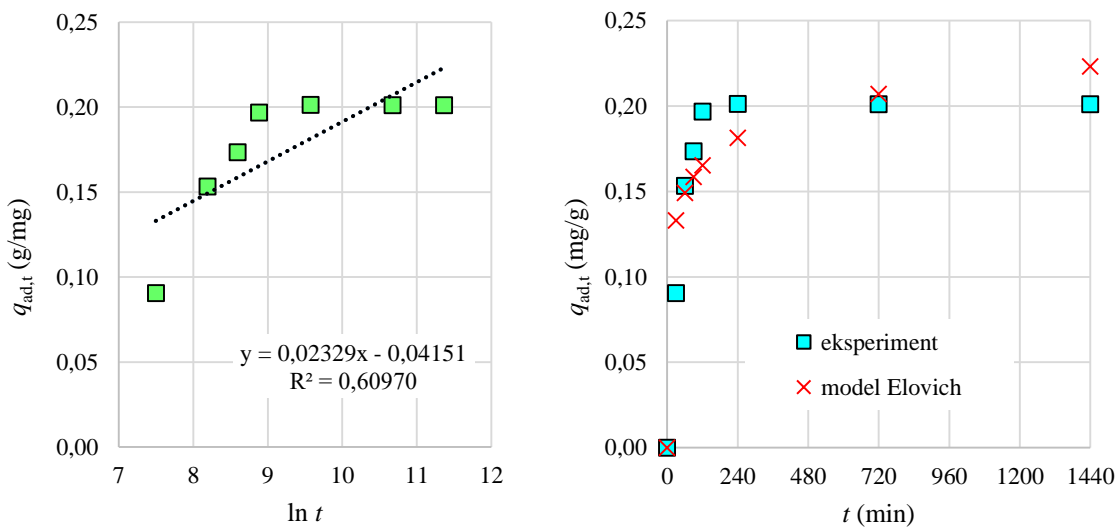
Kinetični model	Parametri	Tb^{3+}
Psevdo prvega reda	$k_1 \left(\frac{1}{\text{min}} \right)$	0,0338
	$q_{ad,e} \left(\frac{\text{mg}}{\text{g}} \right)$	0,3610
	R^2	0,9346
Elovich	$\alpha_E \left(\frac{\text{mg}}{\text{g s}} \right)$	0,0039
	$\beta_E \left(\frac{\text{g}}{\text{mg}} \right)$	42,9369
	R^2	0,6097
Psevdo drugega reda	$k_2 \left(\frac{\text{g}}{\text{mg min}} \right)$	0,3030
	$q_{ad,e} \left(\frac{\text{mg}}{\text{g}} \right)$	0,2041
	R^2	0,9995

Slika 4-34 prikazuje kinetični model psevdo prvega reda in primerjavo eksperimentalno dobljenih adsorpcijskih kapacitet s kinetičnim modelom psevdo prvega reda.



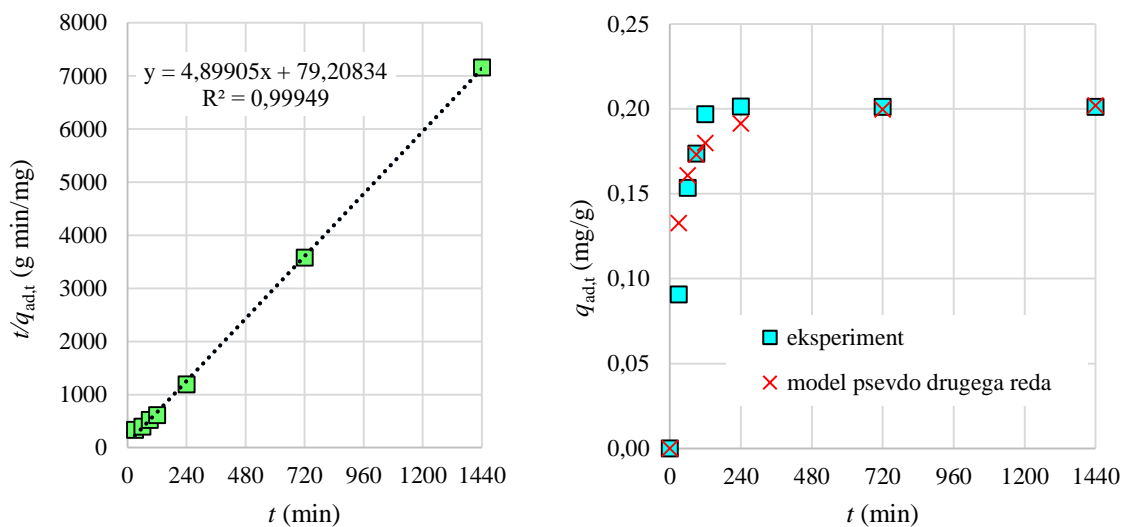
Slika 4-34. Kinetični model psevdo prvega reda: $\text{Tb}^{3+}/\gamma\text{-Fe}_2\text{O}_3\text{-NH}_4\text{OH@SiO}_2(\text{APTMS})$

Rezultati adsorpcije kinetičnega modela Elovich so prikazani na sliki 4-35.



Slika 4-35. Kinetični model Elovich: $\text{Tb}^{3+}/\gamma\text{-Fe}_2\text{O}_3\text{-NH}_4\text{OH@SiO}_2(\text{APTMS})$

Slika 4-36 prikazuje kinetični model psevdo drugega reda in primerjavo eksperimentalno dobljenih adsorpcijskih kapacitet s kinetičnim modelom psevdo drugega reda.



Slika 4-36. Kinetični model psevdo drugega reda: $\text{Tb}^{3+}/\gamma\text{-Fe}_2\text{O}_3\text{-NH}_4\text{OH@SiO}_2(\text{APTMS})$

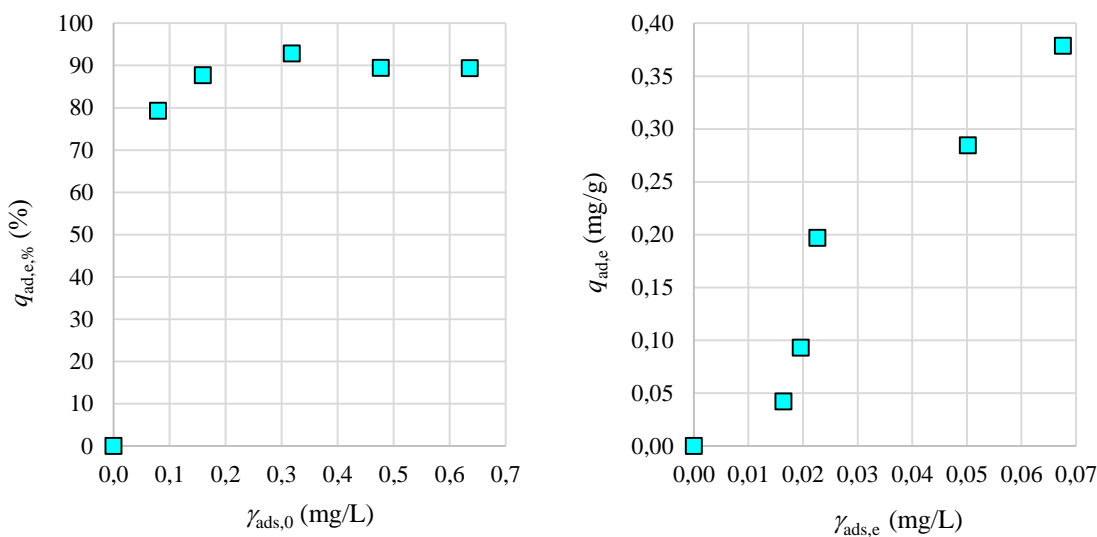
Iz primerjave izračunanih in eksperimentalno dobljenih vrednosti q_{ad} , od slike 4-34 do slike 4-36, je razvidno, da spremembo adsorpcijske kapacitete Tb^{3+} na $\gamma\text{-Fe}_2\text{O}_3\text{-NH}_4\text{OH@SiO}_2(\text{APTMS})$ nanodelce v odvisnosti od časa najbolje opiše kinetični model psevdo drugega reda, ki opisuje kemijsko adsorpcijo in upošteva izmenjavo elektronov med adsorbentom in adsorbatom.

Vpliv začetne koncentracije Tb^{3+} – adsorpcijske izoterme

Vpliv začetne masne koncentracije $\gamma_{ads,0}$ Tb^{3+} na adsorpcijo Tb^{3+} na $\gamma\text{-Fe}_2\text{O}_3\text{-NH}_4\text{OH@SiO}_2(\text{APTMS})$ nanodelce, ki smo jo preučevali pri:

- ravnotežni masi nanodelcev $m_{ND,eq} = 30\text{ mg}$,
- ravnotežnem času adsorpcije $t_{ad,eq} = 120 \text{ min}$ in
- temperaturi adsorpcije $T_{ad} = 25^\circ\text{C}$

je prikazana na sliki 4-37. Slike 4-37 je razvidno, da optimalna začetna masna koncentracija Tb^{3+} $\gamma_{ads,0,opt}$, pri kateri je učinkovitost adsorpcije največja, znaša $0,3179 \frac{\text{mg}}{\text{L}}$, kar ustreza začetni množinski koncentraciji $2 \cdot 10^{-6} \text{ M}$ ($c_{ads,0,opt}$). Vpliv ravnotežnih masnih koncentracij $\gamma_{ads,e}$, dobljenih iz umeritvene krivulje pri različnih začetnih masnih koncentracijah $\gamma_{ads,0}$, na adsorpcijsko kapaciteto je prav tako prikazan na sliki 4-37. Glede na obliko krivulje adsorpcijske kapacitete $q_{ad,e}$ v odvisnosti od ravnotežne masne koncentracije $\gamma_{ads,e}$ lahko sklepamo, da je adsorpcija Tb^{3+} S-tipa, za katero so značilne močne interakcije med adsorbatom Tb^{3+} in adsorbentom $\gamma\text{-Fe}_2\text{O}_3\text{-NH}_4\text{OH@SiO}_2(\text{APTMS})$.

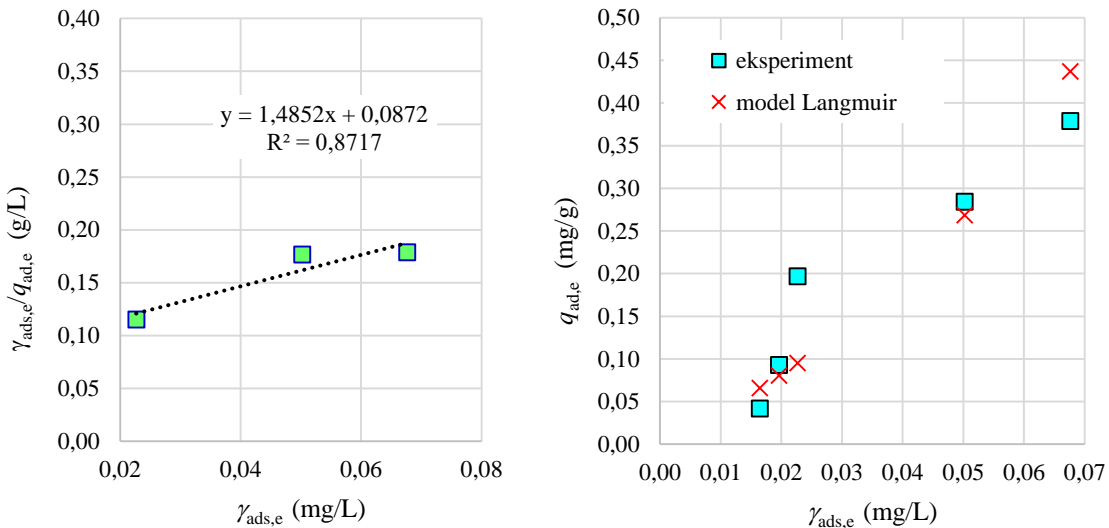
Slika 4-37. Vpliv začetne koncentracije Tb^{3+} : $\text{Tb}^{3+}/\gamma\text{-Fe}_2\text{O}_3\text{-NH}_4\text{OH@SiO}_2(\text{APTMS})$

Za eksperimentalno dobljene rezultate adsorpcije Tb^{3+} na $\gamma\text{-Fe}_2\text{O}_3\text{-NH}_4\text{OH@SiO}_2(\text{APTMS})$ nanodelce smo testirali Langmuirjevo, Freundlichovo, Dubinin-Radushkevichovo in Temkinovo adsorpcijsko izotermu. Parametri za posamezne adsorpcijske izoterme so zbrani v tabeli 4-4.

Tabela 4-4. Parametri adsorpcijskih izoterm $\text{Tb}^{3+}/\gamma\text{-Fe}_2\text{O}_3\text{-NH}_4\text{OH@SiO}_2(\text{APTMS})$

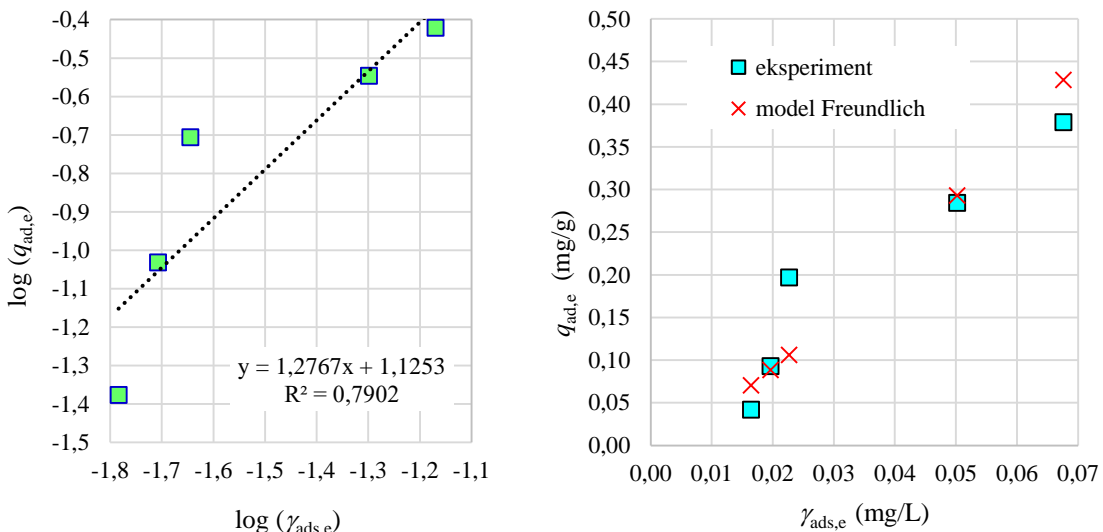
Adsorpcijska izoterna	Parametri	Tb^{3+}
Langmuir	$K_L \left(\frac{\text{L}}{\text{mg}} \right)$	17,0321
	$q_m \left(\frac{\text{mg}}{\text{g}} \right)$	0,6733
	R^2	0,8717
Freundlich	$K_F \left(\frac{\text{mg} \cdot (\text{L})^{\frac{1}{n}}}{\text{g}} \right)$	13,3444
	$n (/)$	0,7833
	R^2	0,7902
Dubinin-Radushkevich	$q_s \left(\frac{\text{mg}}{\text{g}} \right)$	1,8643
	$K_{DR} \left(\frac{\text{mol}^2}{\text{kJ}^2} \right)$	$3,1861 \cdot 10^{-8}$
	R^2	0,8163
Temkin	$b_T \left(\frac{\text{J g}}{\text{mol mg}} \right)$	$1,1605 \cdot 10^4$
	$A_T \left(\frac{\text{L}}{\text{g}} \right)$	$8,4242 \cdot 10^4$
	R^2	0,9333

Slika 4-38 prikazuje Langmuirjevo adsorpcijsko izotermo ter primerjavo eksperimentalno dobljenih adsorpcijskih kapacitet z Langmuirjevim modelom. Langmuirjeva izoterma ne opisuje dobro S-tipa adsorpcije, zato je ujemanje Langmurjeve izoterme z eksperimentalnimi podatki nesprejemljivo.



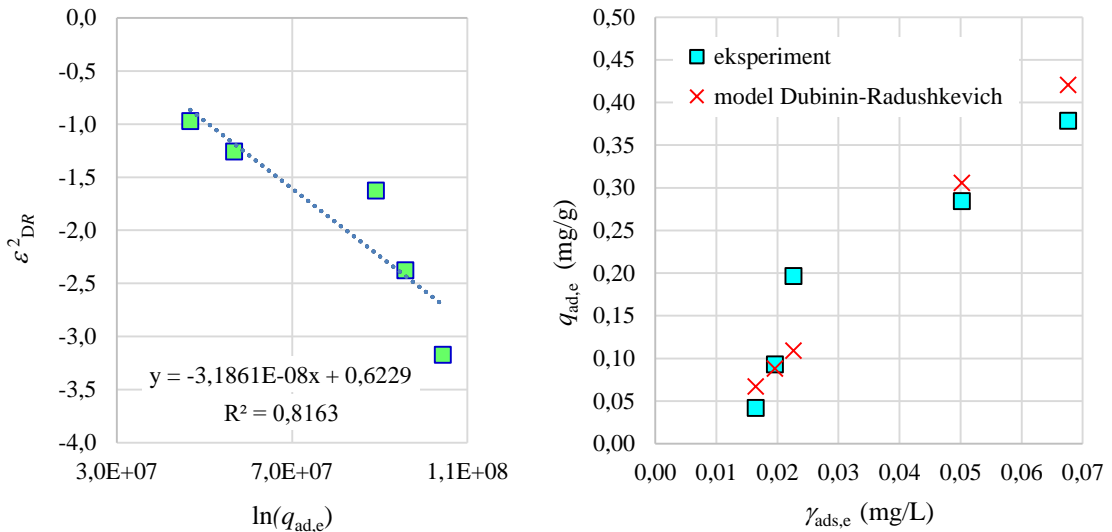
Slika 4-38. Langmuirjeva izoterma: $Tb^{3+}/\gamma\text{-Fe}_2\text{O}_3\text{-NH}_4\text{OH@SiO}_2(\text{APTMS})$

Slika 4-39 prikazuje Freundlichovo adsorpcijsko izotermo ter primerjavo eksperimentalno dobljenih adsorpcijskih kapacitet s Freundlichovim modelom. Kot je razvidno s slike 4-39, Freundlichova izoterma dokaj dobro opisuje adsorpcijo Tb^{3+} na nanodelce $\gamma\text{-Fe}_2\text{O}_3\text{-NH}_4\text{OH@SiO}_2(\text{APTMS})$.



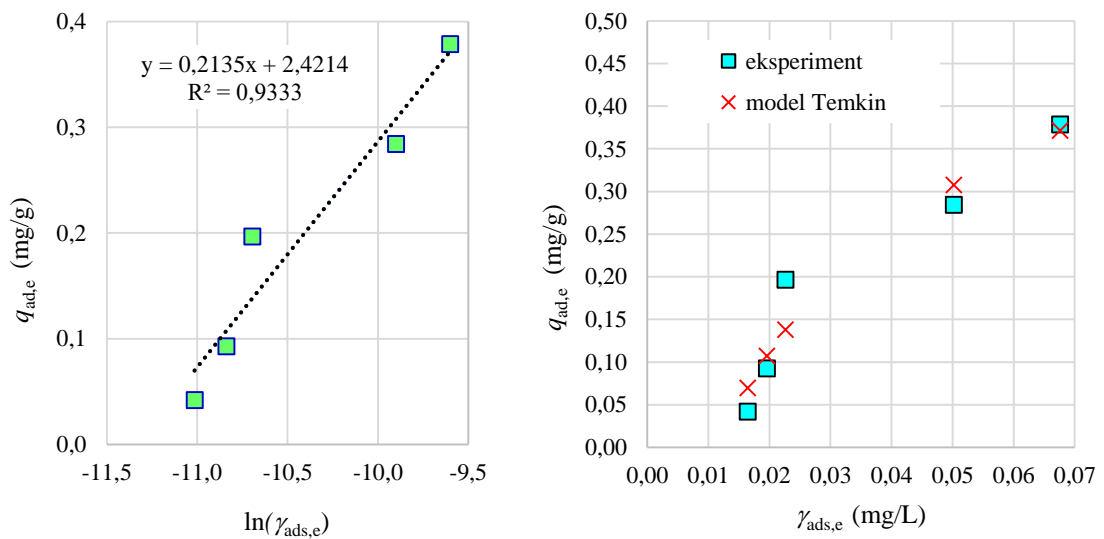
Slika 4-39. Freundlichova izoterma: $Tb^{3+}/\gamma\text{-Fe}_2\text{O}_3\text{-NH}_4\text{OH@SiO}_2(\text{APTMS})$

Dubinin-Radushkevicheva adsorpcijska izoterma ter primerjava eksperimentalno dobljenih adsorpcijskih kapacitet z Dubinin-Radushkevichevim modelom je prikazana na sliki 4-40. Kot je razvidno s slike 4-40, Dubinin-Radushkevicheva izoterma dobro opisuje adsorpcijo Tb^{3+} na $\gamma\text{-Fe}_2\text{O}_3\text{-NH}_4\text{OH}@\text{SiO}_2(\text{APTMS})$ nanodelce.



Slika 4-40. Dubinin-Radushkevicheva izoterma: $Tb^{3+}/\gamma\text{-Fe}_2\text{O}_3\text{-NH}_4\text{OH}@\text{SiO}_2(\text{APTMS})$

Temkinova adsorpcijska izoterma ter primerjava eksperimentalno dobljenih adsorpcijskih kapacitet s Temkinim modelom je prikazana na sliki 4-41. Kot je razvidno s slike 4-41, Temkinova izoterma zelo dobro opisuje adsorpcijo Tb^{3+} na $\gamma\text{-Fe}_2\text{O}_3\text{-NH}_4\text{OH}@\text{SiO}_2(\text{APTMS})$.

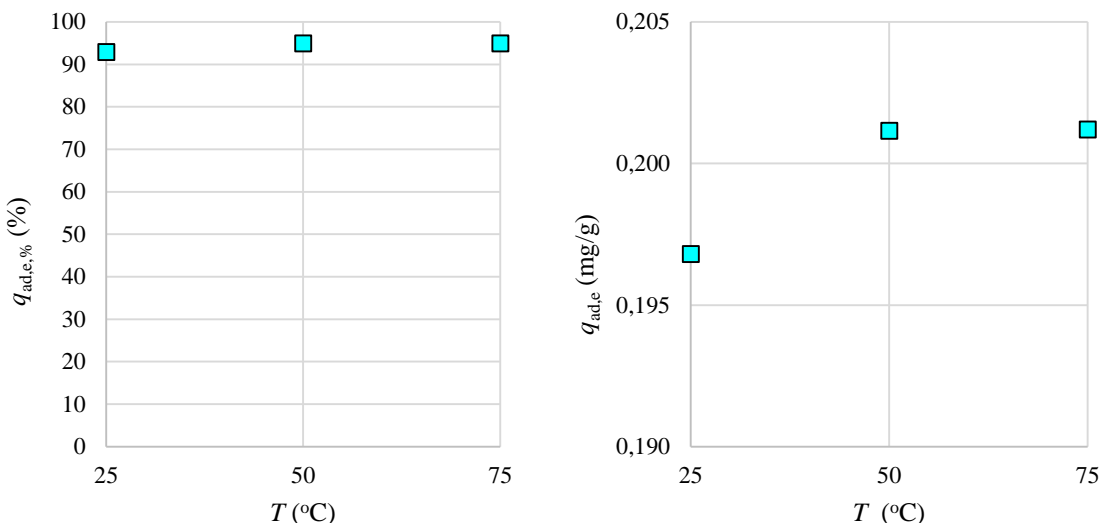


Slika 4-41. Temkinova adsorpcijska izoterma: $Tb^{3+}/\gamma\text{-Fe}_2\text{O}_3\text{-NH}_4\text{OH}@\text{SiO}_2(\text{APTMS})$

Glede na prikazane rezultate od slike 4-38 do slike 4-41 lahko zaključimo, da adsorpcijo Tb^{3+} na $\gamma\text{-Fe}_2\text{O}_3\text{-NH}_4\text{OH}@\text{SiO}_2(\text{APTMS})$ nanodelce najbolje opiše Temkinova adsorpcijska izoterma. Na osnovi tega lahko sklepamo, da površina $\gamma\text{-Fe}_2\text{O}_3\text{-NH}_4\text{OH}@\text{SiO}_2(\text{APTMS})$ nanodelca z energetskega stališča ni homogena oziroma da energija, s katero se vsak Tb^{3+} veže na površino nanodelca, ni enaka v vsaki točki površine.

Vpliv temperature – termodinamika adsorpcije

Vpliv temperature adsorpcije na učinkovitost adsorpcije in adsorpcijsko kapaciteto Tb^{3+} na $\gamma\text{-Fe}_2\text{O}_3\text{-NH}_4\text{OH@SiO}_2\text{(APTMS)}$ pri ravnotežni masi nanodelcev $m_{\text{ND,eq}} = 30 \text{ mg}$, optimalni koncentraciji Tb^{3+} $c_{\text{ads,0,opt}} = 2 \cdot 10^{-6} \text{ M}$ in pri ravnotežnem času adsorpcije $t_{\text{ad,eq}} = 120 \text{ min}$ je prikazan na sliki 4-42.



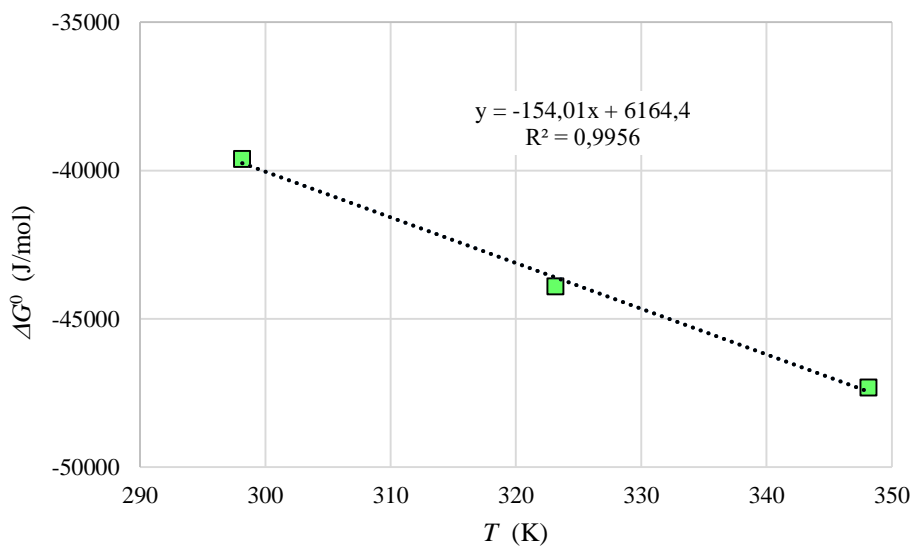
Slika 4-42. Vpliv temperature na adsorpcijo: $\text{Tb}^{3+}/\gamma\text{-Fe}_2\text{O}_3\text{-NH}_4\text{OH@SiO}_2\text{(APTMS)}$

S slike 4-42 je razvidno, da je že pri sobni temperaturi učinkovitost adsorpcije Tb^{3+} na $\gamma\text{-Fe}_2\text{O}_3\text{-NH}_4\text{OH@SiO}_2\text{(APTMS)}$ nanodelce zadovoljiva. Tabela 4-5 prikazuje termodinamične veličine pri različnih temperaturah adsorpcije. Zmanjšanje proste Gibbsove energije ΔG^0 z naraščajočo temperaturo kaže na rahlo povečano učinkovitost adsorpcije pri višjih temperaturah.

Tabela 4-5. Termodinamične veličine za $\text{Tb}^{3+}/\gamma\text{-Fe}_2\text{O}_3\text{-NH}_4\text{OH@SiO}_2(\text{APTMS})$

Temperatura (°C)	Veličine	Tb^{3+}
25	$\Delta G^0 \left(\frac{\text{J}}{\text{mol}} \right)$	-39606
	$\Delta H^0 \left(\frac{\text{J}}{\text{mol}} \right)$	6164
	$\Delta S^0 \left(\frac{\text{J}}{\text{mol K}} \right)$	154
50	$\Delta G^0 \left(\frac{\text{J}}{\text{mol}} \right)$	-43900
	$\Delta H^0 \left(\frac{\text{J}}{\text{mol}} \right)$	6164
	$\Delta S^0 \left(\frac{\text{J}}{\text{mol K}} \right)$	154
75	$\Delta G^0 \left(\frac{\text{J}}{\text{mol}} \right)$	-47307
	$\Delta H^0 \left(\frac{\text{J}}{\text{mol}} \right)$	6164
	$\Delta S^0 \left(\frac{\text{J}}{\text{mol K}} \right)$	154

Slika 4-43 prikazuje prosto Gibbsovo energijo v odvisnosti od temperature za sistem $\text{Tb}^{3+}/\gamma\text{-Fe}_2\text{O}_3\text{-NH}_4\text{OH@SiO}_2(\text{APTMS})$.

Slika 4-43. Vpliv temperature na ΔG^0 pri adsorpciji Tb^{3+}

V primeru adsorpcije Tb^{3+} na $\gamma\text{-Fe}_2\text{O}_3\text{-NH}_4\text{OH@SiO}_2(\text{APTMS})$ nanodelce je dobljena sprememba standardne entalpije oziroma toplota adsorpcije $\Delta H^0 > 0$, zato je adsorpcija Tb^{3+} endotermna reakcija. Dobljena negativna vrednost Gibbsove proste energije ΔG^0 kaže na spontan proces adsorpcije Tb^{3+} na $\gamma\text{-Fe}_2\text{O}_3\text{-NH}_4\text{OH@SiO}_2(\text{APTMS})$ nanodelce.

Endotermno in spontano reakcijo adsorpcije Tb^{3+} na $\gamma\text{-Fe}_2\text{O}_3\text{-NH}_4\text{OH@SiO}_2(\text{APTMS})$ nanodelce lahko razložimo z dobrim raztopljanjem Tb^{3+} v vodi. Pri raztopljanju Tb -soli v vodi molekule vode površinsko obdajo ione ter med ioni in vodo nastanejo molekulske vezi – hidratacija. Da se Tb^{3+} lahko adsorbirajo, morajo izgubiti del svojega hidratacijskega plašča. Ta dehidracijski proces ionov zahteva energijo, ki je večja od sproščene toplote med adsorpcijo ionov na površino adsorbenta. Torej je odstranitev vode iz plašča Tb^{3+} endotermni proces, katerega energija presega energijo eksotermne reakcije adsorpcije ionov, ki se pripnejo na površino. Dobljene vrednosti proste Gibbsove energije so negativne, kar je pričakovano za spontani adsorpcijski proces [36][268].

4.3.3 Karakterizacija $Tb^{3+}/\gamma\text{-Fe}_2\text{O}_3\text{-NH}_4\text{OH@SiO}_2(\text{APTMS})$

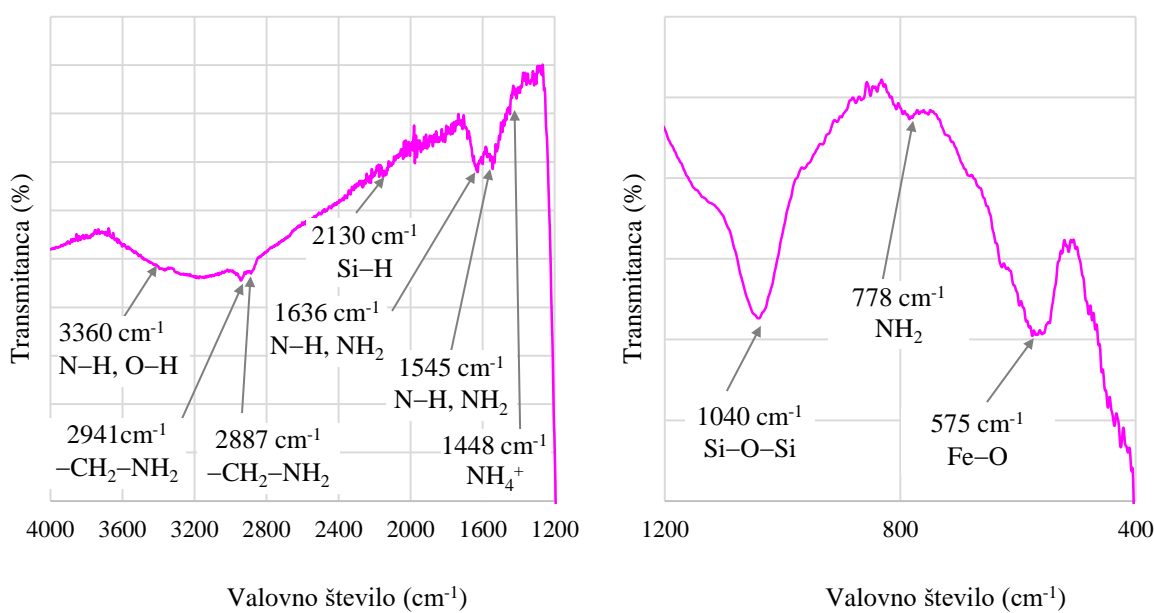
Za adsorbirane Tb^{3+} na novo sintetizirane nanodelce, torej za sistem $Tb^{3+}/\gamma\text{-Fe}_2\text{O}_3\text{-NH}_4\text{OH@SiO}_2(\text{APTMS})$, smo pri:

- ravnotežni masi nanodelcev $m_{\text{ND,eq}} = 30 \text{ mg}$,
- ravnotežnem času adsorpcije $t_{\text{ad,eq}} = 120 \text{ min}$,
- koncentraciji Tb^{3+} $c_{\text{ads,0,opt}} = 2 \cdot 10^{-6} \text{ M}$ in
- temperaturi adsorpcije $T_{\text{ad}} = 25 \text{ }^{\circ}\text{C}$

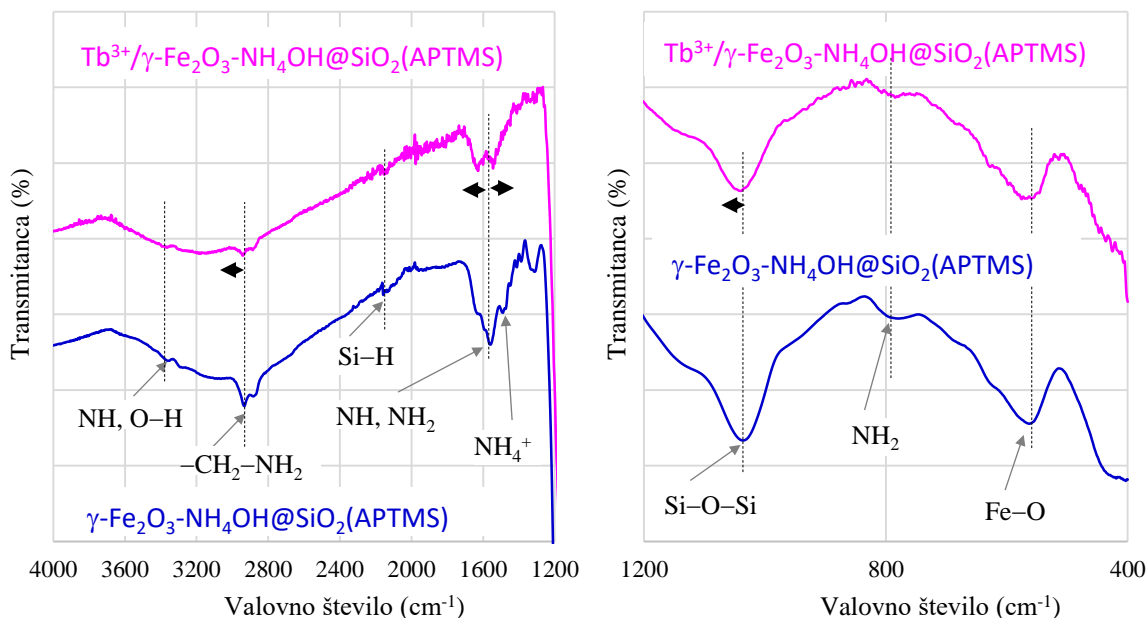
izvedli karakterizaciji FT-IR in DLS.

FT-IR

Spekter FT-IR za sistem $Tb^{3+}/\gamma\text{-Fe}_2\text{O}_3\text{-NH}_4\text{OH@SiO}_2(\text{APTMS})$ je prikazan na sliki 4-44. Valovno število 3360 cm^{-1} kaže na prisotnost N–H in O–H vezi, vrhova pri valovnih številih 2941 cm^{-1} in 2887 cm^{-1} lahko pripisemo prisotnosti in raztezanju $-\text{CH}_2\text{-NH}_2$ vezi. Valovno število 2130 cm^{-1} kaže na prisotnost Si–H vezi, vrhova pri 1636 cm^{-1} in 1545 cm^{-1} pa kažeta na prisotnost N–H in NH_2 skupin. Vrh pri 1448 cm^{-1} lahko pripisemo NH_4^+ skupini. Asimetričnemu raztezanju Si–O–Si vezi ustrezava valovno število pri 1040 cm^{-1} . Absorpcijski vrh pri 778 cm^{-1} ustrezava kimanju in zvijanju $-\text{NH}_2$ amino skupine. Absorpcijski vrh pri 575 cm^{-1} pa ustrezava razteznim vibracijam Fe–O vezi.

Slika 4-44. FT-IR sistema $\text{Tb}^{3+}/\gamma\text{-Fe}_2\text{O}_3\text{-NH}_4\text{OH}@\text{SiO}_2(\text{APTMS})$

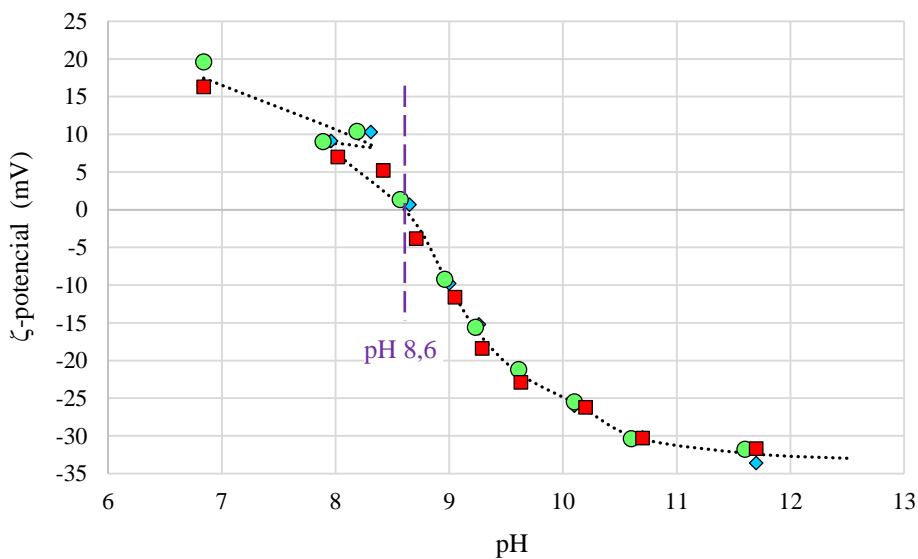
Za potrditev vezave Tb^{3+} na $\gamma\text{-Fe}_2\text{O}_3\text{-NH}_4\text{OH}@\text{SiO}_2(\text{APTMS})$ nanodelce je na sliki 4-45 prikazana primerjava spektra FT-IR sintetiziranih $\gamma\text{-Fe}_2\text{O}_3\text{-NH}_4\text{OH}@\text{SiO}_2(\text{APTMS})$ nanodelcev in sistema $\text{Tb}^{3+}/\gamma\text{-Fe}_2\text{O}_3\text{-NH}_4\text{OH}@\text{SiO}_2(\text{APTMS})$. Vezava Tb^{3+} vpliva na premaknitev nekaterih vrhov glede na spekter FTIR $\gamma\text{-Fe}_2\text{O}_3\text{-NH}_4\text{OH}@\text{SiO}_2(\text{APTMS})$ nanodelcev. Tako se je vrh, ki kaže prisotnost in raztezanje $\text{CH}_2\text{-NH}_2$ skupine, premaknil od 2934 cm^{-1} k valovnemu številu 2941 cm^{-1} , medtem ko se je vrh, ki kaže prisotnost N-H in NH₂ skupin, od 1615 cm^{-1} premaknil k 1636 cm^{-1} in k 1545 cm^{-1} . Manjši premik za 2 cm^{-1} k višnjemu valovnemu številu je opazen tudi za vrh, ki ustreza Si-O-Si vezi.

Slika 4-45. FT-IR $\gamma\text{-Fe}_2\text{O}_3\text{-NH}_4\text{OH}@\text{SiO}_2(\text{APTMS})$ nanodelcev brez/s Tb^{3+}

Adsorpcija Tb^{3+} na $\gamma\text{-Fe}_2\text{O}_3\text{-NH}_4\text{OH@SiO}_2(\text{APTMS})$ nanodelce je dokazana s premikom posameznih pozicij vrhov vibracij v spektru FT-IR glede na valovno število, spremembo intenzitete in širine vrhov, kar je posledica interakcij med adsorbatom in površino adsorbenta.

DLS

Na sliki 4-46 je prikazan ζ -potencial za sistem $Tb^{3+}/\gamma\text{-Fe}_2\text{O}_3\text{-NH}_4\text{OH@SiO}_2(\text{APTMS})$. Izoelektrična točka je dosežena pri pH 8,6.



Slika 4-46. ζ -potencial sistema $Tb^{3+}/\gamma\text{-Fe}_2\text{O}_3\text{-NH}_4\text{OH@SiO}_2(\text{APTMS})$

Z vezavo Tb^{3+} na $\gamma\text{-Fe}_2\text{O}_3\text{-NH}_4\text{OH@SiO}_2(\text{APTMS})$ nanodelce je torej izoelektrična točka dosežena pri nižjem pH kot pri nanodelcih brez vezanega Tb^{3+} , in sicer za pH 0,9. Zmanjšan pH izoelektrične točke dokazuje uspešnost vezave Tb^{3+} na nanodelce.

4.4 Adsorpcija Dy^{3+}

Novo sintetizirane $\gamma\text{-Fe}_2\text{O}_3\text{-NH}_4\text{OH@SiO}_2(\text{APTMS})$ nanodelce smo analizirali glede na učinkovitost adsorpcije Dy^{3+} iz pripravljenih standardnih vodnih raztopin, in sicer smo adsorpcijo določali s pomočjo fluorescence kompleksa Dy^{3+} s tironom. Analizirali smo torej sistem $Dy^{3+}/\gamma\text{-Fe}_2\text{O}_3\text{-NH}_4\text{OH@SiO}_2(\text{APTMS})$, tako da smo določili:

- ravnotežno maso adsorbenta,
- ustrezno enačbo kinetike adsorpcije (kinetična analiza),
- najustreznejšo adsorpcijsko izotermo (analiza vpliva koncentracije adsorbata),
- naravo adsorpcije (termodynamična analiza).

Za določanje afinitete Dy^{3+} do sintetiziranih nanodelcev smo najprej določili umeritveno krivuljo za kompleks Dy^{3+} s tironom in izvedli karakterizacijo sistema $Dy^{3+}/\gamma\text{-Fe}_2\text{O}_3\text{-NH}_4\text{OH@SiO}_2(\text{APTMS})$.

4.4.1 Umeritvena krivulja Dy³⁺ kompleksa s tironom

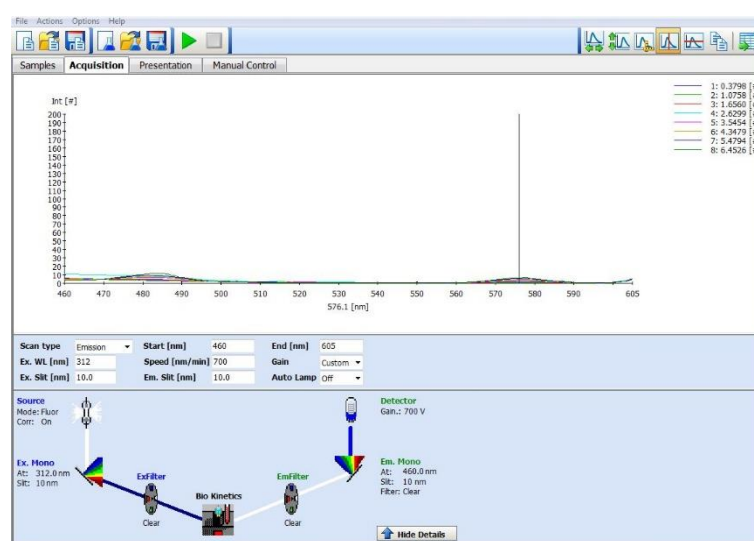
Podobno kot za Tb³⁺ smo pripravili komplekse iz Dy³⁺ z ustreznim ligandom z namenom zaznavanja fluorescence. Valovna dolžina vzbujanja za Dy³⁺ kompleks s tironom, določena z spektroskopijo UV/VIS, znaša 312 nm.

Z razapljanjem soli v dH₂O pri temperaturi 25 °C smo pripravili 10⁻⁴ M raztopino Dy(NO₃)₃·5H₂O, 10⁻⁴ M raztopino tiron monohidrata C₆H₄Na₂O₈S₂·H₂O in 0,05 M raztopino TRIS pufrja (pH 7). Za določitev umeritvene krivulje za adsorpcijo Dy³⁺ iz standardnih vodnih raztopin smo pripravili slepi vzorec (brez Dy³⁺) ter serijo standardnih vodnih raztopin Dy³⁺ s tironom (kompleks Dy³⁺ s tironom) v različnih množinskih razmerjih, tabela 4-6.

Tabela 4-6. Sledi vzorec in standardne raztopine za umeritveno krivuljo Dy³⁺

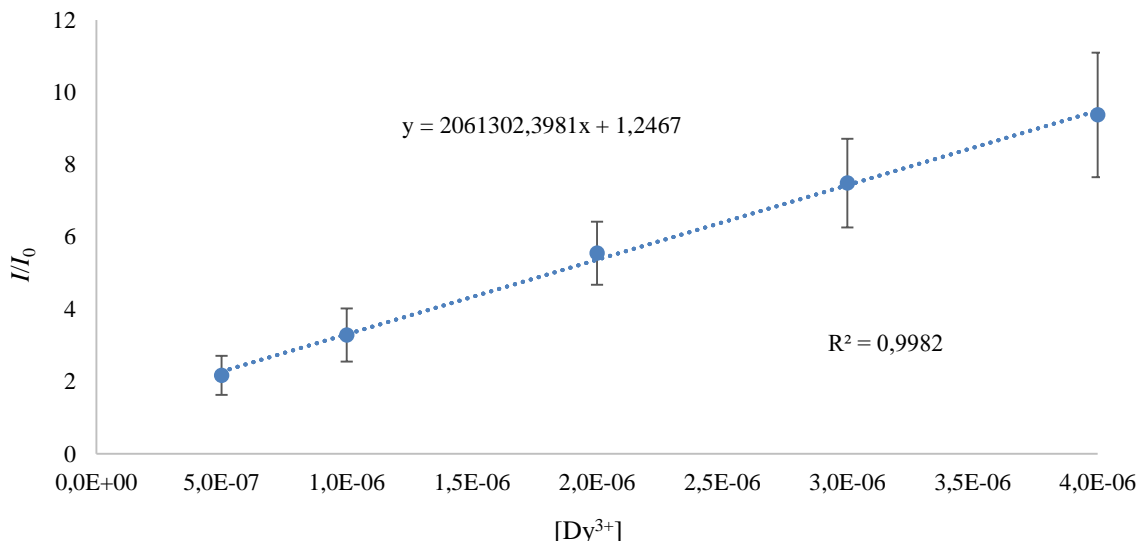
Raztopina	$\frac{n(\text{Dy}^{3+})}{n(\text{Tiron})}$	$V_r(\text{Tiron})$ (mL)	$V_r(\text{TRIS})$ (mL)	$V_r(\text{Dy}^{3+})$ (mL)	$V(\text{dH}_2\text{O})$ (mL)	$c(\text{Dy}^{3+})$ (M)
1	0			0,000	3,500	0
2	0,05			0,025	3,745	$0,5 \cdot 10^{-6}$
3	0,10			0,050	3,450	$1,0 \cdot 10^{-6}$
4	0,20	0,5	1	0,100	3,400	$2,0 \cdot 10^{-6}$
5	0,30			0,150	3,350	$3,0 \cdot 10^{-6}$
6	0,40			0,200	3,300	$4,0 \cdot 10^{-6}$

Pripravljenim raztopinam smo izmerili fluoresenco pri valovni dolžini vzbujanja 312 nm. Intenzitete absorbanc smo odčitali pri valovni dolžini 577 nm, kjer se pojavijo največji emisijski vrhovi Dy³⁺ kompleksa, slika 4-47.



Slika 4-47. Intenzitete absorbanc Dy³⁺ kompleksa

Umeritvena krivulja z determinacijskim koeficientom $R^2 = 0,9982$ za adsorpcijo Dy^{3+} iz vodnih raztopin je prikazana na sliki 4-48.



Slika 4-48. Umeritvena krivulja za Dy^{3+}

Za koncentracijo Dy^{3+} pred adsorpcijo ($c_{ads,0}$) smo izbrali $2,0 \cdot 10^{-6}$, tabela 4-6, ki ustreza razmerju intenzitet absorbanc standardne raztopine 4 ($I_{pred ad}$) in slepega vzorca (I_0) iz umeritvene krivulje, slika 4-48. Za vzorce z neznano koncentracijo smo uporabili standardno raztopino 4, pri čemer smo namesto raztopine Dy^{3+} uporabili enak volumen supernatanta, ki smo ga dobili po končani adsorpciji Dy^{3+} na sintetizirane nanodelce. Adsorpcija je potekala v 20 mL pri določeni začetni koncentraciji Dy^{3+} $c_{ads,0}$, z določeno maso adsorbenta m_{ND} , v določenem času t_{ad} in pri določeni temperaturi T_{ad} . Adsorbirane Dy^{3+} na nanodelcih smo ločili z zunanjim magnetom iz raztopine, supernatant pa uporabili za fluorescenčno spektroskopijo.

Pogoji za določitev ravnotežne mase adsorbenta $m_{ND,eq}$ za adsorpcijo Dy^{3+} :

- m_{ND} : 20 mg, 40 mg, 60 mg, 70 mg in 100 mg;
 $t_{ad} = 120$ min, $c_{ads,0} = 2 \cdot 10^{-6}$ M in $T_{ad} = 25$ °C.

Pogoji za določitev ravnotežnega časa adsorpcije $t_{ad,eq}$ za adsorpcijo Dy^{3+} :

- t_{ad} : 30 min, 60 min, 90 min, 120 min in 240 min;
 $m_{NP,eq}$, $c_{ads,0} = 2 \cdot 10^{-6}$ M in $T_{ad} = 25$ °C.

Pogoji za določitev optimalne začetne koncentracije Dy^{3+} $c_{ads,0,opt}$ za adsorpcijo:

- $c_{ads,0}$: $5 \cdot 10^{-7}$ M, $1 \cdot 10^{-6}$ M, $2 \cdot 10^{-6}$ M, $3 \cdot 10^{-6}$ M in $4 \cdot 10^{-6}$ M;
 $m_{NP,eq}$, $t_{ad,eq}$ in $T_{ad} = 25$ °C.

Pogoji za določitev optimalne temperature $T_{ad,opt}$ za adsorpcijo Dy^{3+} :

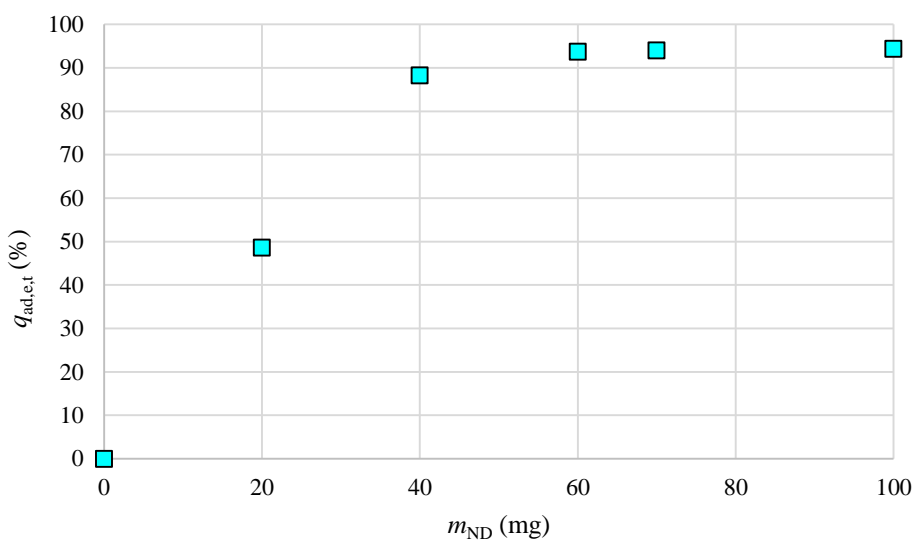
- T_{ad} : 25 °C, 50 °C, 75 °C;
 $m_{ND,eq}$, $c_{ads,0,opt}$ in $t_{ad,eq}$.

4.4.2 Afiniteta Dy³⁺ do γ-Fe₂O₃-NH₄OH@SiO₂(APTMS)

Analizo adsorpcije Dy³⁺ na novo sintetizirane γ-Fe₂O₃-NH₄OH@SiO₂(APTMS) nanodelce smo izvedli s pomočjo merjenja intenzitete fluorescence kompleksov Dy³⁺ s tironom in umeritvene krivulje za komplekse Dy³⁺ s tironom, slika 4-48.

Vpliv masa adsorbenta – ravnotežna masa adsorbenta

Vpliv mase adsorbenta m_{ND} na adsorpcijo pri času adsorpcije $t_{ad} = 120$ min, začetni koncentraciji Dy³⁺ $c_{ads,0} = 2 \cdot 10^{-6}$ M in temperaturi adsorpcije $T_{ad} = 25$ °C je prikazan na sliki 4-49. Z naraščanjem mase adsorbenta do 60 mg učinkovitost adsorpcije narašča, nadaljnje povečevanje mase pa nima več vpliva na učinkovitost adsorpcije. Največji gradient učinkovitosti adsorpcije je dosežen pri nižjih masah adsorbenta, do 40 mg. Ravnotežna masa adsorbenta $m_{ND,eq}$, pri kateri se učinkovitost adsorpcije ne spreminja več, znaša 60 mg, slika 4-49.



Slika 4-49. Vpliv mase ND na adsorpcijo: Dy³⁺/γ-Fe₂O₃-NH₄OH@SiO₂(APTMS)

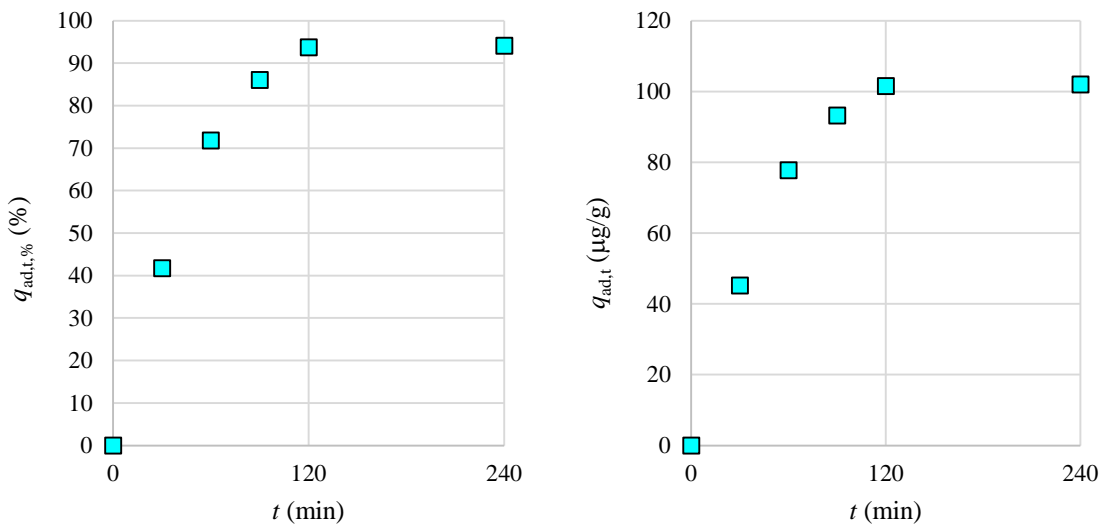
Vpliv časa adsorpcije – kinetični modeli adsorpcije

Časovna odvisnost adsorpcije Dy³⁺ na površino γ-Fe₂O₃-NH₄OH@SiO₂(APTMS) nanodelcev, ki smo jo določali pri:

- optimalni masi nanodelcev $m_{ND} = 60$ mg,
- začetni koncentraciji Dy³⁺ $c_{ads,0} = 2 \cdot 10^{-6}$ M in
- temperaturi adsorpcije $T_{ad} = 25$ °C

je prikazana na sliki 4-50. S podaljševanjem časa adsorpcije do 120 minut, učinkovitost adsorpcije $q_{ad,t,\%}$ izrazito narašča. Trajanje adsorpcije več kot 120 minut pa ni smiselno, saj se učinkovitost adsorpcije praktično ne spreminja več.

Prav tako tudi adsorpcijska kapaciteta $q_{ad,t}$ izrazito narašča pri trajanju adsorpcije do 120 minut. Ravnotežni čas adsorpcije $t_{ad,eq}$ za sistem $Dy^{3+}/\gamma\text{-Fe}_2\text{O}_3\text{-NH}_4\text{OH}@\text{SiO}_2(\text{APTMS})$, pri kateri se učinkovitost adsorpcije $q_{ad,t,\%} = 95\%$ oziroma adsorpcijska kapaciteta $q_{ad,t} = 101 \frac{\mu\text{g}}{\text{g}}$ ne spreminja več, znaša torej 120 minut.



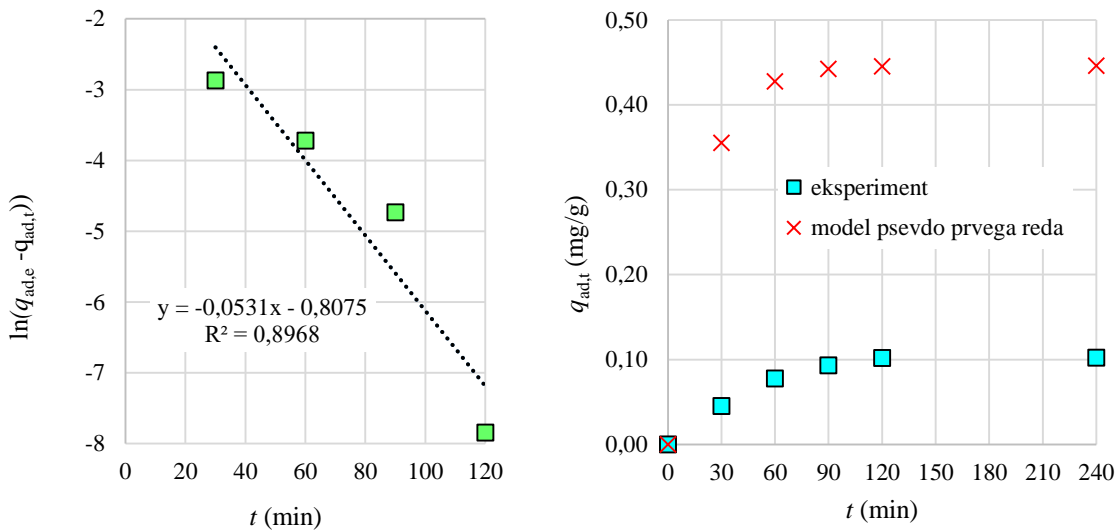
Slika 4-50. Časovna odvisnost adsorpcije: $Dy^{3+}/\gamma\text{-Fe}_2\text{O}_3\text{-NH}_4\text{OH}@\text{SiO}_2(\text{APTMS})$

Za eksperimentalno dobljene rezultate adsorpcije Dy^{3+} na $\gamma\text{-Fe}_2\text{O}_3\text{-NH}_4\text{OH}@\text{SiO}_2(\text{APTMS})$ nanodelce smo testirali psevdo prvi, Elovichev model in kinetični model psevdo drugega reda. V tabeli 4-7 so zbrani dobljeni parametri kinetičnih modelov sistema $Dy^{3+}/\gamma\text{-Fe}_2\text{O}_3\text{-NH}_4\text{OH}@\text{SiO}_2(\text{APTMS})$.

Tabela 4-7. Parametri kinetičnih modelov za adsorpcijo Dy^{3+}

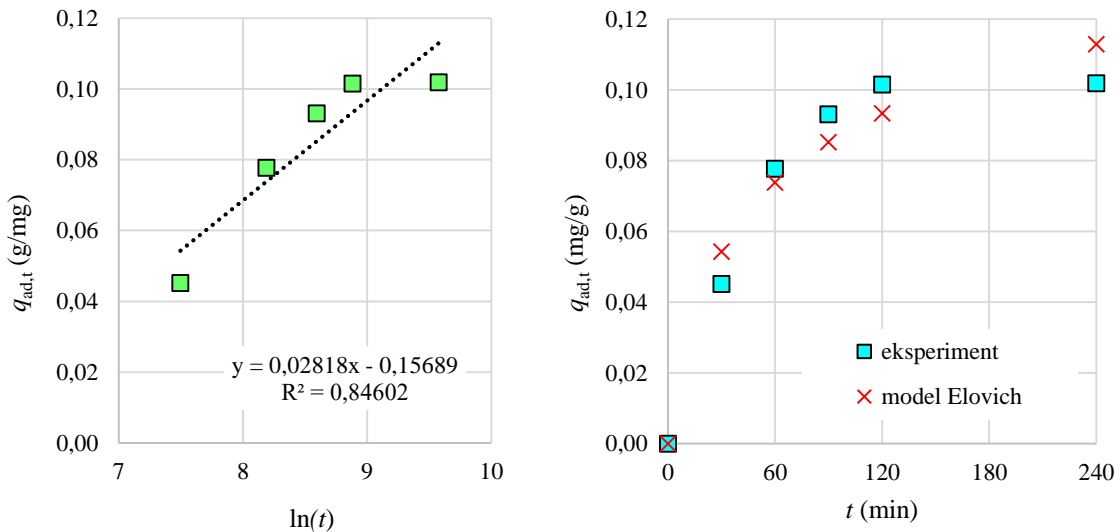
Kinetični model	Parametri	Dy^{3+}
Psevdo prvega reda	$k_1 \left(\frac{1}{\text{min}} \right)$	0,0531
	$q_{ad,e} \left(\frac{\text{mg}}{\text{g}} \right)$	0,4460
	R^2	0,8968
Elovich	$\alpha_E \left(\frac{\text{mg}}{\text{g s}} \right)$	$1,08 \cdot 10^{-4}$
	$\beta_E \left(\frac{\text{g}}{\text{mg}} \right)$	35,4862
	R^2	0,8460
Psevdo drugega reda	$k_2 \left(\frac{\text{g}}{\text{mg min}} \right)$	0,4665
	$q_{ad,e} \left(\frac{\text{mg}}{\text{g}} \right)$	0,1105
	R^2	0,9712

Slika 4-51 prikazuje kinetični model psevdo prvega reda in primerjavo eksperimentalno dobljenih adsorpcijskih kapacitet s kinetičnim modelom psevdo prvega reda.



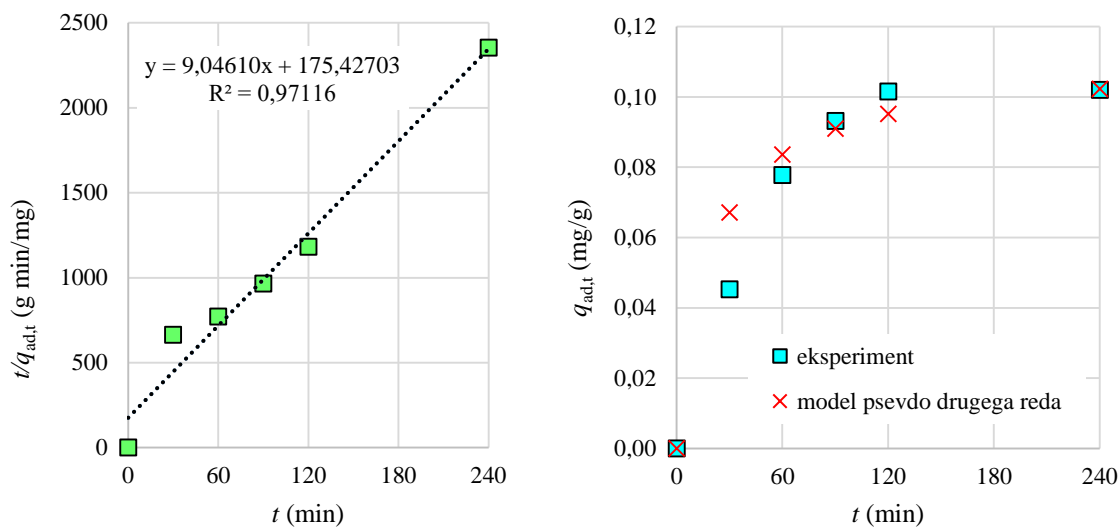
Slika 4-51. Kinetični model psevdo prvega reda: $Dy^{3+}/\gamma\text{-Fe}_2\text{O}_3\text{-NH}_4\text{OH@SiO}_2(\text{APTMS})$

Rezultati adsorpcije kinetičnega modela Elovich so prikazani na sliki 4-52.



Slika 4-52. Kinetični model Elovich: $Dy^{3+}/\gamma\text{-Fe}_2\text{O}_3\text{-NH}_4\text{OH@SiO}_2(\text{APTMS})$

Slika 4-53 prikazuje kinetični model psevdo drugega reda in primerjavo eksperimentalno dobljenih adsorpcijskih kapacitet s kinetičnim modelom psevdo drugega reda.



Slika 4-53. Kinetični model psevdodrugega reda: $Dy^{3+}/\gamma\text{-Fe}_2\text{O}_3\text{-NH}_4\text{OH@SiO}_2(\text{APTMS})$

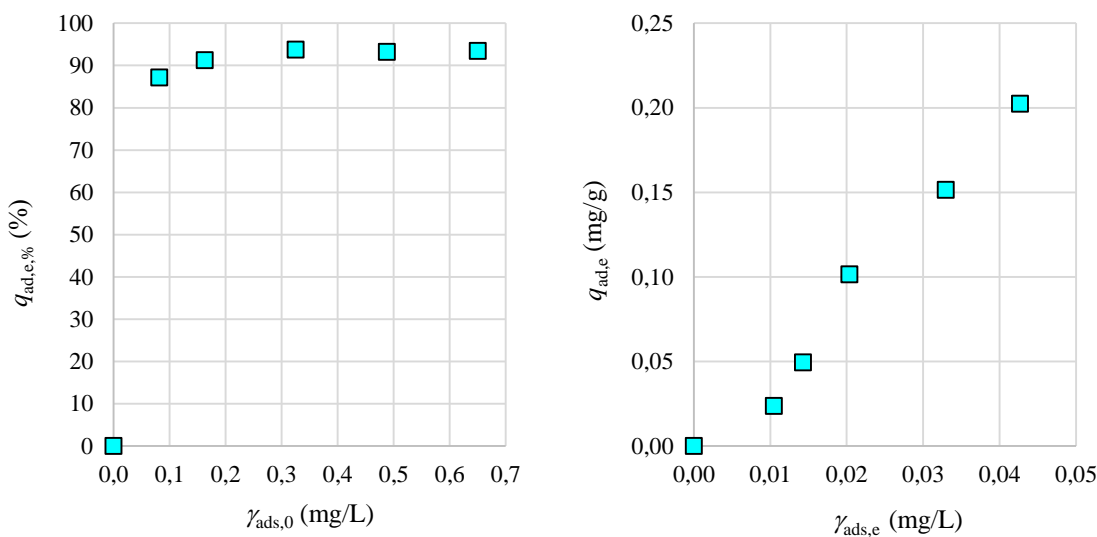
Iz primerjave izračunanih in eksperimentalno dobljenih vrednosti $q_{ad,t}$, od slike 4-51 do slike 4-53, je razvidno, da spremembo adsorpcijske kapacitete Dy^{3+} na $\gamma\text{-Fe}_2\text{O}_3\text{-NH}_4\text{OH@SiO}_2(\text{APTMS})$ nanodelce v odvisnosti od časa najbolje opiše kinetični model psevdo drugega reda. Na osnovi tega lahko sklepamo, da gre za kemijsko adsorpcijo in da poteka izmenjava elektronov med adsorbentom in adsorbatom.

Vpliv začetne koncentracije Tb^{3+} – adsorpcijske izoterme

Vpliv začetne masne koncentracije $\gamma_{ads,0}$ Dy^{3+} na adsorpcijo Dy^{3+} na $\gamma\text{-Fe}_2\text{O}_3\text{-NH}_4\text{OH@SiO}_2(\text{APTMS})$ nanodelce, ki smo jo preučevali pri:

- ravnotežni masi nanodelcev $m_{ND,eq} = 60 \text{ mg}$,
- ravnotežnem času adsorpcije $t_{ad,eq} = 120 \text{ min}$ in
- temperaturi adsorpcije $T_{ad} = 25^\circ\text{C}$

je prikazana na sliki 4-54. S slike 4-54 je razvidno, da optimalna začetna masna koncentracija Dy^{3+} $\gamma_{ads,0,opt}$, pri kateri je učinkovitost adsorpcije največja, znaša $0,3250 \frac{\text{mg}}{\text{L}}$, kar ustreza začetni množinski koncentraciji $2 \cdot 10^{-6} \text{ M}$ ($c_{ads,0,opt}$). Vpliv ravnotežnih masnih koncentracij $\gamma_{ads,e}$, dobljenih iz umeritvene krivulje pri različnih začetnih masnih koncentracijah $\gamma_{ads,0}$, na adsorpcijsko kapaciteto je prav tako prikazan na sliki 4-54. Glede na obliko krivulje adsorpcijske kapacitete $q_{ad,e}$ v odvisnosti od ravnotežne masne koncentracije $\gamma_{ads,e}$ lahko sklepamo, da je adsorpcija Dy^{3+} S-tipa, za katero so značilne močne interakcije med adsorbatom Dy^{3+} in adsorbentom $\gamma\text{-Fe}_2\text{O}_3\text{-NH}_4\text{OH@SiO}_2(\text{APTMS})$.

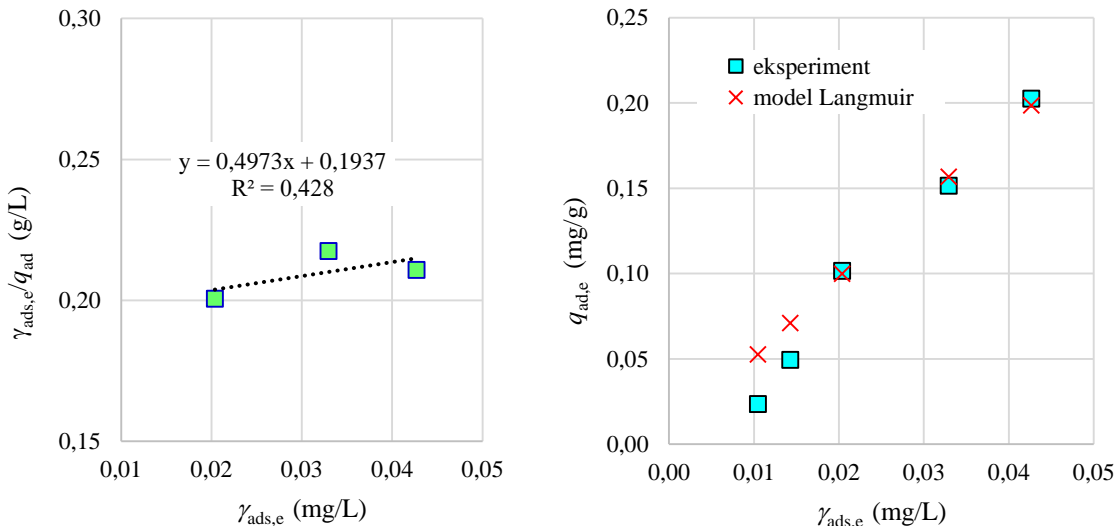
Slika 4-54. Vpliv začetne koncentracije Dy³⁺: Dy³⁺/γ-Fe₂O₃-NH₄OH@SiO₂(APTMS)

Za eksperimentalno dobljene rezultate adsorpcije Dy³⁺ na γ-Fe₂O₃-NH₄OH@SiO₂(APTMS) nanodelce smo testirali Langmuirjevo, Freundlichovo, Dubinin-Radushkevichovo in Temkinovo adsorpcijsko izotermu. Parametri za posamezne adsorpcijske izoterme so zbrani v tabeli 4-8.

Tabela 4-8. Parametri adsorpcijskih izoterm Dy³⁺/γ-Fe₂O₃-NH₄OH@SiO₂(APTMS)

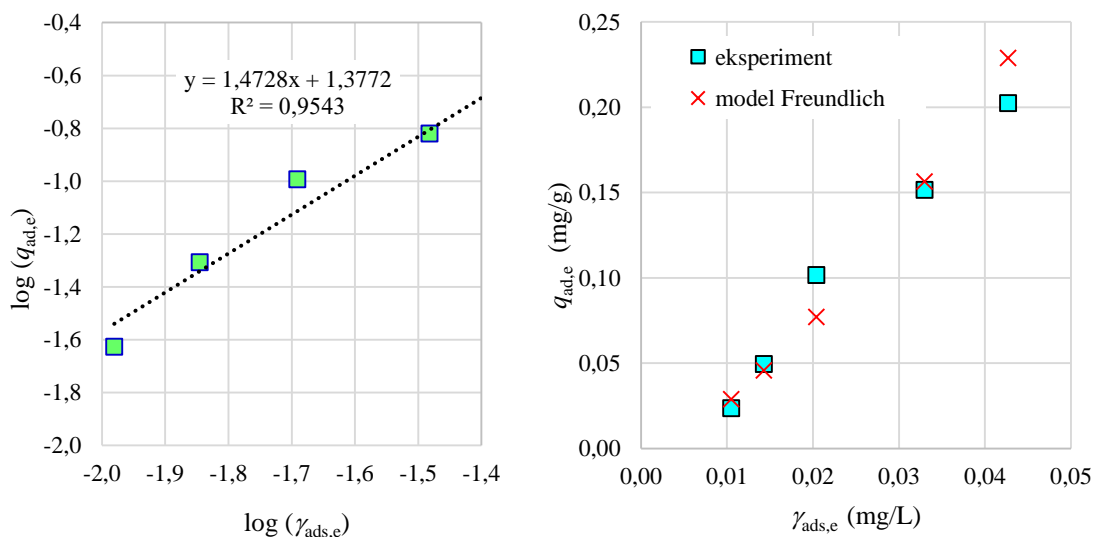
Adsorpcijska izoterna	Parametri	Dy ³⁺
Langmuir	$K_L \left(\frac{L}{mg} \right)$	2,5674
	$q_m \left(\frac{mg}{g} \right)$	2,0109
	R^2	0,4280
Freundlich	$K_F \left(\frac{mg \cdot (L)}{g} \right)^{\frac{1}{n}}$	23,8342
	$n (/)$	0,6790
	R^2	0,9543
Dubinin-Radushkevich	$q_s \left(\frac{mg}{g} \right)$	1,6351
	$K_{DR} \left(\frac{mol^2}{kJ^2} \right)$	$3,19 \cdot 10^{-8}$
	R^2	0,9722
Temkin	$b_T \left(\frac{J \cdot g}{mol \cdot mg} \right)$	$1,9742 \cdot 10^4$
	$A_T \left(\frac{L}{g} \right)$	$1,0980 \cdot 10^5$
	R^2	0,9879

Slika 4-55 prikazuje Langmuirjevo adsorpcijsko izotermo ter primerjavo eksperimentalno dobljenih adsorpcijskih kapacitet z Langmuirjevim modelom. Langmuirjeva izoterma ne opisuje dobro S-tipa adsorpcije, zato je ujemanje Langmurjeve izoterme z eksperimentalnimi podatki nesprejemljivo.



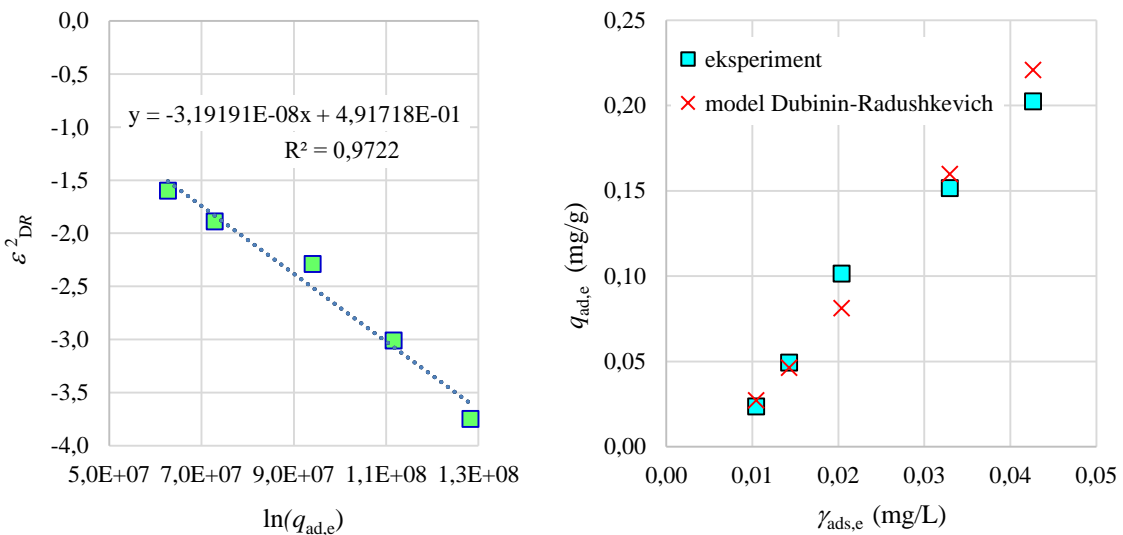
Slika 4-55. Langmuirjeva izoterma: $Dy^{3+}/\gamma\text{-Fe}_2\text{O}_3\text{-NH}_4\text{OH}@\text{SiO}_2(\text{APTMS})$

Slika 4-56 prikazuje Freundlichovo adsorpcijsko izotermo ter primerjavo eksperimentalno dobljenih adsorpcijskih kapacitet s Freundlichovim modelom. Kot je razvidno s slike 4-56, Freundlichova izoterma dokaj dobro opisuje adsorpcijo Dy^{3+} na nanodelce $\gamma\text{-Fe}_2\text{O}_3\text{-NH}_4\text{OH}@\text{SiO}_2(\text{APTMS})$.



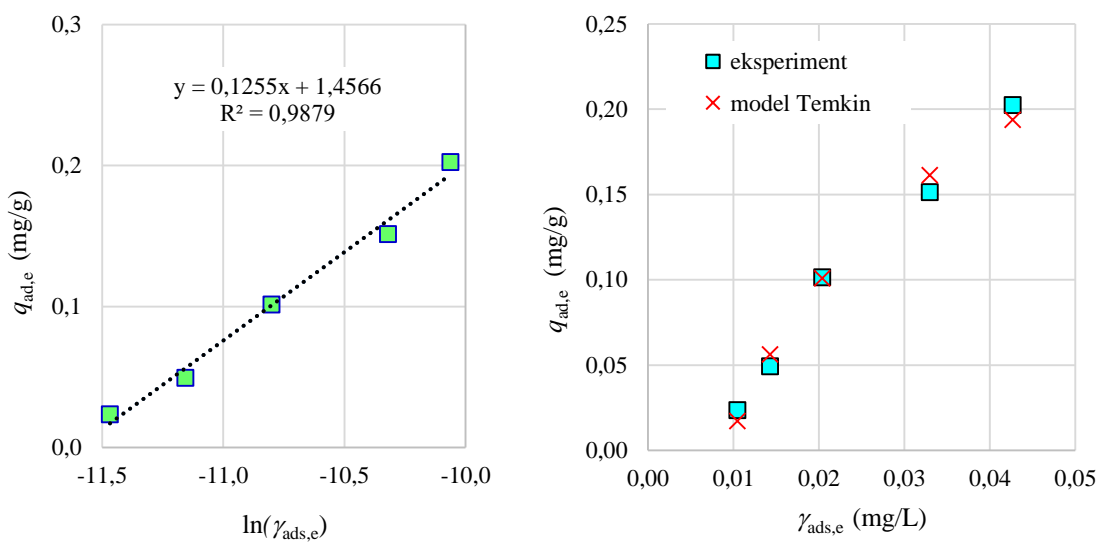
Slika 4-56. Freundlichova izoterma: $Dy^{3+}/\gamma\text{-Fe}_2\text{O}_3\text{-NH}_4\text{OH}@\text{SiO}_2(\text{APTMS})$

Dubinin-Radushkevicheva adsorpcijska izoterma ter primerjava eksperimentalno dobljenih adsorpcijskih kapacitet z Dubinin-Radushkevichevim modelom je prikazana na sliki 4-57. Kot je razvidno s slike 4-57, Dubinin-Radushkevicheva izoterma dobro opisuje adsorpcijo Dy^{3+} na $\gamma\text{-Fe}_2\text{O}_3\text{-NH}_4\text{OH}@Si\text{O}_2$ (APTMS) nanodelce.



Slika 4-57. Dubinin-Radushkevicheva izoterma: $Dy^{3+}/\gamma\text{-Fe}_2\text{O}_3\text{-NH}_4\text{OH}@Si\text{O}_2$ (APTMS)

Temkinova adsorpcijska izoterma ter primerjava eksperimentalno dobljenih adsorpcijskih kapacitet s Temkinim modelom je prikazana na sliki 4-58. Kot je razvidno s slike 4-58, Temkinova izoterma zelo dobro opisuje adsorpcijo Dy^{3+} na $\gamma\text{-Fe}_2\text{O}_3\text{-NH}_4\text{OH}@Si\text{O}_2$ (APTMS).

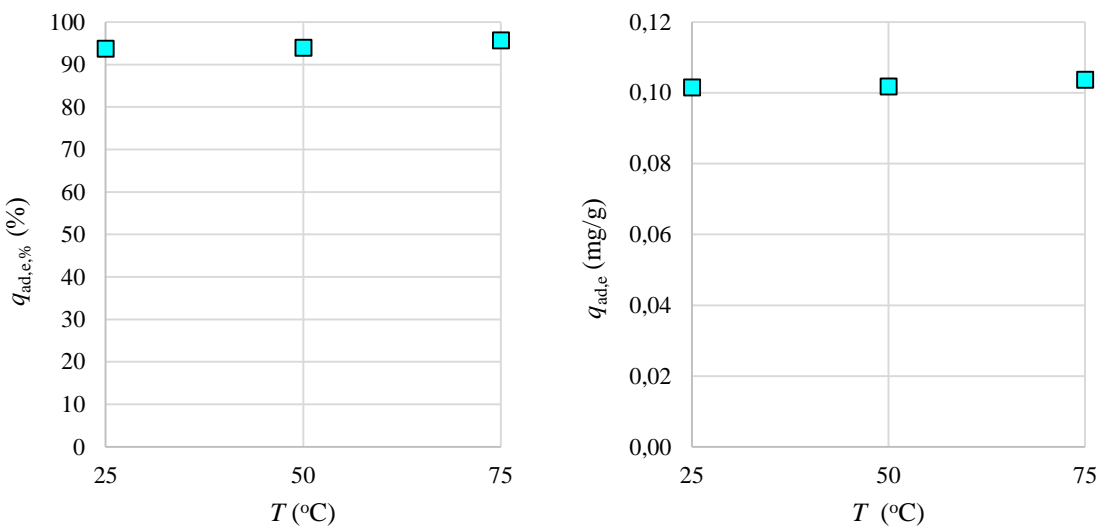


Slika 4-58. Temkinova adsorpcijska izoterma: $Dy^{3+}/\gamma\text{-Fe}_2\text{O}_3\text{-NH}_4\text{OH}@Si\text{O}_2$ (APTMS)

Glede na prikazane rezultate od slike 4-55 do slike 4-58 lahko zaključimo, da adsorpcijo Dy^{3+} na $\gamma\text{-Fe}_2\text{O}_3\text{-NH}_4\text{OH}@Si\text{O}_2$ (APTMS) nanodelce najbolje opiše Temkinova adsorpcijska izoterma. Na osnovi tega lahko sklepamo, da površina $\gamma\text{-Fe}_2\text{O}_3\text{-NH}_4\text{OH}@Si\text{O}_2$ (APTMS) nanodelca z energetskega stališča ni homogena oziroma da energija, s katero se vsak Dy^{3+} veže na površino nanodelca ni enaka v vsaki točki površine.

Vpliv temperature – termodinamika adsorpcije

Vpliv temperature adsorpcije na učinkovitost adsorpcije in adsorpcijsko kapaciteto Dy^{3+} na $\gamma\text{-Fe}_2\text{O}_3\text{-NH}_4\text{OH}@\text{SiO}_2(\text{APTMS})$ pri ravnotežni masi nanodelcev $m_{\text{ND,eq}} = 60 \text{ mg}$, optimalni koncentraciji Tb^{3+} $c_{\text{ads,0,opt}} = 2 \cdot 10^{-6} \text{ M}$ in pri ravnotežnem času adsorpcije $t_{\text{ad,eq}} = 120 \text{ min}$ je prikazan na sliki 4-59.



Slika 4-59. Vpliv temperature na adsorpcijo: $Dy^{3+}/\gamma\text{-Fe}_2\text{O}_3\text{-NH}_4\text{OH}@\text{SiO}_2(\text{APTMS})$

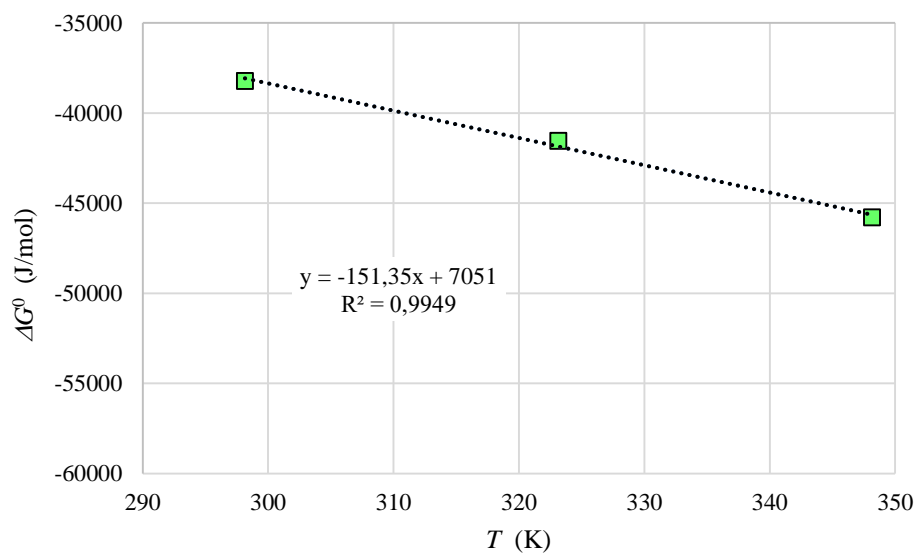
S slike 4-59 je razvidno, da je že pri sobni temperaturi učinkovitost adsorpcije Dy^{3+} na $\gamma\text{-Fe}_2\text{O}_3\text{-NH}_4\text{OH}@\text{SiO}_2(\text{APTMS})$ nanodelce zadovoljiva. Tabela 4-9 prikazuje termodinamične veličine pri različnih temperaturah adsorpcije. Zmanjšanje proste Gibbsove energije ΔG^0 z naraščajočo temperaturo kaže na rahlo povečano učinkovitost adsorpcije pri višjih temperaturah.

V primeru adsorpcije Dy^{3+} na $\gamma\text{-Fe}_2\text{O}_3\text{-NH}_4\text{OH}@\text{SiO}_2(\text{APTMS})$ nanodelce je dobljena spremembra standardne entalpije oziroma toplota adsorpcije $\Delta H^0 > 0$, zato je adsorpcija Dy^{3+} endotermna reakcija. Dobljena negativna vrednost Gibbsove proste energije ΔG^0 pa kaže na spontan proces adsorpcije Dy^{3+} na $\gamma\text{-Fe}_2\text{O}_3\text{-NH}_4\text{OH}@\text{SiO}_2(\text{APTMS})$ nanodelce. Endotermno in spontano reakcijo adsorpcije Dy^{3+} na $\gamma\text{-Fe}_2\text{O}_3\text{-NH}_4\text{OH}@\text{SiO}_2(\text{APTMS})$ nanodelce lahko razložimo z dobrim raztplavljanjem Dy^{3+} v vodi. Pri raztplavljanju Dy -soli v vodi molekule vode površinsko obdajo ione ter med ioni in vodo nastanejo molekulske vezi – hidratacija. Da se Dy^{3+} lahko adsorbirajo, morajo izgubiti del svojega hidratacijskega plašča. Ta dehidracijski proces ionov zahteva energijo, ki je večja od sproščene toplotne med adsorpcijo ionov na površino adsorbenta. Torej je odstranitev vode iz plašča Dy^{3+} endotermni proces, katerega energija presega energijo eksotermne reakcije adsorpcije ionov, ki se pripnejo na površino. Dobljene vrednosti proste Gibbsove energije so negativne, kar je pričakovano za spontani adsorpcijski proces [36][268].

Tabela 4-9. Termodinamične veličine za $Dy^{3+}/\gamma\text{-Fe}_2\text{O}_3\text{-NH}_4\text{OH@SiO}_2(\text{APTMS})$

Temperatura ($^{\circ}\text{C}$)	Veličine	Dy^{3+}
25	$\Delta G^0 \left(\frac{\text{J}}{\text{mol}} \right)$	-38230
	$\Delta H^0 \left(\frac{\text{J}}{\text{mol}} \right)$	7051
	$\Delta S^0 \left(\frac{\text{J}}{\text{mol K}} \right)$	151
50	$\Delta G^0 \left(\frac{\text{J}}{\text{mol}} \right)$	-41543
	$\Delta H^0 \left(\frac{\text{J}}{\text{mol}} \right)$	7051
	$\Delta S^0 \left(\frac{\text{J}}{\text{mol K}} \right)$	151
75	$\Delta G^0 \left(\frac{\text{J}}{\text{mol}} \right)$	-45797
	$\Delta H^0 \left(\frac{\text{J}}{\text{mol}} \right)$	7051
	$\Delta S^0 \left(\frac{\text{J}}{\text{mol K}} \right)$	151

Slika 4-60 prikazuje prosto Gibbsovo energijo v odvisnosti od temperature za sistem $Dy^{3+}/\gamma\text{-Fe}_2\text{O}_3\text{-NH}_4\text{OH@SiO}_2(\text{APTMS})$.

Slika 4-60. Vpliv temperature na ΔG^0 pri adsorpciji Dy^{3+}

4.4.3 Karakterizacija $Dy^{3+}/\gamma\text{-Fe}_2\text{O}_3\text{-NH}_4\text{OH@SiO}_2$ (APTMS)

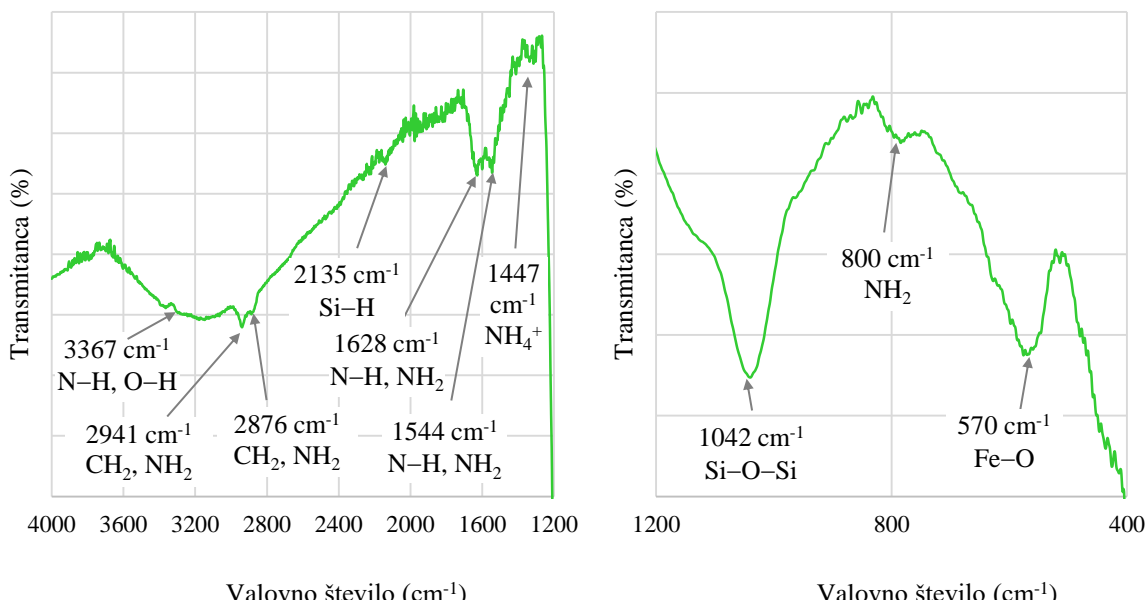
Za adsorbirane Dy^{3+} na novo sintetizirane nanodelce, torej za sistem $Dy^{3+}/\gamma\text{-Fe}_2\text{O}_3\text{-NH}_4\text{OH@SiO}_2$ (APTMS), smo pri:

- ravnotežni masi nanodelcev $m_{ND,eq} = 60 \text{ mg}$,
- ravnotežnem času adsorpcije $t_{ad,eq} = 120 \text{ min}$,
- koncentraciji Tb^{3+} $c_{ads,0,opt} = 2 \cdot 10^{-6} \text{ M}$ in
- temperaturi adsorpcije $T_{ad} = 25^\circ\text{C}$

izvedli karakterizaciji FT-IR in DLS.

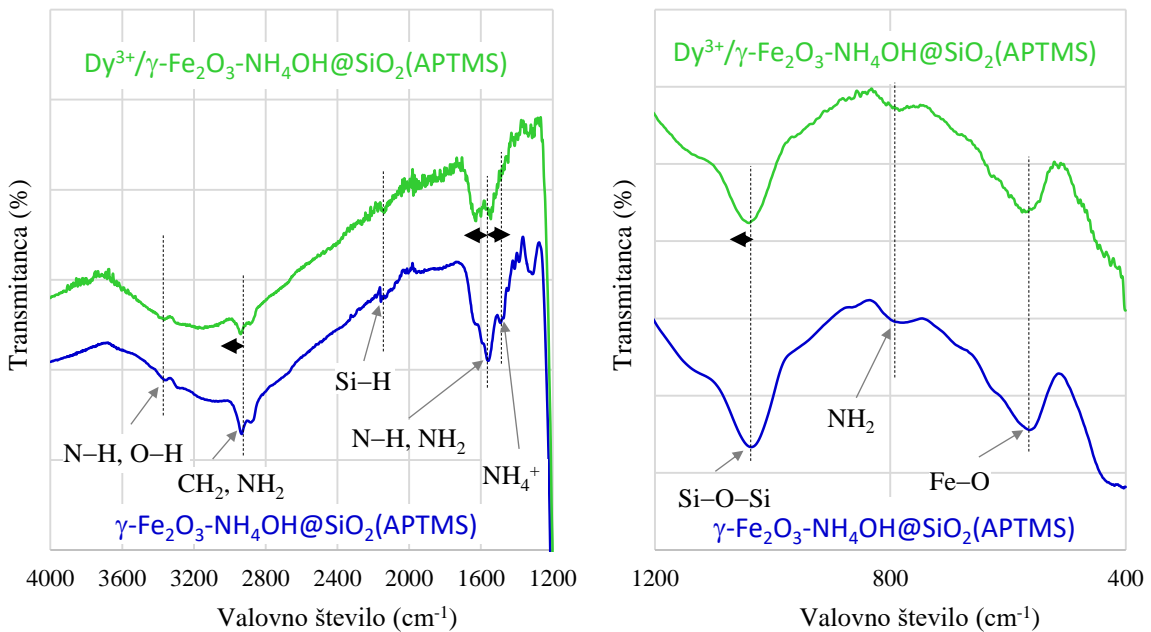
FT-IR

Spekter FT-IR za sistem $Dy^{3+}/\gamma\text{-Fe}_2\text{O}_3\text{-NH}_4\text{OH@SiO}_2$ (APTMS) je prikazana na sliki 4-61. Valovno število 3367 cm^{-1} kaže na prisotnost N–H in O–H vezi, vrha pri valovnih številih 2941 cm^{-1} in 2876 cm^{-1} lahko pripisemo prisotnosti in raztezanju $-\text{CH}_2\text{-NH}_2$. Valovno število 2135 cm^{-1} lahko pripisemo prisotnosti Si–H vezi. Vrhova pri 1628 cm^{-1} in pri 1544 cm^{-1} kažeta na prisotnost N–H in NH_2 skupin, vrh pri 1447 cm^{-1} pa na prisotnost NH_4^+ skupine. Asimetričnemu raztezanju Si–O–Si vezi ustreza valovno število pri 1042 cm^{-1} . Absorpcijski vrh pri 800 cm^{-1} ustreza kimanju in zvijanju NH_2 amino skupine. Absorpcijski vrh pri 570 cm^{-1} pa ustreza razteznim vibracijam Fe–O vezi.



Slika 4-61. FT-IR sistema $Dy^{3+}/\gamma\text{-Fe}_2\text{O}_3\text{-NH}_4\text{OH@SiO}_2$ (APTMS)

Za potrditev vezave Dy^{3+} na $\gamma\text{-Fe}_2\text{O}_3\text{-NH}_4\text{OH}@\text{SiO}_2$ (APTMS) nanodelce je na sliki 4-62 primerjava spektra FT-IR sintetiziranih $\gamma\text{-Fe}_2\text{O}_3\text{-NH}_4\text{OH}@\text{SiO}_2$ (APTMS) nanodelcev in sistema $Dy^{3+}/\gamma\text{-Fe}_2\text{O}_3\text{-NH}_4\text{OH}@\text{SiO}_2$ (APTMS). Vezava Dy^{3+} vpliva na premaknitev nekaterih vrhov glede na spekter FTIR $\gamma\text{-Fe}_2\text{O}_3\text{-NH}_4\text{OH}@\text{SiO}_2$ (APTMS) nanodelcev. Tako se je vrh, ki kaže prisotnost in raztezanje $-\text{CH}_2\text{-NH}_2$ skupine, premaknil od 2934 cm^{-1} k valovnemu številu 2941 cm^{-1} , medtem ko se je vrh, ki kaže prisotnost N-H in NH₂ skupin, od 1615 cm^{-1} premaknil k 1628 cm^{-1} in k 1544 cm^{-1} . Manjši premik za 2 cm^{-1} k višjemu valovnemu številu je opažen tudi za vrh, ki ustreza Si-O-Si vezi.

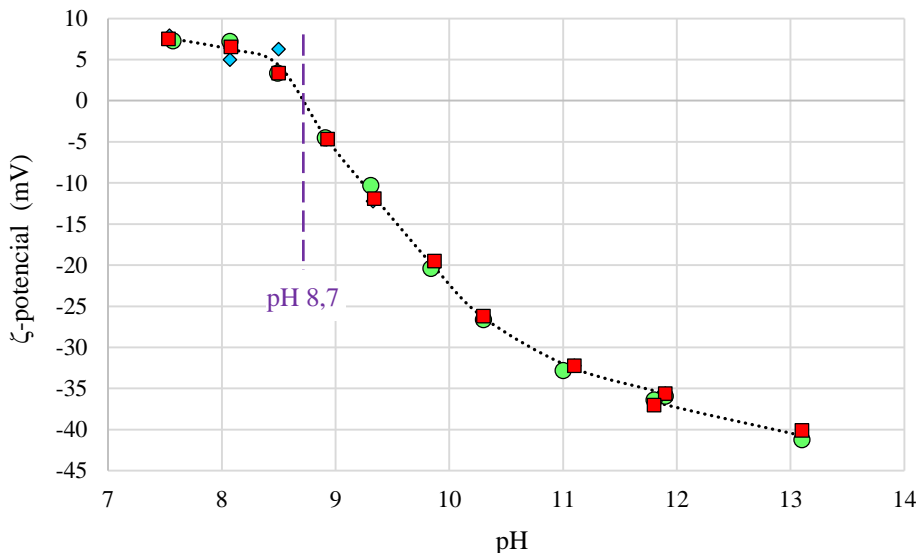


Slika 4-62. FT-IR $\gamma\text{-Fe}_2\text{O}_3\text{-NH}_4\text{OH}@\text{SiO}_2$ (APTMS) nanodelcev brez/z Dy^{3+}

Adsorpcija Dy^{3+} na $\gamma\text{-Fe}_2\text{O}_3\text{-NH}_4\text{OH}@\text{SiO}_2$ (APTMS) nanodelce je dokazana s premikom posameznih pozicij vrhov vibracij v spektru FT-IR glede na valovno število, spremembo intenzitete in širine vrhov, kar je posledica interakcij med adsorbatom in površino adsorbenta.

DLS

Na sliki 4-63 je prikazan ζ -potencial za sistem $Dy^{3+}/\gamma\text{-Fe}_2\text{O}_3\text{-NH}_4\text{OH}@\text{SiO}_2(\text{APTMS})$. Izoelektrična točka je dosežena pri pH 8,7.



Slika 4-63. ζ -potencial sistema $Dy^{3+}/\gamma\text{-Fe}_2\text{O}_3\text{-NH}_4\text{OH}@\text{SiO}_2(\text{APTMS})$

Z vezavo Dy^{3+} na $\gamma\text{-Fe}_2\text{O}_3\text{-NH}_4\text{OH}@\text{SiO}_2(\text{APTMS})$ nanodelce je torej izoelektrična točka dosežena pri nižjem pH kot pri nanodelcih brez vezanega Dy^{3+} , in sicer za pH 0,8. Zmanjšan pH izoelektrične točke dokazuje uspešnost vezave Dy^{3+} na nanodelce.

4.5 Mehanizem adsorpcije za Tb^{3+} in Dy^{3+}

Čeprav mehanizem adsorpcije RZE³⁺ na nanodelce v splošnem ni znan, pa lahko z določenimi predpostavkami dokaj dobro razložimo adsorpcijo RZE³⁺ na funkcionalizirane nanodelce z amino skupinami [269]. Na osnovi predpostavke, da so za adsorpcijo RZE³⁺ najpomembnejše primarne in sekundarne amino skupine [269], nastanejo koordinacijske vezi med N atomi v amino skupinah in Tb^{3+} oziroma Dy^{3+} . Koordinacijsko število za Tb^{3+} in Dy^{3+} , torej število vseh vezi centralnega kovinskega iona, je 9. V koordinacijsko spojino je vključena ena ali dve amino skupini. Preostala koordinacijska mesta so zasedena z atomi kisika iz molekul H₂O [269]:



Tako lahko za adsorpcijo Tb^{3+} oziroma Dy^{3+} na novo sintetizirane nanodelce $\gamma\text{-Fe}_2\text{O}_3\text{-NH}_4\text{OH@SiO}_2(\text{APTMS})$ predvidimo mehanizem adsorpcije:



Nevtralni dušikovi atomi v primarni amino $-\text{NH}_2$ in v sekundarni amino $-\text{NH}-$ skupini, potrjenih s spektroskopijo FT-IR in potenciometrično titracijo, imajo v novo sintetiziranih $\gamma\text{-Fe}_2\text{O}_3\text{-NH}_4\text{OH@SiO}_2(\text{APTMS})$ nanodelcih, prosti elektronski par, ki ga delijo s Tb^{3+} oziroma Dy^{3+} . V primeru adsorpcije Tb^{3+} in Dy^{3+} na $\gamma\text{-Fe}_2\text{O}_3\text{-NH}_4\text{OH@SiO}_2(\text{APTMS})$ nanodelce lahko ocenimo adsorpcijske kapacitete pri naslednjih eksperimentalnih pogojih: začetna koncentracija Tb^{3+} oziroma Dy^{3+} v 5 mL vodni raztopini $c_{\text{ads},0} = 2 \cdot 10^{-6}\text{M}$, $m_{\text{ND}} = 30\text{ mg}$ v primeru Tb^{3+} oziroma $m_{\text{ND}} = 60\text{ mg}$ v primeru Dy^{3+} , $t_{\text{ad}} = 120\text{ min}$ in $T_{\text{ad}} = 25^\circ\text{C}$.

V ta namen lahko izračunamo število delcev (NH_2 skupin in število Tb^{3+} oziroma število Dy^{3+}):

$$N = n \cdot N_A \quad (4.1)$$

kjer je:

N število delcev (/)

n množina snovi (mol)

N_A Avogadrovo število $(6,022 \cdot 10^{23} \frac{\text{delci}}{\text{mol}})$

Glede na zasedenost amino skupin na površini $\gamma\text{-Fe}_2\text{O}_3\text{-NH}_4\text{OH@SiO}_2(\text{APTMS})$ nanodelcev $0,0448 \frac{\text{mmol}}{\text{g}}$ (rezultat potenciometrične titracije) znaša za že omenjene eksperimentalne pogoje za adsorpcijo Tb^{3+} število amino NH_2 skupin v standardni vodni raztopini:

$$N_{\text{NH}_2} = n_{\text{NH}_2} \cdot N_A = 0,0448 \cdot 10^{-3} \frac{\text{mol}}{\text{g}} \cdot 30 \cdot 10^{-3}\text{g} \cdot 6,022 \cdot 10^{23} \frac{\text{delci}}{\text{mol}} = 8,0936 \cdot 10^{17}$$

in število Tb^{3+} v standardni vodni raztopini:

$$N_{\text{Tb}^{3+}} = c_{\text{Tb}^{3+}} \cdot V_r \cdot N_A = 2 \cdot 10^{-6} \frac{\text{mol}}{\text{L}} \cdot 5 \cdot 10^{-3}\text{L} \cdot 6,022 \cdot 10^{23} \frac{\text{delci}}{\text{mol}} = 6,022 \cdot 10^{15}$$

torej razmerje $\frac{N_{\text{NH}_2}}{N_{\text{Tb}^{3+}}} = 134,4$, kar pomeni, da je pri omenjenih eksperimentalnih pogojih, kjer je dosežena $q_{\text{ad}} = 0,196 \frac{\text{mg}}{\text{g}}$, za en Tb^{3+} na razpolago vsaj 134 NH_2 skupin. Ker pa se na Tb^{3+} veže kvečemu ena ali dve amino skupini, kar precej amino skupin ni vključenih v adsorpcijo pri masi nanodelcev $m_{\text{ND}} = 30\text{ mg}$ in tako za adsorpcijo Tb^{3+} iz vodne raztopine zadostuje manjša masa $\gamma\text{-Fe}_2\text{O}_3\text{-NH}_4\text{OH@SiO}_2(\text{APTMS})$ nanodelcev oziroma lahko imamo v vodni raztopini višjo koncentracijo Tb^{3+} .

Podobno lahko izračunamo število amino NH₂ skupin v standardni vodni raztopini za adsorpcijo Dy³⁺:

$$N_{\text{NH}_2} = n_{\text{NH}_2} \cdot N_A = 0,0448 \cdot 10^{-3} \frac{\text{mol}}{\text{g}} \cdot 60 \cdot 10^{-3} \text{g} \cdot 6,022 \cdot 10^{23} \frac{\text{delci}}{\text{mol}} = 1,6187 \cdot 10^{18}$$

in število Dy³⁺ v standardni vodni raztopini:

$$N_{\text{Dy}^{3+}} = c_{\text{Dy}^{3+}} \cdot V_r \cdot N_A = 2 \cdot 10^{-6} \frac{\text{mol}}{\text{L}} \cdot 5 \cdot 10^{-3} \text{L} \cdot 6,022 \cdot 10^{23} \frac{\text{delci}}{\text{mol}} = 6,022 \cdot 10^{15}$$

torej razmerje $\frac{N_{\text{NH}_2}}{N_{\text{Dy}^{3+}}} = 268,8$, kar pomeni, da je pri omenjenih eksperimentalnih pogojih, kjer je dosežena $q_{\text{ad}} = 0,102 \frac{\text{mg}}{\text{g}}$, za en Dy³⁺ na razpolago vsaj 268 NH₂ skupin. Ker pa se na Dy³⁺ prav tako veže kvečjemu ena ali dve amino skupini, veliko število amino skupin ni vključenih v adsorpcijo pri masi nanodelcev $m_{\text{ND}} = 60 \text{ mg}$ in tako za adsorpcijo Dy³⁺ iz vodne raztopine zadostuje manjša masa $\gamma\text{-Fe}_2\text{O}_3\text{-NH}_4\text{OH}@\text{SiO}_2(\text{APTMS})$ nanodelcev oziroma lahko imamo v vodni raztopini višjo koncentracijo Dy³⁺.

Tako smo adsorpcijo izvedli pri eksperimentalnih pogojih za Tb³⁺: $c_{\text{ads},0} = 5 \cdot 10^{-5} \text{M}$, $m_{\text{ND}} = 3 \text{ mg}$, $t_{\text{ad}} = 120 \text{ min}$, $T_{\text{ad}} = 25^\circ\text{C}$ oziroma za Dy³⁺: $c_{\text{ads},0} = 5 \cdot 10^{-5} \text{M}$, $m_{\text{ND}} = 6 \text{ mg}$, $t_{\text{ad}} = 120 \text{ min}$, $T_{\text{ad}} = 25^\circ\text{C}$, določenih s pomočjo tabele 4-2 in tabele 4-6. Pri teh eksperimentalnih pogojih smo zaradi primerjave maksimalnih vrednosti adsorpcijskih kapacitet in s tem določitve najučinkovitejšega adsorbenta izvedli adsorpcije Tb³⁺ in Dy³⁺ na $\gamma\text{-Fe}_2\text{O}_3\text{-NH}_4\text{OH}@\text{SiO}_2(\text{APTMS})$ nanodelce, tabela 4-10.

Tabela 4-10. Adsorpcijske kapacitete Tb³⁺ in Dy³⁺ na novo sintetizirane nanodelce

Nanodelci	Adsorpcijska kapaciteta	
	Tb ³⁺	Dy ³⁺
$\gamma\text{-Fe}_2\text{O}_3\text{-NH}_4\text{OH}@\text{SiO}_2(\text{APTMS})$	46,5 mg/g	23,2 mg/g

Iz tabele 4-10 je razvidno, da novo sintetizirani $\gamma\text{-Fe}_2\text{O}_3\text{-NH}_4\text{OH}@\text{SiO}_2(\text{APTMS})$ omogočajo največjo adsorpcijo Tb³⁺, in sicer 46,5 mg/g, medtem ko znaša največja adsorpcijska kapaciteta za Dy³⁺ 23,2 mg/g.

Dosežene adsorpcijske kapacitete za Tb^{3+} in Dy^{3+} z novo sintetiziranimi $\gamma\text{-Fe}_2\text{O}_3\text{-NH}_4\text{OH}@\text{SiO}_2(\text{APTMS})$ nanodelci so primerljive adsorpcijskim kapacitetam, dobljenim z drugimi adsorbenti oziroma z drugimi magnetnimi nanodelci [29][34][41][42]. Primerjava rezultatov adsorpcije Tb^{3+} in Dy^{3+} na magnetne nanodelce je prikazana v tabeli 4-11.

Tabela 4-11. Primerjava rezultatov adsorpcije Tb^{3+} in Dy^{3+} z literaturo

RZE ³⁺	Nanomaterial	Adsorpcijska kapaciteta (mg/g)	Kinetični model	Adsorpcijska izoterna	Vir
Tb^{3+}	Fe ^o @SiO ₂ @PA/SiO ₂ (DTPA)	1,4	psevdo drugega reda	/	[41]
	$\gamma\text{-Fe}_2\text{O}_3\text{-NH}_4\text{OH}@\text{SiO}_2(\text{APTMS})$	46,5	psevdo drugega reda	Temkin	
Dy^{3+}	Fe ₃ O ₄ /citosan(DETA)	51,5	psevdo drugega reda	Langmuir	[34]
	Fe ^o @SiO ₂ @PA/SiO ₂ (DTPA)	1,9	psevdo drugega reda	Langmuir	[41]
	Fe ₃ O ₄ @C ₁₈ @citosan(DETA)	28,3	psevdo drugega reda	Langmuir	[42]
	$\gamma\text{-Fe}_2\text{O}_3\text{-NH}_4\text{OH}@\text{SiO}_2(\text{APTMS})$	23,2	psevdo drugega reda	Temkin	

Iz primerjave je razvidno, da so novo sintetizirani $\gamma\text{-Fe}_2\text{O}_3\text{-NH}_4\text{OH}@\text{SiO}_2(\text{APTMS})$ nanodelci glede na kapaciteto adsorpcije odlični adsorbenti za Tb^{3+} , prav tako so uspešni za adsorpcijo Dy^{3+} iz vodnih raztopin. Adsorpcija Tb^{3+} in Dy^{3+} sledi kinetičnemu modelu psevdo drugega reda ne glede na adsorbent. Adsorpcija Tb^{3+} in Dy^{3+} z adsorbenti, objavljenimi v literaturi, praviloma ustreza Langmuirjevi adsorpcijski izotermi, medtem ko z novo sintetiziranimi $\gamma\text{-Fe}_2\text{O}_3\text{-NH}_4\text{OH}@\text{SiO}_2(\text{APTMS})$ nanodelci ustreza Temkinovi adsorpcijski izotermi. Glede na uspešnost adsorpcije in enostavnost oziroma odlično ponovljivost sinteze nanodelcev, lahko zaključimo, da so novi $\gamma\text{-Fe}_2\text{O}_3\text{-NH}_4\text{OH}@\text{SiO}_2(\text{APTMS})$ nanodelci odlični adsorbenti za odstranjevanje Tb^{3+} in Dy^{3+} iz vodnih raztopin.

4.6 Desorpcija RZE³⁺ in možnost ponovne uporabe RZE/nanodelcev

Izvedeni eksperimenti desorpcije Tb^{3+} in Dy^{3+} s površine $\gamma\text{-Fe}_2\text{O}_3\text{-NH}_4\text{OH}@\text{SiO}_2(\text{APTMS})$ nanodelcev pri sobni temperaturi so pokazali, da reakcija sistema $Tb^{3+}/\gamma\text{-Fe}_2\text{O}_3\text{-NH}_4\text{OH}@\text{SiO}_2(\text{APTMS})$ oziroma $Dy^{3+}/\gamma\text{-Fe}_2\text{O}_3\text{-NH}_4\text{OH}@\text{SiO}_2(\text{APTMS})$ z 0,1 M HCl in z 0,5 M HNO₃ omogoča le 5 % učinkovitost desorpcije $q_{de,\%}$ in 5 % učinkovitost regeneracije $q_{reg,\%}$. Glede na dobljene rezultate pri izbranih eksperimentalnih pogojih in glede na rezultate, objavljene v literaturi [31], lahko sklepamo, da obstajajo močne vezi med adsorbenti in adsorbat, torej med $\gamma\text{-Fe}_2\text{O}_3\text{-NH}_4\text{OH}@\text{SiO}_2(\text{APTMS})$ nanodelci in Tb^{3+} in Dy^{3+} . Nizka učinkovitost desorpcije pri izbranih eksperimentalnih pogojih ne omogoča ponovne uporabe RZE oziroma nanodelcev. Vendar pa je potrebno poudariti, da bi lahko bila učinkovitost desorpcije Tb^{3+} in Dy^{3+} s površine sintetiziranih nanodelcev $\gamma\text{-Fe}_2\text{O}_3\text{-NH}_4\text{OH}@\text{SiO}_2(\text{APTMS})$ učinkovita pri drugih eksperimentalnih pogojih (pH, temperatura, koncentracija reaktantov) in z drugimi reaktanti ter bi tako lahko ponovno uporabili tako Tb^{3+} in Dy^{3+} kakor tudi $\gamma\text{-Fe}_2\text{O}_3\text{-NH}_4\text{OH}@\text{SiO}_2(\text{APTMS})$ nanodelce.

5 Zaključek

V okviru magistrske naloge smo uspešno sintetizirali nove $\gamma\text{-Fe}_2\text{O}_3\text{-NH}_4\text{OH}@\text{SiO}_2$ (APTMS) nanodelce za adsorpcijo Tb^{3+} in Dy^{3+} iz vodnih raztopin.

Novi $\gamma\text{-Fe}_2\text{O}_3\text{-NH}_4\text{OH}@\text{SiO}_2$ (APTMS) nanodelci imajo magnetno jedro iz maghemita $\gamma\text{-Fe}_2\text{O}_3$, ki je elektrostatsko stabilizirano z NH_4OH . Lupina, ki obdaja maghemitno jedro, je iz SiO_2 in funkcionalizirana z amino skupinami iz APTMS.

Lastnosti postopoma sintetiziranih magnetnih $\gamma\text{-Fe}_2\text{O}_3\text{-NH}_4\text{OH}@\text{SiO}_2$ (APTMS) nanodelcev smo analizirali glede na strukturo in sestavo, termogravimetrijo, morfologijo, površino in magnetne lastnosti z uporabo karakterizacijskih metod FT-IR, PT, XRD, TGA, TEM/EDXS, BET, DLS in VSM.

Uspešnost stabilizacije z NH_4OH , lupine SiO_2 in funkcionalizacije z NH_2 iz APTMS magnetnih $\gamma\text{-Fe}_2\text{O}_3$ nanodelcev je potrjena s spektroskopijo FT-IR. Za vsake postopoma sintetizirane nanodelce so vidne ustrezne funkcionalne skupine. Na primer, spektri FT-IR dokazujejo s prisotnostjo $\text{Fe}-\text{O}$ vezi uspešno sintezo magnetnega $\gamma\text{-Fe}_2\text{O}_3$ jedra, s prisotnostjo NH_4^+ skupine uspešno stabilizacijo v bazičnem mediju, s prisotnostjo $\text{Si}-\text{O}-\text{Si}$ in $\text{Si}-\text{H}$ vezi tvorbo uspešne SiO_2 lupine in s prisotnostjo $\text{N}-\text{H}$, CH_2-NH_2 in NH_2 funkcionalizacijo z APTMS.

Potenciometrična titracija potrjuje prisotnost amino skupina na površini nanodelcev $\gamma\text{-Fe}_2\text{O}_3\text{-NH}_4\text{OH}@\text{SiO}_2$ (APTMS), in sicer znaša množina funkcionaliziranih amino skupin 0,0448 mmol/g.

Rezultati analize XRD potrjujejo kristalno zgradbo $\gamma\text{-Fe}_2\text{O}_3$ nanodelcev z razdaljo med kristalnimi ravninami 0,252 nm, z mrežno konstanto 0,8358 nm in s povprečno velikostjo nanodelcev $(19,1 \pm 3,3)$ nm.

Rezultati analize TGA postopoma sintetiziranih $\gamma\text{-Fe}_2\text{O}_3$, $\gamma\text{-Fe}_2\text{O}_3\text{-NH}_4\text{OH}$, $\gamma\text{-Fe}_2\text{O}_3\text{-NH}_4\text{OH}@\text{SiO}_2$ in $\gamma\text{-Fe}_2\text{O}_3\text{-NH}_4\text{OH}@\text{SiO}_2$ (APTMS) nanodelcev kažejo na prisotnost funkcionalnih skupin na površini nanodelcev preko analize izgube mase pri segrevanju nanodelcev. Največja izguba mase je razvidna pri segrevanju nanodelcev $\gamma\text{-Fe}_2\text{O}_3\text{-NH}_4\text{OH}@\text{SiO}_2$ (APTMS). Izmerjena izguba mase v višini 4,7 % pri segrevanju do 180 °C ustreza uparjanju absorbirane vlage in NH_4OH . Nadaljnja 12,1 % izguba mase pri segrevanju do 700 °C pa je posledica odstranitve NH_2 amino skupin s površine nanodelcev in krekingu preostalih siloksanskih skupin $\text{Si}-\text{O}-\text{Si}$.

Rezultati analize TEM kažejo relativno sferično morfologijo $\gamma\text{-Fe}_2\text{O}_3$ nanodelcev, premra od 15 nm do 20 nm, medtem ko je premer $\gamma\text{-Fe}_2\text{O}_3\text{-NH}_4\text{OH}@\text{SiO}_2$ (APTMS) nanodelcev večji od 50 nm. Spekter EDXS z elementarno sestavo Fe, O, N, Si in C potrjuje tako maghemitno jedro, SiO_2 lupino in funkcionalizacijo z amino skupinami.

Specifična površina sintetiziranih $\gamma\text{-Fe}_2\text{O}_3$ nanodelcev je $11,98 \text{ m}^2/\text{g}$, ocenjena velikost $\gamma\text{-Fe}_2\text{O}_3$ nanodelcev z analizo BET znaša $15,5 \text{ nm}$, kar se dokaj dobro ujema z velikostjo nanodelcev, dobljeno z analizo XRD in ocenjeno velikostjo z analizo TEM. Specifična površina sintetiziranih $\gamma\text{-Fe}_2\text{O}_3\text{-NH}_4\text{OH@SiO}_2(\text{APTMS})$ nanodelcev znaša $6,41 \text{ m}^2/\text{g}$, ocenjen premer nanodelcev pa je $53,5 \text{ nm}$.

Rezultati analize DLS potrjujejo učinkovitost tvorbe maghemitnih $\gamma\text{-Fe}_2\text{O}_3$ nanodelcev, tvorbe lupine SiO_2 okrog stabiliziranega maghemitnega $\gamma\text{-Fe}_2\text{O}_3$ jedra, torej $\gamma\text{-Fe}_2\text{O}_3\text{-NH}_4\text{OH@SiO}_2$ nanodelcev in učinkovitost funkcionalizacije z APTMS, torej $\gamma\text{-Fe}_2\text{O}_3\text{-NH}_4\text{OH@SiO}_2(\text{APTMS})$ nanodelcev. Za vse omenjene sintetizirane nanodelce so izmerjene izoelektrične točke, in sicer je za $\gamma\text{-Fe}_2\text{O}_3$ nanodelce izoelektrična točka pri pH 6,1; za $\gamma\text{-Fe}_2\text{O}_3\text{-NH}_4\text{OH@SiO}_2$ nanodelce pri pH 2,4 in za $\gamma\text{-Fe}_2\text{O}_3\text{-NH}_4\text{OH@SiO}_2(\text{APTMS})$ nanodelce je izoelektrična točka pri pH 9,5. Vrednost ζ -potenciala za $\gamma\text{-Fe}_2\text{O}_3$ nanodelce je višja od $+30 \text{ mV}$ pri pH $< 4,2$, kar pomeni, da so $\gamma\text{-Fe}_2\text{O}_3$ nanodelci stabilni v koloidni raztopini pri pH $< 4,2$. SiO_2 lupina okrog stabiliziranega maghemitnega jedra poveča kemično stabilnost nanodelcev in s tem možnosti širše uporabe v bio-aplikacijah. Prisotnost amino skupin na površini $\gamma\text{-Fe}_2\text{O}_3\text{-NH}_4\text{OH@SiO}_2$ nanodelcev stabilizira koloidno suspenzijo. Analiza DLS kaže, da je stabilnost novo sintetiziranih $\gamma\text{-Fe}_2\text{O}_3\text{-NH}_4\text{OH@SiO}_2(\text{APTMS})$ nanodelcev zadovoljiva, saj so vrednosti ζ -potenciala večje od $+30 \text{ mV}$ pri pH $< 4,5$ in manjše od -30 mV pri pH > 12 .

Analiza VSM kaže zmanjšanje masne magnetizacije nasičenja z vrednosti $53,79 \text{ emu/g}$ v primeru $\gamma\text{-Fe}_2\text{O}_3$ nanodelcev na vrednost $30,94 \text{ emu/g}$ v primeru funkcionaliziranih $\gamma\text{-Fe}_2\text{O}_3\text{-NH}_4\text{OH@SiO}_2(\text{APTMS})$ nanodelcev. Nizke vrednosti koercitivnosti in remanentne magnetizacije so ugodne z vidika uporabe nanodelcev, zato so novo sintetizirani $\gamma\text{-Fe}_2\text{O}_3\text{-NH}_4\text{OH@SiO}_2(\text{APTMS})$ nanodelci primerni adsorbenti za odstranjevanje RZE³⁺ iz vodnih raztopin z uporabo zunanjega magnetnega polja.

Postavljene hipoteze v okviru magistrske naloge so potrjene, in sicer:

- sinteze magnetnih $\gamma\text{-Fe}_2\text{O}_3$, stabiliziranih $\gamma\text{-Fe}_2\text{O}_3\text{-NH}_4\text{OH}$, obdanih z lupino $\gamma\text{-Fe}_2\text{O}_3\text{-NH}_4\text{OH@SiO}_2$ in funkcionaliziranih $\gamma\text{-Fe}_2\text{O}_3\text{-NH}_4\text{OH@SiO}_2(\text{APTMS})$ nanodelcev se razlikujejo po vstopnih kemikalijah, reakcijskih pogojih, stabilizaciji in funkcionalizaciji, kar vpliva na različne lastnosti nanodelcev, ovrednotene z metodami karakterizacije,
- magnetni $\gamma\text{-Fe}_2\text{O}_3\text{-NH}_4\text{OH@SiO}_2(\text{APTMS})$ nanodelci so učinkoviti za adsorpcijo Tb³⁺ in Dy³⁺ zaradi enostavne separacije nanodelcev z zunanjim magnetnim poljem,
- učinkovitost adsorpcije in adsorpcijska kapaciteta Tb³⁺ in Dy³⁺ sta odvisni od pogojev adsorpcije, torej od začetne koncentracije RZE³⁺, mase nanodelcev, temperature adsorpcije in časa poteka adsorpcije, adsorbenta in adsorbata (Tb³⁺ in Dy³⁺).

Učinkovitost $\gamma\text{-Fe}_2\text{O}_3\text{-NH}_4\text{OH@SiO}_2(\text{APTMS})$ nanodelcev kot adsorbenta za adsorpcijo RZE³⁺ iz vodnih raztopin potrjuje maksimalna adsorpcijska kapaciteta, ki znaša $46,5 \text{ mg/g}$ za Tb³⁺ in $23,2 \text{ mg/g}$ za Dy³⁺ pri optimalnih eksperimentalnih pogojih. Adsorpcija Tb³⁺ in Dy³⁺ sledi kinetičnemu modelu psevdodrugega reda in ustreza Temkinovi adsorpcijski izotermi. Prikazana je tudi desorpcija Tb³⁺ in Dy³⁺ s površine $\gamma\text{-Fe}_2\text{O}_3\text{-NH}_4\text{OH@SiO}_2(\text{APTMS})$ nanodelcev z uporabo $0,5 \text{ M HNO}_3$ z možnostjo recikliranja nanodelcev in RZE³⁺.

Rezultati adsorpcije kakor tudi enostavna in odlična ponovljivost sinteze nanodelcev kažejo, da so novi $\gamma\text{-Fe}_2\text{O}_3\text{-NH}_4\text{OH@SiO}_2\text{(APTMS)}$ nanodelci odlični adsorbenti za odstranjevanje Tb^{3+} in Dy^{3+} iz vodnih raztopin.

Za potrditev uporabe novo sintetiziranih $\gamma\text{-Fe}_2\text{O}_3\text{-NH}_4\text{OH@SiO}_2\text{(APTMS)}$ nanodelcev za adsorpcijo različnih RZE $^{3+}$ iz vodnih raztopin ter za recikliranje tako nanodelcev kot RZE $^{3+}$ bi bile potrebne v prihodnje še raziskave (i) vpliva pH na adsorpcijo, (ii) adsorpcije/desorpcije preostalih RZE $^{3+}$ z novo sintetiziranimi nanodelci, (iii) vpliva različnih reagentov na desorpcijo ter možnosti ponovne uporabe nanodelcev in RZE $^{3+}$, in (iv) vpliva sterično in elektrosterično stabiliziranih nanodelcev na adsorpcijo RZE $^{3+}$ ter primerjava z rezultati adsorpcije, dobljenih z elektrostatično stabilizacijo.

6 Literatura

- [1] Anastopoulos I., Bhatnagar A., Lima E. C. Adsorption of rare earth metals: A review of recent literature. *Journal of Molecular Liquids* 221, 954–962, 2016.
- [2] Jenkins S. B. *Nanoporous materials: Types, properties and uses*. Nova Science Publishers, 2010.
- [3] Wang F., Zhao J., Pan F., Zhou H., Yang X., Li W., Liu H. Adsorption properties toward trivalent rare earths by alginate beads doping with silica. *Industrial & Engineering Chemistry Research* 52, 3453–3461, 2013.
- [4] Wang F., Zhao J., Pan F., Zhou H., Yang X., Li W., Liu H. O-carboxymethyl chitosan entrapped by silica: preparation and adsorption behaviour toward neodymium (III) ions. *Journal of Chemical Technology and Biotechnology* 88, 317–325, 2013.
- [5] Roshni V., Ottoor D. Snthesis of carbon nanoparticles using one step green approach and their application as mercuric ion sensor. *Journal of Luminescence* 161, 117–122, 2015.
- [6] Younis A. M., Kolesnikov A. V., Desyatov A. V. Efficient removal of La(III) and Nd(III) from aqueous solutions using carbon nanoparticles. *American Journal of Analytical Chemistry* 5, 1273-1284, 2014.
- [7] Wang M., Li X., Hua W., Shen L., Yu X., Wang X. Electrospun poly(acrylic acid)/silica hydrogel nanofibers scaffold for highly efficient adsorption of lanthanide ions and its photoluminescence performance. *ACS Applied Materials & Interfaces* 8, 23995–24007, 2016.
- [8] Topel S. D., Legaria E. P., Tiseanu C., Rocha J., Nedelec J. M., Kessler V. G., Seisenbaeva G. A. Hybrid silica nanoparticles for sequestration and luminescence detection of trivalent rare-earth ions (Dy^{3+} and Nd^{3+}) in solution. *Journal of Nanoparticle Research* 16:2783, 1–17, 2014.
- [9] Legaria E. P. *Hybrid nanoadsorbents for extraction and separation of rare earth elements in solution*. Licentiate Thesis. Swedish University of Agricultural Sciences, Uppsala, 2016.
- [10] Awual R., Alharthi N. H., Okamoto Y., Karim M. R., Halim E., Hasan M., Rahman M. M., Islam M., Khaleque A., Sheikh C. Ligand field effect for dysprosium(III) and lutetium(III) adsorption and EXAFS coordination with novel composite nanomaterials. *Chemical Engineering Journal* 320, 427–435, 2017.

- [11] Dupont D., Brullot W., Bloemen M., Verbiest T., Binnemans K. Selective uptake of rare earths from aqueous solutions by EDTA functionalized magnetic and nonmagnetic nanoparticles. *ACS Applied Materials & Interfaces* 6, 4980–4988, 2014.
- [12] Shiri-Yekta Z., Yaftian M. R., Nilchi A. Silica nanoparticles modified with a Schiff base ligand: An efficient adsorbent for Th(IV), U(VI) and Eu(III) ions. *Korean Journal of Chemical Engineering* 30 (8), 1644–1651, 2013.
- [13] Ghorbanloo M., Monfared H. H., Janiak C. The catalytic function of a silica gel-immobilized Mn(II)-hydrazide complex for alkene epoxidation with H₂O₂. *Journal of Molecular Catalysis: Chemical* 345, 12–20, 2011.
- [14] Roosen J., Spooren J., Binnemans K. Adsorption performance of functionalized chitosan-silica hybrid materials toward rare earths. *Journal of Material Chemistry A* 2, 19415–19426, 2014.
- [15] Roosen J., Binnemans K. Adsorption and chromatographic separation of rare earths with EDTA- and DTPA-functionalized chitosan biopolymers. *Journal of Materials Chemistry A* 2, 1530–1540, 2014.
- [16] Repo E., Warchoł J. K., Bhatnagar A., Sillanpää M. Heavy metals adsorption by novel EDTA-modified chitosan-silica hybrid materials. *Journal of Colloid and Interface Science* 358, 261–267, 2011.
- [17] Roosen J., Roosendaal S. V., Borra C. R., Gerven T. V., Mullens S., Binnemans K. Recovery of scandium from leachates of Greek bauxite residue by adsorption on functionalized chitosan–silica hybrid materials. *Green Chemistry* 18, 2005–2013, 2016.
- [18] Rosca I. D., Watari F., Uo M., Akasaka T. Oxidation of multiwalled carbon nanotubes by nitric acid. *Carbon* 43, 3124–3131, 2005.
- [19] Koochaki-Mohammadpour S. M. A., Torab-Mostaedi M., Talebizadeh-Rafsanjani A., Naderi-Behdani F. Adsorption isotherm, kinetic, thermodynamic, and desorption studies of lanthanum and dysprosium on oxidized multiwalled carbon nanotubes. *Journal of Dispersion Science and Technology* 35 (2), 244–254, 2014.
- [20] Iftekhar S., Srivastava V., Sillanpää M. Enrichment of lanthanides in aqueous system by cellulose based silica nanocomposite. *Chemical Engineering Journal* 320, 151–159, 2017.
- [21] Gargari J.E., Kalal H.S., Shakeri A., Khnachi A. Synthesis and characterization of silica/polyvinyl imidazole/H₂PO₄⁻ coreshell nanoparticles as recyclable adsorbent for

- efficient scavenging of Sm(III) and Dy(III) from water. *Journal of Colloid and Interface Science* 505, 745–755, 2017.
- [22] Gok C. Neodymium and samarium recovery by magnetic nano-hydroxyapatite. *Journal of Radioanalytical and Nuclear Chemistry* 301, 641–651, 2014.
- [23] Feng Y., Gong J. L., Zeng G. M., Niu Q. Y., Zhang H. Y., Niu C. G., Deng J. H., Yan M. Adsorption of Cd(II) and Zn(II) from aqueous solutions using magnetic hydroxyapatite nanoparticles as adsorbents. *Chemical Engineering Journal* 162, 487–494, 2010.
- [24] Dong L., Zhu Z., Qiu Y., Zhao J. Removal of lead from aqueous solution by hydroxyapatite/magnetite composite adsorbent. *Chemical Engineering Journal* 165, 827–834, 2010.
- [25] Sricharoen P., Limchoowong N., Areerob Y., Nuengmatcha P., Techawonstien S., Chanhai S. Fe₃O₄/hydroxyapatite/graphene quantum dots as a novel nano-sorbent for preconcentration of copper residue in Thai food ingredients: Optimization of ultrasound-assisted magnetic solid phase extraction. *Ultrasonics Sonochemistry* 37, 83–93, 2017.
- [26] Miraoui A., Didi M. A., Villemain D. Neodymium(III) removal by functionalized magnetic nanoparticles. *Journal of Radioanalytical and Nuclear Chemistry* 307, 963–971, 2016.
- [27] Ashour R. M., Abdel-Khalek A., Ali M. M., Abdel-Magied F. Adsorption of La³⁺ and Gd³⁺ using magnetic iron oxide nanoparticles: Mechanistic and kinetic study. *Chemical Technology: An Indian Journal* 11 (3), 100–108, 2016.
- [28] Ashour R. M., Abdel-Magied A. F., Abdel-Khalek A. A., Helaly O.S., Ali M.M. Preparation and characterization of magnetic iron oxide nanoparticles functionalized by L-cysteine: Adsorption and desorption behavior for rare earth metal ions. *Journal of Environmental Chemical Engineering* 4, 3114–3121, 2016.
- [29] Ashour R. M., El-Sayed R., Abdel Magied A. F., Abdel Khalek A. A., Ali M. M., Forberg K., Uheida A., Muhammed M., Dutta J. Selective separation of rare earth ions from aqueous solution using functionalized magnetite nanoparticles: kinetic and thermodynamic studies. *Chemical Engineering Journal* 327, 286–296, 2017.
- [30] Yesiller S. U., Eroğlu A. E., Shahwan T. Removal of aqueous rare earth elements (REEs) using nano-iron based materials. *Journal of Industrial and Engineering Chemistry* 19, 898–907, 2013.

- [31] Dubey S. S., Grandhi S. Sorption studies of yttrium (III) ions on nano maghemite. *Journal of Environmental Chemical Engineering* 4, 4719–4730, 2016.
- [32] Galhoum A. A., Mahfouz M. G., Abdel-Rehem S. T., Gomaa N. A., Atia A. A., Vincent T., Guibal E. Cysteine-functionalized chitosan magnetic nano-based particles for the recovery of light and heavy rare earth metals: uptake kinetics and sorption isotherms. *Nanomaterials* 5, 154–179, 2015.
- [33] Mahfouz M. G., Galhoum A. A., Gomaa N. A., Abdel-Rehem S. S., Atia A. A., Vincent T., Guibal E. Uranium extraction using nano-based particles of diethylenetriamine-functionalized chitosan: Equilibrium and kinetic studies. *Chemical Engineering Journal* 262, 198–209, 2015.
- [34] Galhoum A. A., Mahfouz M. G., Abdel-Rehem S. T., Gomaa N. A., Atia A. A., Vincent T., Guibal E. Diethylenetriamine-functionalized chitosan magnetic nanobased particles for the sorption of rare earth metal ions [Nd(III), Dy(III) and Yb(III)]. *Cellulose* 22, 2589–2605, 2015.
- [35] Wu D., Zhu C., Chen Y., Zhu B., Yang Y., Wang Q., Ye W. Preparation, characterization and adsorptive study of rare earth ions using magnetic GMZ bentonite. *Applied Clay Science* 62–63, 87–93, 2012.
- [36] Qiu S., Zhao Z., Sun X. Development of magnetic silica hybrid material with P507 for rare earth adsorption. *Journal of Chemical & Engineering Data* 62, 469–476, 2017.
- [37] Dupont D., Luyten J., Bloemen M., Verbiest T., Binnemans K. Acid-stable magnetic core–shell nanoparticles for the separation of rare earths. *Industrial & Engineering Chemistry Research* 53, 15222–15229, 2014.
- [38] Wu D., Sun Y., Wang Q. Adsorption of lanthanum (III) from aqueous solution using 2-ethylhexyl phosphonic acid mono-2-ethylhexyl ester-grafted magnetic silica nanocomposites. *Journal of Hazardous Materials* 260, 409–419, 2013.
- [39] Basualto C., Gaete J., Molina L., Valenzuela F., Yañez C., Marco J. F. Lanthanide sorbent based on magnetite nanoparticles functionalized with organophosphorus extractants. *Science and Technology of Advanced Materials* 16, 1–9, 2015.
- [40] Almeida S. N., Toma H. E. Neodymium(III) and lanthanum(III) separation by magnetic nanohydrometallurgy using DTPA functionalized magnetite nanoparticles. *Hydrometallurgy* 161, 22–28, 2016.

- [41] Zhang H., McDowell R. G., Martin L. R., Qiang Y. Selective extraction of heavy and light lanthanides from aqueous solution by advanced magnetic nanosorbents. *Applied Materials & Interfaces* 8, 9523–9531, 2016.
- [42] Liu E., Zheng X., Xu X., Zhang F., Liu E., Wang Y., Li C., Yan Y. Preparation of diethylenetriamine-modified magnetic chitosan nanoparticles for adsorption of rare-earth metal ions. *New Journal of Chemistry* 41, 7739–7750, 2017.
- [43] Yang S., Zong P., Ren X., Wang Q., Wang X. Rapid and highly efficient preconcentration of Eu(III) by core–shell structured Fe₃O₄@humic acid magnetic nanoparticles. *ACS Applied Materials & Interfaces* 4, 6891–6900, 2012.
- [44] Charalampides G., Vatalis K. I., Apostolos B., Ploutarch-Nikolas B. Rare earth elements: Industrial applications and economics dependency of Europe. *Procedia Economics and Finance* 24, 126–135, 2015.
- [45] Migaszewska Z. M., Gałuszka A. The characteristics, occurrence, and geochemical behavior of rare earth elements in the environment: A review. *Critical Reviews in Environmental Science and Technology* 45, 429–471, 2015.
- [46] Klinger J. M. A historical geography of rare earth elements: From discovery to the atomic age. *The extractive Industries and Society* 2, 572–580, 2015.
- [47] Zepf V. *Rare earth elements. A new approach to the nexus of supply, demand and use: Exemplified along the use of neodymium in permanent magnets*. Berlin, Heidelberg: Springer, 2013.
- [48] Drofenik M. *Splošna in anorganska kemija*. Univerza v Mariboru, Fakulteta za kemijo in kemisko tehnologijo, Maribor, 2013.
- [49] Zhan W., Guo Y., Gong X., Guo Y., Wang Y., Lu G. Current status and perspectives of rare earth catalytic materials and catalysis. *Chinese Journal of Catalysis* 35, 1238–1250, 2014.
- [50] Borges de Lima I., Filho W. L. *Rare earths industry. Technological, economic, and environmental implications*. Amsterdam: Elsevier, 2016.
- [51] Chakhmouradian A. R., Wall F. Rare earth elements: Minerals, Mines, Magnets. *Elements* 8, 333–340, 2012.
- [52] Gonzalez V., Vignati D. A. L., Leyval C., Giamberini L. Environmental fate and ecotoxicity of lanthanides: Are they a uniform group beyond chemistry? *Environmental International* 71, 148–157, 2014.

- [53] Tunsu C., Petranikova M., Gergorić M., Ekberg C., Retegan T. Reclaiming rare earth elements from end-of-life products: A review of the perspectives for urban mining using hydrometallurgical unit operations. *Hydrometallurgy* 156, 239–258, 2015.
- [54] USGS. *Mineral commodity summaries 2017*. Virginia: U. S. Geological Survey, 2017.
- [55] Ebner J. *Europe's rare earth dependence on China*. EIAS Briefing Paper, European Institute for Asian Studies, 2014.
- [56] Zhou B., Li Z., Zhao Y., Zhang C., Wei Y. Rare earth elements supply vs. clean energy technologies: New problems to be solve. *Gospodarka Surowcami Mineralnymi – Mineral Resources Management* 32 (4), 29–44, 2016.
- [57] Huang X., Zhang G., Pan A., Chen F., Zheng C. Protecting the environment and public health from rare earth mining. *Earth's future* 4 (11), 532–535, 2016.
- [58] Pagano G., Aliberti F., Guida M., Oral R., Siciliano A., Trifuggi M., Tommasi F. Rare earth elements in human and animal health: State of art and research priorities. *Environmental Research* 142, 215–220, 2015.
- [59] Pagano G., Guida M., Tommasi F., Oral R. Health effects and toxicity mechanisms of rare earth elements – Knowledge gaps and research prospects. *Ecotoxicology and Environmental Safety* 115, 40–48, 2015.
- [60] Rim K. T. Effects of rare earth elements on the environment and human health: A literature review. *Toxicology and Environmental Health Sciences* 8 (3), 189–200, 2016.
- [61] Haque N., Hughes A., Lim S., Vernon C. Rare earth elements: Overview of mining, mineralogy, uses, sustainability and environmental impact. *Resources* 3, 614–635, 2014.
- [62] Binnemans K., Jones P. T. Rare earths and the balance problem. *Journal of Sustainable Metallurgy* 1, 29–38, 2015.
- [63] Smith Y. R., Kumar P., McLennan J. D. On the extraction of rare earth elements from geothermal brines. *Resources* 6 (39), 1–16, 2017.
- [64] Shen L., Wu N., Zhong S., Gao L. Overview on China's rare earth industry restructuring and regulation reforms. *Journal of Resources and Ecology* 8 (3), 2013–222, 2017.
- [65] Zhang S. On problem in rare earth exports of China and countermeasures. *International Business and Management* 6 (1), 21–25, 2013.

- [66] Sadri F., Nazari A. M., Ghahreman A. A review on the cracking, baking and leaching processes of rare earth element concentrates. *Journal of rare earths* 35 (8), 739–752, 2017.
- [67] Yang Y., Walton A., Sheridan R., Güth K., Gauss R., Gutfleisch O., Buchert M., Steenari B. M., Gerven T., Jones P. T., Binnemans K. REE recovery end-of-life NdFeB permanent magnet scrap: A critical review. *Journal of Sustainable Metallurgy* 3, 122–149, 2017.
- [68] ERECON. *Strengthening the European rare earths supply-chain*. Challenges and policy options. A report by the European Rare Earths Competency Network, 2015.
- [69] Tsamis A., Coyne M. *Recovery of rare earths from electronic wastes*: An opportunity for high-tech SMEs. Directorate general for internal policies. EU Policy department A: Economic and scientific policy, 2015.
- [70] Golev A., Scott M., Erskine P. D., Ali A. H., Ballantyne G. R. Rare earths supply chains; Current status, constraints and opportunities. *Resources Policy* 41, 52–59, 2014.
- [71] Panayotova M., Panayotov V. Review of methods for the rare earth metals recycling. *Mining and Mineral Processing* 55, 142–147, 2012.
- [72] Ali A. H. Social and environmental impact of the rare earth industries. *Resources* 3, 123–134, 2014.
- [73] Binnemans K., Jones P. T., Blanpain B., Gerven T. V., Yang Y., Walton A., Buchert M. Recycling of rare earths: A critical review. *Journal of Cleaner Production* 51, 1–22, 2013.
- [74] Voncken J. H. L. *Rare earth elements: An introduction*. Springer Verlag, 2016.
- [75] Peelman S., Sun Z.H.I. Sietsma J., Yang Y. *Leaching of rare earth elements*: Past and present. ERES2014: European rare earth resources Conference 446–456, 2014.
- [76] Binnemans K., Jones P. T., Blanpain B., Gerven T. V., Pontikes Y. Towards zero-waste valorization of rare-earth-containing industrial process residues: A critical review. *Journal of Cleaner Production* 99, 17–38, 2015.
- [77] Gutiérrez-Gutiérrez S. C., Coulon F., Jiang Y., Wagland S. Rare earth elements and critical metal content of extractive landfilled material and potential recovery opportunities. *Waste Management* 42, 128–136, 2015.

- [78] Bian Y., Guo S., Jiang L., Liu J., Tang K., Ding W. Recovery of rare earth elements from NdFeB magnet by VIM-HMS method. *ACS Sustainable Chemistry & Engineering* 4, 810–818, 2016.
- [79] Bünzli J. C. *Kirk-Othmer encyclopedia of chemical technology*. John Wiley & Sons, 2013.
- [80] Cong L., Jin H., Fitsos P., McIntyre T., Yih Y., Zhao F., Sutherland J. W. Modeling the value of rare earth permanent magnets at end-of-life. *Procedia CIRP* 29, 680685, 2015.
- [81] Cui H., Anderson C. G: Literature review of hydrometallurgical recycling of printed circuit boards (PCBs). *Journal of Advanced Chemical Engineering* 6 (1), 1–12, 2016.
- [82] EC. *Directive 2006/66/EC of the European Parliament and of the Council on batteries and accumulators and waste batteries and accumulators and repealing Directive 91/157/EEC*. Official Journal of the European Union, 2012.
- [83] EC. *Report on critical raw materials for the EU. Report of the ad-hoc Working Group on defining critical raw materials*. European Commission, 2014a.
- [84] EC, *COM(2014) 397 final*. Proposal for a Directive of the European parliament and of the council amending Directives 2008/98/EC on waste, 94/62/EC on packaging and packaging waste, 1999/31/EC on the landfill of waste, 2000/53/EC on end-of-life vehicles, 2006/66/EC on batteries and accumulators and waste batteries and accumulators, and 2012/19/EU on waste electrical and electronic equipment, 2014b.
- [85] Rollat A., Guyonnet D., Planchon M., Tuduri J. Prospective analysis of the flows of certain rare earths in Europe at the 2020 horizon. *Waste Management* 49, 427–436, 2016.
- [86] Farella F., Innocenzi V., Maggiore F. Oil refining spent catalysts: A review of possible recycling technologies. *Resources, Conservation and Recycling* 108, 10–20, 2016.
- [87] Lixandru A., Venkatesan P., Jönsson C., Poenaru I., Hall B., Yang Y., Watson A., Güth K., Gauss R., Gutfleisch O. Identification and recovery of rare-earth permanent magnets from waste electrical and electronic equipment. *Waste Management* 68, 482–489, 2017.
- [88] Tansel B. From electronic consumer products to e-waste: Global outlook, waste quantities, recycling challenges. *Environment International* 98, 35–45, 2017.

- [89] Hu A. H., Kuo C. H., Huang L. H., Su C. C. Carbon footprint assessment of recycling technologies for rare earth elements: A case study of recycling yttrium and europium from phosphor. *Waste Management* 60, 765–774, 2017.
- [90] Innocenzi V., Ippolito N. M., Michelis I. D., Medici F., Veglio F. A hydrometallurgical process for the recovery of terbium from fluorescent lamps: Experimental design, optimization of acid leaching process and process analysis. *Journal of Environmental Management* 184, 552–559, 2016.
- [91] Lederer F. L., Curtis S. B., Bachmann S., Dunnbar W. S., MacGillvray R. T. A. Identification of lanthanum – specific peptides for future recycling of rare earth elements from compact fluorescent lamps. *Biotechnology and Bioengineering* 114 (5), 1016–1024, 2017.
- [92] Loy S. V., Binnemans K., Gerven T. V: Recycling of rare earths from lamp phosphor waste: Enhanced dissolution of LaPO₄: Ce³⁺, Tb³⁺ by mechanical activation. *Journal of Cleaner Production* 156, 226–234, 2017.
- [93] Ruiz-Mercado G. J., Gonzales M. A., Smith R. L., Meyer D. E. A conceptual chemical process for the recycling of Ce, Eu, and Y from LED flat panel displays. *Resources, Conservation & Recycling* 126, 42–49, 2017.
- [94] Song G., Yuan W., Zhu X., Wang X., Zhang C., Li J., Bai J., Wang J. Improvement in rare earth element recovery from waste trichromatic phosphors by mechanical activation. *Journal of Cleaner Production* 151, 361–370, 2017.
- [95] Yang X., Zhang J., Fang X. Rare earth element recycling from waste nickel-metal hydride batteries. *Journal of Hazardous Materials* 279, 384–388, 2014.
- [96] Abbasalizadeh A., Mafliet A., Seetharaman S., Sietsma J., Yang Y. Electrochemical recovery of rare earth elements from magnets: Conversion of rare earth based metals into rare earth fluorides in molten salts. *Material Transactions* 58 (3), 400–405, 2017.
- [97] Höglberg S., Holboll J., Mijatovic N., Jensen B. B., Bendixen F. B. Direct reuse of rare earth permanent magnets – coating integrity. *IEEE Transaction on Magnetics* 53 (4), 1–9, 2017.
- [98] Schulze R., Buchert M. Estimates of global REE recycling potentials from NdFeB magnet material. *Resources, Conservation and Recycling* 113, 12–27, 2016.
- [99] Ogata T., Narita H., Tanaka M. Adsorption mechanism of rare earth elements by adsorbents with diglycolamic acid ligands. *Hydrometallurgy* 163, 156–160, 2016.

- [100] Wang J., Wang X., Song Y., Wang J., Zhang C., Chang C., Yan J., Qiu L., Wu M., Guo Z. A platinum anticancer theranostic agent with magnetic targeting potential derived from maghemite nanoparticles. *Chemical Science* 4, 2605–2612, 2013.
- [101] Akahori T., Miyamoto Y., Saeki T., Okamoto M., Okabe T. H. Optimum conditions for extracting rare earth metals from waste magnets by using molten magnesium. *Journal of Alloys and Compounds* 703, 337–343, 2017.
- [102] Li C., Zhuang Z., Huang F., Wu Z., Hong Y., Lin Z. Recycling rare earth elements from industrial wastewater with flowerlike nano-Mg(OH)₂. *ACS Applied Materials & Interfaces* 5, 9719–9725, 2013.
- [103] Legaria E. P., Rocha J., Tai C. W., Kessler V. G., Seisenbaeva G. A. *Unusual seeding mechanism for enhanced performance in solidphase magnetic extraction of Rare Earth Elements*. Scientific Report 7:43740, 1–13, 2017.
- [104] Ramasamy D. L., Repo E., Srivastava V., Sillanpää M. Chemically immobilized and physically adsorbed PAN/acetylacetone modified mesoporous silica for the recovery of rare earth elements from the waste water-comparative and optimization study. *Water Research* 114, 264–276, 2017.
- [105] Zhu Y., Zheng Y., Wang A. Preparation of granular hydrogel composite by the redox couple for efficient and fast adsorption of La(III) and Ce(III). *Journal of Environmental Chemical Engineering* 3, 1416–1425, 2015.
- [106] Zhu Y., Zheng Y., Wang A. A simple approach to fabricate granular adsorbent for adsorption of rare elements. *International Journal of Biological Macromolecules* 72, 410–420, 2015.
- [107] Chen W., Wang L., Zhuo M., Wang Y., Fu S., Li Y., Wu S. Reusable colloidal graphene oxide suspensions combined with dialysis bags for recovery of trace Y(III) from aqueous solutions. *RCS Advances* 4, 58778–58787, 2014.
- [108] Demir S., Brune N. K., Humbeck J. F. V., Mason J. A., Plakhova T. V.; Wang S., Tian G., Minasian S. G., Tyliszczak T., Yaita T., Kobayashi T., Kalmykov S. N., Shiwaku H., Shuh D. K., Long J. R. Extraction of lanthanide and actinide ions from aqueous mixtures using carboxylic acid-functionalized porous aromatic framework. *ACS Central Science* 2, 253–265, 2016.
- [109] Gladysz-Płaska A., Majdan M., Grabias E. Adsorption of La, Eu and Lu on raw and modified red clay. *Journal of Radioanalytical and Nuclear Chemistry* 301, 33–40, 2014.

- [110] Ogata T., Narita H., Zanaka M. Adsorption behavior of rare earth elements on silica gel modified with diglycol amic acid. *Hydrometallurgy* 152, 178–182, 2015.
- [111] Wang F., Wang W., Zhu Y., Wang A. Evaluation of Ce(III) and Gd(III) adsorption from aqueous solution using CTS-g-(AA-co_SS)/ISC hybrid hydrogel adsorbent. *Journal of Rare Earths* 35 (7), 697–708, 2017.
- [112] Ramasamy D. L., Khan S., Repo S., Sillanpää M. Synthesis of mesoporous and microporous amine and non-amine functionalized silica gels for the application of rare earth elements (REE) recovery from the waste water-understanding the role of pH, temperature, calcination and mechanism in Light REE and Heavy REE separation. *Chemical Engineering Journal* 322, 56–65, 2017.
- [113] Melnyk I. V., Goncharyk V. P., Stolyarchuk N. V., Kozhara L. I., Lunochkina A. S., Alonso B., Zub Y. L. Dy(III) sorption from water solutions by mesoporous silicas functionalized with phosphonic acid groups. *Journal of Porous Materials* 19, 579–585, 2012.
- [114] Bunina Z. Y., Bryleva K., Yurchenko O., Belikov K. Sorption materials based on ethylene glycol dimethacrylic acid copolymers for rare earth elements extraction from aqueous solutions. *Adsorption Science & Technology* 35 (5–6), 545–559, 2017.
- [115] Naser A. A., El-deen G. E. S., Bhran A. A., Metwally S. S., El-Kamash A. M. Elaboration of impregnated composite for sorption of europium and neodymium ions from aqueous solutions. *Journal of Industrial and Engineering Chemistry* 32, 264–272, 2015.
- [116] Liatsou I., Efstathiou M., Pashalidis I. Adsorption of trivalent lanthanides by marine sediments. *Journal of Radioanalytical and Nuclear Chemistry* 304, 41–45, 2015.
- [117] Delrish E., Khanchi A., Outokesh M., Tyyebi A., Tahvildary K. Study on the adsorption of samarium and gadolinium ions by a biopolymer microcapsules containing DEHPA/TOPO extract. *Journal of Applied Chemical Research* 8 (2), 61–69, 2014.
- [118] Fisher A., Kara D. Determination of rare earth elements in natural water samples – A review of sample separation, preconcentration and direct methodologies. *Analytica Chimica Acta* 935, 1–29, 2016.
- [119] Patra S., Roy E., Madhuri R., Sharma P. K. Removal and recycling of precious rare earth elements from wastewater samples using imprinted magnetic ordered mesoporous carbon. *ACS Sustainable Chemistry & Engineering* 5, 6910–6923, 2017.

- [120] Vollath D. *Nanomaterials: An introduction to synthesis, properties and applications.* Willey-VCH, 2013.
- [121] Runowski M. Nanotechnology – nanomaterials, nanoparticles and multifunctional core/shell type nanostructures. *Chemik* 9, 771–779, 2014.
- [122] Bréchignac C., Houdy P., Lahmani M. *Nanomaterials and nanochemistry.* Berlin Heidelberg: Springer-Verlag, 2007.
- [123] Conradi M. Nanosilica-reinforces polymer composites. *Materials and Technology* 47, 285–293, 2013.
- [124] Sharma C. K., Sharma M., Verma O., Sharma V. Green synthesis of different nanoparticles and their potential applications in different fields – A critical review. *International Journal of Pharma and Bio Sciences* 6 (3), 555–567, 2015.
- [125] Mikhaylova M., Kim D. K., Bobrysheva N., Osmolowsky M., Semenov V., Tsakalakos T., Muhammed M. Superparamagnetism of magnetite nanoparticles: Dependence on surface modification. *Langmuir* 20 (6), 2472–2477, 2004.
- [126] Tang S. C. N. Lo I. M. C. Magnetic nanoparticles: Essential factors for sustainable environmental applications. *Water Research* 47, 2613–2632, 2013.
- [127] Jiang W., Lai K. L., Hu H., Zeng X. B., Lan F., Liu K. X., Wu Y., Gu Z. W. The effect of $[\text{Fe}^{3+}]/[\text{Fe}^{2+}]$ molar ratio and iron salts concentration on the properties of superparamagnetic iron oxide nanoparticles in the water/ethanol/toluene system. *Journal of Nanoparticle Research* 13, 5135–5145, 2011.
- [128] Laurent S., Forge D., Port M., Roch A., Robic C., Elst L. V., Muller R. N. Magnetic iron oxide nanoparticles: Synthesis, stabilization, vectorization, physicochemical characterizations, and biological applications. *Chemical Reviews* 108, 2064–2110, 2008.
- [129] Lu A. H., Salabas E. L. Schüth F. Magnetic nanoparticles: Synthesis, protection, functionalized, and application. *Angeandte Chemie International Edition* 46, 1222–1244, 2007.
- [130] Sheng-Nan S., Chao W., Zan-Zan Zhu, Yang-Long H., Venkatraman S. S., Zhi-Chuan X. Magnetic iron oxide nanoparticles: Synthesis and surface coating techniques for biomedical applications. *Chinese Physics B* 23 (3), 1–19, 2014.
- [131] Byranvand M. M., Kharat A. N., Fathlahi L., Beiranvand Z. M. A Review on synthesis of nano-TiO₂ via different methods. *Journal of nanostructures* 3, 1–9, 2013.

- [132] Gao H. Nanoscale silicon dioxide prepared by sol-gel process. *Modern Applied Science* 4 (9), 152–156, 2010.
- [133] Berijani S., Reza Ganjali M., Sereshti H., Norouzi P. A selective modified nanoporous silica as sorbent for separation and preconcentration of dysprosium in water samples prior to ICP-OES determination. *International Journal of Environmental Analytical Chemistry* 92, 355–365, 2012.
- [134] Frančič N., Košak A., Lobnik A. Immobilization of organophosphate hydrolase on mesoporous and Stöber particles. *Journal of Sol-Gel Sceience and Technology* 79, 497–509, 2016.
- [135] Alibeigi S., Vaezi M. R. Phase transformation of iron oxide nanoparticles by varying the molar ratio of Fe^{2+} : Fe^{3+} . *Chemical Engineering & Technology* 31(11), 1591–1596, 2008.
- [136] Blaney L. Magnetite (Fe_3O_4): Properties, synthesis, and applications. *Lehigh Review* 15, 33–81, 2007.
- [137] Abou-Hassan A., Bazzi R., Cabuil V. Multistep continuous-flow microsynthesis of magnetic and fluorescent γ - Fe_2O_3 @ SiO_2 core/shell nanoparticles. *Angewandte Chemie International Edition* 48, 7180–7183, 2009.
- [138] Ang B. C., Yaacob I. I., Nurdin I. Effect of Fe_2O_3 / SiO_2 ratio on maghemite-silica particulate nanocomposites. *Journal of Central South University* 20, 2954–2959, 2013.
- [139] Ang B. C., Yaacob I. I., Nurdin I. Investigation of Fe_2O_3 / SiO_2 nanocomposite by FESEM and TEM. *Journal of Nanomaterials* 2013, 1–6, 2013.
- [140] Fang C. L., Qian K., Zhu J., Wang S., Lv X., Yu S. H. Monodisperse α - Fe_2O_3 @ SiO_2 @Au core/shell nanocomposite spheres: Synthesis, characterization and properties. *Nanotechnology* 19, 1–7, 2008.
- [141] Gawande M B., Goswami A., Asefa T., Guo H., Biradar A. V., Peng D. L., Zboril R., Varma R. S. Core-shell nanoparticles: synthesis and applications in catalysis and electrocatalysis. *Chemical Society Reviews* 44, 7540–7590, 2015.
- [142] Vestal C. R., Zhang Z. J. Atom transfer radical polymerization synthesis and magnetic characterization of MnFe_2O_4 /polystyrene core/shell nanoparticles. *Journal of the American Chemical Society* 124, 14312–14313, 2002.
- [143] Ding H. L., Zhang Y. X., Wang S., Xu J. M., Xu S. C., Li G. H. Fe_3O_4 @ SiO_2 core/shell nanoparticles: The silica coating regulations with a single core for different core sizes and shell thicknesses. *Chemistry of Materials* 24, 4572–4580, 2012.

- [144] López-Ortega A., Estarder M., Salazar-Alvarez G., Roca A. G., Nogués J. Applications of exchange coupled bi-magnetic hard/soft and soft/hard magnetic core/shell nanoparticles. *Physics Reports* 553, 1—32, 2015.
- [145] Wei S., Wang Q., Zhu J., Sun L., Lin H., Guo Z. Multifunctional composite core-shell nanoparticles. *Nanoscale* 3, 4474–4502, 2011.
- [146] Lue J. T. Physical properties of nanomaterials. *Encyclopedia of Nanoscience and Nanotechnology* 10, 1–46, 2007.
- [147] Faraji M., Yamini Y., Rezaee M. Magnetic nanoparticles: Synthesis, stabilization, functionalization, characterization, and applications. *Journal of the Iranian Chemical Society* 7 (1), 1–37, 2010.
- [148] Brinker C. J., Scherer G. W. *Sol-gel science: The physics and chemistry of sol-gel processing*. Boston: Academic Press, 1990.
- [149] Hasany S. F., Ahmed I., Rajan J., Rehman A. Systematic revie of the preparation techniques of iron oxide magnetic nanoparticles. *Nanoscience and Nanotechnology* 2 (6), 148–158, 2012.
- [150] Markuš S. *Sinteza nanodelcev zlitin (Cr, Cu)Ni s sol-gel metodo in oblačenje delcev*. Univerza v Mariboru, Fakulteta za kemijo in kemijsko tehnologijo. Maribor, 2015.
- [151] Sonmez M., Georgescu M., Alexandrescu L., Gurau D., Ficai A., Ficai D., Andronescu E. Synthesis and applications of $\text{Fe}_3\text{O}_4/\text{SiO}_2$ core-shell materials. *Current Pharmaceutical Design* 21, 1–12, 2015.
- [152] Azlina H. N., Hasnidawani J. N., Norita H., Surip S. N. Synthesis of SiO_2 nanostructures using sol-gel method. *Acta Physica Polonica A* 129 (4), 842–844, 2016.
- [153] Brinker C. J., Grye G. C., Hurd A. J., Ashley C. S. Fundamentals of sol-gel dip coating. *Thin Solid Films* 201, 97–108, 1991.
- [154] Guo Q., Huang D., Kou X., Cao W., Li L., Ge L., Li J. Synthesis of disperse amorphous SiO_2 nanoparticles via sol-gel process. *Ceramics International* 43, 192–196, 2017.
- [155] Košak A., Bauman M., Padežnik-Gomilšek J., Lobnik A. Lead(II) complexation with 3-mercaptopropyl-groups in the surface layer of silica nanoparticles: Sorption, kinetics and EXAFS/XANES study. *Journal of Molecular Liquids* 229, 371–379, 2017.
- [156] Košak A., Lobnik A., Bauman M. Adsorption of mercury(II), lead(II), cadmium(II) and zinc(II) from aqueous solutions using maercapto-modified silica particles. *International Journal of Applied Ceramic Technology* 12 (2), 461–472, 2015.

- [157] Viltužnik B., Lobnik A., Košak A. The removal of Hg(II) ions from aqueous solutions by using thiol-functionalized cobalt ferrite magnetic nanoparticles. *Journal of Sol-Gel Science and Technology* 74, 199–207, 2015.
- [158] Viltužnik B., Košak A., Zub Y. L., Lobnik A. Removal of Pb(II) ions from aqueous systems using thiol-functionalized cobalt-ferrite magnetic nanoparticles. *Journal of Sol-Gel Science and Technology* 68, 365–373, 2013.
- [159] Yang H., Pi P., Cai Z. Q., Wen X., Wang X., Cheng J., Yang Z. Facile preparation of super-hydrophobic and super-oleophilic silica film on stainless steel mesh via sol-gel process. *Applied Surface Science* 256, 4095–4102, 2010.
- [160] Milea C. A., Bogatu C., Duťá A. The influence of parameters in silica sol-gel process. *Engineering Sciences* 4 (53), 59–66, 2011.
- [161] Singh L. P., Bhattacharyya K., Kumar R., Mishra G., Sharma U., Singh G., Ahlawat S. Sol-gel processing of silica nanoparticles and their applications. *Advances in Colloid and Interface Science* 214, 17–37, 2014.
- [162] Yong W. Y. D., Zhang Z., Cristobal G., Chin S. One-pot synthesis of surface functionalized spherical silica particles. *Colloids and Surfaces A: Physicochemical and Engineering Aspects* 460, 151–157, 2014.
- [163] Rahman I. A., Padavettan V., Synthesis of silica nanoparticles by sol-gel: Size-dependent properties, surface modification, and applications in silica-polymer nanocomposites – A review. *Journal of Nanomaterials* 2012, 1–15, 2012.
- [164] Raileanu M., Crisan M., Petrache C., Crisan D., Zaharescu M. Fe_2O_3 - SiO_2 nanocomposites obtained by different sol-gel routes. *Journal of Optoelectronics and Advances Materials* 5 (3), 693–698, 2003.
- [165] Morel A. L., Nikitenko S. I., Gionnet K., Wattiaux A., Lai-Kee-Him J., Labrugere C., Chevalier B.; Deleris G., Petibois C., Brisson A., Simonoff M. Sonochemical approach to the synthesis of Fe_3O_4 @ SiO_2 core-shell nanoparticles with tunable properties. *ACS Nano* 2 (5), 847–856, 2008.
- [166] Sia P. D. *Science and applications of Tailored Nanostructures*. One Central Press, 2017.
- [167] Teng X.; Black D., Watkins N.J., Gao Y.; Yang H. Platinum-maghemit core-shell nanoparticles using a sequential synthesis. *Nano Letters* 3 (2), 261–264, 2003.

- [168] Alp E., Aydogan N. A comparative study: Synthesis of superparamagnetic iron oxide nanoparticles in air and N₂ atmosphere. *Colloids and Surfaces A: Physicochemical and Engineering Aspects* 510, 205–212, 2016.
- [169] Aliahmad M., Maghaddan N. N., Synthesis of maghemite (γ -Fe₂O₃) nanoparticles by thermal-decomposition magnetite (Fe₃O₄) nanoparticles. *Materials Science-Poland* 31(2), 264–268, 2013.
- [170] Jeong J. R., Lee S. J., Kim J. D., Shin S. C. Magnetic properties of γ -Fe₂O₃ nanoparticles made by coprecipitation method. *Physica Status Solidi (b)* 241(7), 1593–1596, 2004.
- [171] Nazari M., Ghasemi N., Maddah H., Mothlagh M. M. Synthesis and characterization of maghemite nanopowders by chemical precipitation method. *Journal of Nanostructure in Chemistry* 4:99, 1–5, 2014.
- [172] Lee S. J., Jeong J. R., Shin S. C., Kim J. C., Kim J. D. Synthesis and characterization of superparamagnetic maghemite nanoparticles prepared by coprecipitation technique. *Journal of Magnetism and Magnetic Materials* 282, 147–150, 2004.
- [173] Gdula K., Dąbrowski A., Skwarek E. Synthesis, surface characterization and electrokinetic properties of colloidal silica nanoparticles with magnetic core. *Adsorption* 22, 681–688, 2016.
- [174] Mandel K., Hutter F., Gellemann C., Sextl G. Synthesis and stabilisation of superparamagnetic iron oxide nanoparticle dispersions. *Colloids and Surfaces A: Physicochemical and Engineering Aspects* 390, 173–178, 2011.
- [175] Mandel K., Szezerba W., Thünemann A. F., Riesemeier H., Girod M., Sextl G. Nitric acid-stabilized superparamagnetic iron oxide nanoparticles studied with X-rays. *Journal of Nanoparticle Research* 14, 1–9, 2012.
- [176] Darezereshki E. Synthesis of maghemite (γ -Fe₂O₃) nanoparticles by wet chemical method at room temperature. *Material Letters* 64, 1471–1472, 2010.
- [177] Gubin S. P. *Magnetic nanoparticles*. Wiley-VCH, Moskva, 2009.
- [178] Bönnemann H., Richards R. M. Nanoscopic metal particles – synthesis methods and potential applications. *European Journal of Inorganic Chemistry* 1434, 2455–2480, 2001.
- [179] Čampelj S., Makovec D., Drofenik M. Preparation and properties of water-based magnetic fluids. *Journal of Physics: Condensed Matter* 20, 1–5, 2008.

- [180] Kralj S., Makovec D., Čampelj S., Drofenik M. Producing ultra-thin silica coatings on iron-oxide nanoparticles to improve their surface reactivity. *Journal of Magnetism and Magnetic Materials* 322, 1847–1853, 2010.
- [181] Shinohara S., Eom N., Teh E. J., Tamada K., Parsons D., Craig V. S. J. The role of citric acid in the stabilization of nanoparticles and colloidal particles in the environment: Measurement of surface forces between hafnium oxide surfaces in the presence of citric acid. *Langmuir* 34, 2595–2605, 2018.
- [182] Lucas I. T., Durand-Vidal S., Dubois E., Chevalet J., Turq P. Surface charge density of maghemite nanoparticles: Role of electrostatics in the proton exchange. *The Journal of Physical Chemistry C* 111, 18568–18576, 2007.
- [183] Pfeiffer C., Rehbock C., Hühn D., Camillo-Carrión C., Aberasturi D. J., Merk V., Barcikowski S., Parak W. J. Interaction of colloidal nanoparticles with their local environment: the (ionic) nanoenvironment around nanoparticles is different from bulk and determines the physico-chemical properties of the nanoparticle. *Journal of the Royal Society Interface* 11, 1–13, 2014.
- [184] Wu W., Wu Z., Yu T., Jiang C., Kim W.S. Recent progress on magnetic iron oxide nanoparticles: synthesis, surface functional strategies and biomedical applications. *Science and Technology of Advanced Materials* 16, 1–44, 2015.
- [185] Bumb A., Brechbiel M. W., Choyke P. L., Fugger L., Eggeman A., Prabhakaran D., Hutchinson J., Dobson P. J. Synthesis and characterization of ultra-small superparamagnetic iron oxide nanoparticles thinly coated with silica. *Nanotechnology* 19 (33), 1–14, 2008.
- [186] Ban I., Stergar J., Maver U. NiCu magnetic nanoparticles: review of synthesis methods, surface functionalization approaches, and biomedical applications. *Nanotechnology reviews* 7(2), 187–207, 2018.
- [187] Nedeljko P., Turel M., Košak A., Lobnik A. Synthesis of hybrid thiol-functionalized SiO₂ particles used for agmatine determination. *Journal of Sol-Gel Science and Technology* 79, 487–496, 2016.
- [188] Ribeiro T., Baleizão C., Farinha J. P. S. Functional films from silica/polymer nanoparticles. *Materials* 7, 3881–3900, 2014.
- [189] Lemire J., Harrison J. J., Turner R. J. Antimicrobial activity of metals: mechanisms, molecular targets and applications. *Nature Reviews Microbiology* 11, 371–384, 2013.

- [190] Saito M., Kawaharasaki S., Ito K., Yamada S., Hayamizu K., Seki S. Strategies for fast ion transport in electrochemical capacitor electrolytes from diffusion coefficients, ionic conductivity, viscosity, density and interaction energies based on HSAB theory. *RCS Advances* 7, 14528–14535, 2017.
- [191] Belfiore L. A., Ruzmaikina I. Y., Das P. K. Thermophysical property modifications in functional polymers via lanthanide trichloride hydrates. *Polymer Engineering & Science* 41 (7) 1196–1205, 2001.
- [192] Bernardo P. D., Melchior A., Tolazzi M., Zanonato P. L. Thermodynamics of lanthanide(III) complexation in non-aqueous solvents. *Coordination Chemistry Reviews* 256, 328–351, 2012.
- [193] Fedossev A. M., Grigoriev M. S., Budantseva N. A., Guillaumont D., Naour C. L., Simoni E., Auwer C. D., Moisy P. Americium(III) coordination chemistry: An unexplored diversity of structure and bonding. *Comptes Rendus Chimie* 13, 839–948, 2010.
- [194] Panak P. J., Geist A. Complexation and extraction of trivalent actinides and lanthanides by triazinylpyridine N-donor ligands. *Chemical Reviews* 113, 1199–1236, 2013.
- [195] Košak A., Makovec D., Drofenik M., Žnidaršič A. In situ synthesis of magnetic MnZn-ferrite nanoparticles using reverse microemulsions. *Journal of Magnetism and Magnetic Materials* 272276, 1542–1544, 2004.
- [196] Guo Q., Ghadiri R., Weigel T., Aumann A., Gurevich E. L., Esen C. Medenbach O., Cheng W., Chichkov B., Ostendorf A. Comparison of in situ and ex situ methods for synthesis of two-photon polymerization polymer nanocomposites. *Polymers* 6, 2037–2050, 2014.
- [197] Farré M., Sanchís J., Barceló D. Analysis and assessment of the occurrence, the fate and the behavior of nanomaterials in the environment. *Trends in Analytical Chemistry* 30 (3), 517–527, 2011.
- [198] Joshi M., Bhattacharyya A., Ali S. W. Characterization techniques for nanotechnology applications in textiles. *Indian Journal on Fibre & Textile Research* 33, 304–317, 2008.
- [199] Socrates G. *Infrared and Raman characteristic group frequencies. Tables and charts.* John Wiley and Sons, Chichester, 2005.
- [200] Stuart B. *Infrared spectroscopy: Fundamentals and applications.* John Wiley & Sons, Sydney 2004.

- [201] Payerl C., Bračič M., Zankel A., Fischer W., Kaschowitz M., Frölich E., Kargl R., Stelzer F., Spirk S. Nonspecific protein adsorption on cationically modified Lyocell fibers monitored by zeta potential measurements. *Carbohydrate Polymers* 164, 49–56, 2017.
- [202] Čakara D., Fras L., Bračič M., Stana Kleinschek K. Protonation behavior of cotton fabric with irreversibly adsorbed chitosan: A potentiometric titration study. *Carbohydrate Polymers* 78, 36–40, 2009.
- [203] Fras Zemljič L., Čakara D., Michaelis N., Heinze T., Stana Kleinschek K. Protonation behavior of 6-deoxy-6-(2-aminoethyl)amino cellulose: a potentiometric titration study. *Cellulose* 18, 33–43, 2011.
- [204] Khan I., Saeed K., Khan I. Nanoparticles: Properties, applications and toxicities. *Arabian Journal of Chemistry* (in print).
- [205] Bhattacharjee S. DLS and zeta potential – What they are and what they are not? *Journal of Controlled Release* 235, 337–351, 2016.
- [206] McNeil S. E., *Characterization of nanoparticles intended for drug delivery*. Humana Press, New York, 2011.
- [207] Moulin P. Zeta potential measurement of calcium carbonate. *Journal of Colloid and Interface Science* 261, 115 – 126, 2003.
- [208] Gulicovski J. J., Čerović L. S., Milonjić S. K. Point of zero charge and isoelectric point of alumina. *Materials and Manufacturing Processes* 23, 615–619, 2008.
- [209] Pihlasalo S., Auranen L., Hänninen P., Härmä H. Method for estimation of protein isoelectric point. *Analytical Chemistry* 84, 8253–8258, 2012.
- [210] Ms A. R., Arm A. R. Removal of heavy metals from industrial waste water by biomass-based materials: A review. *Journal of Pollution Effect & Control* 5 (1), 113, 2017.
- [211] Iftekhar S., Ramasamy D. L., Srivastava V., Asif M. B., Silanpää M. Understanding the factors affecting the adsorption of Lanthanum using different adsorbents: A critical review. *Chemosphere* 204, 413–430, 2018.
- [212] Li X., Zhang F., Zhao D. Highly efficient lanthanide upconverting nanomaterials: Progress and challenges. *Nano Today* 8, 643–676, 2013.
- [213] Sun C., Zhao P., Wei M., Chang Z., Li W. Synthesis, structure, and fluorescent properties of lanthanide complexes based on 8-hydroxyquinoline-7-carboxylic acid. *Journal of Inorganic and General Chemistry* 642 (5), 372–376, 2016.

- [214] Vančo J., Trávníček Z., Kozák O., Boča R. Structural, magnetic and luminescent properties of lanthanide complexes with N-salicylideneglycine. *International Journal of Molecular Sciences* 16, 9520–9539, 2015.
- [215] Liu Y. Is the free energy change of adsorption correctly calculated? *Journal of Chemical & Engineering Data* 54, 1981–1985, 2009.
- [216] Huo J. X., Wang Y., Zhang D. H., Ren N., Zhang J. J. Syntheses, characterization, luminescence, and thermal decomposition mechanism of four lanthanide complexes with 4-ethylbenzoic acid and terpyridine. *Journal of Thermal Analysis and Calorimetry* 124, 1575–1585, 2016.
- [217] Zhao Y. B., Wang D. Y., Guo X. Q., Xu J. G. Determination of DNA and RNA by their quenching effect fluorescence of the Tb^{3+} -Tiron complex. *Analytica Chimica Acta* 353, 329–335, 1997.
- [218] Yang W., Teng X., Chen M., Gao J., Yuan L., Kang J., O Q., Liu S. Determination of trace europium based on new fluorimetric system of europium(III) with thenoyltrifluoroacetone and N,N'-dinaphthyl-N,N'-diphenyl-3,6-dioxaoctanediamide. *Talanta* 46, 527–532, 1998.
- [219] Yunxia Y., Lihua W., Weichen S., Yinqun H. Effect of different ligands on fluorescent properties of Nd^{3+} organic complexes. *Rare Metal Materials and Engineering* 43 (10), 2359–2364, 2014.
- [220] Liu M. J., Yuan J., Tao J., Zhang Y. Q., Liu C. M., Kou H. Z. Rhodamine salicylaldehyde hydrazone Dy(III) complexes: Fluorescence and magnetism. *Inorganic Chemistry* 57, 4061–4069, 2018.
- [221] Fu R., Hu S., Sheng T., Wu X. Synthesis, crystal structures, and luminescent properties of eleven new lanthanide and yttrium complexes with fluorescent whitener and 1,10-phenanthroline. *New Journal of Chemistry* 33, 1508–1514, 2009.
- [222] Akseli A., Rakıcıoğlu Y. Fluorometric trace determination of cerium(III) with sodium triphosphate. *Talanta* 43, 1983–1988, 1996.
- [223] Peter S., Panigrahi B. S., Viswanathan K. S., Mathews C. K. Fluorescence enhancement of dysprosium, europium and terbium using sodium benzoate-trioctylphosphine oxide – Triton X-100. *Analytica Chimica Acta* 260, 135–141, 1992.
- [224] Panigrahi B. S., Peter S., Viswanathan K. S., Mathews C. K. Fluorescence enhancement and cofluorescence in complexes of terbium, dysprosium and europium with trimesic acid. *Analytica Chimica Acta* 282, 117–124, 1993.

- [225] Panigrahi B. S. A fluorimetric study of terbium, europium and dysprosium in aqueous solution using pyridine carboxylic acids as ligands. *Journal of Alloys and Compounds* 334, 228–231, 2002.
- [226] Xi P., Zhao M., Gu X., Li Z., Gao M., Cheng B. Synthesis, characterization and fluorescence properties of a novel rare earth complexes with a multi-branched ligand and 1, 10-phen. *Journal of Rare Earths* 28, 277–280, 2010.
- [227] Limousin G., Gaudet J. P., Charlet L., Szenknect S., Barthés V., Krimissa M. Sorption isotherms: A review on physical bases, modeling and measurement. *Applied Geochemistry* 22, 249–275, 2007.
- [228] Gandhi N., Sirisha D., Sekhar K. B. C. Adsorption of fluoride (F^-) from aqueous solution by using pineapple (ananas comosus) peel and orange (citrus sinensis) peel powders. *International Journal of Environmental Bioremediation & Biodegradation* 4(2), 55–67, 2016.
- [229] Largitte L., Pasquier R. A review of the kinetics adsorption models and their application to the adsorption of lead by an activated carbon. *Chemical Engineering Research and Design* 109, 495–504, 2016.
- [230] Lin J., Wang L. Comparison between linear and non-linear forms of pseudo-first-order and pseudo-second-order adsorption kinetic models for the removal of methylene blue by activated carbon. *Frontiers of Environmental Science & Engineering in China* 3(3), 320–324, 2009.
- [231] Simonin J. P. On the comparison of pseudo-first order and pseudo-second order rate laws in the modeling of adsorption kinetics. *Chemical Engineering Journal* 300, 254–263, 2016.
- [232] Babu C. M., Binnemans K., Roosen J. Ethylenediaminetriacetic acid-functionalized activated carbon for the adsorption of rare earths from aqueous solutions. *Industrial & Engineering Chemistry Research* 57, 1487–1497, 2018.
- [233] Chen X. Modeling of experimental adsorption isotherm data. *Information* 6, 14–22, 2015.
- [234] Foo K. Y., Hameed B. H. Insight into the modeling of adsorption isotherm systems. *Chemical Engineering Journal* 156, 2–10, 2010.
- [235] Gu T., Zhu B. Y. The S-type isotherm equation for adsorption of nonionic surfactants at the silica gel-water interface. *Colloids and Surfaces* 44, 81–87, 1990.

- [236] Dada A. O., Olalekan A. P., Olatunya A. M., Dada O. Langmuir, Freundlich, Temkin and Dubinin–Radushkevich isotherms studies of equilibrium sorption of Zn^{2+} unto phosphoric acid modified rice husk. *IOSR Journal of Applied Chemistry* 3(1), 38–45, 2012.
- [237] Momčilović M. Z. *Kinetički i ravnotežni parametri adsorpcionih procesa pri uklanjanju pojedinih štetnih katjonskih sastojaka iz vodenih rastvora aktivnim ugljevima dobijenih hemijsko-termičkom obradom srži ploda divljeg kestena i šišarke crnog bora*. Doktorska disertacija. Prirodno-matematički fakultet, Niš, 2012.
- [238] Khan A. S. A. Evaluation of thermodynamic parameters of cadmium adsorption on sand from Temkin adsorption isotherm. *Turkish Journal of Chemistry* 36, 437–443, 2012.
- [239] Milonjić S. K. A consideration of the correct calculation of thermodynamic parameter adsorption. *Journal of Serbian Chemical Society* 72(12), 1363–1367, 2007.
- [240] Negrea A., Gabor A., Davidescu C. M., Ciopec M., Negrea P., Duteanu N., Barbulescu A. Rare earth elements removal from water using natural polymers. *Scientific Reports* 316(8), 1–11, 2018.
- [241] Zhou X., Zhou X. Zhe unit problem in the thermodynamic calculation of adsorption using the Langmuir equation. *Chemical Engineering Communications* 201, 1459–1467, 2014.
- [242] Mattson M. O., Simko M. The changing face of nanomaterials: Risk assessment challenges along the value chain. *Regulatory Toxicology and Pharmacology* 84, 105–115, 2017.
- [243] Caballero-Guzman A., Sun T., Nowack B. Flows of engineered nanomaterials through the recycling process in Switzerland. *Waste Management* 36, 33–43, 2015.
- [244] Puzyn T., Leszczynski J. *Towards Efficient Designing of Safe Nanomaterials Innovative Merge of Computational Approaches and Experimental Techniques*. The Royal Society of Chemistry, Cambridge 2012.
- [245] Nazar M.F., Shah S. S., Eastoe J., Khan A. M., Shah A. Separation and recycling of nanoparticles using cloud point extraction with non-ionic surfactant mixtures. *Journal of Colloid and Interface Science* 363, 490–496, 2011.
- [246] Faunce T., Kolodziejczyk B. *Nanowaste: Need for disposal and recycling standards*.
- [247] Humar Jurič T., Krajnc K., Menard A., Ternifi V. Legislation in the field of nanomaterials and safety of nanomaterials. *Tekstilec*, 56(2), 145–153, 2013.

- [248] Keith-Roach M., Grundfelt B., Kousa A., Pohljolainen E., Magistrati P., Aggelatou V., Oliveri N., Ferrari A. *Past experience of environmental, health and safety issues in REE mining and processing industries and an evaluation of related EU and international standards and regulations.* EURARE, 7th Framework Programme, 2015.
- [249] Andrade A. L., Souza D. M., Pereira M. C., Fabris J. D., Domingues R. Z. Synthesis and characterization of magnetic nanoparticles coated with silica through a sol-gel approach. *Cerâmica* 55, 420–424, 2009.
- [250] Feitoza N. C., Gonçalves T. D., Mesquita J. J., Menegucci J. S., Santos M. K., M. S., Chaker J. A., Cunha R. B., Medeiros A. M. M., Rubim J. C., Sousa M. H. Fabrication of glycine-functionalized maghemite nanoparticles for magnetic removal of copper from wastewater. *Journal of Hazardous Materials* 264, 153–160, 2014.
- [251] Mirzayi B., Nematollahzadeh A., Seraj S. Synthesis and characterization of magnetic maghemite/catecholamine core/shell nanoparticles. *Powder Technology* 270, 185–191, 2015.
- [252] Pal M., Rakshit R., Mandal K. Facile functionalization of Fe₂O₃ nanoparticles to induce inherent photoluminescence and excellent photocatalytic activity. *Applied Physics Letters* 104, 1–5, 2014.
- [253] Afkhami A., Moosavi R., Madrakian T. Maghemite-nanoparticles enhanced effects in electrochemical determination of dipyridamole utilizing simultaneous statistical based experimental design optimization. *Journal of the Electrochemical Society* 160, 775–781, 2013.
- [254] Arcos D., Fal-Miyar V., Ruiz-Hernández E., Garcia-Hernández M., Ruiz-González M. L., González-Calbet J., Vallet-Regi M. Supramolecular mechanism in the synthesis of mesoporous magnetic nanospheres for hyperthermia. *Journal of Materials Chemistry* 22, 64–72, 2012.
- [255] Khodabakhshi M., Bahari A. Investigation and characterization of maghemite (γ -Fe₂O₃) nanoparticles and its cytotoxicity studies. *Indian Journal of Pharmaceutical Education and Research* 51(2), 295–301, 2017.
- [256] Nurdin I., Yaacob I. I., Johan M. R., Ang B. C. Characterization and stability monitoring of maghemite nanoparticle suspensions. *Advanced Materials Research* 576, 398–401, 2012.

- [257] Nurdin I., Satriananda R. The effect of temperature on synthesis and stability of superparamagnetic maghemite nanoparticles suspension. *Journal of Materials Science and Chemical Engineering* 4, 35–41, 2016.
- [258] Yoon S. Preparation and physical characterizations of superparamagnetic maghemite nanoparticles. *Journal of Magnetics* 19(4), 323–326, 2014.
- [259] Matijevic E., Borkovec M. *Surface and Colloid Science*. New York, Kluwer Academic/Plenum Publisher, 2004.
- [260] Goss C. J. Saturation magnetisation, coercivity and lattice parameter changes in the system Fe₃O₄-γFe₂O₃, and their relationship to structure. *Physics and Chemistry of Minerals* 16 (2), 164–177, 1988.
- [261] Rahman Z., Rahman M. U., Usman M., Hasana S. K., Rahman Z., Ullah A., Kim I. W. Static magnetic properties of maghemite nanoparticles. *Journal of the Korean Physical Society* 65 (11), 1925–1929, 2014.
- [262] Lan Q., Cao M., Ye Z., Zhu J., Chen M., Chen X., Liu C. Effect of oxalate and pH on photodegradation of pentachlorophenol in heterogeneous irradiated maghemite system. *Journal of Photochemistry and Photobiology A: Chemistry* 328, 198–206, 2016.
- [263] Predoi D., Andronescu E., Radu M., Munteanu M. C., Dinischiotu A. Synthesis and characterization of bio-compatible maghemite nanoparticles. *Digest Journal of Nanomaterials and Biostructures* 5 (3), 779–786, 2010.
- [264] González B., Ruiz-Hernández E., Feito M. J., de Laorden C. L., Arcos D., Ramírez-Santillán C., Matesanz C., Portolés M. T., Vallet-Regí M. Covalently bonded dendrimer-maghemite nanosystems: nonviral vectors for in vitro gene magnetofection. *Journal of Materials Chemistry* 21, 4598–4604, 2011.
- [265] Guijarro J. A. R., Sadrollahi E., Menzel D., RamosFernandes E. G. R., López E. O., Torres M. M., Asuaga J. M., Arencibia A., Litterst F. J. Magnetic, structural and surface properties of functionalized maghemite nanoparticles for copper and lead adsorption. *RCS Advances* 7, 28763–28779, 2017.
- [266] Cheraghipour E., Javadpour S., Mehdizadeh A. R. Citrate capped superparamagnetic iron oxide nanoparticles used for hyperthermia therapy. *Journal of Biomedical Science and Engineering* 5, 715–719, 2012.

- [267] Nigam S., Barick K. C., Bahadur D. Development of citrate-stabilized Fe₃O₄ nanoparticles: Conjugation and release of doxorubicin for therapeutic applications. *Journal of Magnetism and Magnetic Materials* 323, 237–243, 2011.
- [268] Naseem R., Tahir S. S. Removal of Pb(II) from aqueous/acidic solutions by using bentonite as an adsorbent. *Water Research* 35(16), 3982–3986, 2001.
- [269] Zhao F., Repo E., Song Y., Yin D., Hammouda S. B., Chen L., Kalliola S., Tang J., Tam K. C., Sillanpää M. Polyethylenimine-cross-linked cellulose nanocrystals for highly efficient recovery of rare earth elements from water and a mechanism study. *Green Chemistry* 19, 4816–4828, 2017.

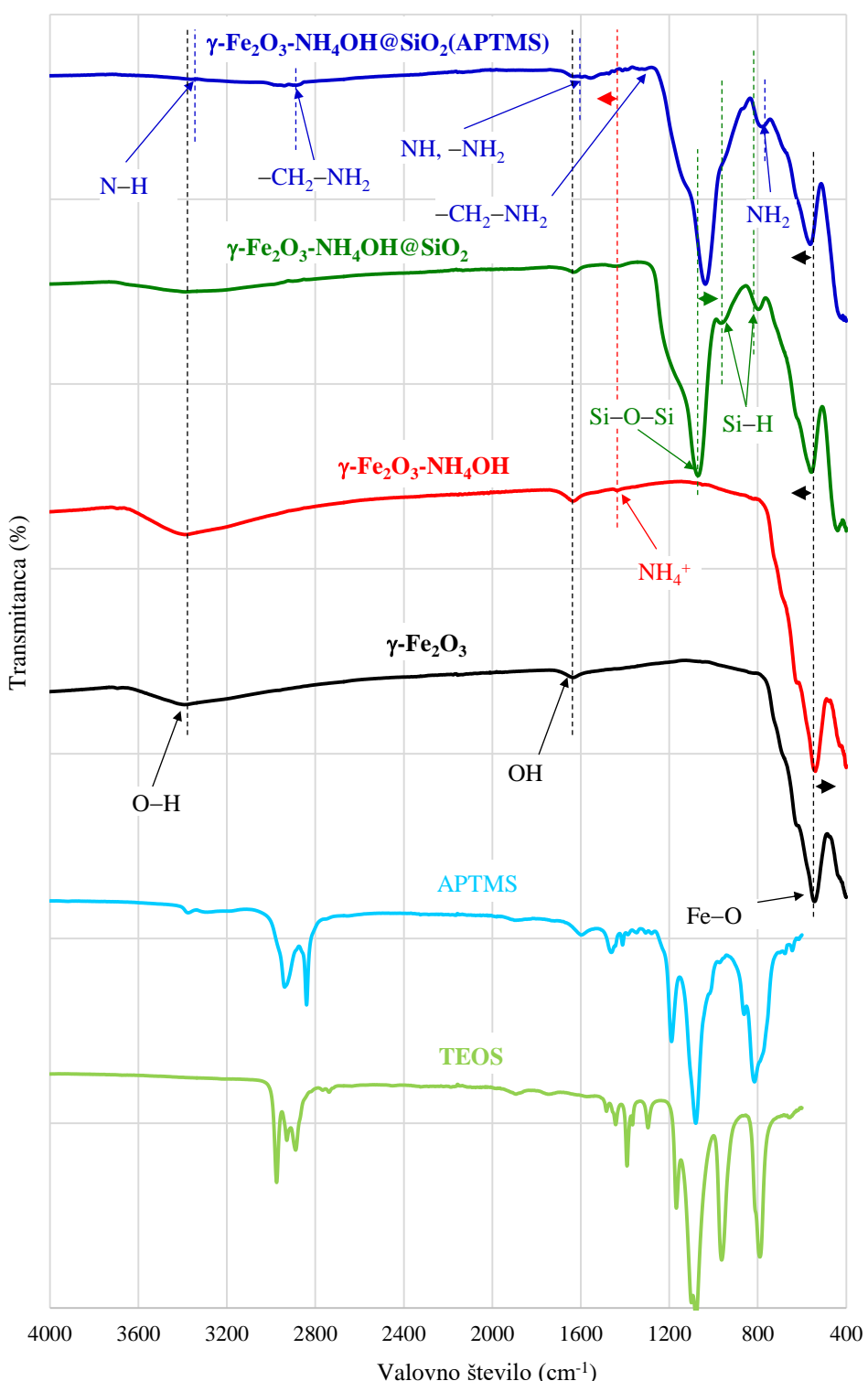
7 PRILOGA

V prilogi je predstavljena primerjalna analiza rezultatov karakterizacije postopoma sintetiziranih novih nanodelcev.

7.1 Priloga 1 – Primerjalna analiza sintetiziranih nanodelcev

Prisotnost vezi in funkcionalizacijskih skupin postopoma sintetiziranih nanodelcev, $\gamma\text{-Fe}_2\text{O}_3$, $\gamma\text{-Fe}_2\text{O}_3\text{-NH}_4\text{OH}$, $\gamma\text{-Fe}_2\text{O}_3\text{-NH}_4\text{OH@SiO}_2$ in $\gamma\text{-Fe}_2\text{O}_3\text{-NH}_4\text{OH@SiO}_2$ (APTMS), je razvidna iz spektrov FT-IR na sliki 7-1, kjer sta prikazana tudi spektra za TEOS in APTMS.

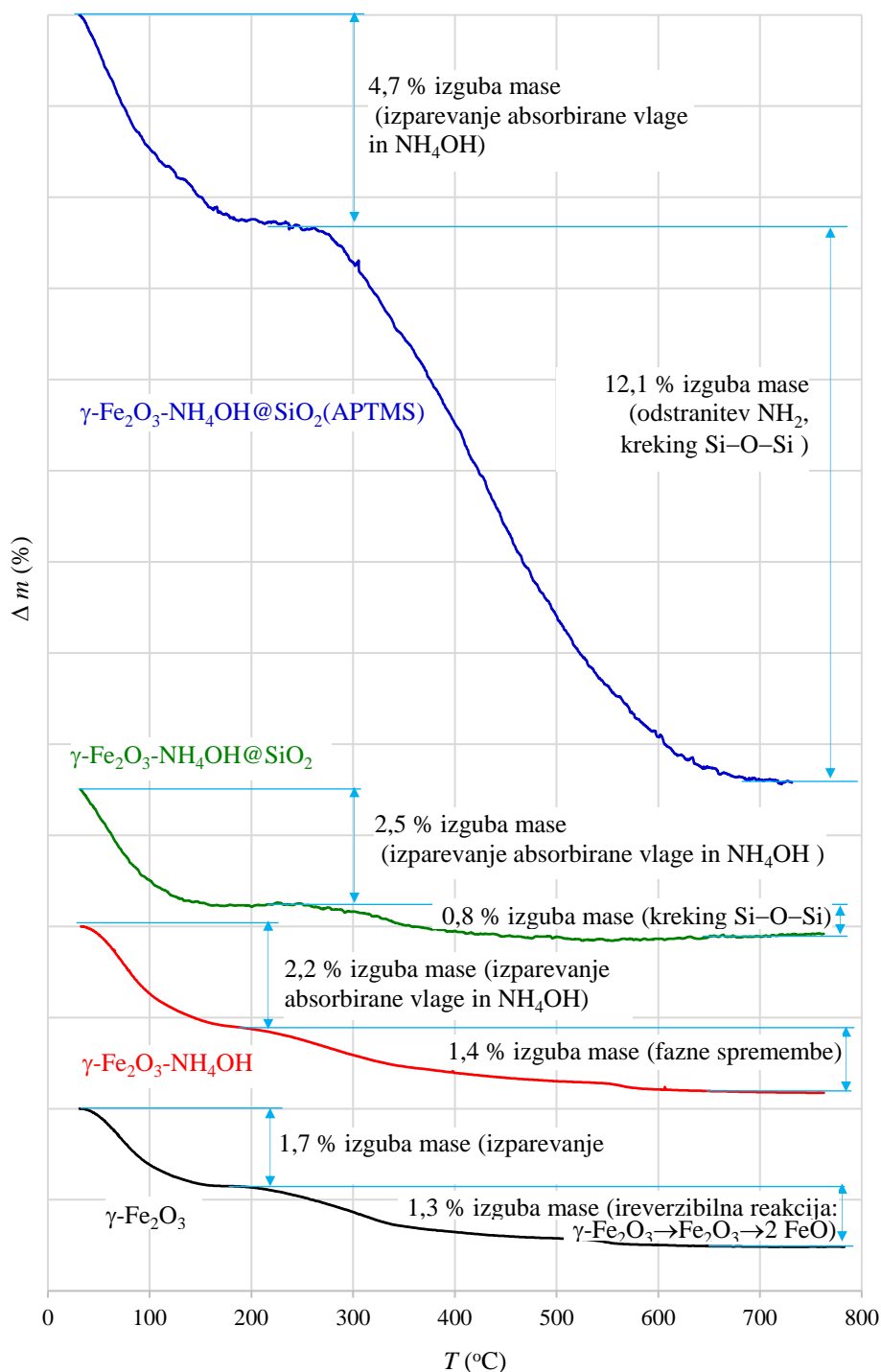
Dva vrhova blizu valovnih števil 3400 cm^{-1} in 1630 cm^{-1} lahko pripišemo O–H skupini za vse postopoma sintetizirane nanodelce. Močni absorpcijski vrh pri $543,1\text{ cm}^{-1}$ za $\gamma\text{-Fe}_2\text{O}_3$ nanodelce, ki ustreza razteznim vibracijam Fe–O funkcionalen skupine, je pomaknjen za približno 4 cm^{-1} k nižjemu valovnemu številu zaradi procesa stabilizacije, od koder je premaknjen za 46 cm^{-1} k višjemu valovnemu številu zaradi oblage stabiliziranega jedra z lupino iz SiO_2 in še za 4 cm^{-1} zaradi funkcionalizacije z amino skupinami. Neizraziti vrh pri 1437 cm^{-1} , ki s prisotnostjo NH_4^+ skupine potrjuje proces stabilizacije $\gamma\text{-Fe}_2\text{O}_3$ nanodelcev, je premaknjen za približno 12 cm^{-1} k višjemu valovnemu številu pri funkcionalizaciji z amino skupinami iz APTMS. Obloga stabiliziranega jedra $\gamma\text{-Fe}_2\text{O}_3\text{-NH}_4\text{OH}$ nanodelcev z lupino iz SiO_2 je potrjena z asimetričnim raztezanjem Si–O–Si vezi pri 1071 cm^{-1} in strižnim vibracijam Si–H vezi pri 796 cm^{-1} in pri 988 cm^{-1} . Valovno število, ki ustreza Si–O–Si vezi je premaknjeno za približno 33 cm^{-1} k nižjemu valovnemu številu zaradi procesa funkcionalizacije. Funkcionalizacija z amino skupino iz APTMS je potrjena z vrhovi pri 2934 cm^{-1} , 1615 cm^{-1} , 1336 cm^{-1} in 781 cm^{-1} , ki jih pripisemo razteznim vibracijam $-\text{CH}_2\text{-NH}_2$ vezi, strižnim vibracijam N–H in NH_2 , kimanju in zvijanju $-\text{CH}_2\text{-NH}_2$ ter kimanju in zvijanju NH_2 amino skupine.



Slika 7-1. FT-IR postopno sintetiziranih nanodelcev

Na osnovi analize spektrov FT-IR in primerjave z literaturo lahko zaključimo, da je sinteza novih magnetnih jedro@lupina nanodelcev $\gamma\text{-Fe}_2\text{O}_3\text{-NH}_4\text{OH@SiO}_2(\text{APTMS})$ uspešna tako z vidika stabilizacije, tvorbe lupine kakor tudi funkcionalizacije.

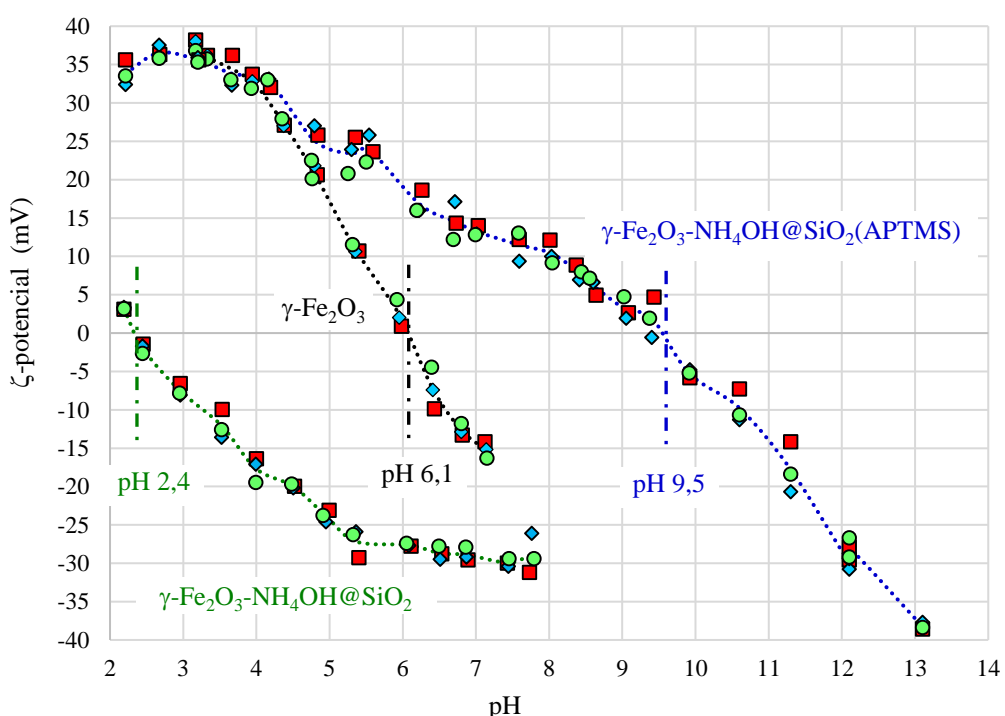
Z namenom določitve količine funkcionalnih skupin na površino novo sintetiziranih nanodelcev, je na sliki 7-2 prikazana analiza TGA postopoma sintetiziranih $\gamma\text{-Fe}_2\text{O}_3$, $\gamma\text{-Fe}_2\text{O}_3\text{-NH}_4\text{OH}$, $\gamma\text{-Fe}_2\text{O}_3\text{-NH}_4\text{OH@SiO}_2$ in $\gamma\text{-Fe}_2\text{O}_3\text{-NH}_4\text{OH@SiO}_2$ (APTMS) nanodelcev.



Slika 7-2. TGA postopno sintetiziranih nanodelcev

Izguba mase $\gamma\text{-Fe}_2\text{O}_3$ nanodelcev v višini 1,7 %, slika 7-2, je pri segrevanju do 160 °C posledica uparjanja absorbirane vlage, pri nadalnjem segrevanju do 750 °C pa zaradi reakcije $\gamma\text{-Fe}_2\text{O}_3 \rightarrow \text{Fe}_2\text{O}_3 \rightarrow 2\text{FeO}$ znaša izguba mase v višini 1,7 %. Pretvorba maghemita v magnetit je ireverzibilna reakcija, medtem ko je 2FeO metastabilna faza, ki se pri ohlajanju pretvori nazaj v hematit. Analiza TGA stabiliziranih $\gamma\text{-Fe}_2\text{O}_3\text{-NH}_4\text{OH}$ kaže pri segrevanju do 200 °C zaradi uparjanja absorbirane vlage in NH₄OH s površine nanodelcev izgubo mase za 2,2 %. Nadaljnje segrevanje do 750 °C povzroči nadaljnjo 1,4 % izgubo mase zaradi faznih sprememb. Izguba mase zaradi uparjanja absorbirane vlage in NH₄OH pri segrevanju Fe₂O₃-NH₄OH@SiO₂ nanodelcev do 160 °C znaša 2,5 %. S segrevanjem od 260 °C do 650 °C pa je izguba mase posledica razpada SiO₂ lupine in krekinga verige siloksanov Si–O–Si. Največja izguba mase pa je razvidna pri segrevanju $\gamma\text{-Fe}_2\text{O}_3\text{-NH}_4\text{OH}@\text{SiO}_2$ (APTMS) nanodelcev. Izmerjena izguba mase v višini 4,7 % pri segrevanju do 180 °C ustreza uparjanju absorbirane vlage in NH₄OH. Nadaljnja 12,1 % izguba mase pri segrevanju do 700 °C pa je posledica odstranitve NH₂ amino skupin s površine nanodelcev in krekingu preostalih siloksanskih skupin Si–O–Si, slika 7-2.

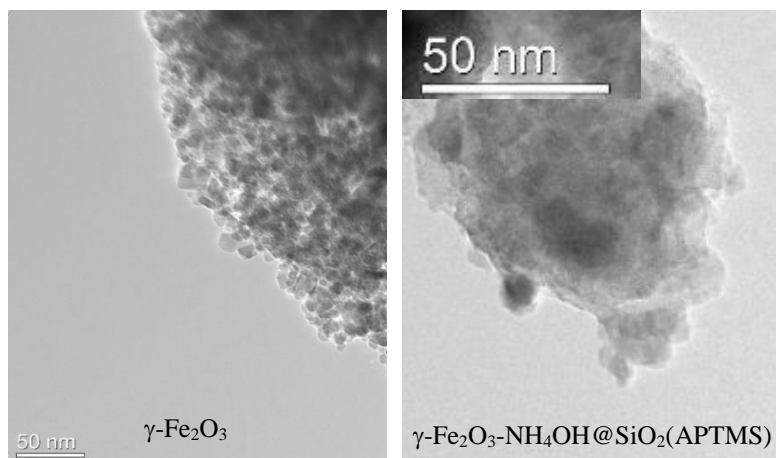
Primerjava rezultatov analize DLS za $\gamma\text{-Fe}_2\text{O}_3$, $\gamma\text{-Fe}_2\text{O}_3\text{-NH}_4\text{OH}@\text{SiO}_2$ in $\gamma\text{-Fe}_2\text{O}_3\text{-NH}_4\text{OH}@\text{SiO}_2$ (APTMS) nanodelce je prikazana na sliki 7-3.



Slika 7-3. DLS postopno sintetiziranih nanodelcev

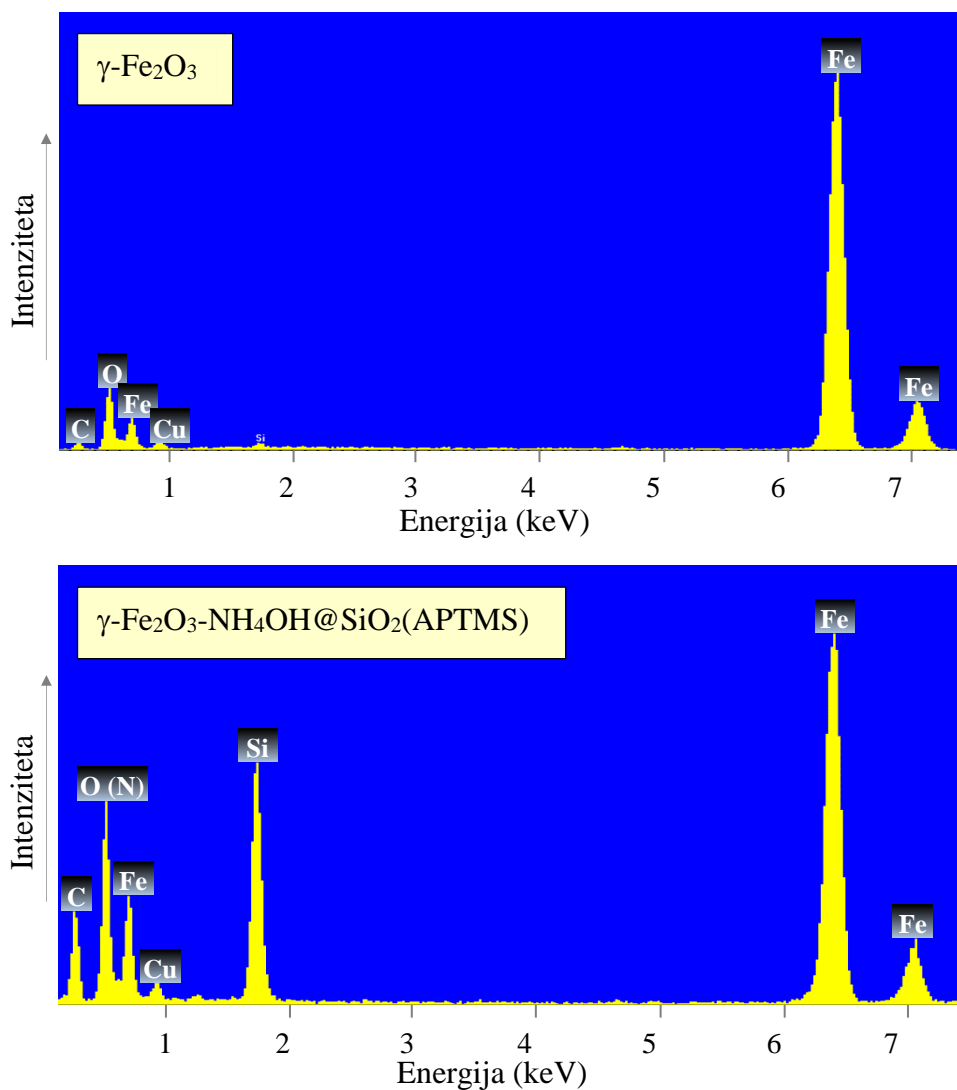
Rezultati DLS analize, slika 7-3, potrjujejo učinkovitost tvorbe maghemitnih $\gamma\text{-Fe}_2\text{O}_3$ nanodelcev, tvorbe lupine SiO_2 okrog stabiliziranega maghemitnega $\gamma\text{-Fe}_2\text{O}_3$ jedra, torej $\gamma\text{-Fe}_2\text{O}_3\text{-NH}_4\text{OH}@\text{SiO}_2$ nanodelcev in učinkovitost funkcionalizacije z APTMS, torej $\gamma\text{-Fe}_2\text{O}_3\text{-NH}_4\text{OH}@\text{SiO}_2(\text{APTMS})$ nanodelcev. Za vse omenjene sintetizirane nanodelce so izmerjene izoelektrične točke, in sicer je za $\gamma\text{-Fe}_2\text{O}_3$ nanodelce izoelektrična točka pri pH 6,1; za $\gamma\text{-Fe}_2\text{O}_3\text{-NH}_4\text{OH}@\text{SiO}_2$ nanodelce je pri pH 2,4 in za $\gamma\text{-Fe}_2\text{O}_3\text{-NH}_4\text{OH}@\text{SiO}_2(\text{APTMS})$ nanodelce je pri pH 9,5. Vrednost ζ -potenciala za $\gamma\text{-Fe}_2\text{O}_3$ nanodelce je višja od +30 mV pri pH < 4,2, kar pomeni, da so $\gamma\text{-Fe}_2\text{O}_3$ nanodelci stabilni v koloidni raztopini pri pH < 4,2. Izmerjena izoelektrična točka $\gamma\text{-Fe}_2\text{O}_3(\text{NH}_4\text{OH})@\text{SiO}_2$ nanodelcev v koloidni raztopini pri pH 2,4 potrjuje tvorbo obloge – lupine iz SiO_2 , ker je ta izoelektrična točka pri pH blizu izoelektrične točke za čist SiO_2 . SiO_2 lupina okrog stabiliziranega maghemitnega jedra poveča kemično stabilnost nanodelcev in s tem možnosti širše uporabe v bio-aplikacijah. S slike 7-3 je razvidno, da je lahko APTMS učinkovito uporabljen za funkcionalizacijo stabiliziranih magnetnih jedro@lupina nanodelcev, saj prispeva k pozitivnim vrednostim ζ -potenciala v širokem pH območju. Prisotnost amino skupin na površini $\gamma\text{-Fe}_2\text{O}_3\text{-NH}_4\text{OH}@\text{SiO}_2$ nanodelcev stabilizira koloidno suspenzijo. Analiza DLS kaže, da je stabilnost novo sintetiziranih $\gamma\text{-Fe}_2\text{O}_3\text{-NH}_4\text{OH}@\text{SiO}_2(\text{APTMS})$ nanodelcev zadovoljiva, saj so vrednosti ζ -potenciala večje od +30 mV pri pH < 4,5 in manjše od -30 mV pri pH > 12.

Primerjava analize TEM za $\gamma\text{-Fe}_2\text{O}_3$ in $\gamma\text{-Fe}_2\text{O}_3\text{-NH}_4\text{OH}@\text{SiO}_2(\text{APTMS})$ nanodelce je prikazana na sliki 7-4. $\gamma\text{-Fe}_2\text{O}_3$ nanodelci so velikosti 15 nm do 20 nm, medtem ko velikost $\gamma\text{-Fe}_2\text{O}_3\text{-NH}_4\text{OH}@\text{SiO}_2(\text{APTMS})$ nanodelcev znaša od 50 nm do 60 nm. $\gamma\text{-Fe}_2\text{O}_3$ nanodelci so praviloma sferične oblike.



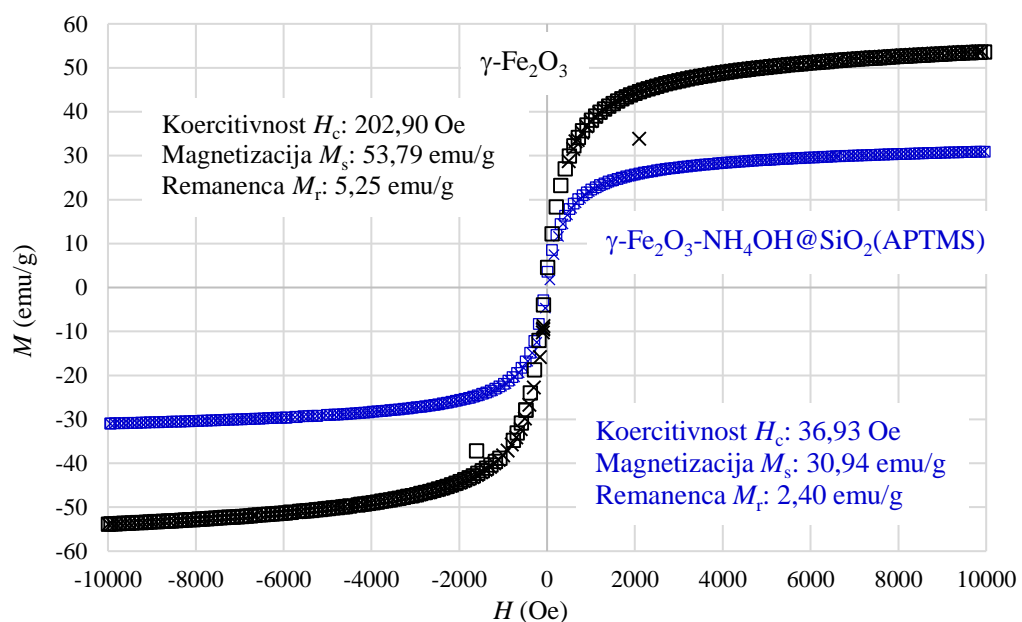
Slika 7-4. TEM postopno sintetiziranih nanodelcev

Elementarna sestava $\gamma\text{-Fe}_2\text{O}_3$ in $\gamma\text{-Fe}_2\text{O}_3\text{-NH}_4\text{OH@SiO}_2(\text{APTMS})$ nanodelcev, dobljena z analizo EDXS, je prikazana na sliki 7-5. Vsi elementi, Fe, O, N in Si, potrjujejo uspešnost sinteze maghemitnega jedra, SiO_2 lupine in funkcionalizacije z APTMS. Intenziteta Si in O, v katerem se skriva tudi N, je v primeru $\gamma\text{-Fe}_2\text{O}_3\text{-NH}_4\text{OH@SiO}_2(\text{APTMS})$ nanodelcev jasno izražena. Prisotnost Cu je posledica uporabe Cu rešetke.



Slika 7-5. EDXS postopno sintetiziranih nanodelcev

Primerjava analize VSM za $\gamma\text{-Fe}_2\text{O}_3$ in $\gamma\text{-Fe}_2\text{O}_3\text{-NH}_4\text{OH@SiO}_2(\text{APTMS})$ nanodelce je prikazana na sliki 7-6. V fazi magnetenja se pri jakosti magnetnega polja $H = 10000$ Oe masna magnetizacija nasičenja M_s sintetiziranih $\gamma\text{-Fe}_2\text{O}_3\text{-NH}_4\text{OH@SiO}_2(\text{APTMS})$ nanodelcev zmanjša na 30,94 emu/g od 53,79 emu/g $\gamma\text{-Fe}_2\text{O}_3$ nanodelcev. Z razmagnetjenjem vzorca se vrednost magnetnega odziva zmanjšuje in remanentna magnetizacija M_r je v primeru $\gamma\text{-Fe}_2\text{O}_3\text{-NH}_4\text{OH@SiO}_2(\text{APTMS})$ nanodelcev 2,40 emu/g, medtem ko v primeru $\gamma\text{-Fe}_2\text{O}_3$ nanodelcev znaša 5,25 emu/g. Prav tako se zmanjša koercitivnost H_c za $\gamma\text{-Fe}_2\text{O}_3\text{-NH}_4\text{OH@SiO}_2(\text{APTMS})$ nanodelce na 36,93 Oe, od vrednosti 202,90 Oe, dobljene za $\gamma\text{-Fe}_2\text{O}_3$ nanodelce. Masna magnetizacija nasičenja M_s , koercitivnost H_c in remanentna magnetizacija M_r se v primeru $\gamma\text{-Fe}_2\text{O}_3\text{-NH}_4\text{OH@SiO}_2(\text{APTMS})$ nanodelcev zmanjšajo glede na $\gamma\text{-Fe}_2\text{O}_3$ nanodelce, kar je posledica uspešnega nanosa SiO_2 letine in funkcionalizacije z amino skupinami, torej večje velikosti nanodelcev. Ker sta remanentna magnetizacija in koercitivnost $\gamma\text{-Fe}_2\text{O}_3\text{-NH}_4\text{OH@SiO}_2(\text{APTMS})$ nanodelcev praktično zanemarljivi, slika 7-6, so magnetne lastnosti teh nanodelcev blizu superparamagnetu materialu, poleg tega pa je M_s praktično enaka magnetizaciji nasičenja $\gamma\text{-Fe}_2\text{O}_3$ nanodelcev, podani v [255][256]. Zato lahko zaključimo, da so novo sintetizirani magnetni $\gamma\text{-Fe}_2\text{O}_3\text{-NH}_4\text{OH@SiO}_2(\text{APTMS})$ nanodelci primerni za adsorpcijo RZE³⁺ iz vodnih raztopin.



Slika 7-6. VSM postopno sintetiziranih nanodelcev

Velikost nanodelcev $\gamma\text{-Fe}_2\text{O}_3$ smo določili z analizami XRD, BET in TEM, medtem ko je velikost $\gamma\text{-Fe}_2\text{O}_3\text{-NH}_4\text{OH@SiO}_2\text{(APTMS)}$ nanodelcev določena z analizama BET in TEM. Rezultati so zbrani v tabeli 7-1.

Tabela 7-1. Velikost novo sintetiziranih nanodelcev

KARAKTERIZACIJA	Velikost nanodelcev (nm)	
	$\gamma\text{-Fe}_2\text{O}_3$	$\gamma\text{-Fe}_2\text{O}_3\text{-NH}_4\text{OH@SiO}_2\text{(APTMS)}$
XRD	19,1	/
BET	15,5	53,6
TEM	15 – 20	50 – 60

Vrednosti povprečnega premera sintetiziranih $\gamma\text{-Fe}_2\text{O}_3$ in $\gamma\text{-Fe}_2\text{O}_3\text{-NH}_4\text{OH@SiO}_2\text{(APTMS)}$ nanodelcev, dobljene z različnimi metodami karakterizacije, se dobro ujemajo.

8 Življenjepis in bibliografija

OSEBNI PODATKI

Tina Kegl

 Ulica Eve Lovše 8, 2000 Maribor, Slovenija

 tina.kegl@outlook.com; tina.kegl@student.um.si

Spol ženski | Datum rojstva 25. 01.1994 | Državljanstvo slovensko

DELOVNE IZKUŠNJE

Strokovna praksa

od 10. 8. 2015 do 3. 9. 2015

NLZOH Maribor, Center za kemijske analize vzorcev živil, vod in drugih vzorcev okolja
(pooblastilo za delo na aparatu Gerhardt; določanje in analiziranje vsebnosti različnih komponent: dušika, SO₂, NaCl, kislin, sladkorjev, skupne suhe snovi, v različnih vzorcih: voda, živila, prehrambni izdelki)

od 3. 7. 2017 do 2. 8. 2017

IOS d.o.o., Maribor
(sinteza nanodelcev)

Študentsko delo

od 1. 9. 2016 do 30. 9. 2016

FKKT Maribor
(določanje termodinamskih in prenosnih lastnosti sistema polimer/SCF)

2. 9. 2016 do 27. 9. 2016

Raziskovalno delo

FKKT Maribor, Laboratorij za separacijske procese in produktno tehniko (eksperimentalno določanje fizikalno-kemijskih in transportnih lastnosti sistema PEG 1500/scKr in izračuni in analize eksperimentalno dobljenih rezultatov ter primerjava z literaturo)

7. 8. 2017 do 30. 10. 2017

IOS d.o.o., Maribor
(sinteza nemagnetnih nanodelcev in analiza stanja na področju uporabe nanotehnologije pri reciklirjanju redkozemeljskih elementov)

15. 2. 2018 do 20. 7. 2018

IOS d.o.o., Maribor
(sinteza, karakterizacija in uporaba novih magnetnih nanodelcev)

IZOBRAŽEVANJE IN USPOSABLJANJE

2016 – **Druga stopnja magistrska – Kemijska tehnika, Biokemijska tehnika**

7 EOK, 5 ISCED

Fakulteta za kemijo in kemijsko tehnologijo
Univerza v Mariboru, Smetanova 17, 2000 Maribor

013 – 2016 **Prva stopnja univerzitetna – smer Kemijska tehnologija**

6 EOK, 5A ISCED

Fakulteta za kemijo in kemijsko tehnologijo
Univerza v Mariboru, Smetanova 17, 2000 Maribor
dipl. inž. kem. tehnol. (UN)

, 009 – 2013 **Splošno srednje izobraževanje**

4 EOK, 3A ISCED

II. gimnazija Maribor

Trg Miloša Zidanška 1, 2000 Maribor

gimnazijski maturant

KOMPETENCE						
Materni jezik	slovenščina					
Drugi jeziki						
	RAZUMEVANJE		GOVORJENJE		PISNO SPOROČANJE	
	Slušno razumevanje	Bralno razumevanje	Govorno sporazumevanje	Govorno sporočanje		
angleščina	1. B1	2. B1	3. B1	4. B1	5. B1	
španščina	6. B1	7. B1	8. A2	9. A2	10. A2	
Stopnja: A1/A2: Osnovni uporabnik - B1/B2: Samostojni uporabnik - C1/C2: Usposobljeni uporabnik Skupni evropski jezikovni okvir						
Komunikacijske kompetence	komunikacijske spretnosti, sposobnost koncentracije, sposobnost opazovanja, analiziranja in izvajanja zaključkov (med opravljanjem študijskega in raziskovalnega dela)					
Organizacijske/vodstvene kompetence	odgovornost sprejemanja posledic, vzdržljivost ob naporu, sodelovanje, veščina učinkovitega organiziranja svojega dela (med opravljanjem študijskega in raziskovalnega dela)					
Računalniške kompetence	dobro obvladovanje orodij Microsoft Office™ (Word, Excel, PowerPoint); poznавanje osnov računalniškega programiranja (Fortran, Excel); poznавanje programskega orodja (AspenPlus, MatLab); veščine javnega nastopanja (Teokratična strežbena šola)					
Druge kompetence Vozniško dovoljenje	B					
DODATNI PODATKI						
Objave v znanstvenih revijah	<i>The Journal of Supercritical Fluids, Applied Mechanics and Materials, Young Scientist Journal, Journal of Young Investigators, Mechanical Testing and Diagnosis</i>					
Objave v strokovnih revijah	<i>Kemija v šoli in družbi</i>					
Objave v zbornikih konferenc s predstavljivo prispevka	22. Slovenski kemijski dnevi 2016, Portorož; RADMI 2013, Kopaonik, Srbija; In-TECH 2012 Rijeka, Hrvatska; RaDMI 2012 Vrnjačka Banja, Srbija; RaDMI 2011, Soko Banja, Srbija; Ekologija za boljši jutri 2012, Rakičan; Ekologija za boljši jutri 2011, Rakičan; "Državno srečanje mladih raziskovalcev", Murska Sobota					
Štipendija	Zoisova štipendija (srednješolsko, univerzitetno in podiplomsko izobraževanje)					
Priznanja in nagrade	<ul style="list-style-type: none"> ▪ 2. najboljša študentka Univerze v Mariboru za leto 2017/2018, nagrada Univerze v Mariboru, Elektra Maribor in Energijske Plus, 28. maj 2018 ▪ Dekanova nagrada za diplomsko delo univerzitetnega programa, 14. marec 2017 ▪ Nagrada sklada Henkel najboljšim študentom FKKT Maribor, 16. december 2016 ▪ uvrstitev med najboljših 5 % študentov v generaciji 2013/2014, 2014/2015, 2015/2016 ▪ Krkina nagrada, Krka, Novo mesto 2010 ▪ Posebno priznanje Natečaja mladih energetikov, Inštitut Jožef Štefan, Ljubljana 2009 ▪ Zlati ključ II. gimnazije Maribor, 2013 ▪ priznanja s tekmovalji: "Državno srečanje mladih raziskovalcev": 2009, 2010, 2011, 2012 ▪ priznanje za odlično predstavitev članka "Optimal design of a roof using biomimetics" na mednarodni konferenci RaDMI 2011 v Soko Banji v Srbiji ▪ nagrade za trajnostni razvoj - Javni sklad RS za razvoj kadrov in štipendije: 2010, 2011, 2012 					

COBISS Kooperativni online bibliografski sistem in servisi COBISS

Tina Kegl Osebna bibliografija za obdobje 2009-2018

ČLANKI IN DRUGI SESTAVNI DELI

1.01 Izvirni znanstveni članek

1. KEGL, Tina, KRAVANJA, Gregor, KNEZ, Željko, KNEZ HRNČIČ, Maša. Effect of addition of supercritical CO₂ on transfer and thermodynamic properties of biodegradable polymers PEG 600 and Brij52. *The Journal of supercritical fluids*, ISSN 0896-8446. [Print ed.], April 2017, vol. 122, str. 10-17, doi: 10.1016/j.supflu.2016.11.011. [COBISS.SI-ID 20059670], [JCR, SNIP, WoS do 27. 8. 2018: št. citatov (TC): 4, čistih citatov (CI): 2, Scopus do 29. 8. 2018: št. citatov (TC): 4, čistih citatov (CI): 1]
2. KEGL, Tina. Optimal design of HFC solar plant by using phase change material for heat storage. *Applied mechanics and materials*, ISSN 1662-7482, 2015, vol. 806, str. 203-213, ilustr., doi: [10.4028/www.scientific.net/AMM.806.203](https://doi.org/10.4028/www.scientific.net/AMM.806.203). [COBISS.SI-ID [19506966](#)], [[SNIP](#)]
3. KEGL, Tina. Biomimetics and optimal design of roof structures. *Young scientist journal*, ISSN 0974-6102. [Print ed.], 2014, št. 15, str. 21-31, ilustr. [COBISS.SI-ID [10323486](#)]
4. KEGL, Tina. Transformation of heat energy into mechanical work at low environmental pollution. *Journal of young investigators*, ISSN 1539-4026, dec. 2012, str. 80-87, ilustr. [COBISS.SI-ID [9297950](#)]
5. KEGL, Tina. Optimal design of a roof using biomimetics. *Mechanical Testing and Diagnosis*, ISSN 2247-9635, 2011, vol. 1, št. 1, str. 73-81, ilustr. [COBISS.SI-ID [9297438](#)]

1.04 Strokovni članek

6. KEGL, Tina, LEITGEB, Maja, PRIMOŽIČ, Mateja. Biosenzorji za detekcijo okoljskih onesnaževalcev. *Kemija v šoli in družbi*, ISSN 2385-989X. [Spletna izd.], 2018, št. 1, str. 1-15, ilustr. <https://www.kemija.net/stevilke/224>. [COBISS.SI-ID [21211926](#)]
7. KEGL, Tina, ČOLNIK, Maja, ŠKERGET, Mojca. Sojini izoflavoni. *Kemija v šoli in družbi*, ISSN 2385-989X. [Spletna izd.], 2018, št. 1, str. 1-15, ilustr. <https://www.kemija.net/stevilke/224>. [COBISS.SI-ID [21207830](#)]
8. KEGL, Tina, LEITGEB, Maja, PRIMOŽIČ, Mateja. Aminokisline in procesi proizvodnje. *Kemija v šoli in družbi*, ISSN 2385-989X. [Spletna izd.], 2017, št. 1, str. 1-9, ilustr. <http://www.kemija.net/stevilke/221>. [COBISS.SI-ID [20769814](#)]
9. KEGL, Tina, LEITGEB, Maja, PRIMOŽIČ, Mateja. Mikrobna proizvodnja aminokislín. *Kemija v šoli in družbi*, ISSN 2385-989X. [Spletna izd.], 2017, št. 1, str. 1-17, ilustr. <http://www.kemija.net/stevilke/221>. [COBISS.SI-ID [20770070](#)]
10. KEGL, Tina, LEITGEB, Maja. Bioseparacijski procesi: centrifugiranje, filtriranje, kromatografija. *Kemija v šoli in družbi*, ISSN 2385-989X. [Spletna izd.], 2016, št. 1, str. 1-20, ilustr. <http://kemija.net/clanki/1566>. [COBISS.SI-ID [19688982](#)]
11. KEGL, Tina, LEITGEB, Maja. Biotehnologija. *Kemija v šoli in družbi*, ISSN 2385-989X. [Spletna izd.], 2016, št. 1, str. 1-20, ilustr. <http://kemija.net/clanki/1565>. [COBISS.SI-ID [19688726](#)]
12. KEGL, Tina, ŠKERGET, Mojca. Petrokemikalije. *Kemija v šoli in družbi*, ISSN 2385-989X. [Spletna izd.], 2015, št. 1, str. 1-11, ilustr. <http://www.kemija.net/stevilke/217>. [COBISS.SI-ID [19019030](#)]

13. KEGL, Tina, ŠKERGET, Mojca. Tehnologija predelave nafte. *Kemija v šoli in družbi*, ISSN 2385-989X. [Spletna izd.], 2015, št. 1, str. 1-22, ilustr. <http://www.kemija.net/stevilke/217>. [COBISS.SI-ID [19018774](#)]

1.08 Objavljeni znanstveni prispevek na konferenci

14. KEGL, Tina. Phase change material for heat storage in the hfc solar plant : Tina Kegl. V: DAŠIĆ, Predrag (ur.). *Proceedings. Vol. 2*, 13th International Conference "Research and Development in Mechanical Industry", RaDMI 2013, 12-15 September 2013, Kopaonik, Serbia. Vrnjačka Banja: Scientific and Technical Center for Intellectual Property. 2013, str. 801-810. [COBISS.SI-ID [10255134](#)]

15. KEGL, Tina. Nacre design as inspiration for optimal design of roof. V: CAR, Zlatan (ur.), KUDLÁČEK, Jan (ur.), PEPELNJAK, Tomaž (ur.). *IN-TECH 2012 : proceedings*, International Conference on Innovative Technologies, 26.-28.9.2012, Rijeka. Rijeka: University of Rijeka, Faculty of Engineering. 2012, str. 5-9. [COBISS.SI-ID [9299230](#)]

16. KEGL, Tina. Optimization of the central receiver system of a solar tower power plant. V: DAŠIĆ, Predrag (ur.). *Proceedings on CD-ROM. Vol. 1-2 : in honor of 50 years of High Technical Mechanical School of Professional Studies of Trstenik (1962-2012)*, 12th International Conference "Research and Development in Mechanical Industry" - RaDMI 2012, 13-17. September 2012, Vrnjačka banja, Serbia. Vrnjačka Banja: Scientific and Technical Center for Intellectual Property = SaTCP; Trstenik: High Technical-Mechanical School. 2012, str. 1043-1051. [COBISS.SI-ID [9299486](#)]

17. KEGL, Tina. Biomimetika in optimalno oblikovanje strehe. V: FOŠNARIČ, Samo (ur.). *VII. mednarodno znanstveni posvet/konferenca na temo Ekologija za boljši jutri, od 21. 3. do 23. 3. 2012*. Rakičan: RIS - Raziskovalno izobraževalno središče Dvorec. 2012, str. 30-43, ilustr. [COBISS.SI-ID [9298206](#)]

18. KEGL, Tina. The development of stirling engine for demonstration purpose to increase the ecology knowledge. V: KUDLÁČEK, Jan (ur.), PEPELNJAK, Tomaž (ur.). *IN-TECH 2011 : proceedings*, International Conference on Innovative Technologies, IN-TECH 2011, 01. 09. 2011 to 03. 09. 2011, Bratislava, Slovakia. [S. l.: [J. Kudlaček]. 2011, str. 632-635, ilustr. [COBISS.SI-ID [9298462](#)]

19. KEGL, Tina. Optimal design of a roof using biomimetics. V: DAŠIĆ, Predrag (ur.). *Proceedings on CD-ROM. Vol. 1-2*, 11th International Conference "Research and Development in Mechanical Industry" - RaDMI 2011, 15-18. September 2011, Sokobanja, Serbia. Vrnjačka Banja: Scientific and Technical Center for Intellectual Property. 2011, str. 203-210, ilustr. [COBISS.SI-ID [9298718](#)]

20. KEGL, Tina. Stirling engine. V: DAŠIĆ, Predrag (ur.). *Proceedings on CD-ROM. Vol. 1-2*, 11th International Conference "Research and Development in Mechanical Industry" - RaDMI 2011, 15-18. September 2011, Sokobanja, Serbia. Vrnjačka Banja: Scientific and Technical Center for Intellectual Property. 2011, str. 211-218, ilustr. [COBISS.SI-ID [9298974](#)]

21. KEGL, Tina. Spodbude za pretvorbo toplote v mehanično delo brez znatnega onesnaževanja okolja. V: FOŠNARIČ, Samo (ur.). *VI. mednarodno znanstveni posvet/konferenca na temo Ekologija za boljši jutri, od 23. 3. do 25. 3. 2011*. Rakičan: RIS - Raziskovalno izobraževalno središče Dvorec. 2011, str. 11-24, ilustr. [COBISS.SI-ID [9295902](#)]

1.12 Objavljeni povzetek znanstvenega prispevka na konferenci

22. KRAVANJA, Gregor, FAKIN, Gregor, KEGL, Tina, KNEZ HRNČIČ, Maša, KNEZ, Željko. Gostote dvofaznih sistemov v okolici kritične točke. V: KAUČIČ, Venčeslav (ur.), BEŠTER-ROGAČ, Marija (ur.), GANTAR, Marjana (ur.). *Zbornik referatov in povzetkov*, 22. Slovenski kemijski dnevi, Portorož, 28.-30. september 2016 = 22. Slovenian Chemical Days Portorož, September 28-30, 2016. Ljubljana: Slovensko kemijsko društvo. 2016, str. [1], ilustr. [COBISS.SI-ID [19921174](#)]

MONOGRAFIJE IN DRUGA ZAKLJUČENA DELA

2.11 Diplomsko delo

23. KEGL, Tina. *Merjenje fizikalno-kemijskih in transportnih lastnosti sistema polimer/SCF: diplomsko delo univerzitetnega študijskega programa I. stopnje.* Maribor: [T. Kegl], 2016. XII, 85 str., ilustr. <https://dk.um.si/IzpisGradiva.php?id=61670>. [COBISS.SI-ID 20342038]
nagrada: Nagrada Sklada Henkel Slovenija in Dekanova nagrada

2.25 Druge monografije in druga zaključena dela

24. KEGL, Tina. *Z optimiranjem zbiralno-sprejemnega sistema do sončne prihodnosti : raziskovalno področje interdisciplinarno področje fizika, astronomija in kemija, kemijska tehnologija in varstvo okolja : raziskovalna naloga.* Maribor: II. gimnazija, 2012. 60 f. [COBISS.SI-ID 75166465]
nagrada: Srebrno priznanje

25. KEGL, Tina. *Z biomimetiko do učinkovite strehe nad glavo : raziskovalno področje : interdisciplinarno področje fizika, astronomija & biologija & gradbeništvo, arhitektura: raziskovalna naloga.* Maribor: II. gimnazija, 2011. 80 f., ilustr. [COBISS.SI-ID 69369345]
nagrada: Zlato priznanje (Srečanje mladih raziskovalcev Slovenije)

26. KEGL, Tina. *Diabetes - tiki ubijalec : raziskovalno področje zdravstvo, veterina, šport : raziskovalna naloga.* Maribor: [II. gimnazija], 2010. 80 str., ilustr. [COBISS.SI-ID 65636865]
nagrada: Bronasto priznanje (Srečanje mladih raziskovalcev Slovenije)

27. KEGL, Tina. *Pretvorba toplotne pri majhnih temperaturnih razlikah v mehanično delo : raziskovalno področje: interdisciplinarno področje fizika, astronomija in strojništvo: raziskovalna naloga.* Maribor: II. gimnazija, 2010. 72 f., ilustr. [COBISS.SI-ID 65424897]
nagrada: Zlato priznanje (Srečanje mladih raziskovalcev Slovenije)

28. KEGL, Tina. *Združimo moči v boju proti diabetesu - tihemu ubijalcu.* Maribor: II. gimnazija, 2010. 106 str., ilustr. [COBISS.SI-ID 9296158]
nagrada: Krkina nagrada

29. KEGL, Tina. *Eko vozilo - zakaj se mi izmikaš? : raziskovalno področje interdisciplinarno: varstvo okolja & proizvodno-tehnično področje: raziskovalna naloga.* Maribor: OŠ Angela Besednjaka, 2009. 43 f., ilustr. <http://www.ukm.uni-mb.si/UserFiles/658/File/Eko%20vozilo,%20zakaj%20se%20mi%20izmika.pdf>. [COBISS.SI-ID 65022209]
nagrada: Posebno priznanje (Inštitut Jožef Štefan) in Zlato priznanje (Srečanje mladih raziskovalcev Slovenije)

Izpis bibliografskih enot: vse bibliografske enote

Izbrani format bibliografske enote: ISO 690

Razvrščanje bibliografskih enot: tipologija, leto - padajoče, naslov

Vir bibliografskih zapisov: Vzajemna baza podatkov COBISS.SI/COBIB.SI, 29. 8. 2018

Datum ažuriranja baze JCR (letno): 10. 11. 2017

Datum ažuriranja baze SNIP (letno): 10. 11. 2017

Datum ažuriranja povezav med zapisi v COBIB.SI in WoS ter števila citatov (dnevno): 29. 8. 2018

Datum ažuriranja povezav med zapisi v COBIB.SI in Scopus ter števila citatov (dnevno): 29. 8. 2018

UNIVERZA V MARIBORU
FAKULTETA ZA KEMIJO IN KEMIJSKO TEHNOLOGIJO

**Izjava o avtorstvu in istovetnosti tiskane in elektronske oblike
zaključnega dela**

Ime in priimek študentke: **TINA KEGL**
Študijski program: **2. stopnja, Kemijska tehnika**
Naslov zaključnega dela: **NOVI NANOMATERIALI ZA ADSORPCIJO
REDKOZEMELJSKIH ELEMENTOV IZ VODNIH
RAZTOPIN**

Mentor: **doc. dr. Irena BAN (FKKT UM)**
Somentor: **dr. Aljoša KOŠAK (IOS MB)**

Podpisana **Tina KEGL**

- izjavljam, da je zaključno delo rezultat mojega samostojnega dela, ki sem ga izdelala ob pomoči mentorice oz. somentorja;
- izjavljam, da sem pridobila vsa potrebna soglasja za uporabo podatkov in avtorskih del v zaključnem delu in jih v zaključnem delu jasno in ustrezno označila;
- na Univerzo v Mariboru neodplačno, neizključno, prostorsko in časovno neomejeno prenašam pravico shranitve avtorskega dela v elektronski obliki, pravico reproduciranja ter pravico ponuditi zaključno delo javnosti na svetovnem spletu preko DKUM; sem seznanjena, da bodo dela deponirana/objavljena v DKUM dostopna široki javnosti pod pogoji licence Creative Commons BY-NC-ND, kar vključuje tudi avtomatizirano indeksiranje preko spleta in obdelavo besedil za potrebe tekstovnega in podatkovnega rudarjenja in ekstrakcije znanja iz vsebin; uporabnikom se dovoli reproduciranje brez predelave avtorskega dela, distribuiranje, dajanje v najem in priobčitev javnosti samega izvirnega avtorskega dela, in sicer pod pogojem, da navedejo avtorja in da ne gre za komercialno uporabo;
- dovoljujem objavo svojih osebnih podatkov, ki so navedeni v zaključnem delu in tej izjavi, skupaj z objavo zaključnega dela;
- izjavljam, da je tiskana oblika zaključnega dela istovetna elektronski oblik zaključnega dela, ki sem jo oddala za objavo v DKUM.

Datum in kraj: 4. 9. 2018, Maribor

Podpis študentke:

